

ГОСУДАРСТВЕННЫЙ КОМИТЕТ СССР ПО ГИДРОМЕТЕОРОЛОГИИ
И КОНТРОЛЮ ПРИРОДНОЙ СРЕДЫ

ИНСТИТУТ ГЕОГРАФИИ АКАДЕМИИ НАУК СССР
ТАДЖИКСКОЕ РЕСПУБЛИКАНСКОЕ УПРАВЛЕНИЕ ПО ГИДРОМЕТЕОРОЛОГИИ
И КОНТРОЛЮ ПРИРОДНОЙ СРЕДЫ

РЕСУРСЫ ПОВЕРХНОСТНЫХ ВОД СССР

КАТАЛОГ ЛЕДНИКОВ СССР

Том 14

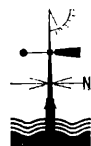
СРЕДНЯЯ АЗИЯ

Выпуск 3

АМУДАРЬЯ

Часть 15

БАССЕЙН р. ГУНТА



ГОСУДАРСТВЕННЫЙ КОМИТЕТ СССР ПО ГИДРОМЕТЕОРОЛОГИИ
И КОНТРОЛЮ ПРИРОДНОЙ СРЕДЫ

ИНСТИТУТ ГЕОГРАФИИ АКАДЕМИИ НАУК СССР
ТАДЖИКСКОЕ РЕСПУБЛИКАНСКОЕ УПРАВЛЕНИЕ ПО ГИДРОМЕТЕОРОЛОГИИ
И КОНТРОЛЮ ПРИРОДНОЙ СРЕДЫ

РЕСУРСЫ ПОВЕРХНОСТНЫХ ВОД СССР

КАТАЛОГ ЛЕДНИКОВ СССР

Том 14

СРЕДНЯЯ АЗИЯ

Выпуск 3

АМУДАРЬЯ

Часть 15

БАССЕЙН р. ГУНТА

Г. М. ВАРНАКОВА, О. В. РОТОТАЕВА



Каталог ледников бассейна р. Гунта составлен и отредактирован в отделе гляциологии Института географии АН СССР. Каталог рекомендован к печати секцией гляциологии Межведомственного геофизического комитета при Президиуме АН СССР.

Ответственный редактор
В. М. КОТЛЯКОВ

Редакторы
О. Н. ВИНОГРАДОВ, Г. И. КОНОВАЛОВА

В Каталоге дается характеристика географического положения морфологии, климатических условий существования ледников малоизученного района современного оледенения. Приводятся основные сведения о ледниках, схемы расположения ледников.

Рассчитан на географов, гляциологов, гидрологов, метеорологов.

ПРЕДИСЛОВИЕ

Каталог ледников бассейна р. Гунта является частью многотомного издания «Каталог ледников СССР», входящего в свою очередь в качестве самостоятельного раздела в издание «Ресурсы поверхностных вод СССР».

Каталог ледников бассейна р. Гунта входит в том 14 — Средняя Азия, вып. 3 — Амударья, разделенный на 18 частей. Настоящий Каталог является пятнадцатой частью этого выпуска. Деление Каталога на тома, выпуски и части приведено ниже.

Бассейн р. Гунта разделен на восемь частных бассейнов. Первый район включает правые нижние притоки р. Гунта, второй — правые средние притоки р. Гунта, третий — правые верхние притоки р. Гунта, пятый — левые средние притоки р. Гунта, шестой — левые нижние притоки р. Гунта. Река Шахдара является крупнейшим левым притоком р. Гунта, ее бассейн разделен на две части — правые притоки р. Шахдара и левые притоки р. Шахдара (соответственно седьмой и восьмой районы).

Ледники бассейна р. Гунта имеют единую нумерацию (по часовой стрелке). Так, в первом районе им присвоены номера 1—55, во втором — 56—185, в третьем — 186—255, четвертом — 256—360, пятом — 361—492, шестом — 493—637, седьмом — 638—739, восьмом — 740—917.

Каталог состоит из текстовой части, схем расположения ледников и пяти основных таблиц:

Таблица I — Основные сведения о ледниках (с соответствующими пояснениями);

Таблица II — Список гидрометеорологических станций и постов в районе ледников;

Таблица III — Список суммарных осадков и снегомерных пунктов в районе ледников;

Таблица IV — Экспедиционные и стационарные исследования ледников;

Таблица V — Список работ, содержащих сведения о ледниках.

Таблицы составлены в соответствии с требованиями «Руководства по составлению Каталога ледников СССР». Основные таблицы Каталога нумеруются римскими цифрами, таблицы в тексте — арабскими.

В табл. 1 приведены данные о линейных размерах и площади каждого ледника, его морфологическом типе, экспозиции, высоте над уровнем моря. Даются сведения о положении фирновой линии, площадях поверхности с моренным покрытием и без него.

Морфометрические данные о ледниках были получены при их измерениях на крупномасштабных топографических картах, при этом не учитывались поправки на абсолютную высоту местности и укло-

ны ее поверхности. При нанесении на карту гляциологической нагрузки (контуров ледника в целом, контуров языка, границы между погребенной частью ледника и мертвыми льдами, положения фирновой линии и границы питания на леднике, начала ледника, фирновых полей, относящихся к леднику, границ между ледниками, соприкасающимися в верховьях и в боковых частях) использовались материалы аэрофотосъемки 1947 и 1966 гг. и перспективной фотосъемки ледников, выполненной в 1973—1974 гг. во время работ экспедиции Института географии АН СССР.

Высокогорная зона бассейна р. Гунта до настоящего времени является одной из наименее изученных областей Памира. Первые сведения об орографии и оледенении Шахдаринского хребта получены Б. А. Федченко, который в 1904 г. неоднократно пересекал хребет в его западной и восточной частях, прошел из долины р. Бадомдара в бассейн р. Пянджа, обследовал несколько крупных его притоков и составил первую карту района (табл. V/18).

В советское время исследование района продолжали главным образом геологи и альпинисты. Отряды Таджикско-Памирской экспедиции вели геологическую съемку и поиски полезных ископаемых на Шахдаринском и Рушанко-Базардинском хребтах, попутно проводя полуинструментальную съемку и составляя карты. В 1937 г. были опубликованы результаты сложной работы, проведенной геологом С. И. Клунниковым, проникшим в центральный узел Рушанского хребта, где он открыл мощный безымянный ледник в верховьях долины р. Патхур (названный им ледником Марковского) и высочайшую вершину хребта. В еще более недоступном районе — верховьях р. Шахдара — Клунников дал первые сведения о двух грандиозных вершинах Шахдаринского хребта. Все три пика (Патхур, Карла Маркса и Энгельса) этот автор считал превышающими 7000 м абсолютной высоты. Они стали целью первой послевоенной альпинистской экспедиции на Памир, организованной в 1946 г. под руководством Е. А. Белецкого (табл. V/1, 2, 9). Альпинисты составили подробное описание ледника Марковского, занимавшего целиком верховья долины р. Патхур. Ледник имел 13 составляющих общей площадью 60 км², которые соединялись на дне цирка, не образуя общего языка¹. Кроме того, экспедиция составила описание ледников в районе пиков Карла Маркса и Энгельса.

¹ Сейчас единого ледника не существует, он распался на несколько составных частей, наиболее крупная из которых называется ледником Штеклозар.

В 1947 г. вторая альпинистская экспедиция подробно изучила район пика Маяковского в западной части Шахдаринского хребта (табл. V/9, 10). На северном склоне пройден до верховьев ледник № 873. Обе экспедиции отметили обилие «кающихихся» на ледниках, отсутствие лавин с крутыми склонами над ледниками в летнее время, но частые обвалы льда с висячих ледников. Составлены схемы обследованных районов, получен большой фотоматериал. Альпинисты помогали работавшим в районе топографам, которые получили точные отметки высот главнейших вершин.

Впоследствии значительную работу по уточнению карт района провел геолог Б. П. Бархатов (табл. V/6). Он дал характеристику оледенения южного склона Рушанского хребта, описал основные морфологические типы ледников (в том числе цирковые, ледники туркестанского типа, крупные долинные ледники с короткими редуцированными концами и др.), установил связь размещения ледников с экспозицией склонов.

В 1955 г. Р. Д. Забиров на основе анализа новейших топографических карт и всей предшествующей литературы дал наиболее полную характеристику оледенения бассейна р. Гунта, с подробным описанием различных его участков, склонов хребтов и отдельных ледников (табл. V/7).

Наконец, в 1972—1974 гг. в бассейне р. Гунта работала экспедиция Института географии АН СССР, организованная в 1968 г. с целью каталогизации ледников Памира. Совместно с УГМС ТаджССР было выполнено аэровизуальное обследование ледников южных склонов Рушанского и Шугнанского хребтов и северного склона Шахдаринского хребта (где остался необследованным небольшой участок в центральной его части, для которого нет также аэрофотоснимков — ледники № 833—837). Кроме того, экспедиция провела полустационарные наблюдения (метеорологические, теплобалансовые и за режимом) на леднике Бол. Бакчигир в 1972 и 1973 гг. и маршрутные наблюдения на леднике № 877 в бассейне р. Бадомдара. В фирновых областях этих ледников проведены снегомерные съемки, измерения плотности и стратиграфии толщи в шурфах.

Аэровизуальное дешифрирование ледников производилось с борта вертолета. Перед каждым облетом по картографическим материалам и аэрофотоснимкам тщательно изучалась трасса маршрута, аэрофотоснимки отдешифровывались под стереоскопом, а ледники последовательно пронумеровывались. Дешифрирование в полете производилось двумя исполнителями. Во время полетов корректировались границы ледников, отмечались все расхождения с аэрофотоснимками и случаи отступания или наступления ледников по сравнению с их положением на дату аэрофотосъемки, определялись морфологические типы ледников и системы соподчинения притоков, входящих в сложные долинные ледники, отмечалось положение границы сезонного снега на поверхности ледников и по возможности фирмовой линии, производились аэровизуальные наблюдения за характером питания ледников (лавинами и т. п.), их моренным покрытием, мерзтыми льдами и т. д. Окончательно отдешифрованный контур ледника с уточнениями после облетов визуально переносился на крупномасштабную топографическую карту. Этот способ заключа-

ется в том, что участок аэрофотоснимка подробно сличался с соответствующим участком карты. Контур с аэрофотоснимка тщательно перерисовывался на карту.

Морфологический тип ледников и их общая экспозиция определялись по аэрофотоснимкам и топографическим картам с использованием натурных наблюдений. Морфологические типы ледников соответствуют классификации, рекомендованной «Руководством по составлению Каталога ледников СССР». Исключение составляют склоновые ледники, широко распространенные на Восточном и Южном Памире. Характеристика ледников этого типа была дана в каталоге ледников бассейна р. Сурхоб.¹

Измерение длин и площадей ледников производилось дважды по специально подготовленной крупномасштабной топографической карте с нанесенными на нее исправленными контурами ледников, дополнительный контроль осуществлялся избыточным числом измерений. Длина ледника, т. е. расстояние по его оси от конца языка до верховьев самого длинного из пытающих его потоков, измерялась при помощи циркуля с постоянным раствором, равным в зависимости от протяженности объекта 1 или 2 мм. Длина ледникадается в табл. 1 с точностью до 0,1 км. Одновременно измерялась общая длина открытой части ледника. Границу распространения моренного покрова на поверхности ледника устанавливали при дешифрировании аэрофотоснимков. При определении положения нижней границы ледника, закрытого мореной, дешифрирование производилось по косвенным признакам: боковым трещинам, формам термокарстового рельефа, выходу водотока на конце ледника и др. В тех случаях, когда площадь морены на леднике менее 0,1 км², графы 8 и 9 табл. I имеют одинаковые значения, в то время как данные граф 6, 7 и 10, 11 могут отличаться друг от друга. В случаях, когда на леднике имеются лишь боковые морены площадью более 0,1 км², наоборот, разница оказывается в графах 8 и 9 при одинаковых данных других граф.

Площадь ледников измерялась палеткой с длиной стороны квадрата 1 мм. При этом измерения производились дважды разными исполнителями. Дополнительный контроль осуществлялся избыточным числом измерений. Точность результатов отдельных измерений соответствовала указаниям «Руководства по составлению Каталога ледников СССР».

Полученная как средняя из двух или нескольких измерений площадь ледника записывалась с точностью 0,1 км² в соответствующие графы табл. I. Когда площадь области абляции ледника составляла менее 0,1 км², в графах 15 и 16 табл. I ставился прочерк. В тех случаях, когда на крутых стенах над ледником имелись висячие фирмовые поля, относящиеся к области аккумуляции данного ледника, их площадь подсчитывалась и включалась в общую площадь ледника; на схемах наиболее крупные из них обозначены буквами «ак».

После каждой группы ледников, выделенных по их принадлежности к определенному речному бас-

¹ Каталог ледников СССР. Т. 14. Вып. 3. Часть 6. Бассейн р. Сурхоб между устьями рек Обихингоу и Муксу.— Л.: Гидрометеоиздат, 1971.

сейну, в графе 8 табл. I записывалась сумма площадей ледников всей группы. Если в данной группе ледников имелись ледники площадью менее $0,1 \text{ км}^2$, то их количество и суммарная площадь записывались ниже итоговых данных, вне графы таблицы, и далее приводилась общая сумма площадей всех ледников. Если в выделенной группе ледников имелись ледники, площадь которых определена с пониженной точностью (результат измерений приведен в скобках), итоговая площадь давалась в скобках.

Высотные отметки характерных точек ледников приведены с точностью до 10 м, высота фирновой линии — с точностью до 50 м. Положение фирновой линии определялось по аэрофотоснимкам, а для тех районов, где производились облеты, оно уточнялось при аэровизуальном обследовании ледников. В графе 14 табл. I указывается дата аэрофотосъемки. Если данные аэрофотосъемки не позволяли установить положение фирновой линии на леднике (поверхности ледников покрыты снегом), высота ее определялась лишь на основании наблюдений с

воздуха. Тогда в графе 14 табл. I давалось указание на аэровизуальный способ определения фирновой линии (а.-виз.).

Ввиду полного отсутствия данных о толщине ледников, графа 17 табл. I не заполнена.

Непосредственно за табл. I в Каталоге помещены пояснения к ней, где в необходимых случаях представлены дополнительные сведения о ледниках. В таких случаях в графе 1 табл. I у номера ледника, к которому имеется пояснение, помещен знак звездочки (*).

Настоящая часть Каталога ледников СССР подготовлена и составлена в отделе гляциологии Института географии АН СССР.

В полевых работах, проводившихся с целью каталогизации, принимали участие сотрудники УГМС ТаджССР А. Г. Санников, Л. Н. Соколов. Фотографии ледников, приведенные в данном выпуске, сделаны О. В. Рототаевой.

В технической обработке материалов, а также в их оформлении принимали участие лаборанты отдела гляциологии Л. Н. Тарасова и Л. В. Петрова.

ДЕЛЕНИЕ КАТАЛОГА ЛЕДНИКОВ СССР НА ТОМА, ВЫПУСКИ И ЧАСТИ

Подразделение Каталога ледников СССР на тома и выпуски полностью соответствует подразделению на тома и выпуски справочного издания «Ресурсы поверхностных вод СССР» (рис. 1), которое состоит из 20 томов, характеризующих всю территорию Советского Союза. В основу разделения

лог ледников СССР составляется лишь на районы, охватываемые томами 1, 3, 8, 9, 13—17, 19, 20 этого издания.

В связи с неравномерностью распределения оледенения по территории СССР в пределах выделенных томов и отдельных выпусков предусматривает-

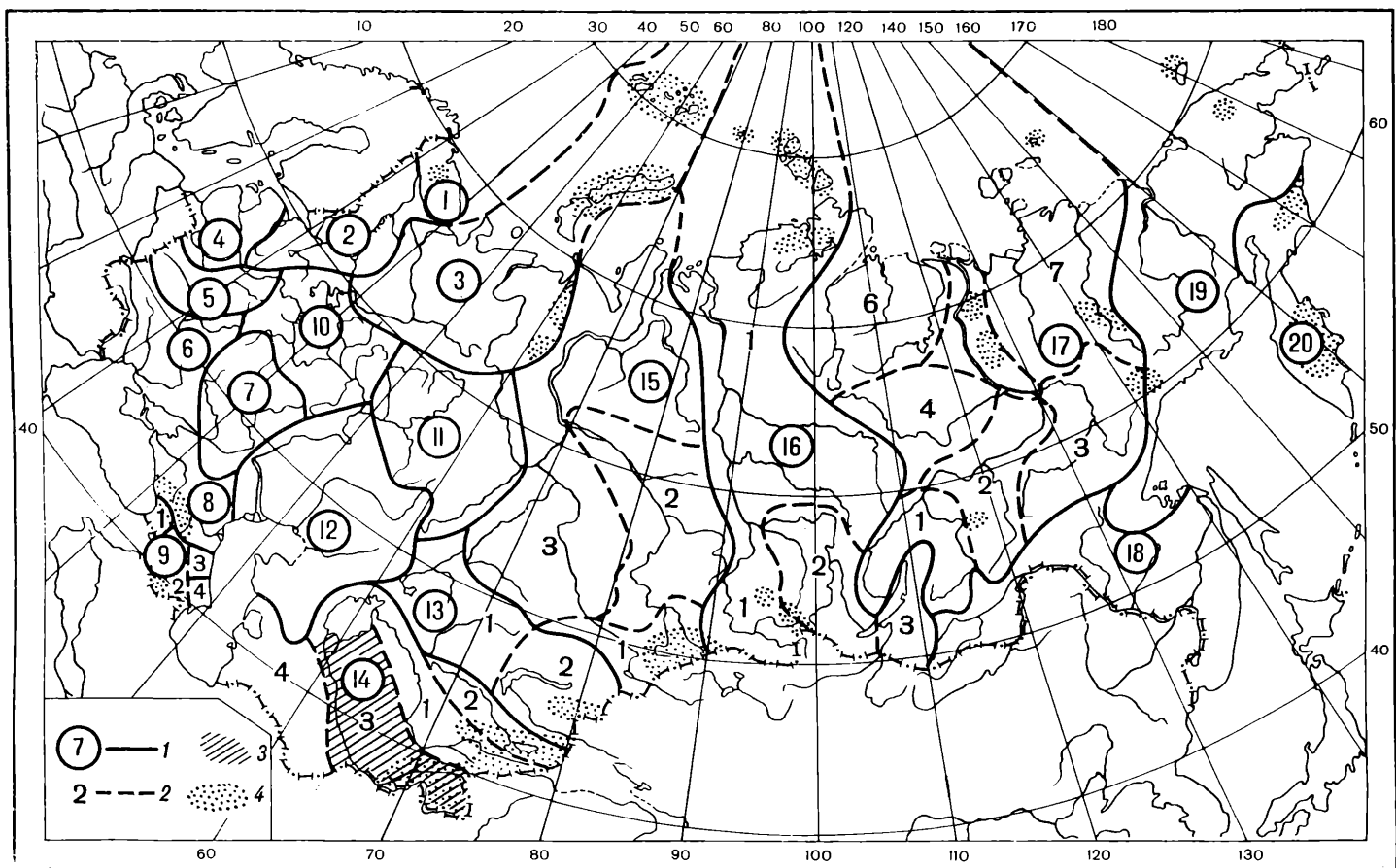


Рис. 1. Схема деления территории СССР на тома и выпуски Каталога ледников.

1 — номер тома и границы отнесенных к нему территорий, 2 — номер выпуска и границы отнесенных к нему территорий, 3 — территория, сведения о которой включены в том 14, вып. 3 — Амударья, 4 — район современного оледенения.

справочника на тома положен принцип принадлежности территории к крупным речным бассейнам.

Поскольку области современного оледенения находятся не в каждом из 20 районов — томов издания «Ресурсы поверхностных вод СССР», Ката-

гология несекольких частей Каталога ледников. Так, например, том 14 (Средняя Азия), вып. 3 (Амударья), разделен на 20 частей и включает часть 15 — Бассейн р. Гунта (рис. 2).

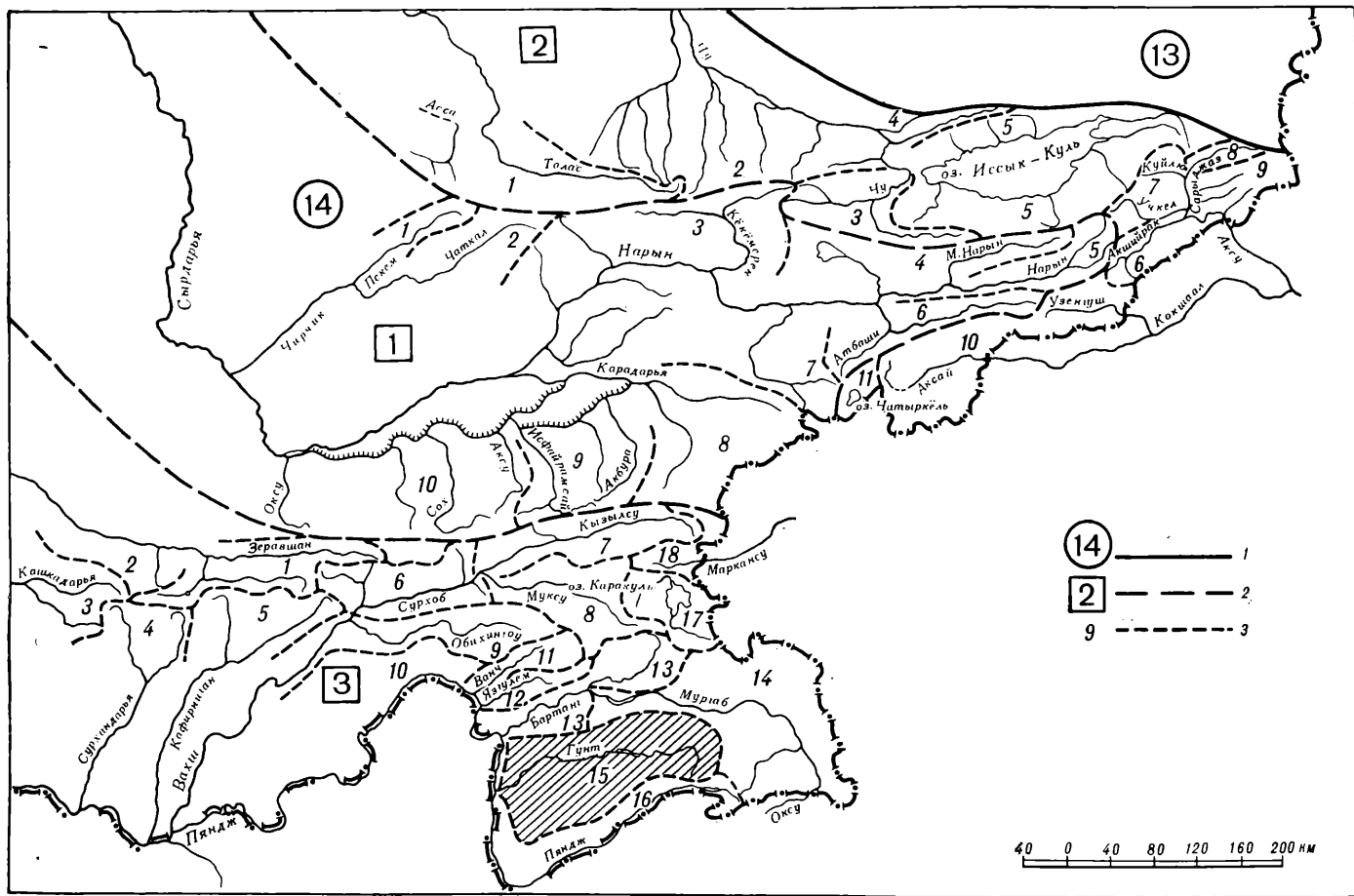


Рис. 2. Схема деления на выпуски и части тома 14 — Средняя Азия — Каталога ледников СССР.

1 — номер тома и границы отнесенных к нему территорий, 2 — номер выпуска и границы отнесенных к нему территорий; 3 — номер части и границы отнесенных к ней территорий (штриховкой выделена территория, отнесенная к части 15 вып. 3 тома 14).

СПИСОК ТОМОВ, ВЫПУСКОВ И ЧАСТЕЙ КАТАЛОГА ЛЕДНИКОВ СССР

Том 1. КОЛЬСКИЙ ПОЛУОСТРОВ

Часть 1. Хибинские горы (издано в 1966 г.)

Том 3. СЕВЕРНЫЙ КРАЙ

Часть 1. Земля Франца-Иосифа (издано в 1965 г.)

Часть 2. Новая Земля (издано в 1978 г.)

Часть 3. Урал (издано в 1966 г.)

Том 8. СЕВЕРНЫЙ КАВКАЗ

Часть 1. Бассейны рек Белой, Лабы, Урупа (издано в 1967 г.)

Часть 2. Бассейны рек Большого Зеленчука, Малого Зеленчука (издано в 1967 г.)

Часть 3. Бассейн р. Теберды (издано в 1967 г.)

Часть 4. Бассейн верховьев р. Кубани (издано в 1967 г.)

Часть 5. Бассейны рек Малки, Баксана (издано в 1970 г.)

Часть 6. Бассейн р. Чегема (издано в 1973 г.)

Часть 7. Бассейн р. Черека (издано в 1973 г.)

Часть 8. Бассейн р. Уруха (издано в 1976 г.)

Часть 9. Бассейн р. Ардона (издано в 1976 г.)

Часть 10. Бассейны рек Фиагдона, Гизельдона (издано в 1977 г.)

Часть 11. Бассейн верховьев р. Терека (издано в 1977 г.)

Часть 12. Бассейны правых притоков р. Сунжи (издано в 1977 г.)

Том 9. ЗАКАВКАЗЬЕ И ДАГЕСТАН

Выпуск 1. Западное Закавказье

Часть 1. Бассейн р. Мzymты (издано в 1977 г.)

Часть 2. Бассейн р. Бзыби (издано в 1975 г.)

Часть 3. Бассейн р. Келасури (издано в 1975 г.)

Часть 4. Бассейн р. Кодори (издано в 1975 г.)

Часть 5. Бассейн р. Ингуре (издано в 1975 г.)

Часть 6. Бассейны рек Хоби, Риони (издано в 1975 г.)

Часть 7. Бассейны левых притоков р. Куры (издано в 1975 г.)

Выпуск 2. Армения

Часть 1. Бассейн р. Аракса (издано в 1978 г.)

Выпуск 3. Дагестан

Часть 1. Бассейн р. Сулака (издано в 1975 г.)

Часть 2. Бассейн р. Самура (издано в 1975 г.)

Выпуск 4. Восточное Закавказье

Часть 1. Бассейн р. Кусарчая (издано в 1975 г.)

Том 13. ЦЕНТРАЛЬНЫЙ И ЮЖНЫЙ КАЗАХСТАН

Выпуск 2. Бассейн оз. Балхаш

Часть 1. Бассейны левых притоков р. Или от устья р. Тургени до устья р. Курты (издано в 1967 г.)

Часть 2. Бассейн р. Чилика (издано в 1968 г.)

Часть 3. Бассейны рек Чарына, Текеса (издано в 1969 г.)

Часть 4. Бассейны рек Хоргоса, Усека (издано в 1975 г.)

Часть 5. Бассейн р. Карагата

Часть 6. Бассейны рек Биена, Аксу, Лепсы (издано в 1970 г.)

Часть 7. Бассейны рек Тентека, Ргайты (издано в 1969 г.)

Том 14. СРЕДНЯЯ АЗИЯ

Выпуск 1. Сырдарья

Часть 1. Бассейн р. Псекема (издано в 1968 г.)

Часть 2. Бассейн р. Чаткала (издано в 1970 г.)

- Часть 3.** Бассейны правых притоков р. Нарына ниже устья р. Кёкемерена (издано в 1978 г.)
- Часть 4.** Бассейны правых притоков р. Нарына от устья р. Кёкемерена до устья р. Малого Нарына (издано в 1973 г.)
- Часть 5.** Бассейны правых и левых притоков верховьев р. Нарына (издано в 1977 г.)
- Часть 6.** Бассейн р. Атбashi (издано в 1974 г.)
- Часть 7.** Бассейны левых притоков р. Нарына от устья р. Атбashi до устья р. Карадары (издано в 1977 г.)
- Часть 8.** Бассейн р. Карадары
- Часть 9.** Бассейны левых притоков р. Сырдары от устья р. Карадары до устья р. Аксу (издано в 1974 г.)
- Часть 10.** Бассейны левых притоков р. Сырдары от устья р. Аксу и ниже (издано в 1974 г.)
- Часть 11.** Бассейн р. Арыси (издано в 1976 г.)

Выпуск 2. Киргизия

- Часть 1.** Бассейны рек Ассы, Таласа (издано в 1968 г.)
- Часть 2.** Бассейны левых притоков р. Чу ниже устья р. Коморчека (издано в 1973 г.)
- Часть 3.** Бассейн верховьев р. Чу (издано в 1971 г.)
- Часть 4.** Бассейны правых притоков р. Чу ниже Боамского ущелья (издано в 1969 г.)
- Часть 5.** Реки бассейна оз. Иссык-Куль (издано в 1976 г.)
- Часть 6.** Бассейн р. Акшийрака (издано в 1970 г.)
- Часть 7.** Бассейны правых притоков р. Сарыджаза между устьями рек Акшийрак и Куйлю (издано в 1969 г.)
- Часть 8.** Бассейн верховьев р. Сарыджаза от устья р. Куйлю и выше (издано в 1977 г.)
- Часть 9.** Бассейны левых притоков р. Сарыджаза (реки Иныльчик, Каинды, Каюкан) (издано в 1978 г.)
- Часть 10.** Бассейн р. Кокшаала (издано в 1971 г.)
- Часть 11.** Реки бассейна оз. Чатыркель (издано в 1971 г.)

Выпуск 3. Амударья

- Часть 1.** Бассейн верховьев р. Зеравшана от устья р. Фандары
- Часть 2.** Бассейн р. Зеравшана ниже устья р. Фандары
- Часть 3.** Бассейн р. Кашкадары (издано в 1969 г.)
- Часть 4.** Бассейн р. Сурхандары (издано в 1969 г.)
- Часть 5.** Бассейн р. Кафирнигана
- Часть 6.** Бассейн р. Сурхоба между устьями рек Обихингую и Муксу (издано в 1971 г.)
- Часть 7.** Бассейн р. Кзылсу (издано в 1976 г.)
- Часть 8.** Бассейн р. Муксу (издано в 1979 г.)
- Часть 8А.** Система ледника Федченко (издано в 1968 г.)
- Часть 9.** Бассейн р. Обихингую (издано в 1978 г.)
- Часть 10.** Бассейны правых притоков р. Пянджа от устья р. Вахша до устья р. Ванча
- Часть 11.** Бассейн р. Ванча (издано в 1978 г.)
- Часть 12.** Бассейн р. Язгулема (издано в 1978 г.)
- Часть 13.** Бассейн р. Бартанга (издано в 1978 г.)
- Часть 14.** Бассейн р. Мургаба (издано в 1979 г.)
- Часть 15.** Бассейн р. Гунта
- Часть 16.** Бассейн верховьев р. Пянджа выше устья р. Гунта
- Часть 17.** Реки бассейна оз. Каракуль (издано в 1975 г.)
- Часть 18.** Бассейн верховьев р. Маркансу (издано в 1975 г.)
- Часть 19.** Бассейн р. Восточной Кызылсу
- Часть 20.** Бассейны правых притоков р. Пянджа между устьями рек Язгулема, Бартанга и Гунта.

Том 15. АЛТАЙ И ЗАПАДНАЯ СИБИРЬ

Выпуск 1. Горный Алтай и Верхний Иртыш

- Часть 1.** Бассейны левых притоков р. Иртыша (издано в 1969 г.)
- Часть 2.** Бассейн р. Кабы (издано в 1969 г.)
- Часть 3.** Бассейны рек Курчума, Бухтармы, Ульбы, Убы (издано в 1969 г.)
- Часть 4.** Бассейн верховьев р. Катуни (издано в 1978 г.)
- Часть 5.** Бассейн р. Аргута (издано в 1977 г.)
- Часть 6.** Бассейн р. Чуи (издано в 1974 г.)
- Часть 7.** Бассейн р. Бии
- Часть 8.** Бассейны рек Моген-Бурен, Каргы (издано в 1978 г.)

Выпуск 2. Верхняя и Средняя Обь

- Часть 1.** Бассейны рек Томи, Чулымка (Кузнецкий Алатау)

Том 16. АНГАРО-ЕНИСЕЙСКИЙ РАЙОН

Выпуск 1. Енисей

- Часть 1.** Северная Земля
- Часть 2.** Бассейн р. Таймыры (горы Бырранга)

- Часть 3.** Бассейны рек Казыра, Кана (издано в 1973 г.)
- Часть 4.** Бассейн р. Кемчика (издано в 1973 г.)
- Часть 5.** Бассейн верховьев р. Енисея выше устья р. Кемчика (издано в 1973 г.)
- Часть 6.** Горы Пutorана
- Часть 7.** Остров Ушакова

Выпуск 2. Ангара

- Часть 1.** Бассейны верховьев рек Оки, Уды (издано в 1973 г.)

Том 17. ЛЕНО-ИНДИГИРСКИЙ РАЙОН

Выпуск 2. Средняя Лена

- Часть 1.** Бассейны рек Чары и Витима (хребет Кодар) (издано в 1972 г.)

Выпуск 3. Алдан

- Часть 1.** Бассейн р. Юдомы (горы Сунтар-Хаята) (издано в 1977 г.)

Выпуск 5. Нижняя Лена

- Часть 1.** Хараулахские горы

- Часть 2.** Хребет Орулган (издано в 1972 г.)

Выпуск 7. Яна, Индигирка

- Часть 1.** Острова Де-Лонга

- Часть 2.** Бассейны притоков Средней Индигирки (хребет Черского)

- Часть 3.** Бассейны левых притоков верховьев р. Индигирки (горы Сунтар-Хаята) (издано в 1977 г.)

- Часть 4.** Бассейн р. Адычи (хребет Черского)

Том 19. СЕВЕРО-ВОСТОК

- Часть 1.** Остров Врангеля

- Часть 2.** Бассейн р. Анадыри (хребет Пекульней)

- Часть 3.** Бассейн р. Дельку (хребет Сунтар-Хаята) (издано в 1977 г.)

- Часть 4.** Бассейн р. Колымы (хребет Черского)

Том 20. КАМЧАТКА

- Часть 1.** Корякский хребет

- Часть 2.** Бассейны рек западного побережья Камчатки (издано в 1968 г.)

- Часть 3.** Бассейн р. Камчатки (издано в 1968 г.)

- Часть 4.** Бассейны рек восточного побережья Камчатки (издано в 1968 г.)

СПИСОК ПРИНЯТЫХ СОКРАЩЕНИЙ

Учреждения и организации

- АН ТаджССР — Академия наук Таджикской ССР
 ВГО — Всесоюзное географическое общество
 ГУГК при СМ СССР — Главное управление геодезии и картографии при Совете Министров СССР

- ИГАН — Институт географии АН СССР
 МГУ — Московский государственный университет им. М. В. Ломоносова
 РГО — Русское географическое общество
 СПб — Санкт-Петербург

Пункты наблюдений

- гп — гидрологический пост
 гмст — гидрометеорологическая станция
 мст — метеорологическая станция
 ос — суммарный осадкометр
 сп — снегомерный пункт

Морфологические типы ледников

- асимм. дол. — асимметричный долинный
 асимм. кар. — асимметричный каровый
 вис. — висячий

вис.дол.
вис.кар.
вис. пригребн.
дендр.
дол.
кар.
кар.-вис.
кар.-дол.
котл.
перем.
прискл.
склон.
сл.дол.

— висячий долинный
— висячий каровый
— висячий пригребневой
— дендритовый
— долинный
— каровый
— карово-висячий
— карово-долинный
— котловинный
— переметный
— прислоновый
— склоновый
— сложный долинный

АФС
а-виз.
л.
пер.
пр. р.
р.
хр.

Определение высоты фирмовой линии

— на основании дешифрирования аэрофотоснимков
— на основании аэровизуального осмотра ледников

Прочие

— ледник
— перевал
— приток реки
— река
— хребет

ХАРАКТЕРИСТИКА ГЕОГРАФИЧЕСКОГО ПОЛОЖЕНИЯ, КЛИМАТИЧЕСКИХ УСЛОВИЙ, МОРФОЛОГИИ И РЕЖИМА ЛЕДНИКОВ

Бассейн р. Гунта занимает обширную территорию в южной части Памира. Протяженность бассейна с запада на восток 220 км, с севера на юг в западной и центральной части 90 км, на востоке — 50 км. С севера горная цепь Рушанского и Северо-Аличурского хребтов служит его границей с бассейном рек Бартанга и Мургаба; на юге Шахдаринский и Южно-Аличурский хребты разделяют бассейны рек Гунта и Памира—Пянджа. На западе территории района примыкает к бассейнам коротких крутопадающих притоков р. Пянджа (на участке его меридионального течения). На востоке бассейн р. Гунта отделен короткими хребтами и невысокими горными массивами от бассейнов левых притоков р. Аксу — верхнего течения р. Мургаб.

Территория бассейна входит в состав Горно-Бадахшанской АО, центр ее — г. Хорог — находится в устье р. Гунта. От г. Хорога вдоль главной долины на восток уходит автомагистраль — Памирский тракт, следя древнему пути сообщения с Восточным Памиром.

ГИДРОЛОГИЧЕСКАЯ СЕТЬ, РЕЛЬЕФ И РАСПРОСТРАНЕНИЕ ЛЕДНИКОВ

Долина р. Гунта, одного из крупнейших притоков р. Пянджа, протягивается в широтном направлении от пустынных плоскогорий Восточного Памира до глубокого скалистого ущелья р. Пянджа. Исток р. Гунта — р. Гурумды берет начало от небольших ледников северного склона Южно-Аличурского хребта и течет на север. Река собирает воды многочисленных потоков, однако в сухое время года она не всегда достигает главной долины. Вскоре после поворота на запад р. Гурумды сливается с левым притоком — р. Башгумбез, после чего река получает название Аличур. Широкая Аличурская долина, расположенная на высоте 3800—4000 м, представляет типичный ландшафт Восточного Памира. Склоны долины сухи и каменисты, плоское днище достигает в ширину 4—7 км, местами на нем встречаются группы горько-соленых озер, самое крупное из которых — оз. Сасыккуль — имеет площадь около 9 км². Нижняя часть Аличурской долины занята на протяжении 25 км высокогорным оз. Яшилькуль, одним из крупнейших на Памире. Озеро завального происхождения, отметка уреза его 3734 м, площадь 35,6 км², глубина 40 м.

Ниже озера река принимает название Гунт. На протяжении почти 40 км р. Гунт течет в узком, труднопроходимом ущелье, а после впадения круп-

ного левого притока Токузбулак долина его расширяется. Далее вниз по течению р. Гунт с севера и юга принимает многочисленные притоки, текущие от ледников, а вблизи впадения в р. Пянджа, в 6,5 км выше устья, крупнейший левый приток — р. Шахдару, обширный бассейн которой занимает площадь 4180 км². Площадь всего бассейна р. Гунта 13 700 км².

Бассейну р. Гунта принадлежат склоны высоких горных хребтов, несущих на себе значительное оледенение. Большая протяженность района с запада на восток обеспечивает разнообразие условий существования ледников от восточно-памирского ландшафта — высокогорной пустыни с рельефом среднегорного типа — до западнопамирского с эрозионным рельефом и значительным количеством осадков. Граница, а точнее, переходная зона между этими ландшафтами проходит примерно по меридиану оз. Яшилькуль.

С севера над долиной Гунта—Аличура поднимаются склоны длинной горной цепи, которая в западной части носит название Рушанского хребта, а восточнее пер. Лянгар — Северо-Аличурского, или Базардаринского, хребта. Высшая точка этой цепи пик Патхур достигает 6080 м. К западу от пика Патхур линия гребня Рушанского хребта изрезана, изобилует острыми вершинами, северный склон круто спускается к р. Гунту. В верховьях долин-притоков в узких ущельях веером располагаются ледники.

Участок восточнее пика Патхур, включая пик Сафедоб, — наиболее высокая часть Рушанского хребта. Высокие водоразделы характерны здесь и для южных отрогов хребта, вершины которых поднимаются до 5500—5700 м. В этой части хребта наиболее развито оледенение. Фирновые бассейны крупнейших ледников района занимают большие площади на приводораздельной части склона, скальные гребни над ними имеют относительно небольшое превышение (рис. 3).

Далее к востоку осевая часть Рушанского хребта принимает иной облик — это платообразная поверхность с короткими открытыми долинами, по склонам которых спускаются ледники. Плато изобилует озерами, подпружеными древними моренами на высотах 4300—4600 м, наиболее крупные — озера Зарошкуль и Чапдара. Иногда главный водораздел пересекается сквозными долинами, в одной из них находится пер. Лянгар (4630 м).

Северо-Аличурский хребет имеет протяженность 110 км и среднюю высоту 5200 м. Наибольшие высоты сосредоточены в западной его части (пик

Лянгар, 5580 м). По направлению к востоку гребневая линия выравнивается. Количество ледников в этом направлении быстро убывает. В бассейнах рек Кулаккесте, Акджилга и Базардара имеется по одному леднику. Далее к востоку ледников нет. В то же время на противоположном склоне бассей-

Западная часть хребта отличается значительной высотой (вершина Кызыл-Данги, до 5706 м), здесь его гребень резко поднимается над плоской поверхностью северного склона, у основания вершин находятся наиболее крупные долинные ледники Южно-Аличурского хребта. Ледники этого участка

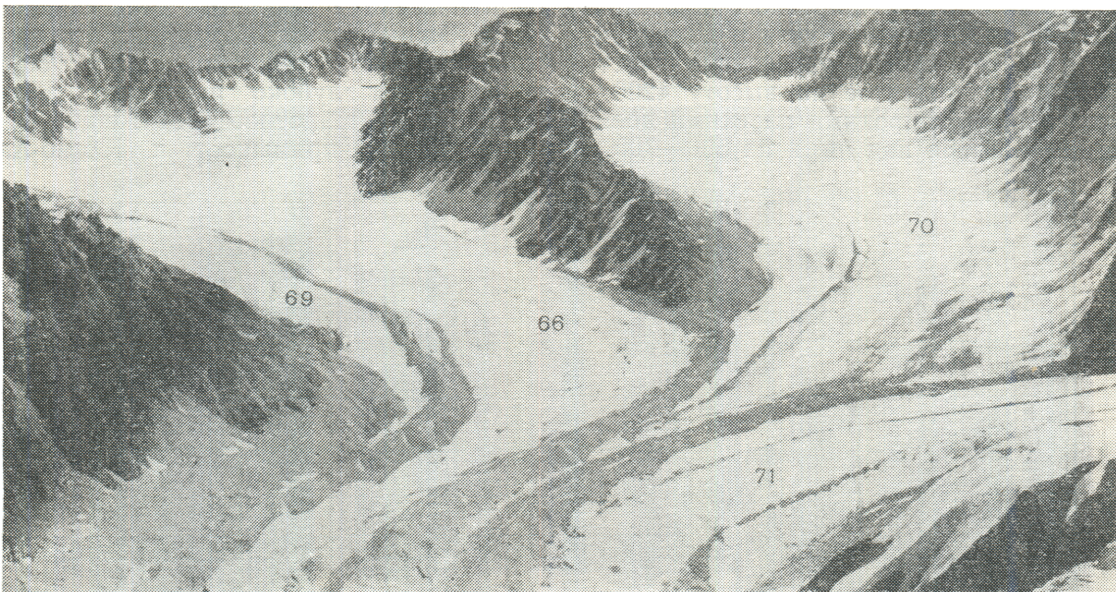


Рис. 3. Характер оледенения средней части Рушанского хребта. Верховья ледника Штеклозар.

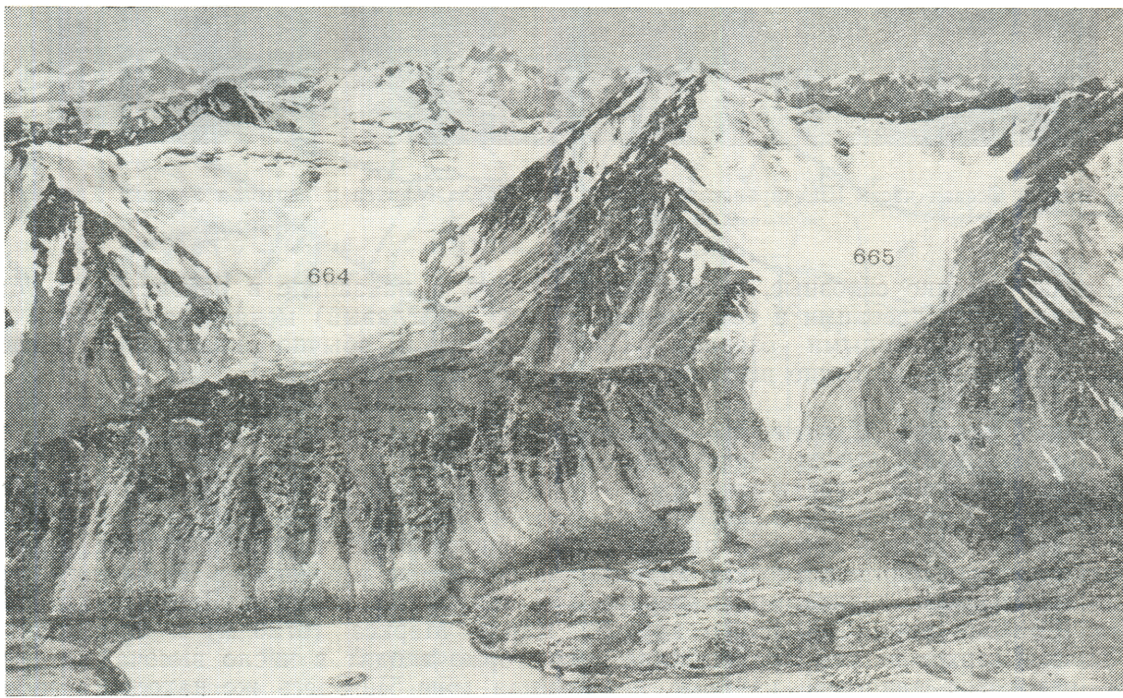


Рис. 4. Характер оледенения западной части Шугнанского хребта (бассейн р. Чандымдара).

на р. Аличур — на северном склоне Южно-Аличурского хребта ледники распространены дальше, вплоть до восточной границы бассейна. Мелкие разрозненные ледники равномерно распределены вдоль слабо расчлененной линии основного гребня и на некоторых северных отрогах хребта. Далее к западу высота гребня снижается и на протяжении 40 км хребет не имеет ледников. Наиболее низкая точка этого участка — пер. Харгуш (4280 м).

хребта принадлежат бассейну р. Токузбулак, лишь пять крайних западных ледников дают сток в р. Шахдара.

В этой части бассейна р. Гунта Южно-Аличурский хребет наиболее удален от Северо-Аличурского и между ними, слева от оз. Яшилькуль, поднимается горный массив Бакчигир, несущий значительное оледенение. Средняя высота массива 5240 м, высшая точка — пик Бакчигир — поднимается до

5806 м. Основная гряда гор протягивается в северо-западном направлении. Наиболее крупные ледники массива Бакчигира находятся в центральной его части и обращены на северо-восток.

Левые притоки р. Гунта ниже устья р. Токузулак питаются водами ледников Шугнанского хребта. Шугнанский хребет — обширный платообразный горный массив в целом широтного простирания, занимающий междуречье Гунта и Шахдары. На западном участке приводораздельная часть хребта представляет поднятое на высоту 4200—4500 м озерное плато с широкими плоскими долинами и возвышающимися над ними на 500—700 м

направлению к р. Шахдара чрезвычайно полого и представляет длинную платообразную поверхность, прорезанную прямолинейными меридиональными ущельями правых притоков р. Шахдара. Эта поверхность продолжается далее к югу, занимая северный склон Шахдаринского хребта и постепенно повышаясь до высоты 4600 м. Над ней резко поднимаются скалистые пики главного водораздела. Южный склон Шахдаринского хребта, в противоположность северному, круто обрывается к р. Пяндж и глубоко расченен. Шахдаринский хребет имеет широтное протяжение. На востоке у пер. Мац он примыкает к Южно-Аличурскому

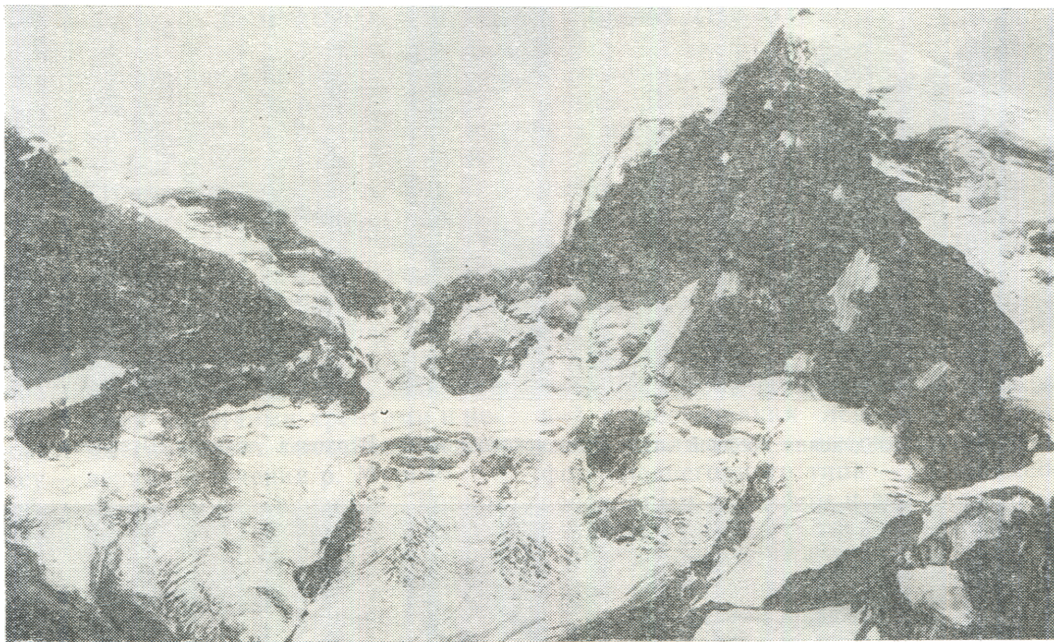


Рис. 5. Осевая часть Шахдаринского хребта. Пик Карла Маркса и верховья ледника Карла Маркса (№ 777).

хребтами. Долины, нередко сквозные, имеют ровные днища, заполненные древними и современными моренами, с многочисленными озерами. По склонам долин спускаются короткие широкие ледники (рис. 4).

На центральном участке Шугнанского хребта (восточнее пика Шавиаш) высоты вершин основного гребня постепенно увеличиваются от 5300 до 5700 м (пик Скалистый). В приводораздельной части хребта с южной стороны распространены широкие древние цирки и плоские долины с озерами и небольшими ледниками. Северный склон хребта в районе пика Скалистого крутой и короткий. Здесь в верховьях рек Варшиздара и Акмамадара находятся наиболее крупные ледники Шугнанского хребта. На запад от пика Скалистого уходит широтная долина одного из крупнейших притоков Гунта р. Ривакдары, отделенная от долины р. Гунта длинным скалистым отрогом. Северные склоны самого хребта и отрога заняты ледниками. К востоку от пика Скалистого высота Шугнанского хребта резко снижается до 5000 м. На южном склоне встречаются лишь единичные ледники, на северном мелкие ледничики приурочены к водоразделу рек Дузахдара и Токузулак.

Южный склон Шугнанского хребта спускается по

хребту, а на западе в районе пика Маяковского (пик Трехглавый) меняет направление на меридиональное и обычно называется Ишкашимским хребтом (табл. V/7).

Шахдаринский хребет — наиболее высокая горная цепь бассейна р. Гунта. Средняя высота его гребня 5400 м (в западной части) — 5600 м (в восточной). На трех его участках вершины поднимаются выше 6000 м — на западе (пик Маяковского), в центральной части в истоках р. Баджомдара и на востоке в истоках р. Реджиг, где хребет имеет наивысшие отметки. Здесь поднимаются пики Карла Маркса (6726 м) и Энгельса (6507 м), которые входят в число высочайших вершин Памира (рис. 5). Здесь же находятся и крупнейшие ледники Шахдаринского хребта, как на северном, так и на южном его склоне. Приводораздельная часть хребта с северной стороны покрыта сплошным рядом ледников, талые воды которых питают многочисленные левые притоки р. Шахдара, в том числе наиболее крупный из них — р. Бадомдара.

Бассейну р. Шахдара принадлежит восточный склон северной части Ишкашимского хребта. Гребень его постепенно понижается к северу, высота вершин убывает от 6000 м у пика Маяковского (рис. 6) до 4500 м против устья р. Шахдара. Ишкашимский хребет и его восточные короткие отроги не-

сут на себе ледники, число и размеры которых также заметно убывают с юга на север.

Таким образом, территория бассейна р. Гунта очень велика и условия климата, строение рельефа и характер размещения ледников существенно отличаются на разных его участках. Поэтому для рассмотрения характеристик оледенения бассейна было целесообразно выделить несколько крупных районов (рис. 7). По каждому из них под-

III. Правые верхние притоки р. Гунта — восточный участок правобережья р. Гунта, ледники (№ 186—255) южного склона Северо-Аличурского хребта.

IV. Левые верхние притоки р. Гунта — левобережная часть бассейна р. Аличур, район несет основную массу ледников северного склона Южно-Аличурского хребта (ледники № 256—360).



Рис. 6. Пик Маяковского — западная вершина Шахдаринского хребта.

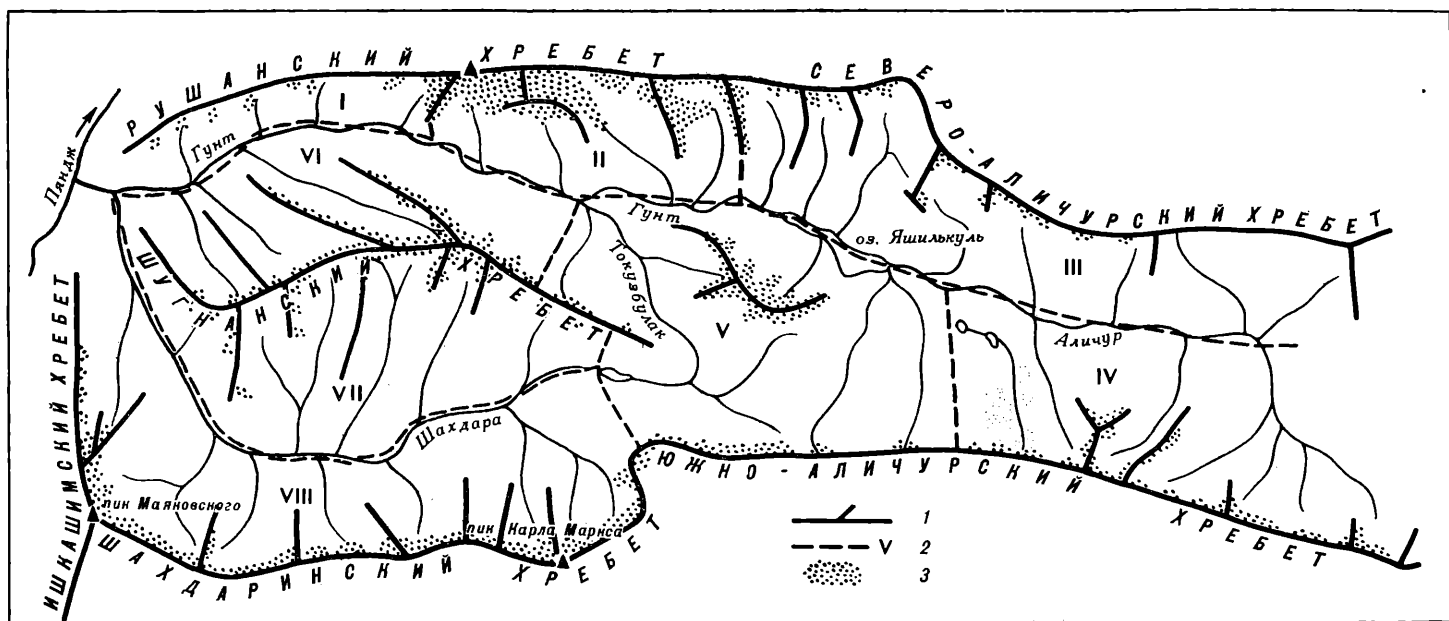


Рис. 7. Орографическая схема бассейна р. Гунта.

1 — хребет и основные отроги, 2 — граница района оледенения и его номер, 3 — участок распространения ледников.

считаны средние показатели оледенения, которые приводятся далее в текстовых таблицах.

I. Правые нижние притоки р. Гунта — район включает бассейны рек, принадлежащие западной части Рушанского хребта, до границы бассейна р. Патхур (ледники № 1—55).

II. Правые средние притоки р. Гунта — район оледенения наиболее высокой части Рушанского хребта включает территорию от бассейна р. Патхур до р. Андеравдж на востоке (ледники № 56—185).

V. Левые средние притоки р. Гунта — бассейны оз. Яшилькуль (левобережная часть) и притоков р. Гунта ниже озера, включая обширный бассейн р. Токузбулак. Район охватывает ледники (№ 361—492) массива Бакчигир и небольших участков северных склонов западной части Южно-Аличурского хребта и восточной части Шугнанского хребта.

VI. Левые нижние притоки р. Гунта — ледники (№ 493—637) северного склона Шугнанского хребта.

VII. Правые притоки р. Шахдары — ледники (№ 638—739) южного склона Шугнанского хребта.

VIII. Левые притоки р. Шахдара — ледники (№ 740—917) северного склона Шахдаринского хребта.

Всего в бассейне р. Гунт насчитывается 1349 ледников, которые занимают площадь 643,2 км². Распределение числа ледников и площади оледенения по основным районам приведено ниже (см. табл. 6).

если не считать кратковременных метеонаблюдений на леднике Бакчигир в 1972 и 1973 гг., организованных Таджикско-Памирской экспедицией ИГАН.

Самым холодным месяцем в бассейне р. Гунта является январь, самым теплым — июль (табл. 1). Температурный режим западной части района резко отличается от восточной. На западе долины р. Гунта средняя температура воздуха самого теплого месяца равна 22,8°C, по мере удаления на восток средняя температура воздуха июля резко

Таблица 1
Внутригодовой ход температуры воздуха по данным метеостанций Хорог, Джашангоз, Булункуль, Мургаб

Месяц	Температура, °C											
	средняя				абсолютный							
	Хорог	Джаушангоз	Булункуль	Мургаб	Хорог	Джаушангоз	Булункуль	Мургаб	Хорог	Джаушангоз	Булункуль	Мургаб
Январь	-7,9	-17,9	-25,5	-17,6	10	3	2	3	-32	-49	-61	-47
Февраль	-5,8	-16,2	-21,3	-13,9	14	4	3	8	-32	-48	-63	-47
Март	0,8	-10,0	-14,6	-6,8	21	10	8	13	-23	-44	-53	-37
Апрель	9,2	-2,1	-5,0	0,2	29	16	14	18	-10	-30	-39	-24
Май	14,9	4,9	2,8	5,8	34	24	22	25	-0,6	-12	-15	-12
Июнь	19,0	8,8	7,0	9,6	37	28	26	29	2	-7	-9	-7
Июль	22,8	12,4	11,2	13,5	38	29	26	33	6	-6	-8	-5
Август	22,6	11,9	10,1	13,1	38	28	25	29	5	-7	-11	-5
Сентябрь	18,3	7,2	5,0	7,4	36	26	21	25	0	-14	-18	-14
Октябрь	10,9	0,1	-2,7	-0,3	30	21	17	22	-14	-26	-31	-27
Ноябрь	3,4	-7,8	-10,6	-8,3	23	14	11	13	-18	-33	-40	-33
Декабрь	-3,8	-15,3	-21,3	-15,1	14	6	4	8	-27	-45	-54	-42
Год	8,7	-2,0	-5,4	-1,0	38	29	26	33	-32	-49	-63	-47

Примечание. Средние многолетние данные взяты из Справочника по климату СССР. Вып. 31. Ч. 2. (Л.: Гидрометеоиздат, 1966.)

КЛИМАТИЧЕСКИЕ УСЛОВИЯ

Территория района является очень неоднородной в климатическом отношении. Если его западная часть находится в условиях сухого климата с умеренно теплым летом и умеренно супротивной зимой, то восточная характеризуется сухим климатом с холодным летом и супротивной малоснежной зимой¹. Решающим климатическим фактором является внутренний положение Памира. Большая абсолютная высота территории обеспечивает значительную интенсивность солнечной радиации, а географическая широта местности — высокое стояние солнца в течение всего года.

Постоянные метеорологические наблюдения на территории бассейна ведутся на трех метеостанциях. Многолетний ряд наблюдений имеет станция Хорог (с 1890 г.), расположенная в самой западной части района. Метеостанция Джашангоз находится в центральной части района в верховьях долины р. Шахдара и имеет также длительный ряд наблюдений (с 1934 г.). В восточной части бассейна с 1950 г. работает метеостанция Булункуль, расположенная на берегу озера с одноименным названием. Близ восточной границы района (хотя и за пределами бассейна) находится метеостанция Мургаб, данные которой также характеризуют восточную часть рассматриваемого района. В ледниковой зоне бассейна р. Гунта метеорологических наблюдений до сих пор не производилось,

понижается. На метеостанции Булункуль она составляет 11,2°C, на промежуточной станции Джашангоз, тяготеющей к Восточному Памиру, она немного выше (12,4°C). Средняя температура воздуха самого холодного месяца на западе района составляет -7,9°C, на востоке долины средняя температура воздуха самого холодного месяца достигает -25,5°C, на метеостанции Джашангоз -17,9°C. Годовая амплитуда средних месячных температур воздуха в районе составляет 30—37°C, в ледниковой зоне она должна быть меньше. Если на западе района только три месяца (декабрь, январь, февраль) имеют отрицательные температуры воздуха, то на востоке такая температура держится шесть-семь месяцев. Средняя годовая температура воздуха в западной части долины составляет -8,7°C, по мере удаления к востоку она понижается; на метеостанции Джашангоз она составляет -2,0°C, на метеостанции Булункуль -5,4°C, а близ восточной границы района на метеостанции Мургаб она опять повышается до -1,0°C. Абсолютный минимум температуры исключительно низкий. Так, на метеостанции Булункуль он достигает -63°C, на метеостанции Джашангоз -49°C.

С февраля начинается постепенное повышение температуры воздуха. Переход средних суточных температур воздуха через 0°C на западе долины наблюдается в середине марта, на востоке — в конце апреля — начале мая. Осенью переход температур через 0°C на востоке долины происходит в начале октября, а на западе — в конце ноября (табл. 2). Колебания дат первого осеннего и последнего весеннего заморозков очень велики от года к году. В

¹ Атлас Таджикской ССР. Душанбе—Москва: изд. ГУГК при СМ СССР, 1968.

западной части района на высоте 2000 м первый заморозок отмечается в среднем в конце октября, последний — в начале апреля. В восточной части района, а также в ледниковой зоне безморозный период резко сокращается. Так, по данным метеостанций Джашангоз и Булункуль, длительность безморозного периода составляет менее 30 дней в году.

Бассейн р. Гунта расположен на пути влагонесущих воздушных масс, которые поступают с запада, юго-запада и юга. Наиболее богата влагой западная часть бассейна, где в устье р. Гунта годовая сумма осадков составляет 257 мм. Воздушные массы, достигающие восточной части района, значительно обеднены влагой, здесь количество осадков

чете средней летней температуры воздуха на высоте границы питания ледников, А. Н. Кренке¹ были получены следующие величины годовой суммы осадков на ледниках района. В западной части района осадки могут достигать 1400—1500 мм, в центральной части (южный склон Рушанского хребта) — 1000—1200 мм, а на востоке бассейна р. Гунта — 600—800 мм. Относительно большое количество осадков в ледниковой зоне сухой, восточнопамирской части бассейна объясняется, вероятно, добавочным количеством влаги, приносимым с тропическим воздухом из Индии.

Снегосъемки проводятся в западной части долины р. Гунта. Снегомерные пункты распределены

Таблица 2

Даты перехода средних суточных температур воздуха через 0° С, первых и последних заморозков

Станция	Переход средних суточных температур воздуха через 0° С		Заморозки				Средняя продолжительность безморозного периода, дни	
			последний		первый			
	весна	осень	средняя	самая ранняя	средняя	самая поздняя		
Хорог	13/III	27/XI	5/IV	16/III 1931	29/X	27/XI 1942	206	
Джаушангоз	20/IV	16/X	
Булункуль	1/V	7/X	
Мургаб (правый берег)	15/IV	14/X	24/VI	4/VI 1942	28/VIII	13/IX 1943, 1948	64	

Примечание. Точка (·) — в 50% всех лет длительность безморозного периода составляет менее 30 дней.

Таблица 3

Среднее количество осадков с поправками к показаниям осадкометра, мм

Станция	I	II	III	IV	V	VI	VII	VIII	IX	X	XI	XII	Год
Хорог	33	34	42	45	27	11	4	0	2	13	21	25	257
Джаушангоз	14	19	25	30	28	12	5	4	3	8	12	17	177
Булункуль	11	12	17	22	14	4	1	0	1	5	7	10	104
Мургаб	6	4	7	9	16	17	10	11	9	3	3	2	97

Примечание. Средние многолетние данные взяты из Справочника по климату СССР. Вып. 31. Ч. 4. (Л.: Гидрометеиздат, 1969).

заметно убывает. Так, на метеостанции Джашангоз годовое количество осадков равно 177 мм, еще восточнее, в районе оз. Булункуль оно уменьшается до 104 мм. Это один из самых сухих районов Советского Союза (после оз. Каракуль и долины р. Мургаба). Помимо западного переноса влаги в формировании осадков южной части Памира значительную роль играют выносы тропического воздуха из Индии (зимой, весной и в начале лета). Основная масса осадков в районе выпадает в зимние и весенние месяцы (табл. 3). Максимальная месячная сумма осадков приходится на апрель, на метеостанции Хорог она составляет 45 мм, в восточной части долины на метеостанции Булункуль — 22 мм. Наименьшее количество осадков приходится на летние месяцы. На востоке бассейна, по наблюдениям на метеостанциях, жидкие осадки в годовой сумме осадков составляют менее 10%. В ледниковой зоне и тем более в областях питания ледников осадки в течение всего года выпадают в твердом виде. Это подтверждается непосредственными полевыми наблюдениями на ледниках. Оценить величину осадков в ледниковой зоне сложно, так как показания суммарных и станционных осадкометров очень не-надежны и трудно сравнимы. Основываясь на рас-

тии равномерно по дну долины от устья реки до впадения в нее р. Токузбулак. Выше по р. Токузбулак также находится несколько снегомерных пунктов, в верховьях реки они установлены на высотах 3600—3900 м. Снегосъемки в долине указывают на значительную высоту снежного покрова, достигающую в среднем 40—50 см, а в отдельных местах до 120 см.

Чрезвычайно характерной формой поверхности ледников и снежников в бассейне р. Гунта в летнее время являются «кающиеся». Они представляют формы избирательного таяния снега и льда, которое протекает в условиях солнечной, сухой, умеренно холодной погоды. Повсеместное развитие «кающихся» в ледниковой зоне бассейна свидетельствует об определенной структуре теплового баланса периода аблации. Решающим условием для образования этих форм является громадное преобладание прямой радиации над рассеянной, малая величина турбулентного теплообмена и большая отдача тепла за счет эффективного излучения и испарения. Величина и форма «кающихся» могут служить индика-

¹ Кренке А. Н. Климатические условия существования современного оледенения Средней Азии. — Изв. АН СССР. Серия геогр., 1973, № 1.

тором предшествующих условий погоды. Поле «каючихся» идентичной формы с одинаково хорошо выраженным углом наклона и достаточно длинным ребром по теневой стороне свидетельствует о длительном периоде антициклональной погоды. При облачности, осадках и потеплении «кающиеся» деформируются или полностью уничтожаются (табл. V/14).

ГИДРОЛОГИЧЕСКИЙ РЕЖИМ

В гидрологическом отношении территория бассейна р. Гунта чрезвычайно мало изучена. Приведенные ниже данные взяты из книги А. О. Кеммериха (табл. V/11), в которой собраны материалы полевых наблюдений за стоком рек Памира, а также проанализированы данные гидрологических справочников Гидрометеослужбы.

Основными факторами гидрологического режима бассейна являются его большая абсолютная высота, значительное оледенение и неравномерность снабжения территории осадками. Восточная часть бассейна р. Гунта отличается маловодностью — в пределах Аличурской долины модули стока не превышают 3 л/(с·км²), реки имеют поверхностный сток лишь в начале лета. Однако и в этом районе в верхней части хребтов, в ледниковой зоне удельная водоносность рек возрастает до 15 л/(с·км²). В западной части бассейна, отличающейся значительной увлажненностью и развитием мощного оледенения, модули стока в верховьях притоков р. Гунта достигают 20—25 л/(с·км²). Густота речной сети здесь велика. Например, в бассейне р. Бадомдара (левого притока р. Шахдара) она составляет 0,5 км/км².

Средний годовой расход р. Гунта при впадении в р. Пяндж равен 105 м³/с, что соответствует модулю стока 8 л/(с·км²). Средний годовой расход р. Шахдара, бассейн которой занимает треть площади бассейна р. Гунта, в ее устье составляет 35,2 м³/с.

Большая абсолютная высота бассейна (в среднем 4170 м) обеспечивает принадлежность р. Гунта к рекам ледниково-снегового питания с длительным весенне-летним половодьем, которое продолжается обычно с середины мая до середины сентября. Пик половодья приходится в среднем на середину июля, но в отдельные годы наблюдается и в августе. Талые воды снегов и ледников составляют соответственно 35 и 25% годового стока р. Гунта. Значитель-

ную долю стока (39%) образуют подземные воды — в основном трансформированные талые воды сезонных снегов. Ничтожная роль дождевого питания (менее 1%) объясняется малым количеством летних осадков, которые на значительной части территории представлены в твердом виде.

Объем ледникового стока за год составляет в среднем 864 млн. м³ (при общей величине годового стока р. Гунта 3337 млн. м³). Таяние ледников начинается в конце июня — начале июля и происходит параллельно с таянием сезонных снегов, а в конце лета — перелетывающих снежников. Доля ледникового стока за период аблации в бассейне р. Гунта составляет 48%, т. е. в два раза больше, чем в среднем в течение года. Средний сток р. Гунта за этот период (июль, август, сентябрь) равен 1815 млн. м³ — больше половины годового стока реки.

ОСНОВНЫЕ ХАРАКТЕРИСТИКИ ОЛЕДЕНЕНИЯ

Положение фирновой линии

Разнообразие условий увлажненности горных склонов на рассматриваемой территории вызывает большие колебания высоты фирновой линии на ледниках. В низовые р. Гунта, наиболее богатом осадками, на правом наветренном склоне фирновая граница опускается на самые низкие для всего бассейна уровни — в среднем по району I — до 4580 м. При этом более 20% ледников имеют отметку фирновой линии 4400 м. Здесь же, но на подветренном левом склоне долины фирновая граница поднята выше, несмотря на северную экспозицию склона. Здесь даже на западе она нечасто опускается ниже 4600 м, а средний ее уровень в районе VI составляет 4750 м (табл. 4). Сказывается прямое влияние осадков, приходящих в устьевую часть бассейна р. Гунта с юго-западными потоками влаги.

По направлению к востоку уровень фирновой линии постепенно повышается. На ледниках центральной, высокой части Рушанского хребта фирновая линия находится на высоте в среднем 4830 м, причем средний уровень ее для ледников различной экспозиции почти не меняется (табл. 4). Относительно низко опущена фирновая граница лишь на ледниках северной и западной экспозиции — в среднем до 4750 м.

Наиболее высоко поднята фирновая линия в бассейне р. Аличур — в среднем на 5050 м (на обоих

Таблица 4

Положение фирновой линии на ледниках различной экспозиции, м над ур. м.

Район оледенения	С	СВ	В	ЮВ	Ю	ЮЗ	3	СЗ	Среднее для района	Максимальное	Минимальное	Разница крайних отметок
I	4480	4470	4590	4600	4580	4660	4570	4610	4580	4800	4400	400
II	4750	4810	4850	4840	4860	4840	4750	4820	4830	5000	4500	500
III	4930	4900	4970	5060	5150	5150	4850	5000	4940	5150	4650	600
IV	5030	5050	5080	—	—	—	5200	5040	5030	5200	4900	350
V	4920	4980	5010	5030	—	—	5000	4930	4910	5150	4800	350
VI	4750	4690	4680	4740	—	4950	4850	4760	4750	5000	4300	700
VII	4750	4880	4950	5060	5070	5070	5080	4920	4830	5200	4600	600
VIII	4820	4790	4940	—	5050	5000	5000	4880	4830	5050	4500	650
В целом по бассейну	4830	4860	4870	4840	4870	4840	4880	4850	4840	4880	4830	50

Примечание. Высота фирновой линии дается как средняя взвешенная (по площади) для ледников различной экспозиции. Сложные долинные ледники расчленены на составляющие их потоки.

склонах), максимально — до 5200 м. Только пять ледников в этом бассейне имеют отметку фирновой границы 4900 м, основная масса ледников — 5000 м и более. Здесь на ледниках экспозиций всех румбов фирновая граница поднята выше, чем в остальных районах бассейна р. Гунта. Ледников южного сектора всего два — на южном склоне Базардаринского хребта, они имеют максимальную для правобережья р. Аличур отметку фирновой линии (5150 м).

Несколько ниже, но также очень высокий уровень фирновой линии отмечается в горах к северу и югу от оз. Яшилькуль — в среднем 4940 м, местами — 5100—5150 м. В горах Бакчигир такие высокие отметки фирновой линии встречаются на ледниках его восточной окраины. К западу от массива Бакчигира вдоль левого склона долины р. Гунта фирновая линия также постепенно снижается. В

низким положением концов ледников, спускающихся по узким крутым долинам.

На противоположном, левом склоне долины р. Гунта (район VI) вертикальный диапазон оледенения несколько сокращен за счет многочисленных коротких ледников западной части Шугнанского хребта, оканчивающихся на платообразной поверхности осевой зоны хребта. На южном склоне Шугнанского хребта (район VII) такие ледники распространены на еще большей площади. Они оканчиваются относительно высоко — в среднем на 4740 м, и отрицательная разность оледенения здесь исключительно мала (90 м). Вертикальный диапазон оледенения составляет всего 340 м.

Вторым районом с небольшим диапазоном высотного распространения ледников является бассейн р. Аличур, где развитие оледенения ограничено чрезвычайной сухостью климата. Вследствие

Таблица 5

Высотные характеристики ледников, м над ур. м.

Район оледенения	Высота ледника, м						Средний вертикальный диапазон оледенения	Диапазон крайних точек ледников	Положительная разность оледенения	Отрицательная разность оледенения
	средняя конца	минимальная конца	максимальная конца	средняя высшей точки	минимальная высшая точки	максимальная высшая точки				
I	4320	3920	4600	4880	4400	5300	560	1380	300	260
II	4550	4100	5000	5120	4700	5550	570	1450	290	280
III	4750	4450	5100	5150	4800	5650	400	1200	210	190
IV	4880	4660	5150	5230	5000	5480	350	820	200	150
V	4710	4320	5050	5160	4600	5750	450	1430	220	230
VI	4470	3420	4980	4960	4340	5600	490	2180	210	280
VII	4740	4440	5120	5080	4680	5650	340	970	250	90
VIII	4620	4060	5800	5180	4580	6100	560	2040	350	210
В целом по бассейну	4630	3420	5800	5100	4340	6100	470	2680	260	210

Примечание. Сложные долинные ледники расчленены на составляющие их потоки.

бассейне р. Ривакдара фирновая линия на ледниках северного склона опускается с 4800 м в верховьях долины до 4400 м в нижней ее части.

На южном склоне Шугнанского хребта, в западной его части, высота фирмовой линии колеблется в пределах 4650—4800 м. Восточнее бассейна р. Чапдымдара она поднимается до 4900—5000 м, а на отдельных ледниках — до 5100 м. Северный склон Шахдаринского хребта характеризуется небольшими колебаниями высоты фирмовой линии. На всем его протяжении для наибольшего числа ледников она находится в пределах 4800—4900 м, отметки 5000 м встречаются редко, три ледника имеют максимальную для района VIII отметку фирмовой линии — 5050 м.

Высотное положение ледников

Вследствие больших колебаний высоты фирмовой линии и несходства в характере рельефа высотное размещение ледников в разных частях бассейна р. Гунта неодинаково. В западных районах правобережья р. Гунта (районы I, II) с относительно низкой высотой фирмовой линии и глубоко расчлененными склонами средний вертикальный диапазон оледенения велик — 560—570 м (табл. 5). Разница в крайних высотных отметках здесь также значительна (порядка 1400 м). При относительно небольших высотах гор в этих районах большой высотный диапазон оледенения обеспечивается

Таблица 6
Распределение ледников по основным районам бассейна р. Гунта

Район оледенения	Ледники площадью				Всего	
	0,1 км ² и более		<0,1 км ²		количество	площадь, км ²
	количество	площадь, км ²	количество	площадь, км ²		
I	55	25,7	24	1,6	79	27,3
II	130	161,7	39	2,3	169	164,0
III	70	30,3	40	2,8	110	33,1
IV	105	32,3	59	4,3	164	36,6
V	132	94,4	53	4,6	185	99,0
VI	145	100,4	59	2,7	204	103,1
VII	102	38,0	53	2,4	155	40,4
VIII	178	126,2	105	4,5	283	130,7
Итого	917	609,0	432	25,2	1349	634,2

высокого положения фирмовой линии ледники здесь занимают лишь верхний пригребневой пояс гор. Положительная разность оледенения на северном склоне Южно-Аличурского хребта составляет в среднем 200 м. В таких условиях, а также при малом расчленении гор языки ледников на открытых широких склонах коротки. В районе IV самый низкий конец ледника имеет отметку 4660 м — более чем на 200 м выше по сравнению с другими районами с наиболее высоко оканчивающимися языками ледников (районы III, VII). Средняя высота

верхней границы ледников наивысшая в бассейне р. Гунта (5230 м). В то же время Южно Аличурский хребет не имеет высоких вершин и максимальная отметка начала ледника (5480 м) ниже, чем в любом другом районе бассейна р. Гунта (кроме района I). Таким образом, колебания высотного положения ледников на восточной окраине бассейна не-

Таблица 7
Крупнейшие ледники района

Название и номер ледника	Бассейн реки (номер района)	Тип ледника	Площадь, км ²	Длина, км
Сафедоб (№ 129—133)	Айрансу (II)	сл. дол.	19,4	12,2
Уар (№ 162)	Андеравдук (II)	»	18,4	9,2
Штеклозар (№ 66—71)	Патхур (II)	дендр.	18,3	10,9
Урта-Бакчигир II (№ 378)	Урта-Бакчигир II (V)	дол.	11,7	7,0
Чапдара (№ 83—84)	Патхур (II)	сл. дол.	8,0	5,0
№ 104—106	Шадзуддара (II)	»	7,6	6,0
Варшидз (№ 500)	Варшидзда-ра (VI)	»	7,5	6,0
№ 62—65	Патхур (II)	»	6,8	4,7
Урта-Бакчигир I (№ 380)	Урта-Бакчигир I (V)	дол.	6,7	5,0
№ 882	Бадомдара (VIII)	сл. дол.	6,4	4,6

ния в районе VIII — 350 м (при 260 м среднем по всему бассейну). Относительно велик здесь вертикальный диапазон оледенения и крайних отметок ледников.

Размеры и экспозиция ледников

Всего в бассейне р. Гунта насчитывается 917 ледников размерами более 0,1 км², которые занимают площадь 609 км². 432 ледника меньших размеров занимают в сумме лишь 25,2 км² площади (табл. 6).

Ледники распространены по всей территории бассейна р. Гунта на склонах разной ориентации. Исключение составляет лишь восточная часть района — бассейны Аличура и верховий р. Шахдары, где господствует восточнопамирский ландшафт. Здесь основная масса ледников приурочена к северным склонам Южно-Аличурского и Шахдаринского хребтов, в то время как южные склоны достаточно высоких Базардаринского и Шугнанского хребтов почти лишены оледенения.

В целом на правобережье р. Гунта сосредоточено 35% всей площади оледенения бассейна, на левобережье — 38% и в бассейне р. Шахдара — 27%. Наибольшую площадь занимают ледники на северных склонах крупных хребтов (Шугнанского и Шахдаринского) и гор Бакчигир (районы V, VI и VIII), а также в районе наибольших высот южного склона Рушанского хребта (район II). На этих участках

Таблица 8
Распределение ледников по величине их площади

Район оледенения	Количество ледников площадью, км ²						Всего ледников	Площадь одного ледника, км ²	
	<0,1	0,1—0,5	0,6—1,0	1,1—5,0	5,1—10,0	>10,0		средняя	максимальная
I	24 31,6	37 48,7	10 13,2	5 6,5	—	—	76 100	3,0	0,36
II	39 26,5	63 41,7	9 5,9	33 21,9	3 2,0	3 2,0	150 100	19,4	1,09
III	40 37,0	49 45,4	14 13,0	5 4,6	—	—	108 100	2,3	0,31
IV	59 36,0	89 54,3	13 7,9	3 1,8	—	—	164 100	1,3	0,22
V	53 28,7	91 49,2	23 12,4	15 8,1	2 1,1	1 0,5	185 100	11,7	0,54
VI	59 29,5	91 45,5	22 11,0	26 13,0	2 1,0	—	200 100	7,5	0,52
VII	53 34,2	82 52,9	13 8,4	7 4,5	—	—	155 100	2,2	0,26
VIII	105 37,2	109 38,7	34 12,1	32 11,3	2 0,7	—	282 100	6,4	0,46
Итого	432 32,8	611 46,3	138 10,4	126 9,5	9 0,7	4 0,3	1320 100	19,4	0,48

Примечания. 1. В числителе — количество ледников, в знаменателе — процент общего количества ледников в районе.
2. Сложные долинные ледники не расчленены на отдельные потоки.

велики, а диапазон крайних точек ледников составляет всего 820 м.

Верхняя граница ледников значительно поднята также на Шахдаринском хребте, самом высоком в бассейне. 12 ледников здесь начинаются на высотах от 5600 до 5900 м, а висячий ледник на вершине в истоках р. Баджомдара расположен между отметками 6100—5800 м. Большая крутизна верхней части склона Шахдаринского хребта объясняет значительную величину положительной разности оледене-

ния в районе VIII — 350 м (при 260 м среднем по всему бассейну). Относительно велик здесь вертикальный диапазон оледенения и крайних отметок ледников.

Крупные ледники приурочены к наиболее высоко поднятym участкам хребтов. Самые значительные ледники расположены там, где на больших высотах есть обширные выровненные пространства, позволяющие снегу накапливаться в областях питания на большой площади. Характерны в этом отношении

центральная часть Рушанского хребта и в меньшей мере северные склоны хр. Бакчигир. Крутизна пригребневой части самого высокого Шахдаринского хребта мешает образованию здесь очень крупных ледников.

Наиболее значительный и единственный по своим размерам узел оледенения расположен на южном склоне Рушанского хребта на участке пик Патхур — пик Сафедоб. Здесь находятся три крупнейших ледника (примерно равные по размеру) — Сафедоб Уар и Штеклозар, занимающие вместе $56,1 \text{ км}^2$. Общая площадь ледников в этом районе (II) составляет

ники с площадью более 5 км^2 , которые занимают, однако, 20% площади оледенения Гунта.

Что касается длины ледников, то в целом, кроме самых маленьких, наиболее распространены ледники средней длины — от 0,6 до 2,0 км (табл. 9). В центральной части южного склона Рушанского хребта (район II) наиболее часто встречаются ледники длиной от 1 до 5 км, а в таких районах, как районы IV и VII, отмечаются более короткие ледники, длиной от 0,1 до 1 км (не считая самых мелких).

Характерна экспозиция ледников бассейна р. Гунта. Так как крупные горные хребты здесь имеют

Таблица 9

Распределение количества ледников различной длины

Район оледенения	Количество ледников длиной, км						Всего ледников	Максимальная длина одного ледника, км
	<0,5*	0,1—0,5	0,6—1,0	1,1—2,0	2,1—5,0	>5,0		
I	24	2	16	24	10	—	76	4,6
	31,6	2,6	21,1	31,6	13,1	—	100	
II	39	6	29	36	35	5	150	12,2
	26,5	4,0	19,2	23,8	23,2	3,3	100	
III	40	5	35	21	7	—	108	3,4
	37,0	4,6	32,5	19,4	6,5	—	100	
IV	59	21	62	20	2	—	164	2,7
	36,0	12,8	37,8	12,2	1,2	—	100	
V	53	15	61	45	9	2	185	7,0
	28,6	8,1	33,0	24,3	4,9	1,1	100	
VI	59	27	56	34	22	2	200	6,8
	29,5	13,5	28,0	17,0	11,0	1,0	100	
VII	53	25	48	24	5	—	155	3,8
	34,2	16,1	31,0	15,5	3,2	—	100	
VIII	105	31	53	63	29	1	282	6,0
	37,2	11,0	18,8	22,3	10,3	0,4	100	
Итого:	432	132	360	267	119	10	1320	12,2
	32,8	10,0	27,3	20,2	9,0	0,7	100	

* В графу включены ледники размерами менее $0,1 \text{ км}^2$, независимо от их длины.

Примечания. 1. В числителе — количество ледников, в знаменателе — процент общего количества ледников в каждом районе.

2. Сложные долинные ледники не расчленены на составляющие их потоки.

около 23% площади оледенения всего бассейна р. Гунта. Такая концентрация оледенения на сравнительно небольшой площади объясняется прежде всего указанными выше благоприятными особенностями строения осевой части хребта на его наиболее высоком участке, а также, возможно,носом дополнительной влаги южными воздушными потоками, проникающими на север через понижение на Южно-Аличурском хребте и далее по долине р. Токузулак.

Район II — единственный район в бассейне р. Гунта, где средняя площадь ледника достигает 1 км^2 . В целом по всему бассейну размер среднего ледника равен $0,48 \text{ км}^2$ (табл. 8). Наиболее мелкими ледниками отличаются бассейн р. Аличур и правобережье р. Шахдара. По табл. 8 видно, что в бассейне р. Гунта подавляющее большинство ледников (79%) составляют мелкие, не превышающие $0,5 \text{ км}^2$. При этом во всех районах бассейна наиболее распространены ледники размерами $0,1—0,5 \text{ км}^2$. В районах IV и VII они составляют более половины всех ледников, в остальных — немногим меньше половины. 20% общего числа ледников составляют ледники размерами от $0,5$ до 5 км^2 , и лишь 1% приходится на лед-

широтное простиранье, склоны их обращены на север и юг. В то же время каждый склон представляет целую систему крупных и более мелких отрогов, ориентированных различным образом, несущих ледники или свободных от них.

По данным табл. 10 и рис. 8 видно, что на макросклонах, обращенных на север, как по числу, так и по суммарной площади (районы IV—VI, VIII) резко преобладают ледники северной экспозиции. Наиболее крупные ледники в этих районах также обращены на север. На южных макросклонах распределение ледников по экспозиции в разных частях бассейна неодинаково. Так, на южном склоне Рушанского и Базардаринского хребтов ледники южного сектора (ЮВ, Ю, ЮЗ) преобладают над ледниками северного сектора лишь в западной части склона, открытой южным и юго-западным ветрам (район I), где они занимают в сумме 56% площади оледенения района. Далее к востоку преимущественное распространение получают ледники подветренных склонов — восточных румбов (СВ, В, ЮВ), площадь которых в сумме составляет 70% площади ледников этого района. И наконец, восточный участок склона (район III) отличается развитием ледников

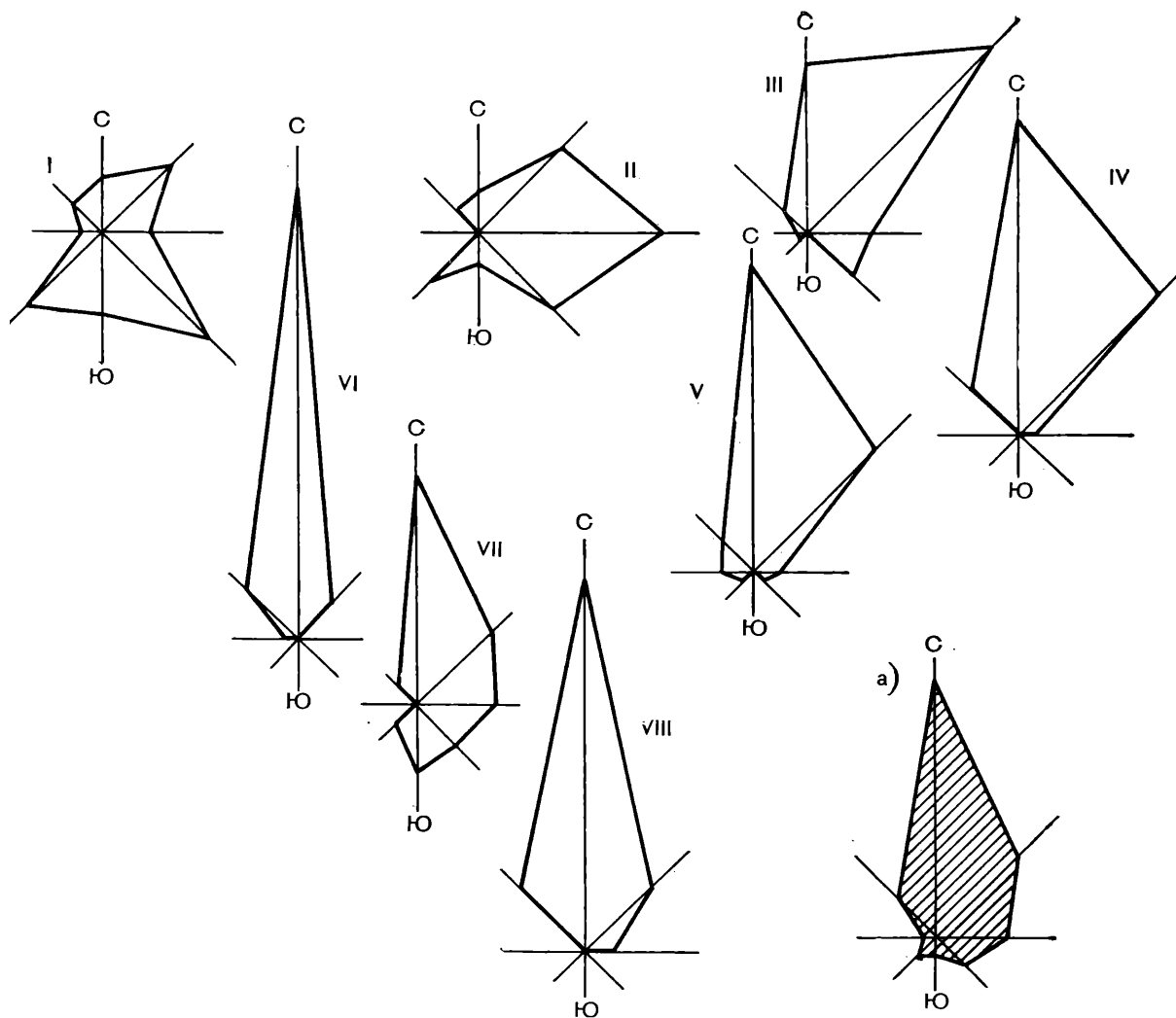


Рис. 8. Распределение площади оледенения бассейна р. Гунта по экспозициям по районам оледенения.

I — правые нижние притоки р. Гунта, II — правые средние притоки р. Гунта, III — правые верхние притоки р. Гунта, IV — левые верхние притоки р. Гунта, V — левые средние притоки р. Гунта, VI — левые нижние притоки р. Гунта, VII — правые притоки р. Шахдара, VIII — левые притоки р. Шахдара, а — распределение по экспозициям всех ледников района в целом.

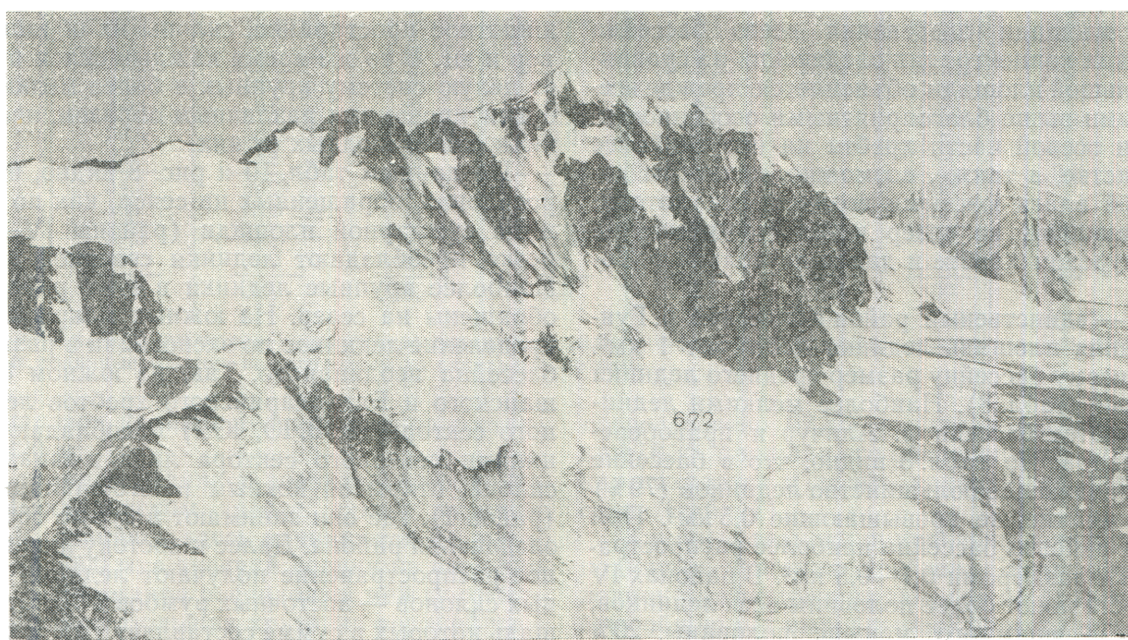


Рис. 9. Южный склон Шугнанского хребта. Пик Шавиаш.

Таблица 10

Распределение числа и площади ледников по экспозициям

Характеристика	С	СВ	В	ЮВ	Ю	ЮЗ	З	СЗ	Всего
Район I. Правые нижние притоки р. Гунта									
Количество	5 9,1 2,4 9,3	13 23,6 4,0 15,6	9 16,4 2,1 8,2	9 16,4 6,3 24,5	8 14,5 3,6 14,0	4 7,3 4,5 17,5	2 3,6 0,9 3,5	5 9,1 1,9 7,4	55 100 25,7 100
Площадь									
Район II. Правые средние притоки р. Гунта									
Количество	20 15,4 11,5 7,1	34 26,2 31,9 19,7	22 16,9 51,0 31,5	19 14,6 29,6 18,3	7 5,4 8,0 5,0	12 9,2 21,1 13,0	3 2,3 0,9 0,6	13 10,0 7,7 4,8	130 100 161,7 100
Площадь									
Район III. Правые верхние притоки р. Гунта									
Количество	25 35,7 8,7 28,7	31 44,3 12,5 41,2	5 7,1 4,2 13,9	2 2,9 2,9 9,6	1 1,4 0,2 0,7	1 1,4 0,3 1,0	3 4,3 0,4 1,3	2 2,9 1,1 3,6	70 100 30,3 100
Площадь									
Район IV. Левые верхние притоки р. Гунта									
Количество	59 56,2 17,0 52,7	30 28,6 10,5 32,5	5 4,8 1,0 3,1	— — — —	— — — —	— — — —	1 0,9 0,2 0,6	10 9,5 3,5 11,1	105 100 32,3 100
Площадь									
Район V. Левые средние притоки р. Гунта									
Количество	75 56,9 49,5 52,4	18 13,6 27,2 28,8	9 6,8 3,3 3,5	4 3,0 1,9 2,0	— — — —	1 0,8 1,6 1,7	7 5,3 4,7 5,0	18 13,6 6,2 6,6	132 100 94,4 100
Площадь									
Район VI. Левые нижние притоки р. Гунта									
Количество	86 59,2 76,1 75,8	23 15,9 7,4 7,4	2 1,4 0,4 0,4	4 2,8 1,5 1,5	— — — —	1 0,7 0,2 0,2	5 3,4 2,4 2,4	24 16,6 12,4 12,3	145 100 100,4 100
Площадь									
Район VII. Правые притоки р. Шахдара									
Количество	39 38,3 14,7 38,7	23 22,5 6,5 17,1	9 8,8 5,1 13,4	9 8,8 3,7 9,7	7 6,9 4,7 12,4	8 7,9 1,8 4,7	3 2,9 0,4 1,1	4 3,9 1,1 2,9	102 100 38,0 100
Площадь									
Район VIII. Левые притоки р. Шахдара									
Количество	104 58,4 79,6 63,0	36 20,2 19,4 15,4	4 2,3 5,8 4,6	— — — —	2 1,1 0,3 0,2	1 0,6 0,2 0,2	3 1,7 0,6 0,5	28 15,7 20,3 16,1	178 100 126,2 100
Площадь									
В целом по бассейну									
Количество	413 45,0 259,5 42,6	208 22,7 119,4 19,6	65 7,1 72,9 12,0	47 5,1 45,9 7,5	25 2,7 16,8 2,8	28 3,1 29,7 4,9	27 3,0 10,5 1,7	104 11,3 54,3 8,9	917 100 609,0 100
Площадь									

Примечания. 1. В числителе — количество ледников или их общая площадь, км², в знаменателе — доля общего количества или площади ледников, %.

2. Сложные долинные ледники расчленены на составляющие их потоки.

3. Ледники площадью менее 0,1 км² в таблицу не включены.

северной и северо-восточной экспозиций. Последние две экспозиции характерны для ледников всей восточнопамирской части бассейна р. Гунта и зоны переходных ландшафтов от западнопамирских к восточнопамирским (районы III—V).

На южном склоне Шугнанского хребта мелкие ледники, занимающие пригребневую зону, расположены на северных, теневых, склонах и восточных, подветренных,

Морфологические типы ледников

Разнообразие условий рельефа и степени увлажненности горных склонов в бассейне р. Гунта создает многочисленные вариации морфологических типов ледников. Для различных районов бассейна характерны свои особенности морфологии оледенения. В районах с западнопамирским типом рельефа (I, II, VI) преобладают разнообразные карово-долин-

Таблица 11

Распределение морфологических типов ледников по основным районам оледенения

Характеристика	Морфологический тип ледника												Итого	
	дендритовый	сложный долинный	простой долинный	висячий долинный	асимметричный долинный	карово-долинный	висячий карровый	карровый	асимметричный карровый	карово-висячий	висячий	склоновый		
Район I. Правые нижние притоки р. Гунта														
Количество	—	7	8	1	7	14	—	8	4	—	—	1	52	
Площадь	—	7,3 28,4	6,5 25,3	0,2 0,8	3,9 15,2	4,9 19,1	—	1,2 4,6	1,0 3,9	—	—	0,3 1,2	0,4 1,5	25,7 100
Район II. Правые средние притоки р. Гунта														
Количество	1 18,3 11,3	12 78,6 48,6	24 28,1 17,4	1 0,2 0,1	13 15,5 9,6	16 6,0 3,7	—	15 3,2 2,0	6 2,6 1,6	1 0,1 0,1	9 1,7 1,0	10 5,5 3,4	3 1,9 1,2	111 161,7 100
Район III. Правые верхние притоки р. Гунта														
Количество	—	3 5,8 19,1	11 6,9 22,8	—	1 0,2 0,7	8 3,7 12,2	—	9 2,9 9,6	—	—	1 0,2 0,7	35 10,6 34,9	—	68 30,3 100
Район IV. Левые верхние притоки р. Гунта														
Количество	—	—	7 4,0 12,4	—	1 0,3 0,9	13 5,2 16,1	—	17 2,5 7,7	—	—	6 0,9 2,8	61 19,4 60,1	—	105 32,3 100
Район V. Левые средние притоки р. Гунта														
Количество	—	—	31 57,7 61,2	1 0,7 0,7	2 2,1 2,2	22 11,6 12,3	2 0,5 0,5	17 3,2 3,4	—	1 0,2 0,2	18 3,2 3,4	35 14,5 15,4	3 0,7 0,7	132 94,4 100
Район VI. Левые нижние притоки р. Гунта														
Количество	—	8 28,0 27,8	38 45,7 45,5	—	2 1,8 1,8	21 7,6 7,6	—	22 3,8 3,8	—	3 0,5 0,5	14 2,3 2,3	31 10,5 10,5	2 0,2 0,2	141 100,4 100
Район VII. Правые притоки р. Шахдара														
Количество	—	1 2,1 5,5	15 11,5 30,3	—	3 1,5 3,9	9 4,2 11,1	—	10 1,5 3,9	—	7 1,1 2,9	20 2,7 7,2	25 8,9 23,4	12 4,5 11,8	102 38,0 100
Район VIII. Левые притоки р. Шахдара														
Количество	—	8 26,6 21,0	42 54,6 43,3	4 1,9 1,5	1 0,7 0,6	22 10,5 8,3	2 0,8 0,5	26 5,0 4,0	—	9 1,9 1,5	20 2,8 2,2	33 19,0 15,2	10 2,4 1,9	177 126,2 100
В целом по бассейну р. Гунта														
Количество	1 18,3 3,0	39 148,4 24,4	176 215,0 35,3	7 3,0 0,5	30 26,0 4,3	125 53,7 8,8	4 1,3 0,2	124 23,3 3,8	10 3,6 0,6	21 3,8 0,6	88 13,8 2,3	231 88,7 14,6	32 10,1 1,6	888 609,0 100

Примечания. 1. В числителе — площадь ледников, км², в знаменателе — процент общей площади ледников района.

2. Сложные долинные и дендритовые ледники не расчленены на отдельные потоки.

3. Ледники размерами менее 0,1 км² в таблицу не включены.

ные ледники, которые составляют в сумме 57% общего числа ледников в этих районах и занимают 85—90% площади оледенения. В тех же западных районах еще 18% составляют каровые ледники (вместе с висячими каровыми и асимметричными каровыми) и около 14% — склоновые ледники, три четверти которых находятся в районе VI на Шугнанском хребте. Это закономерно, так как несмотря на то, что западная часть Шугнанского хребта принадлежит к западнопамирскому типу поверхности, ее ледниковая зона занимает платообразную поверхность, близкую по характеру рельефа к восточнопамирскому типу. В районе VI склоновые ледники приближаются по численности к простым долинным, а в районе VII на южном склоне Шугнанского хребта, где такой рельеф ледниковой зоны

доминирует, они получили наибольшее распространение среди прочих типов ледников. Для этого района характерны короткие, часто крутые склоны, спускающиеся к плоской поверхности. Отсюда изобилие висячих и присклоновых ледников (рис. 9). Склоновые, присклоновые, висячие и карово-висячие ледники на южном склоне Шугнанского хребта составляют 63% общего числа и 45% площади оледенения. Долинным и карово-долинным ледникам здесь принадлежит более четверти числа и более половины общей площади ледников. Каровые ледники получили здесь небольшое распространение (табл. 11).

В зоне, переходной от западнопамирского типа оледенения к восточнопамирскому (районы III, V), склоновые ледники — наиболее часто встречающий-

ся тип ледников (35% общего числа). Простые долинные стоят здесь по числу на втором месте, но занимают более 60% площади оледенения массива Бакчигир и бассейна р. Токузбулак.

На северном склоне Южно-Аличурского хребта (типичный восточнопамирский район IV) резко пре-

ния. Вторыми по численности и площади являются склоновые ледники, третьими — каровые.

Таким образом, в целом по бассейну р. Гунта наблюдается следующая картина распределения ледников разных морфологических типов. Наибольшую площадь оледенения занимают в сумме прос-



Рис. 10. Верховья долинного ледника № 53 в западной части Рушанского хребта.



Рис. 11. Сложный долинный ледник № 810 и долинный ледник № 811 в осевой части Шахдаринского хребта.

обладают склоновые ледники; как по числу, так и по суммарной площади они составляют примерно 60%.

Наконец, на северном склоне Шахдаринского хребта (район VIII), который включает участки с различным рельефом гляциальной зоны, распространены ледники самых разных морфологических типов. Наиболее многочисленны простые долинные ледники, а все типы долинных ледников (43,5% общего числа) занимают около 75% площади оледене-

тие долинные ледники, а вместе с близкими к ним асимметричными долинными и висячими долинными они составляют самую многочисленную группу и занимают 40% площади. Эти ледники широко распространены во всех районах бассейна, причем особенности их морфологии, характера питания и режима варьируют. В западной части бассейна эти ледники узкие и длинные. Большое (иногда основное) участие в их питании принимают лавины

(рис. 10). В восточных районах долинные ледники более короткие и широкие и близки по форме к склоновым. Такой же облик имеют долинные ледники южного склона и всей западной части Шугнанского хребта. На северном склоне Шахдаринского хребта долинные ледники, начинающиеся в пригребневой

Средний размер простых долинных ледников $1,2 \text{ км}^2$, а асимметричных долинных и висячих долинных — $0,8 \text{ км}^2$.

Более 27% площади оледенения бассейна занимают сложные долинные ледники (включая один дендритовый), которые составляют всего 4,5% обще-

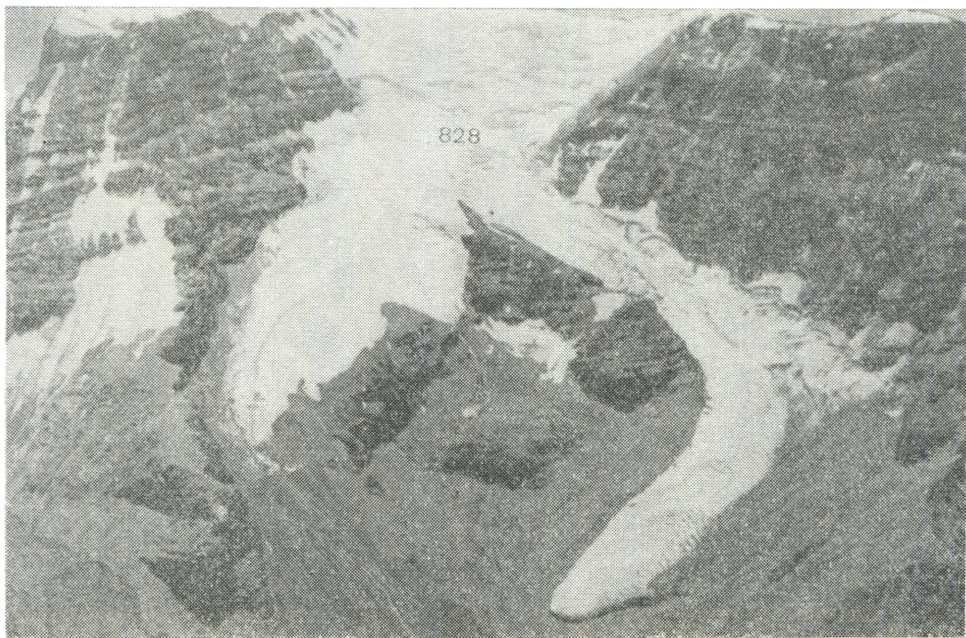


Рис. 12. Долинный ледник № 828 в осевой части Шахдаринского хребта.

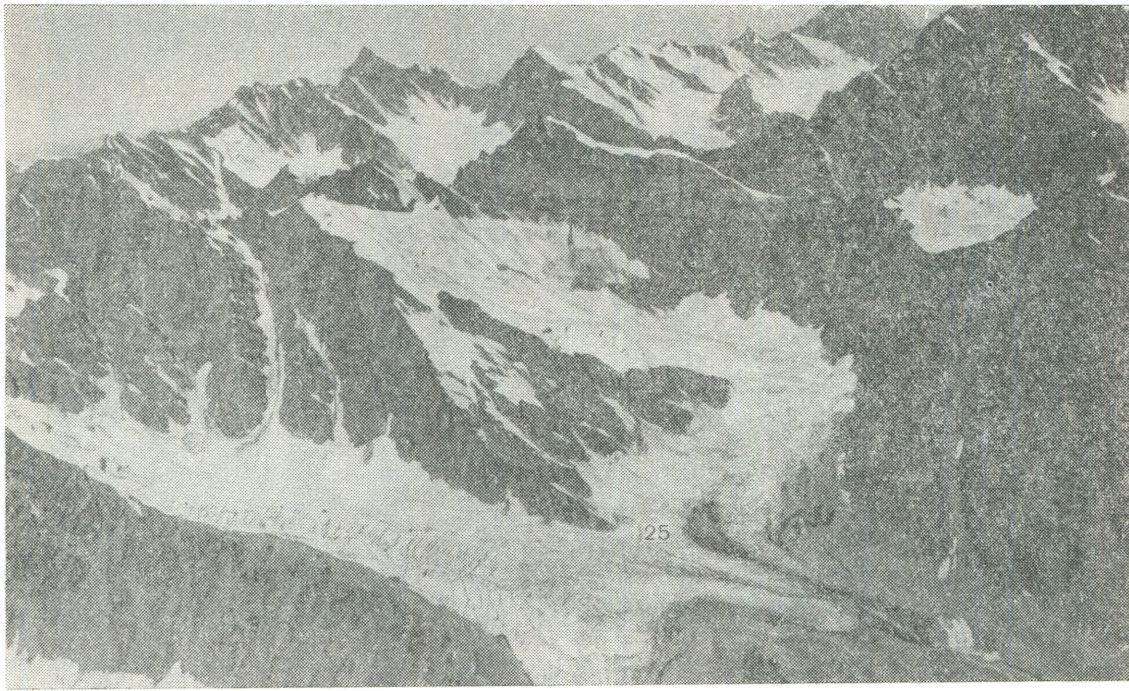


Рис 13. Сложный долинный ледник № 25 в бассейне р. Ружакдара.

зоне, имеют в своих верховьях крутые скалистые склоны и обвально-лавинное питание (рис. 11, 58). На крутом склоне их языки часто раздваиваются, выполаживаясь лишь в концевой части (рис. 12). Долинные ледники, расположенные в стороне от гребневой линии, на склонах северных отрогов хребта нередко имеют форму, близкую к склоновым (рис. 63).

го числа ледников. В центральной части Рушанского хребта сложные долинные ледники занимают 60% площади оледенения этого района. Среди них три самых крупных ледника бассейна р. Гунта (Штеклозар, Сафедоб, Уар). Однако в целом по бассейну преобладают сравнительно небольшие ледники этого типа, так как средний размер сложного долинного ледника равен $3,8 \text{ км}^2$ (рис. 13, 62).

Склоночные ледники наиболее многочисленны в бассейне (более четверти числа ледников), но благодаря небольшим размерам (в среднем 0,4 км²) они занимают в сумме менее 15% площади оледенения. Очень редки ледники этого типа лишь в западной части южного склона Рушанско-Базардинского хребта (районы I, II). Вообще, на этом склоне очень хорошо выражено увеличение численности склоночных ледников с запада на восток, что находится в полном соответствии с изменением условий существования ледников в этом направлении (рис. 14).

ми в ледниковой зоне. Наибольшее их число располагается на северном склоне Шахдаринского хребта, на склонах Шугнанского хребта они составляют от 12 до 20% ледников на разных его участках; на южном склоне Рушанско-Базардинского хребта и в бассейне р. Аличура ледников этого типа почти нет. В целом по бассейну они занимают около 3% площади оледенения.

Морена на ледниках

На ледниках бассейна р. Гунта моренный покров имеет небольшое распространение — всего 4,8% об-



Рис. 14. Склоночный ледник № 193 в бассейне р. Лянгар.

Таблица 12

Морена на ледниках бассейна р. Гунта

Район оледенения	Площадь оледенения, км ²	Площадь льда, закрытого мореной		Количество ледников с закрытым концом	Высота					
					концов погребенной части ледников, м			нижней точки открытой части ледников, м		
		км ²	%		средняя	минимальная	максимальная	средняя	минимальная	
I	25,7	2,3	8,9	10	4240	3920	4440	4400	4200	
II	161,7	8,3	5,1	32	4380	4100	4620	4490	4240	
III	30,3	0,5	1,6	3	4610	4480	4680	4700	4550	
IV	32,3	0,2	0,6	2	4840	4800	4870	4850	4820	
V	94,4	1,1	1,2	3	4490	4380	4600	4550	4500	
VI	100,4	8,6	8,6	39	4300	3420	4580	4400	4000	
VII	38,0	0,2	0,5	2	4650	4620	4680	4710	4680	
VIII	126,2	8,3	6,6	33	4370	4040	4720	4420	4120	
Всего	609,0	29,5	4,8	124	4480	3420	4870	4560	4120	

Примечания. 1. Сложные долинные ледники расчленены на составляющие их потоки.

2. Ледники размером менее 0,1 км² в таблицу не включены.

Каровые ледники вместе с висячими каровыми и асимметричными каровыми составляют 15,5% общего числа ледников, но занимают в сумме только 4,6% площади оледенения р. Гунта. Размеры их невелики — в среднем 0,2 км². Меньше всего каровых ледников на южных склонах хребтов, в районах III и VII, бедных осадками. Наконец, самые мелкие висячие и карово-висячие ледники (средний размер 0,16 км²) приурочены к районам с крутыми склонами.

щей площади ледников закрыто мореной (табл. 12). Открытые короткие ледники восточнопамирской части бассейна и южного склона Шугнанского хребта имеют практически чистую поверхность. Ледники с закрытым концом распространены в западной части бассейна, где глубокие долины и крутые склоны над ледниками способствуют накоплению морены. В низовьях р. Гунта (районы I и VI) моренный покров занимает в целом около 9% поверхности ледни-

ков. Примерно такую же площадь занимают морены в западной половине Шахдаринского хребта. Среди ледников разных морфологических типов моренный покров характерен для долинных ледников.

Сравнение данных табл. 5 и 12 показывает, что высота концов ледников, закрытых мореной, ниже

высоты концов всех ледников района в среднем на 160 м. Более того, почти на 80 м ниже средней отметки концов всех ледников находится и верхняя граница моренного чехла на закрытых языках. Таким образом, морена покрывает лишь языки наиболее низко спускающихся ледников.

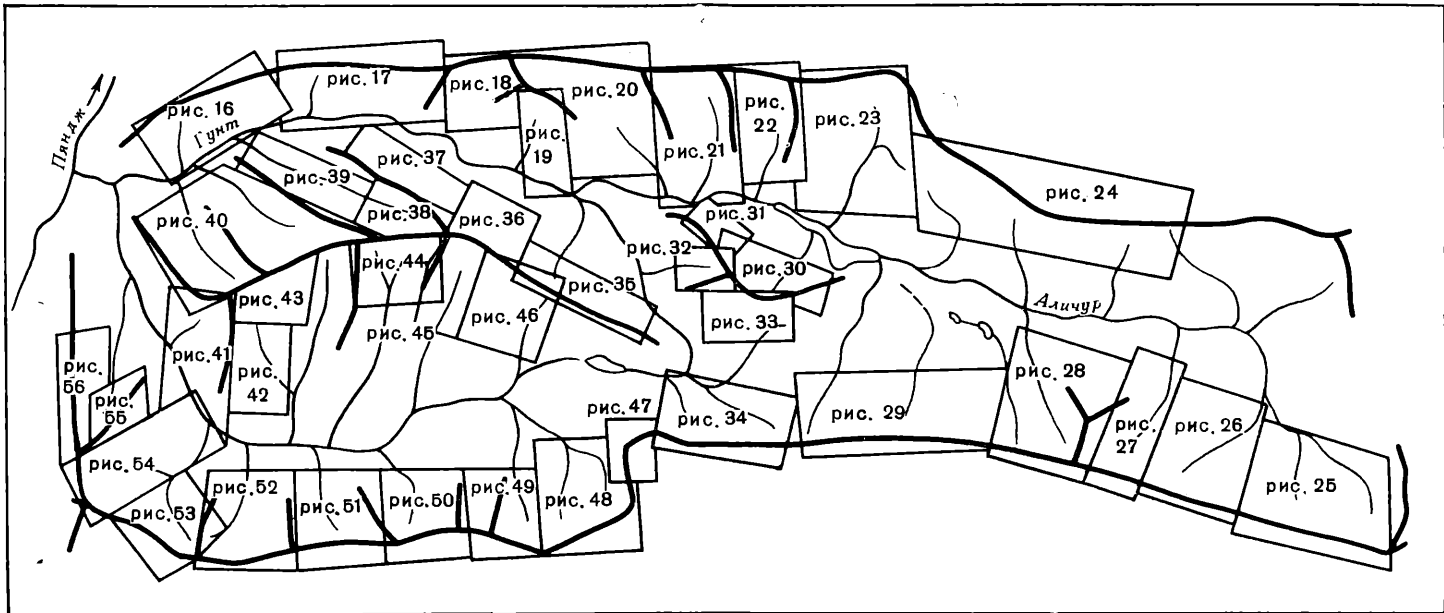


Рис. 15 Общая схема расположения бассейнов, в пределах которых размещаются ледники, показанные на рис. 16—56.

Рисунок 16 — ледники № 1—22, рис. 17 — ледники № 23—55, рис. 18 — ледники № 56—94, рис. 19 — ледники № 95—114; рис. 20 — ледники № 115—145, рис. 21 — ледники № 146—185, рис. 22 — ледники № 186—208, рис. 23 — ледники № 209—232, рис. 24 — ледники № 233—255, рис. 25 — ледники № 256—282, рис. 26 — ледники № 283—312; рис. 27 — ледники № 313—336, рис. 28 — ледники № 337—355, рис. 29 — ледники № 356—364, рис. 30 — ледники № 365—382, рис. 31 — ледники № 383—397, рис. 32 — ледники № 398—422, рис. 33 — ледники № 423—456, рис. 34 — ледники № 457—473, рис. 35 — ледники № 474—492, рис. 36 — ледники № 493—520, рис. 37 — ледники № 521—541, рис. 38 — ледники № 542—575, рис. 39 — ледники № 576—607, рис. 40 — ледники № 608—637, рис. 41 — ледники № 638—644, рис. 42 — ледники № 645—663, рис. 43 — ледники № 664—684, рис. 44 — ледники № 685—712, рис. 45 — ледники № 713—730, рис. 46 — ледники № 731—739, рис. 47 — ледники № 740—747, рис. 48 — ледники № 748—776, рис. 49 — ледники № 777—795, рис. 50 — ледники № 796—815, рис. 51 — ледники № 816—828, рис. 52 — ледники № 829—856, рис. 53 — ледники № 857—868, рис. 54 — ледники № 869—888, рис. 55 — ледники № 889—902, рис. 56 — ледники № 903—917.

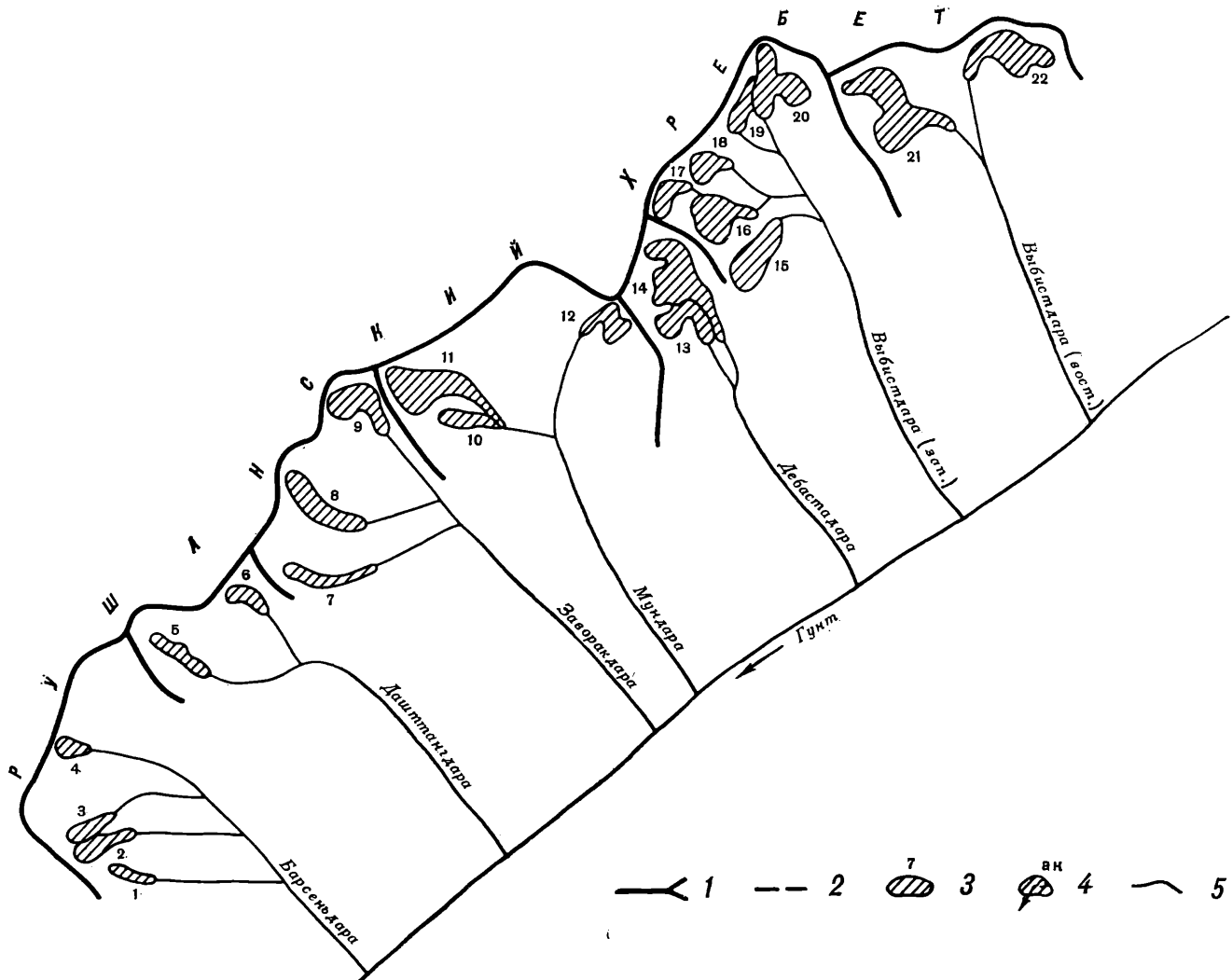


Рис. 16. Схема расположения ледников в бассейнах рек Барсенъдара, Даштангдара, Заворакдара, Мундара, Дебастадара, Выбистдара (зап.), Выбистдара (вост.).

1 — водораздел, 2 — ледораздел, 3 — ледник и его номер, 4 — отдельно расположенный участок фирна, входящий в площадь ледника, 5 — поверхностный сток.

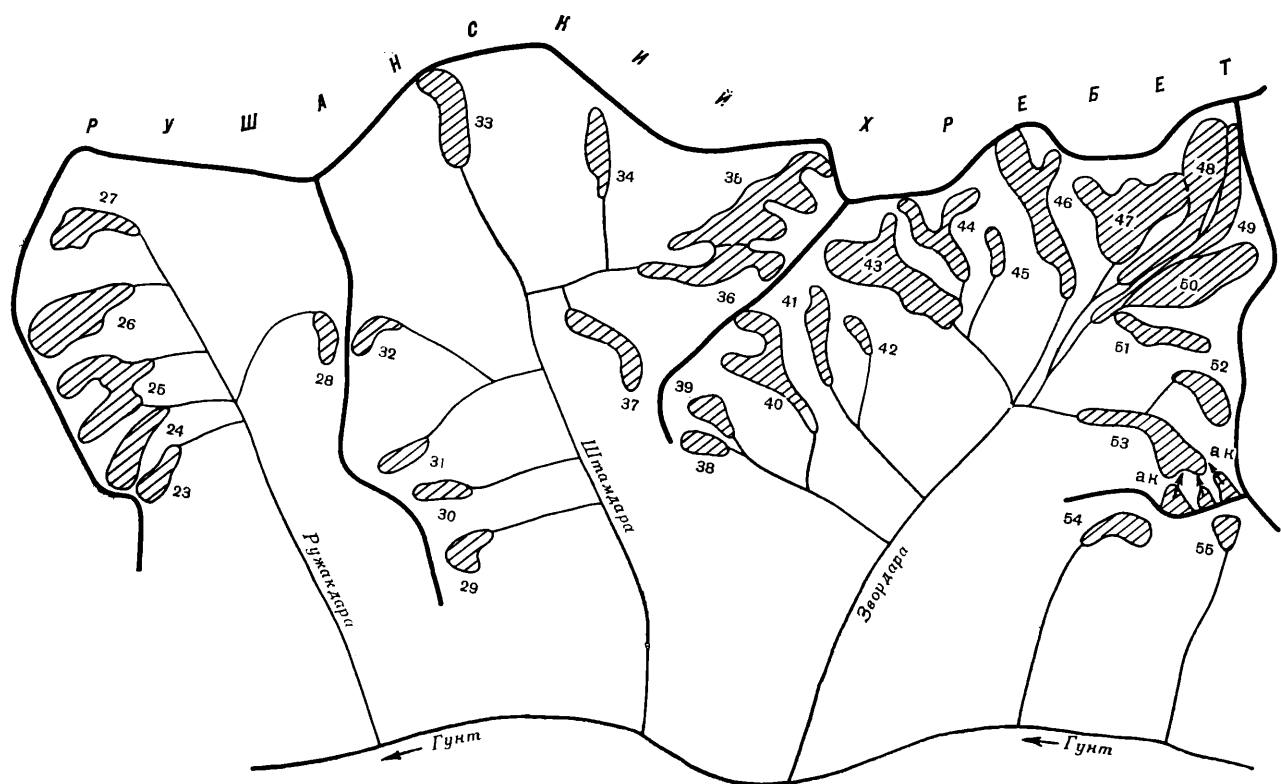


Рис. 17. Схема расположения ледников в бассейнах рек Ружакдара, Штамдара, Звордара.
Усл. обозначения см. на рис. 16.



Рис. 18. Схема расположения ледников в бассейнах рек Патхур и Чапдара.
Усл. обозначения см. на рис. 16.

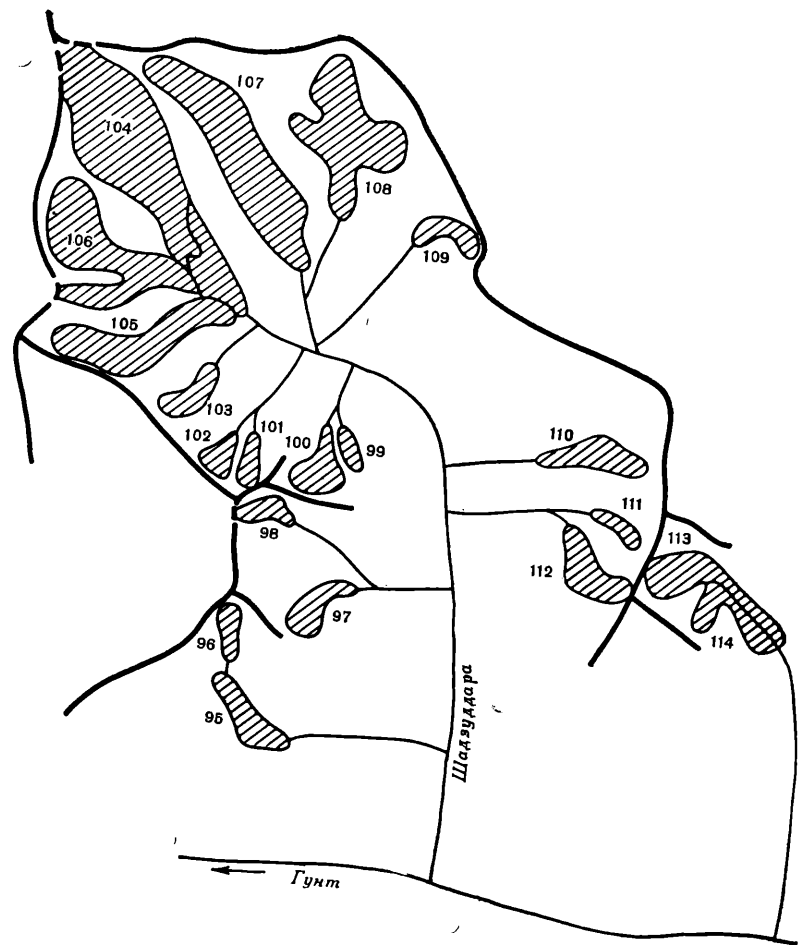


Рис. 19. Схема расположения ледников в бассейне р. Шадзуддара.
Усл. обозначения см. на рис. 16.

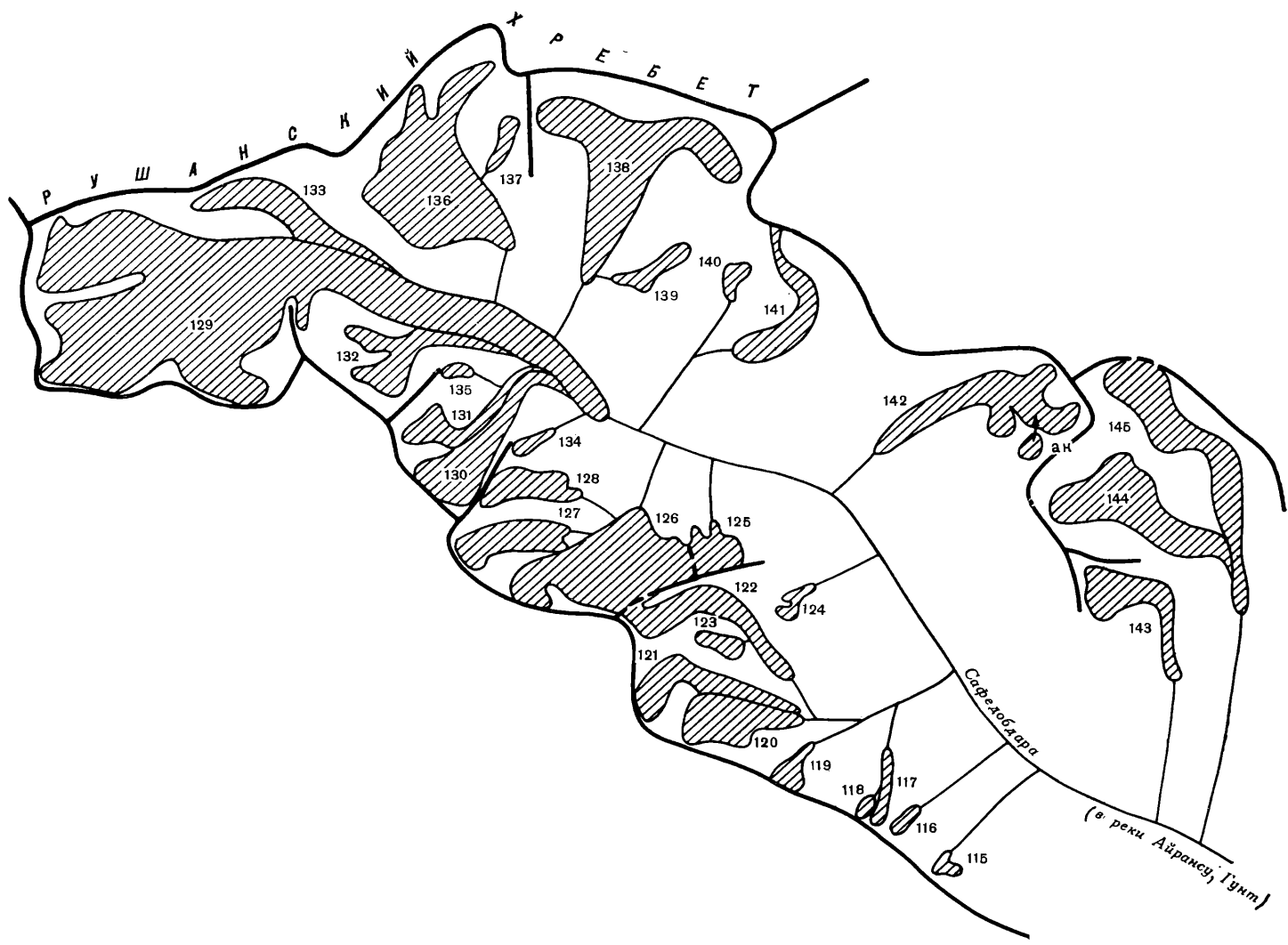


Рис. 20. Схема расположения ледников в бассейне р. Сафедобдара
Усл. обозначения см. на рис. 16.



Рис. 21. Схема расположения ледников в бассейне р. Андеравдаж.
Усл. обозначения см. на рис. 16.

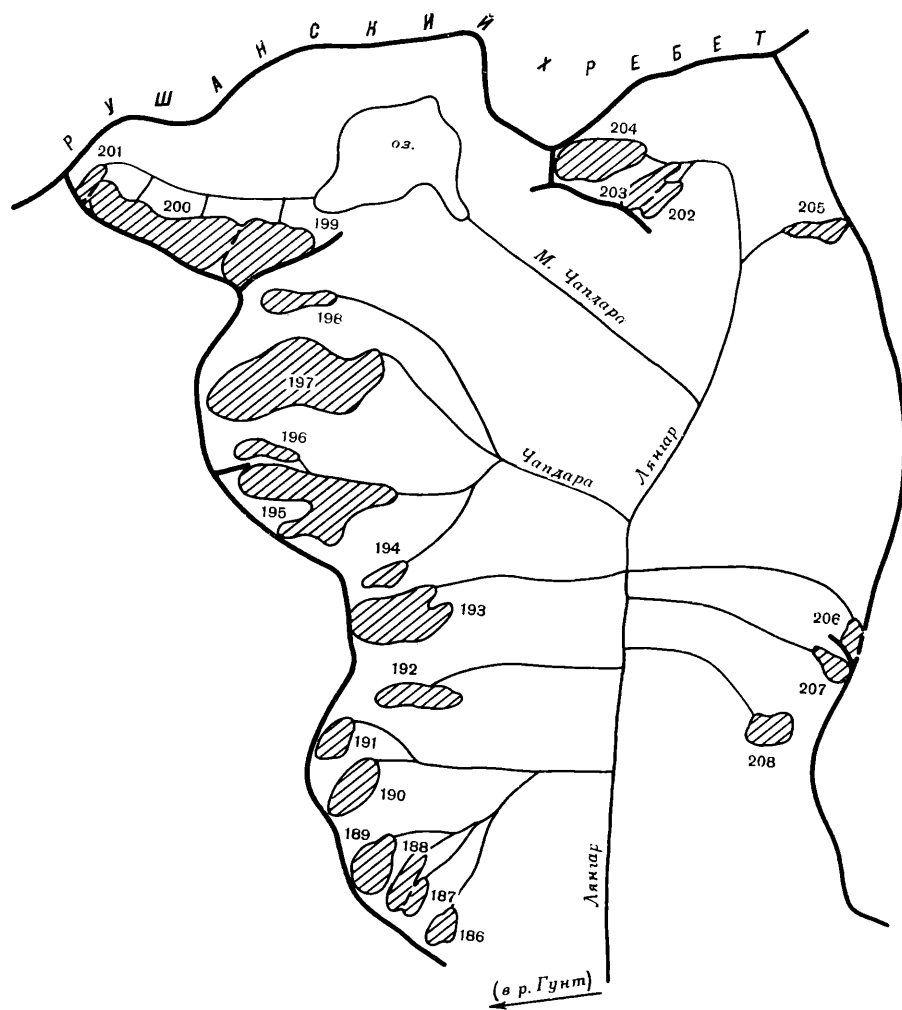


Рис. 22. Схема расположения ледников в бассейне р. Лянгар.
Усл. обозначения см. на рис. 15.

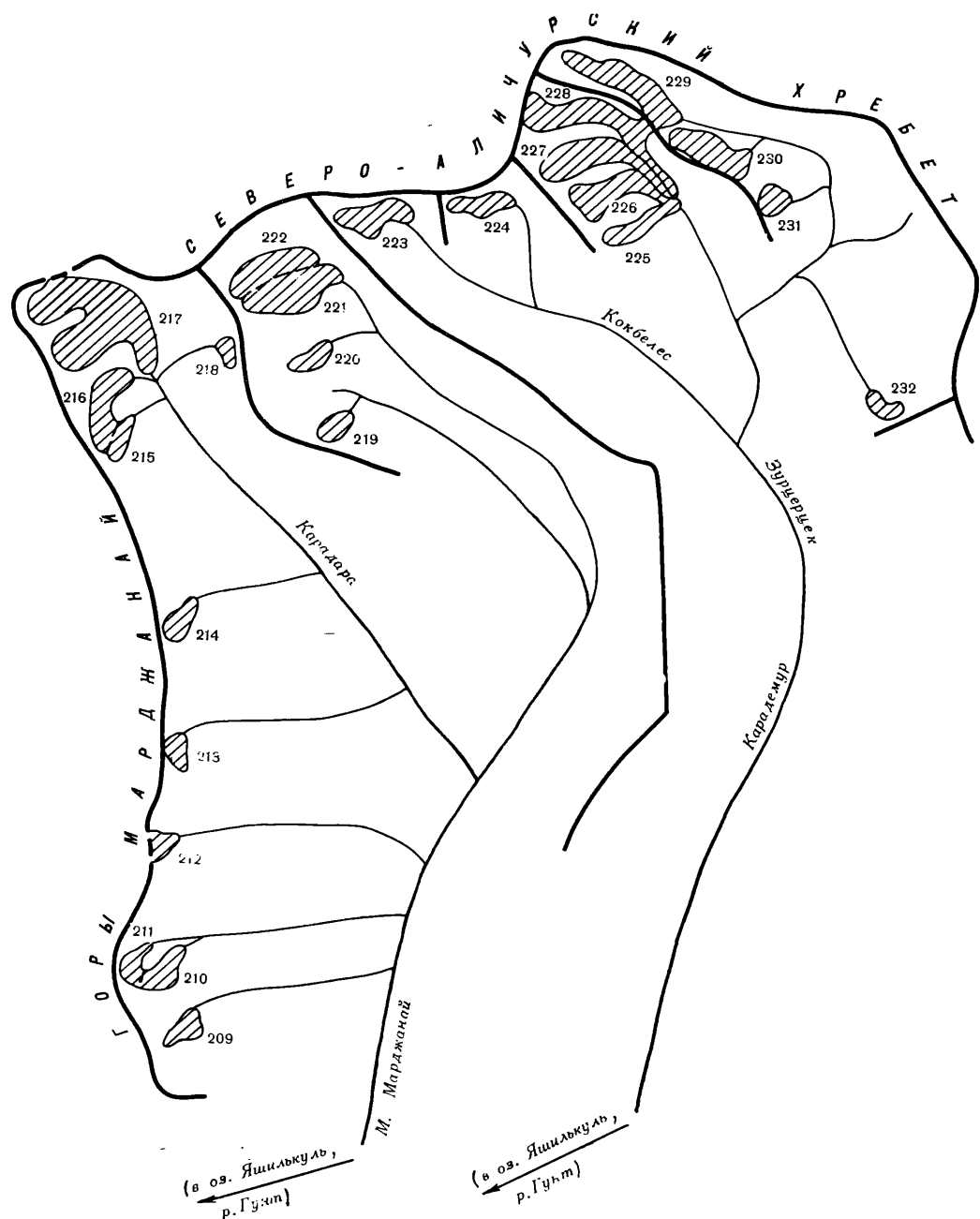


Рис. 23. Схема расположения ледников в бассейнах рек Мал. Марджанай и Карадемур.
Усл. обозначения см. на рис. 16.

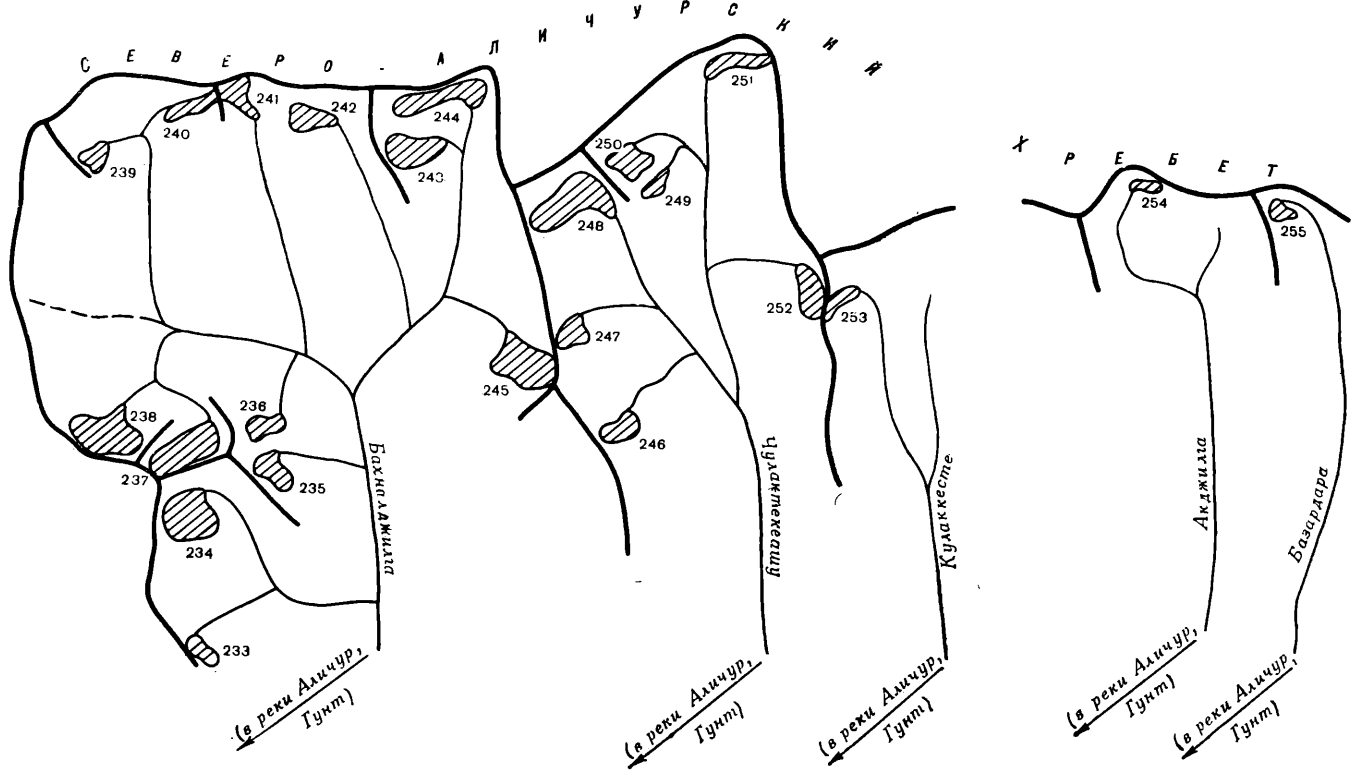


Рис. 24. Схема расположения ледников в бассейнах рек Бахналджилга, Чулактеке, Кулаккесте, Акджилга, Базардара.
Усл. обозначения см. на рис. 16.

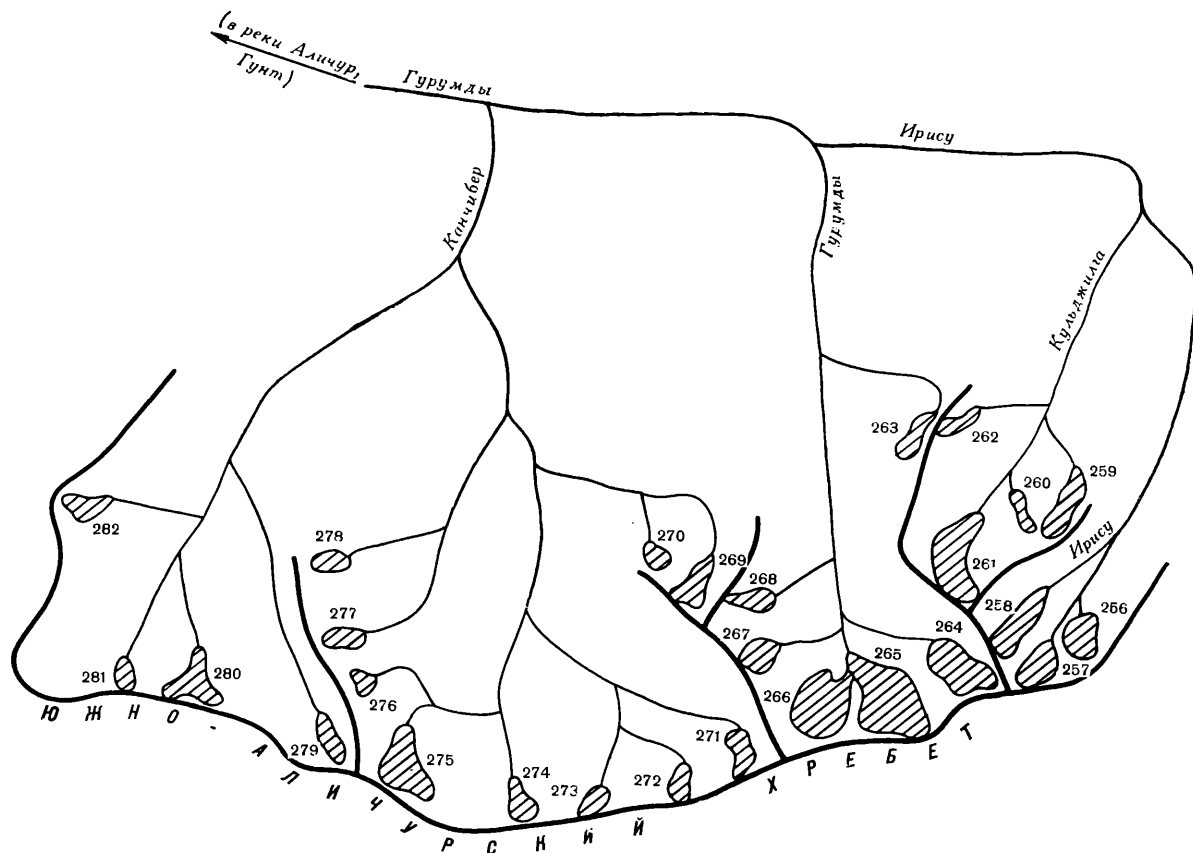


Рис. 25. Схема расположения ледников в бассейнах верховьев р. Гурумды.
Усл. обозначения см. на рис. 16.

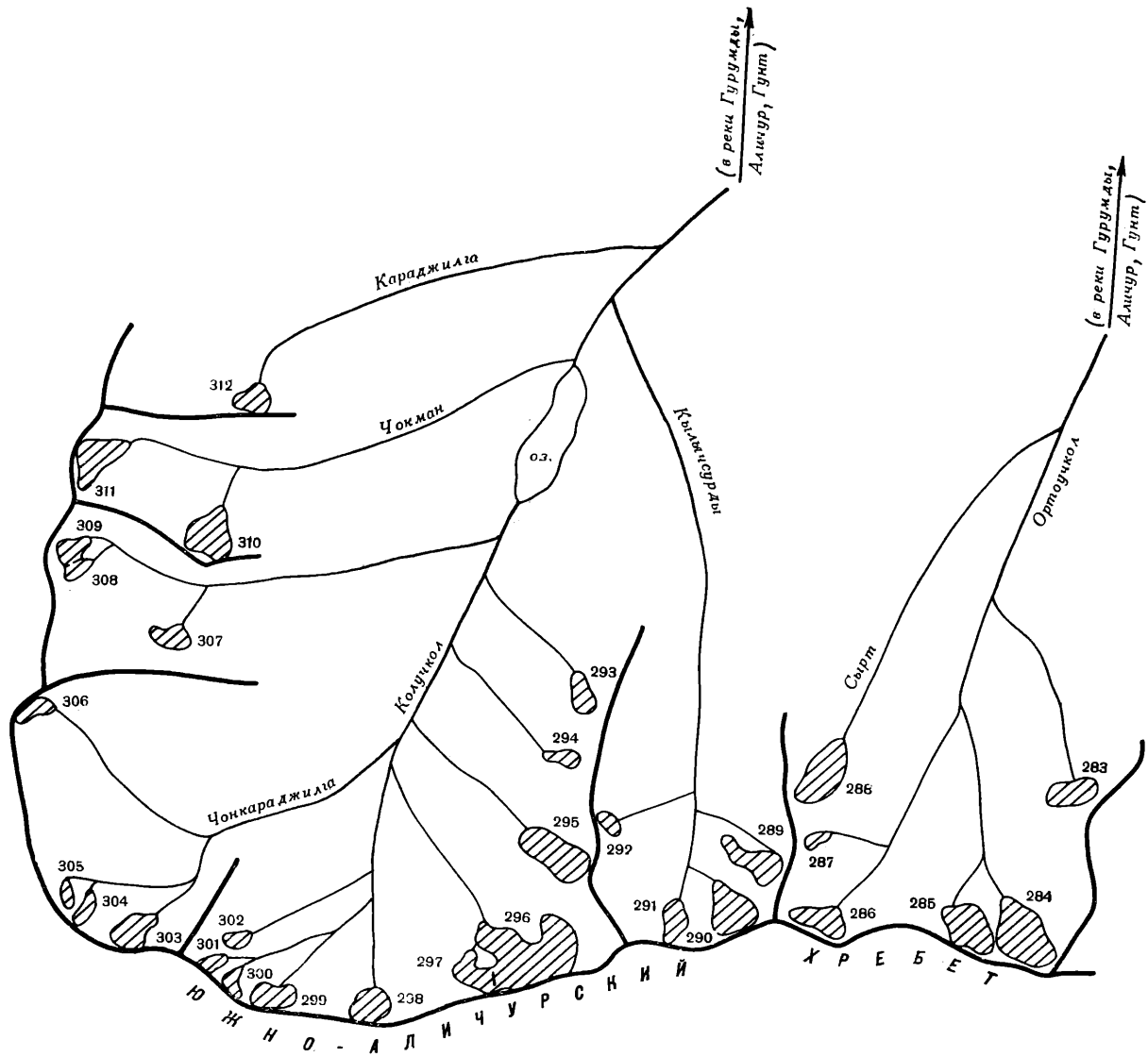


Рис. 26. Схема расположения ледников в бассейнах рек Орточкол и Колучкол.

Усл. обозначения см. на рис. 16.

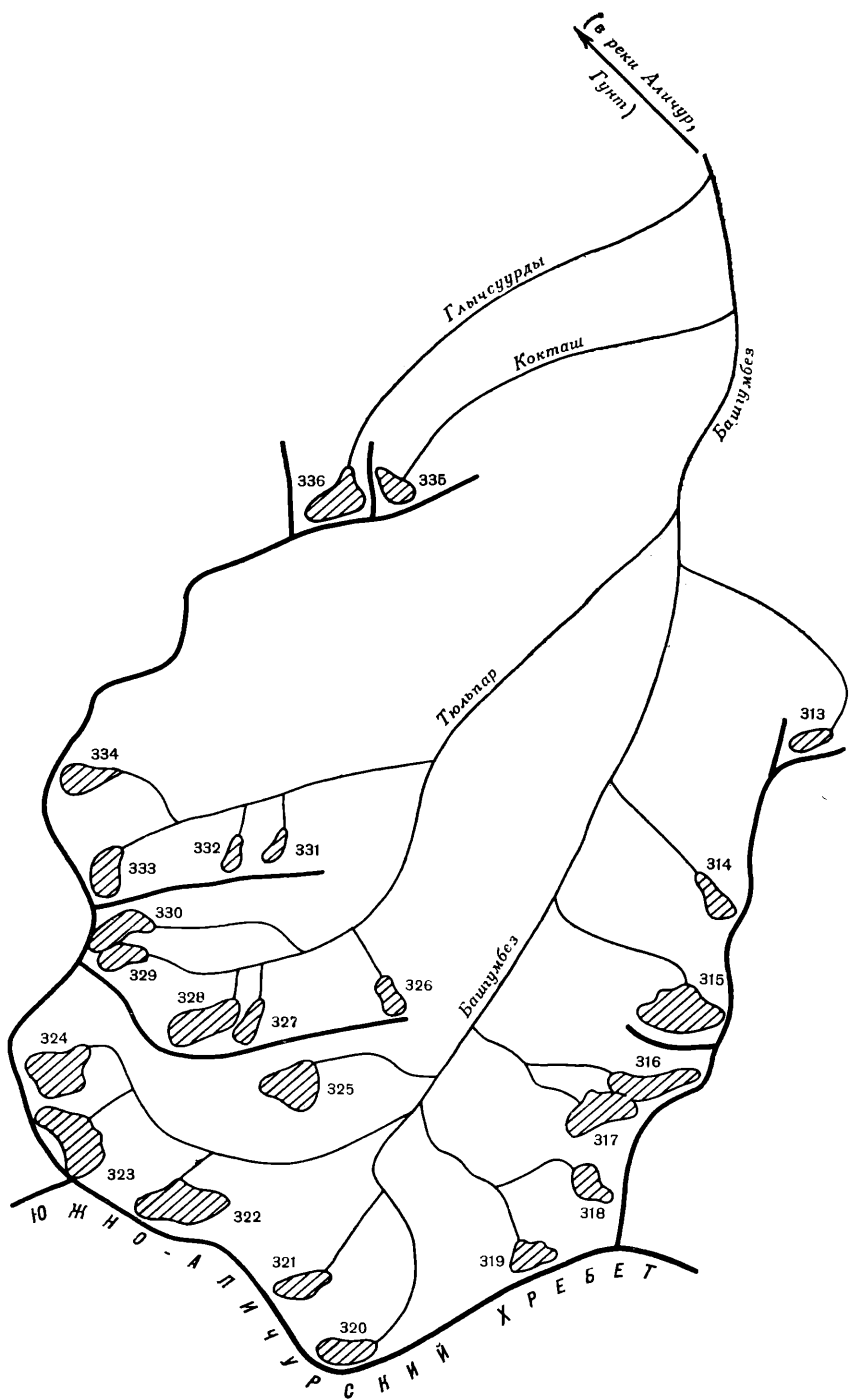


Рис. 27. Схема расположения ледников в бассейне р. Башгумбез.

Усл. обозначения см. на рис. 16

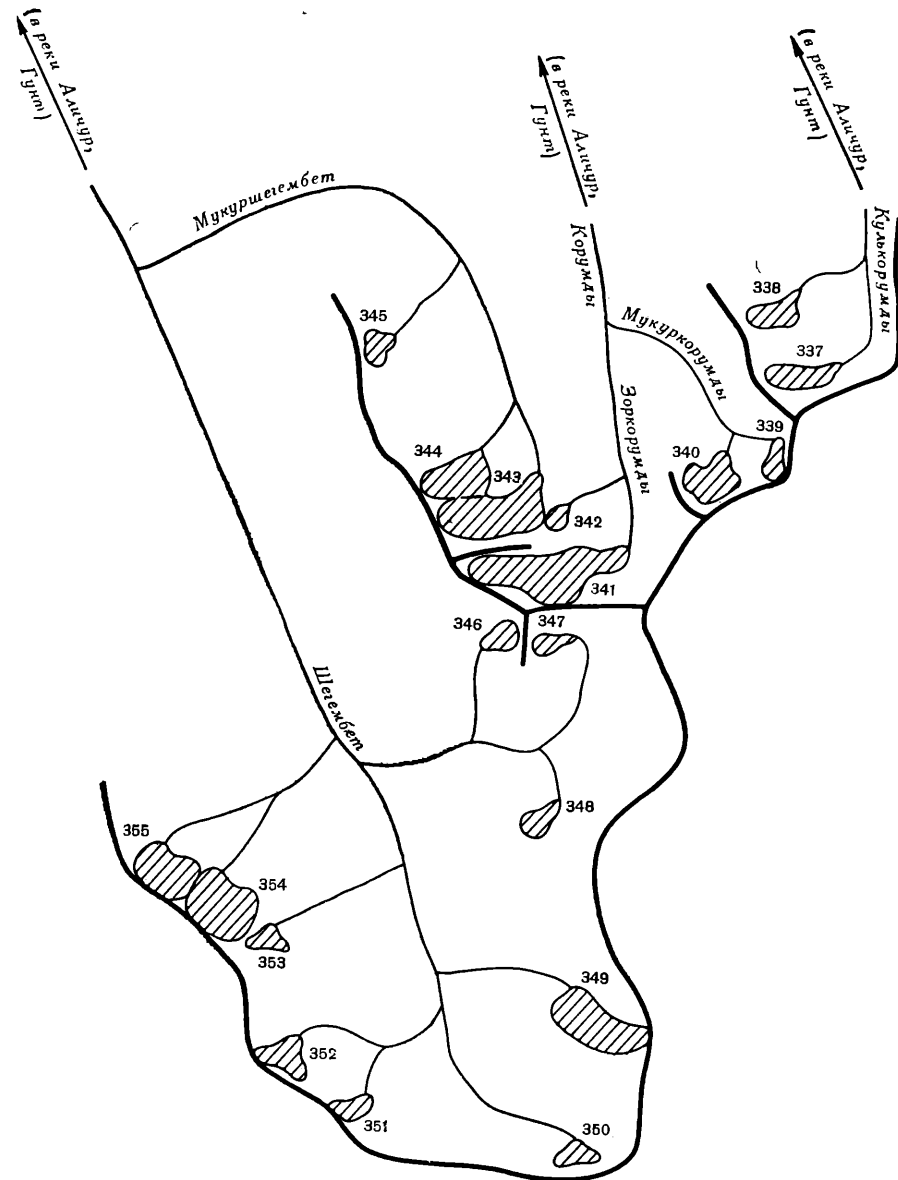


Рис. 28. Схема расположения ледников в бассейнах рек Кулькорумды, Корумды и Шегембет.

Усл. обозначения см. на рис. 16.

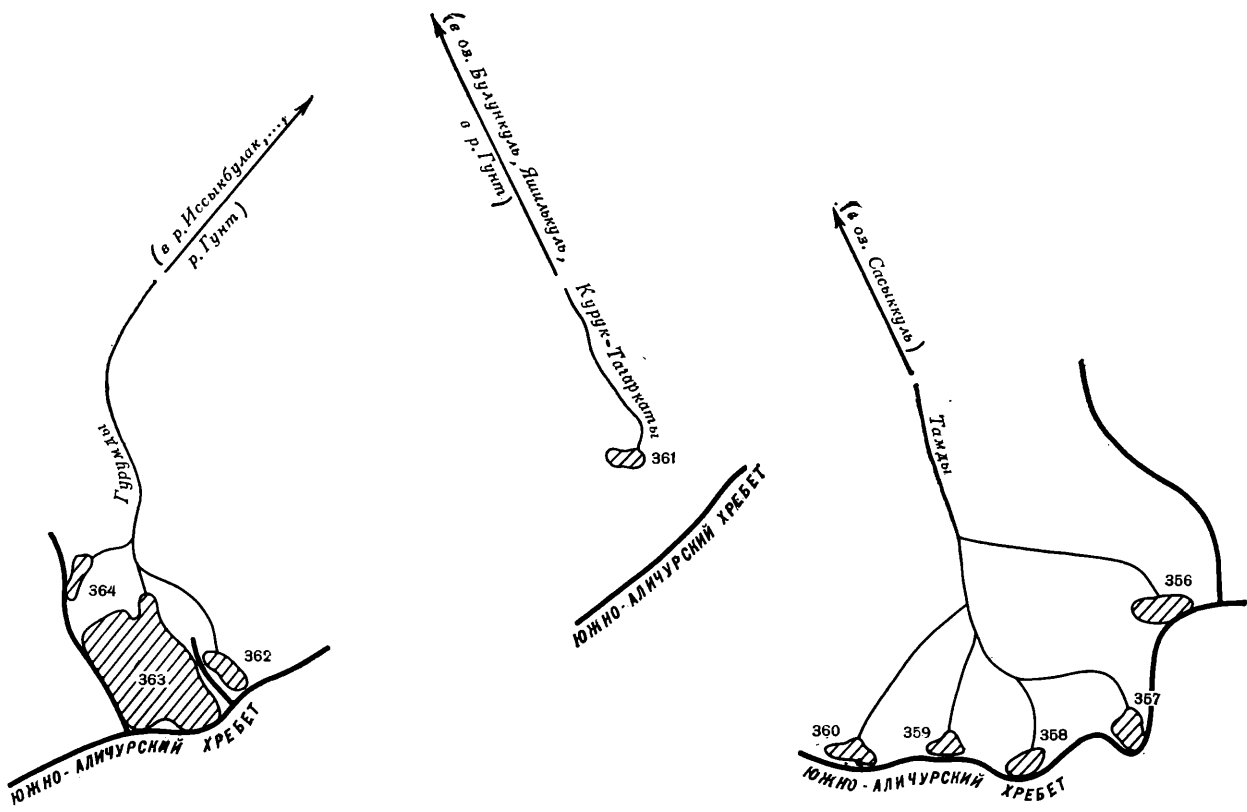


Рис. 29. Схема расположения ледников в бассейнах рек Тамды, Курук-Тагаркатаи, Гурумды.
Усл. обозначения см. на рис. 16.

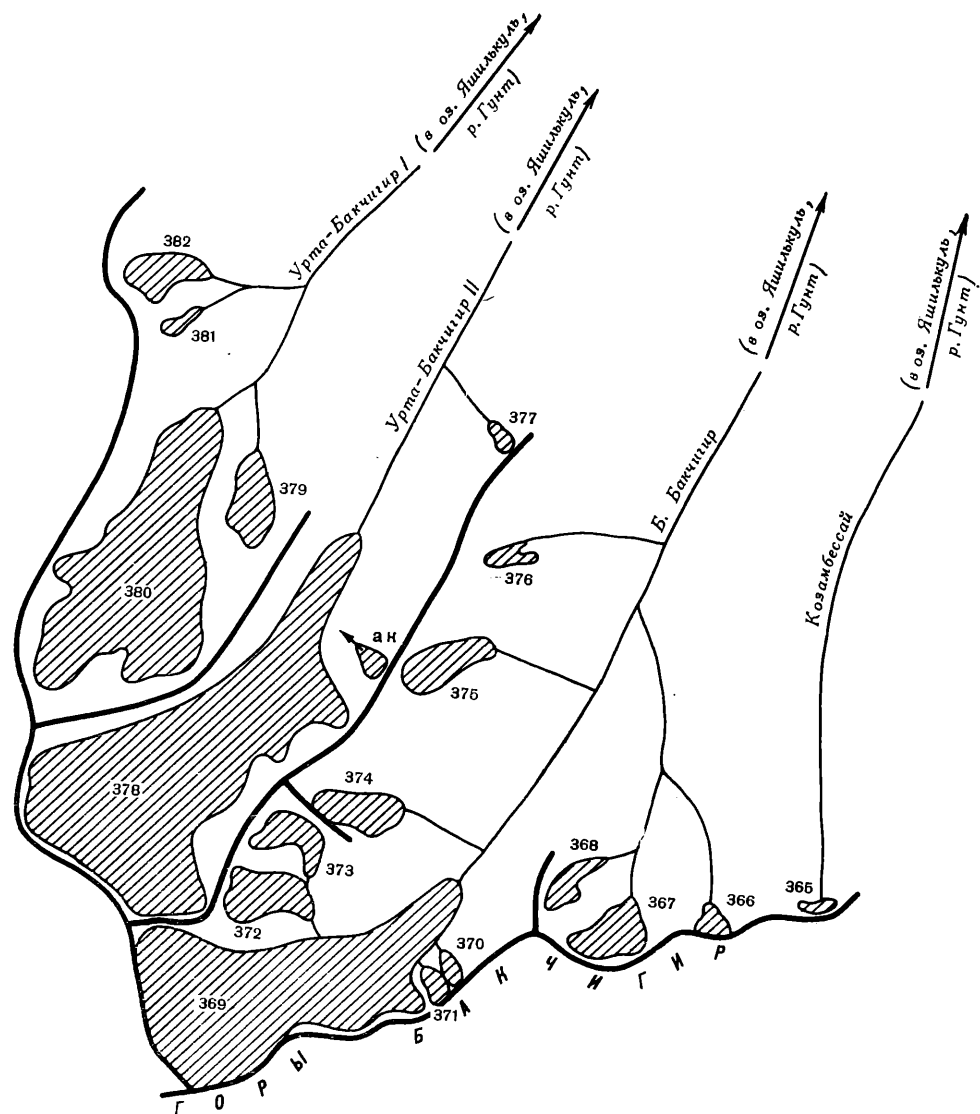


Рис. 30. Схема расположения ледников в бассейнах рек Козамбессай, Большой Бакчигир, Урта-Бакчигир II, Урта-Бакчигир I.

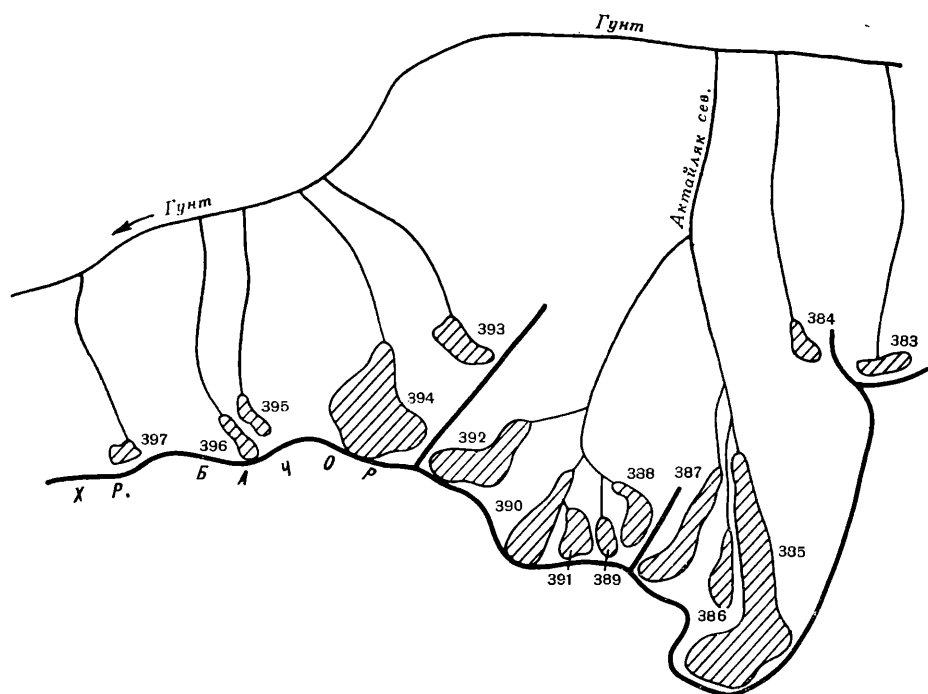


Рис. 31. Схема расположения ледников в бассейнах левых притоков р. Гунт между устьями рек Урта-Бакчигир I и Актайляк южн.

Усл. обозначения см. на рис. 16.

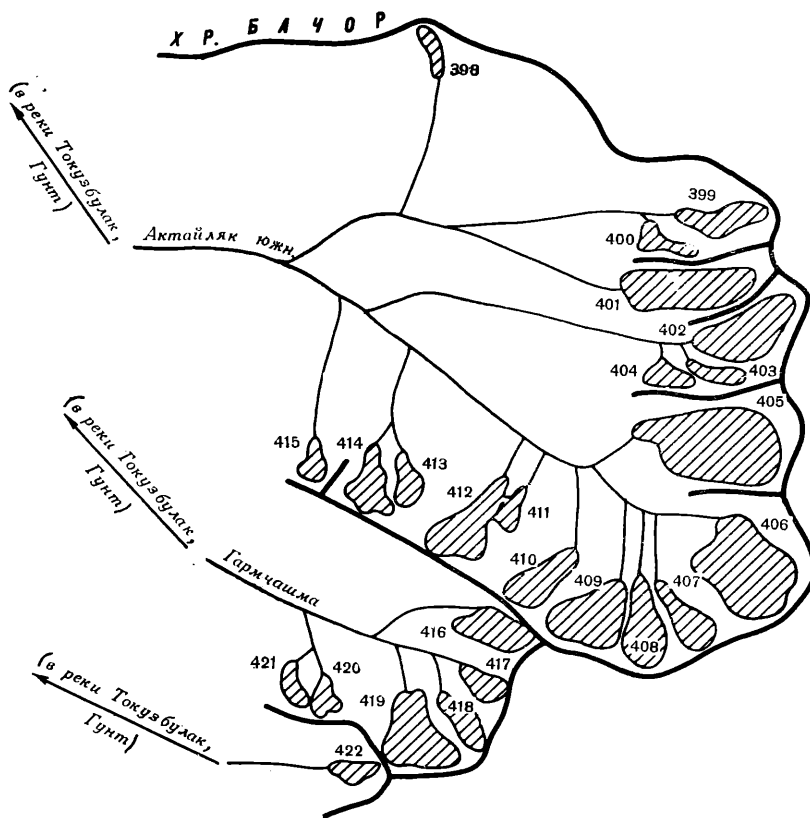


Рис. 32. Схема расположения ледников в бассейнах рек Актайляк южн. и Гармчашма.

Усл. обозначения см. на рис. 16.

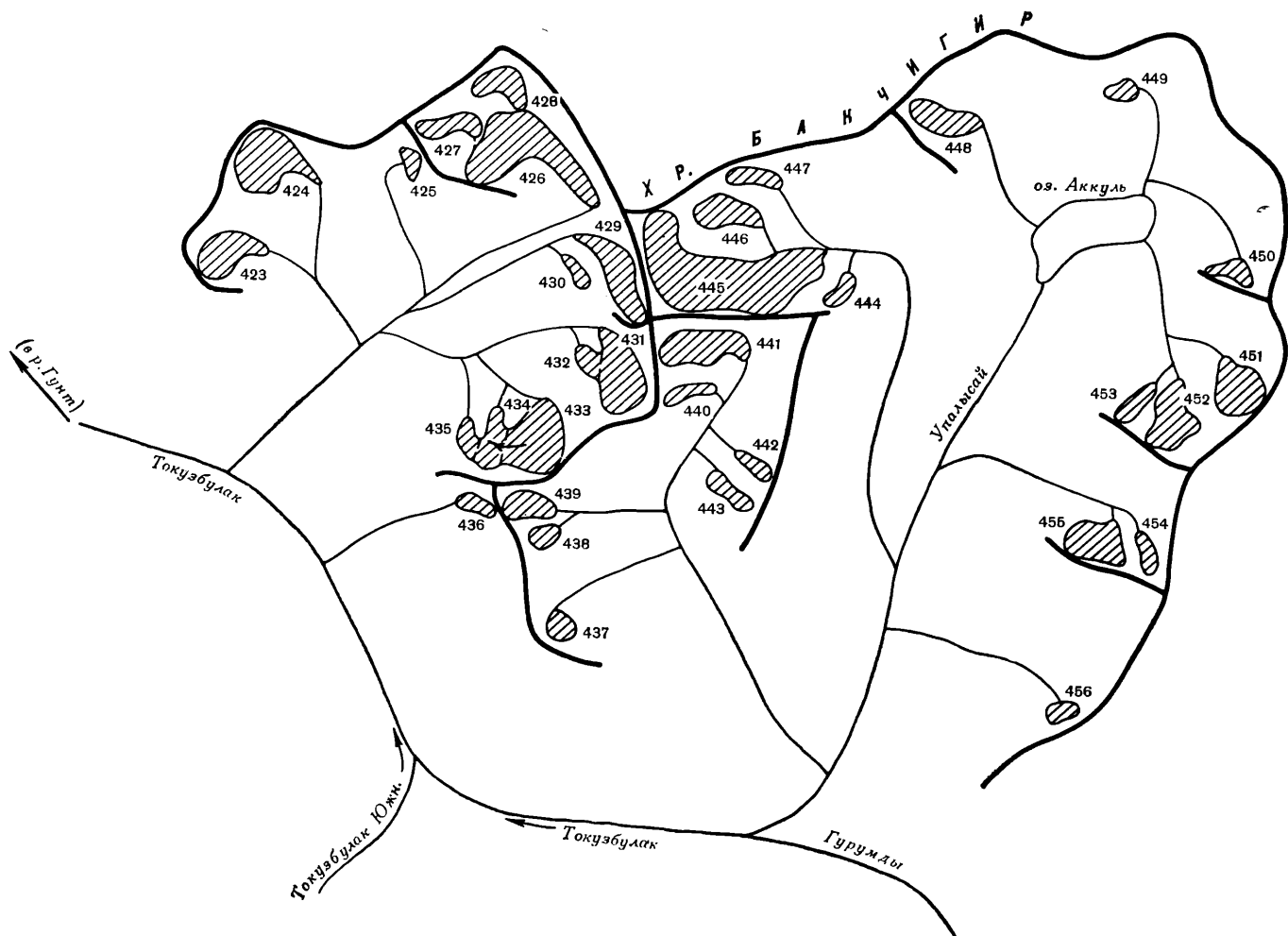


Рис. 33. Схема расположения ледников в бассейнах рек Аксай и Упалысай.

Усл. обозначения см. на рис. 16.

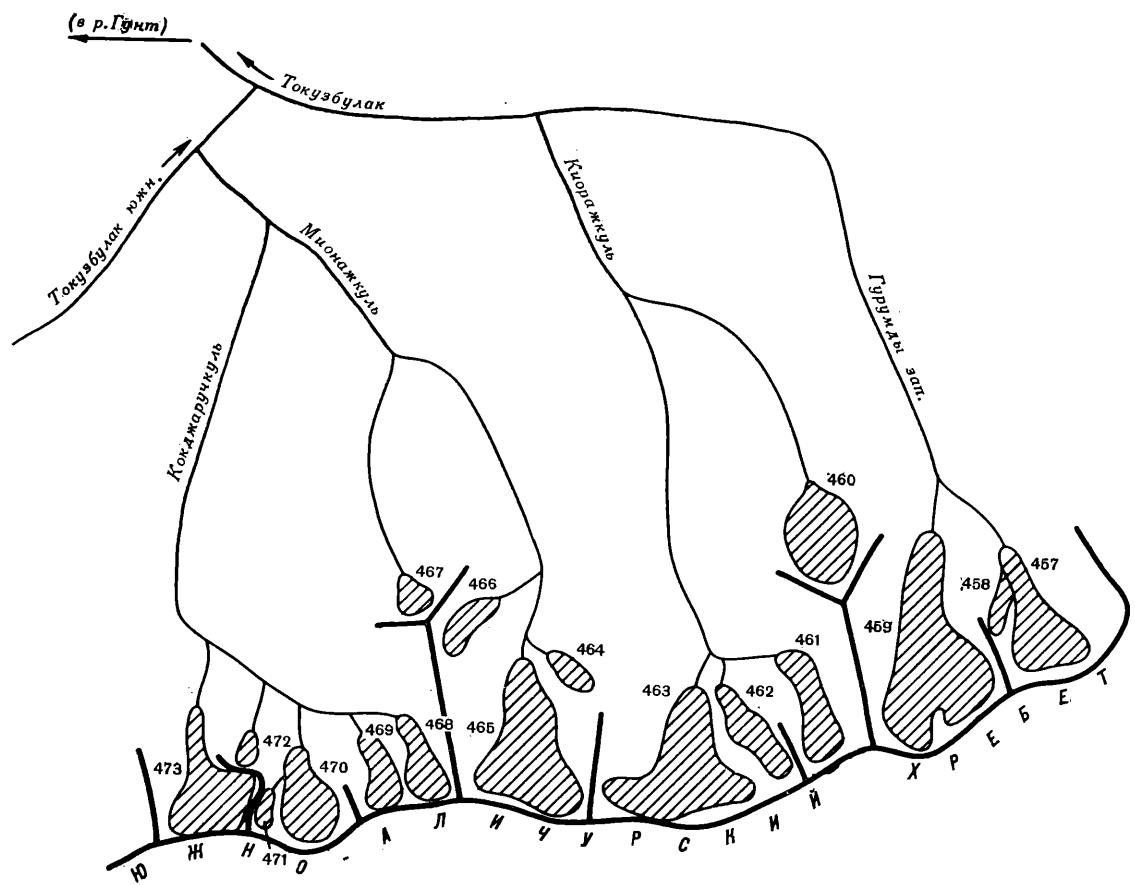


Рис. 34. Схема расположения ледников в бассейнах левых верхних притоков р. Токузбулак.

Усл. обозначения см. на рис. 16.

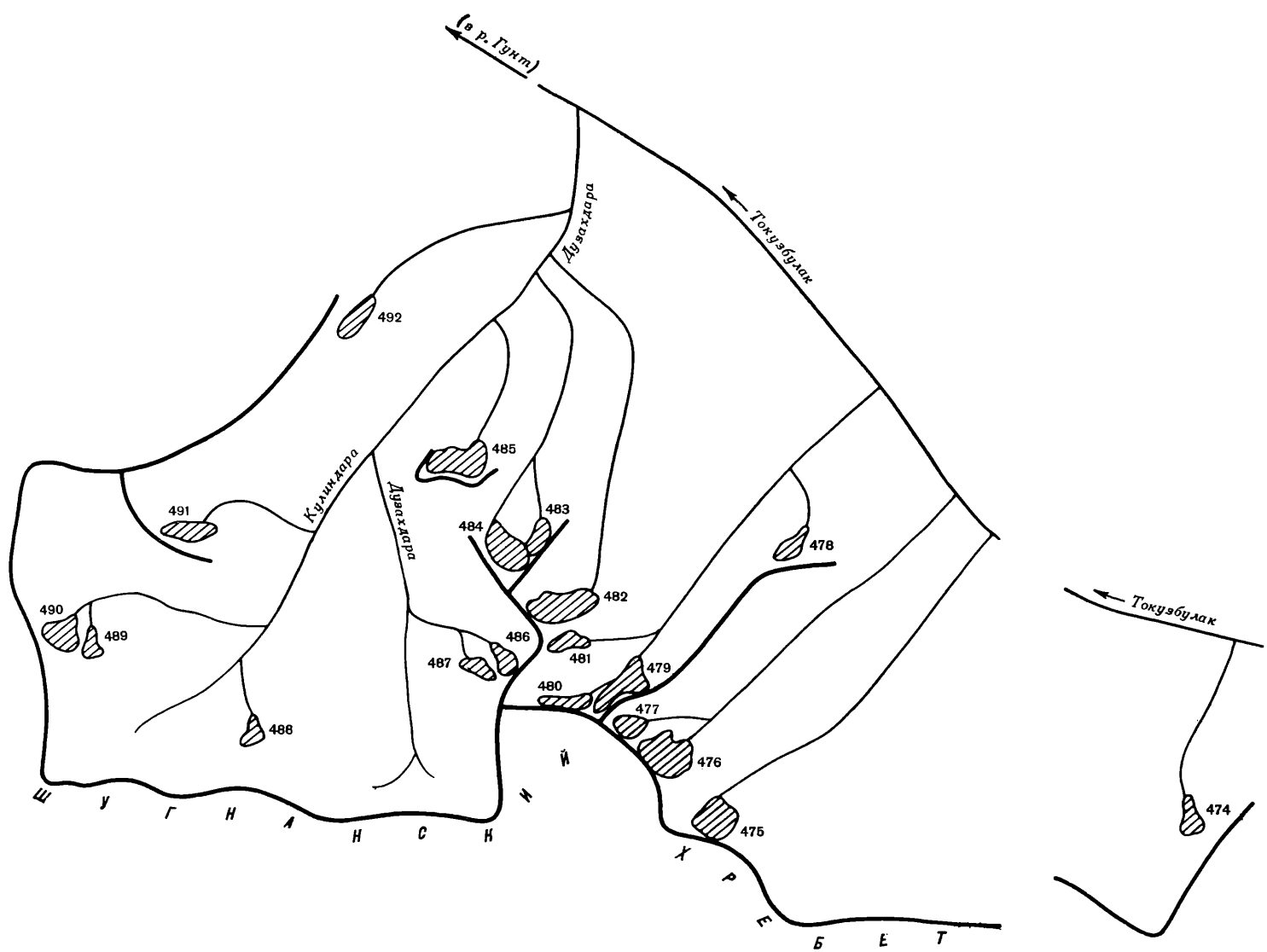


Рис. 35. Схема расположения ледников в бассейнах левых нижних притоков р. Токузбулак.

Усл. обозначения см. на рис. 16.

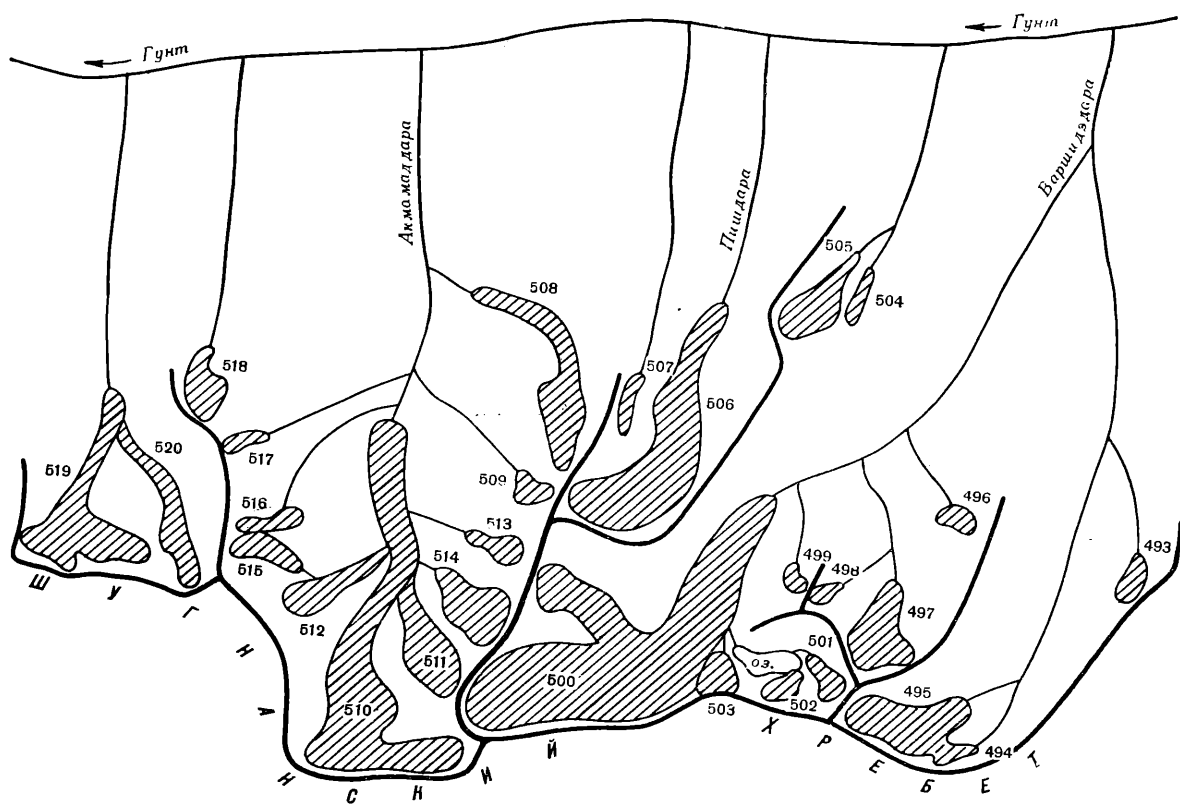


Рис. 36. Схема расположения ледниковых бассейнов левых притоков р. Гунта между устьями рек Дузахдара и Чартымдара.

Усл. обозначения см. на рис. 16.

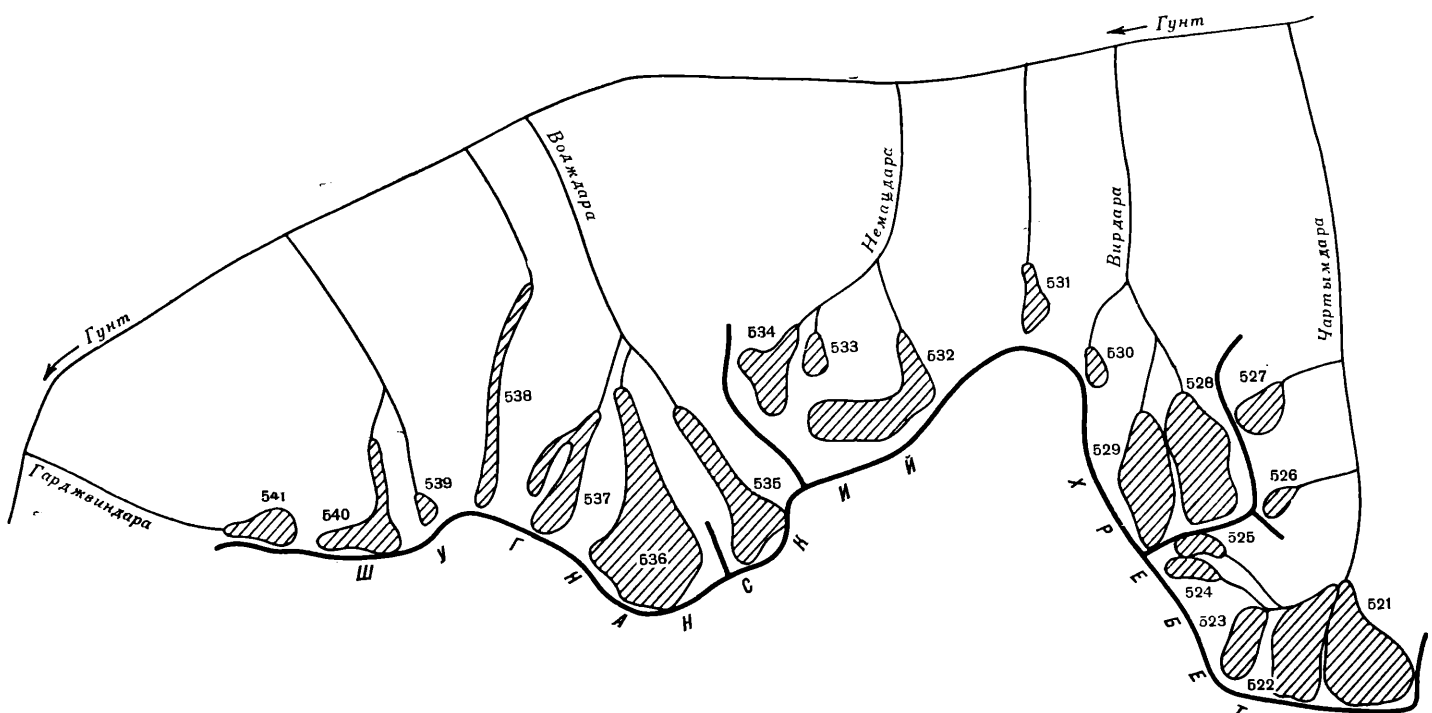


Рис. 37. Схема расположения ледников в бассейнах левых притоков р. Гунта от устья р. Чартымдара до устья р. Гардж-виндара.

Усл. обозначения см. на рис. 16.

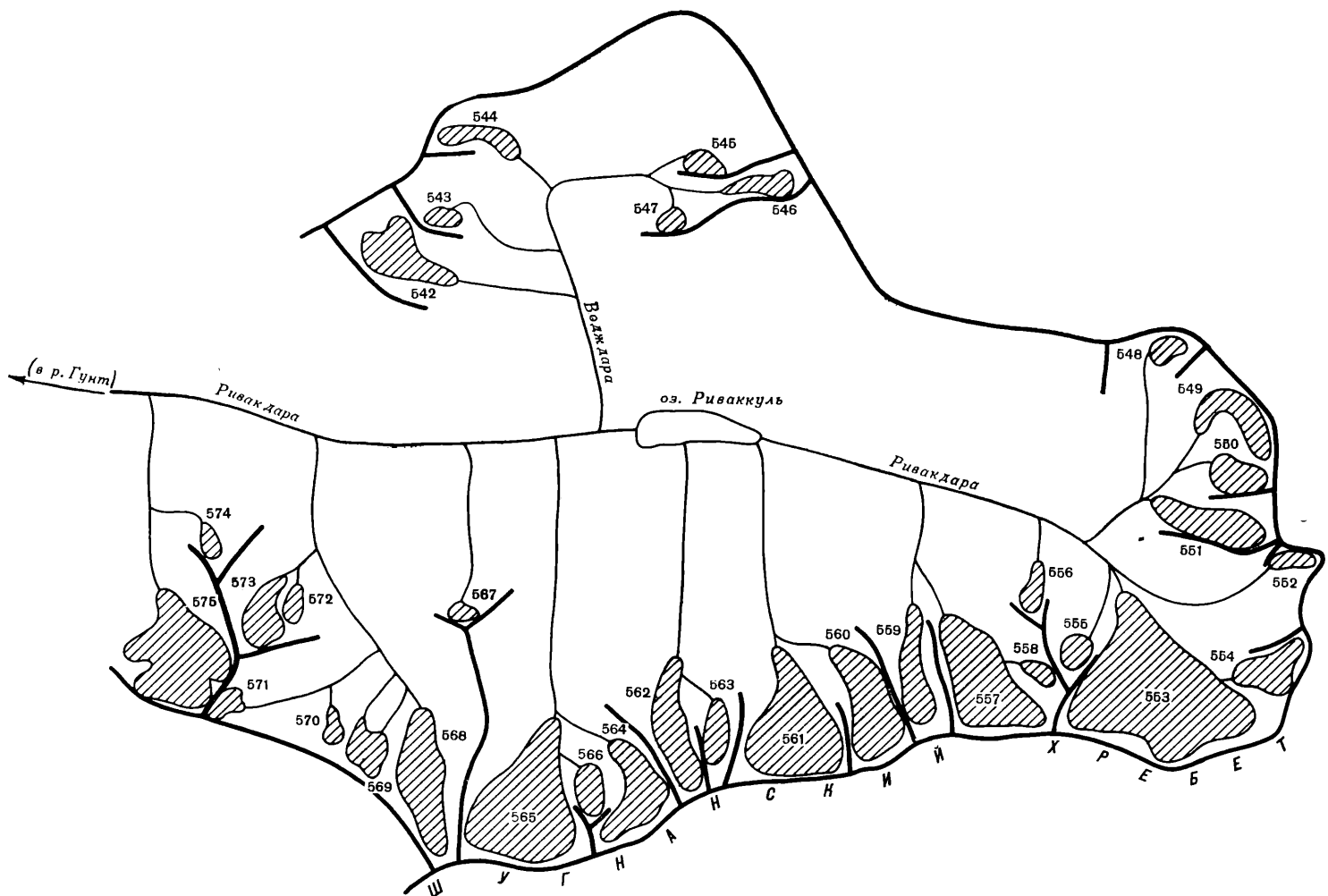


Рис. 38. Схема расположения ледников в бассейнах верховьев р. Ривакдара.

Усл. обозначения см. на рис. 16.

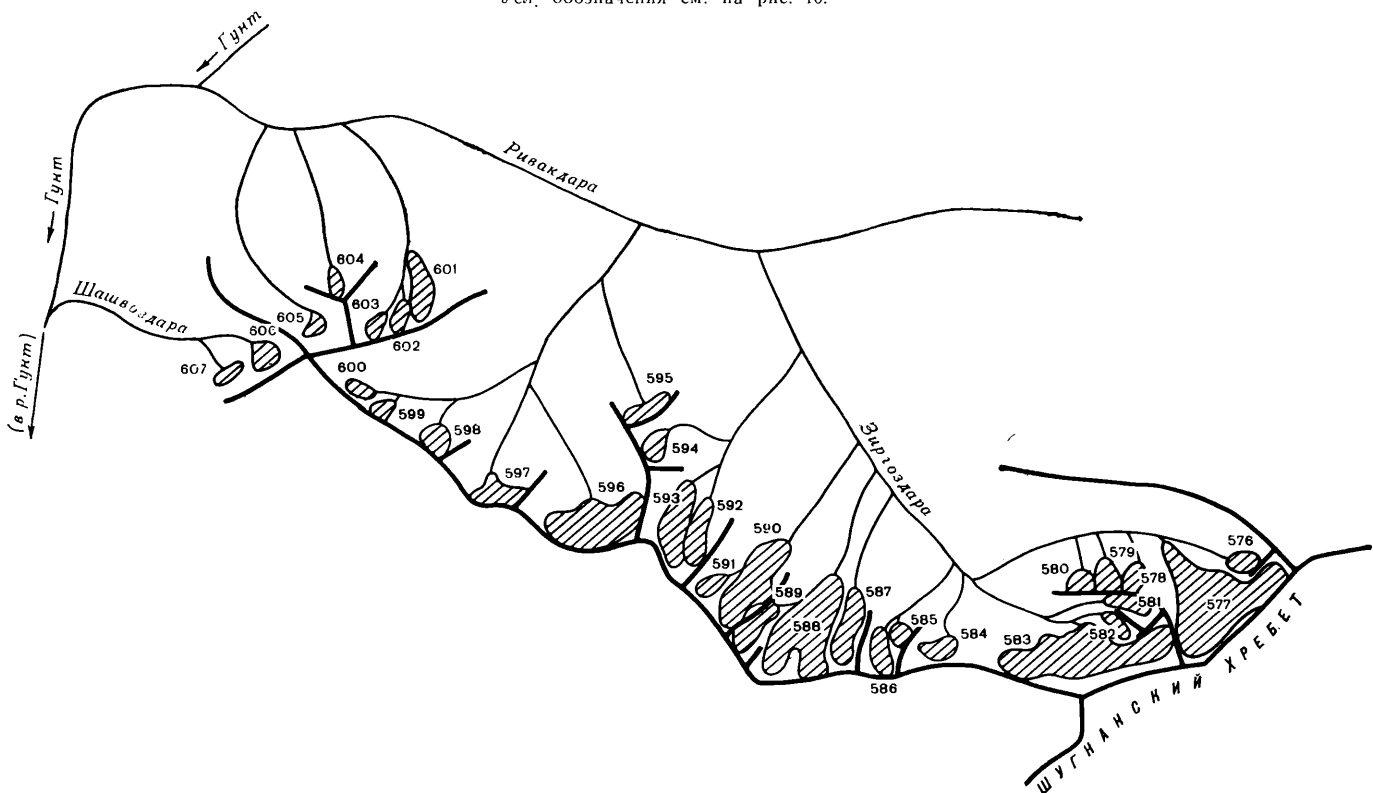


Рис. 39. Схема расположения ледниковых бассейнов левых притоков р. Ривакдара и р. Шашвоздара.
Усл. обозначения см. на рис. 16.

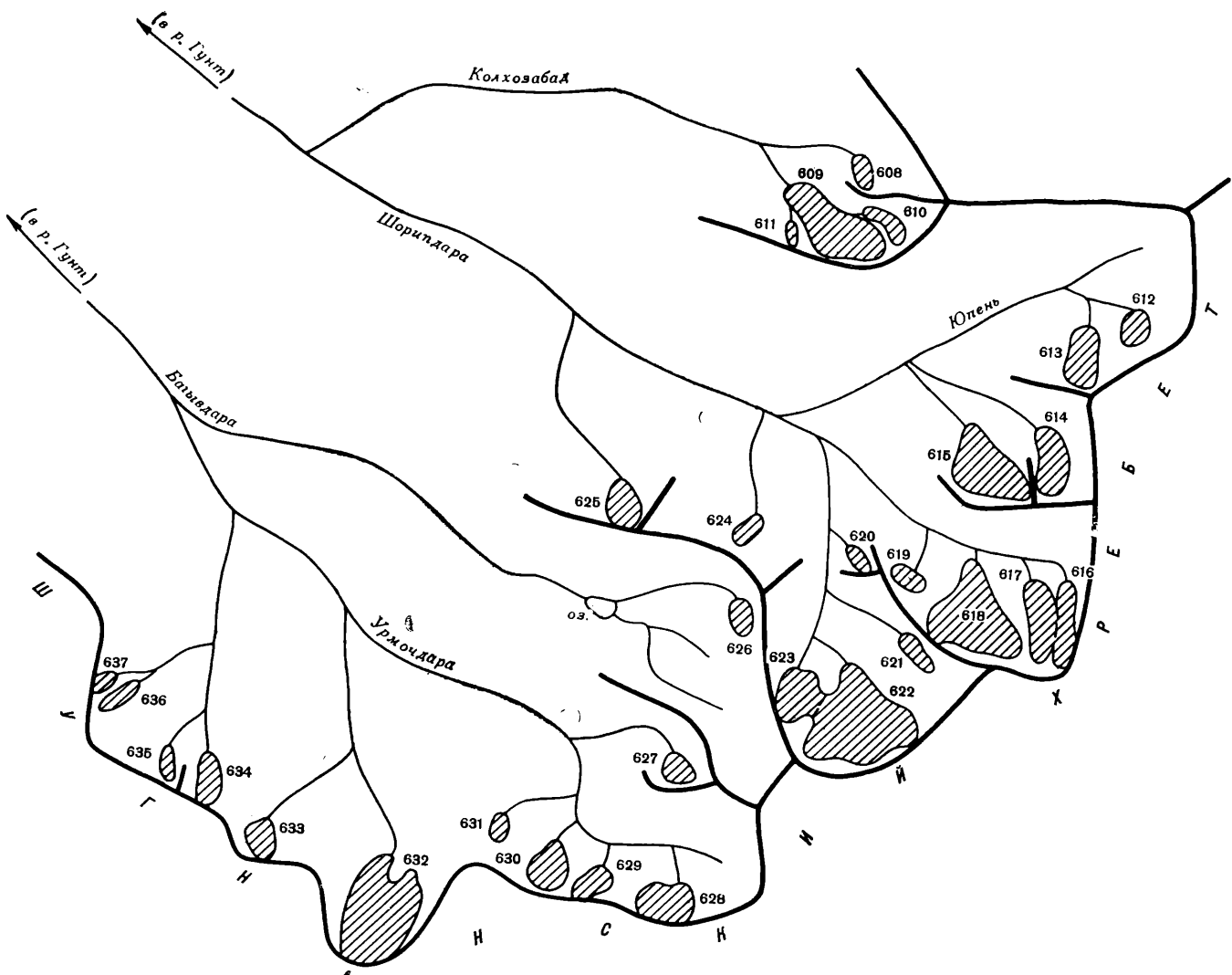


Рис. 40. Схема расположения ледников в бассейнах рек Шорипдара и Багывдара.

Усл. обозначения см. на рис. 16.

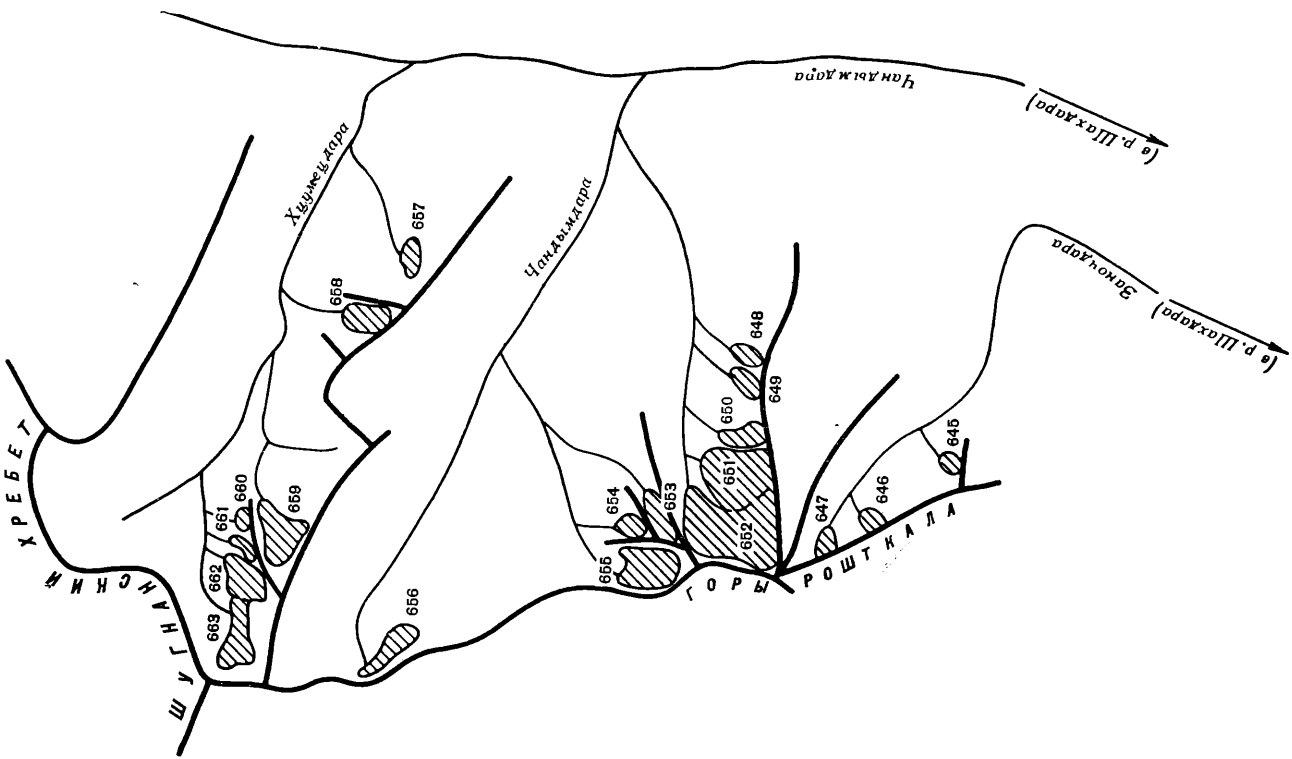


Рис. 42. Схема расположения ледников в бассейнах рек Западного Кавказа, Чандымдара, Хумецдара.
Усл. обозначения см. на рис. 16.

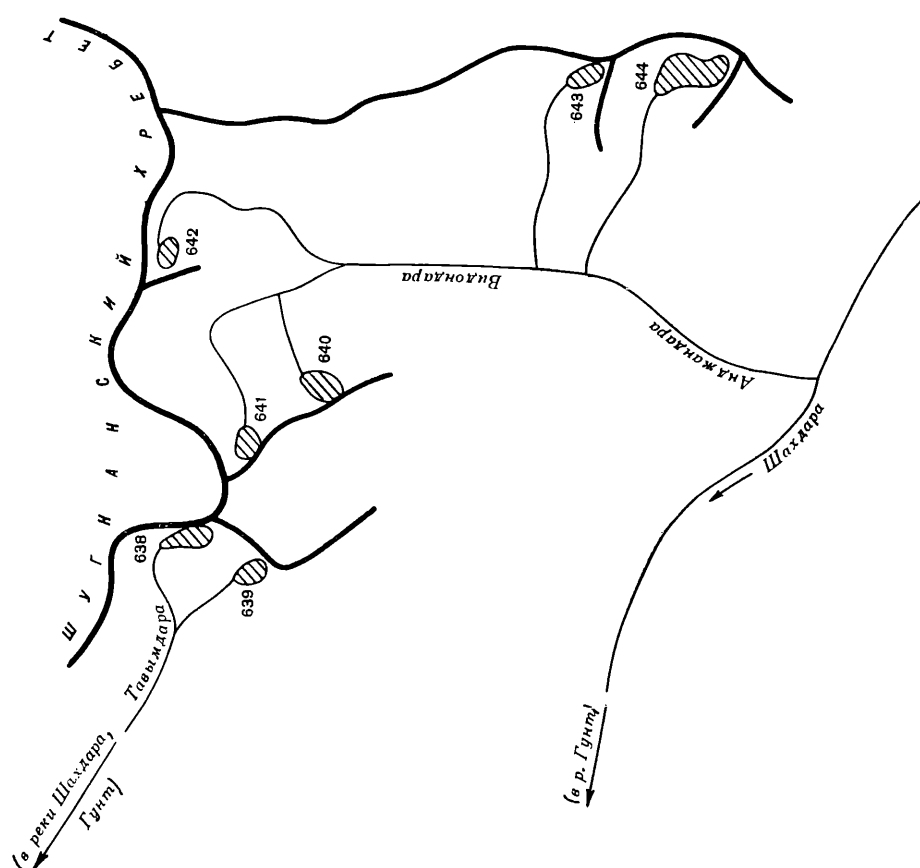


Рис. 41. Схема расположения ледников в бассейнах рек Тавындыара, Аул-Жандара.
Усл. обозначения см. на рис. 16.

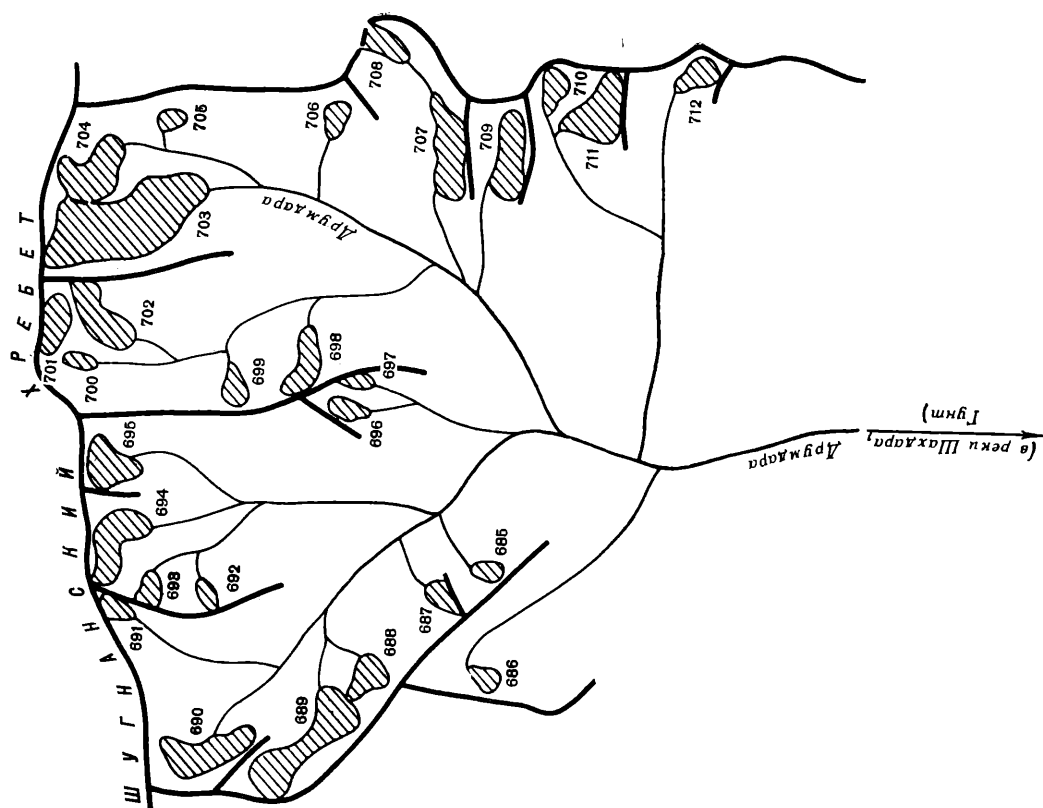


Рис. 44. Схема расположения ледников в бассейне верховьев р. Чандым-
дара.
Усл. обозначения см. на рис. 16.

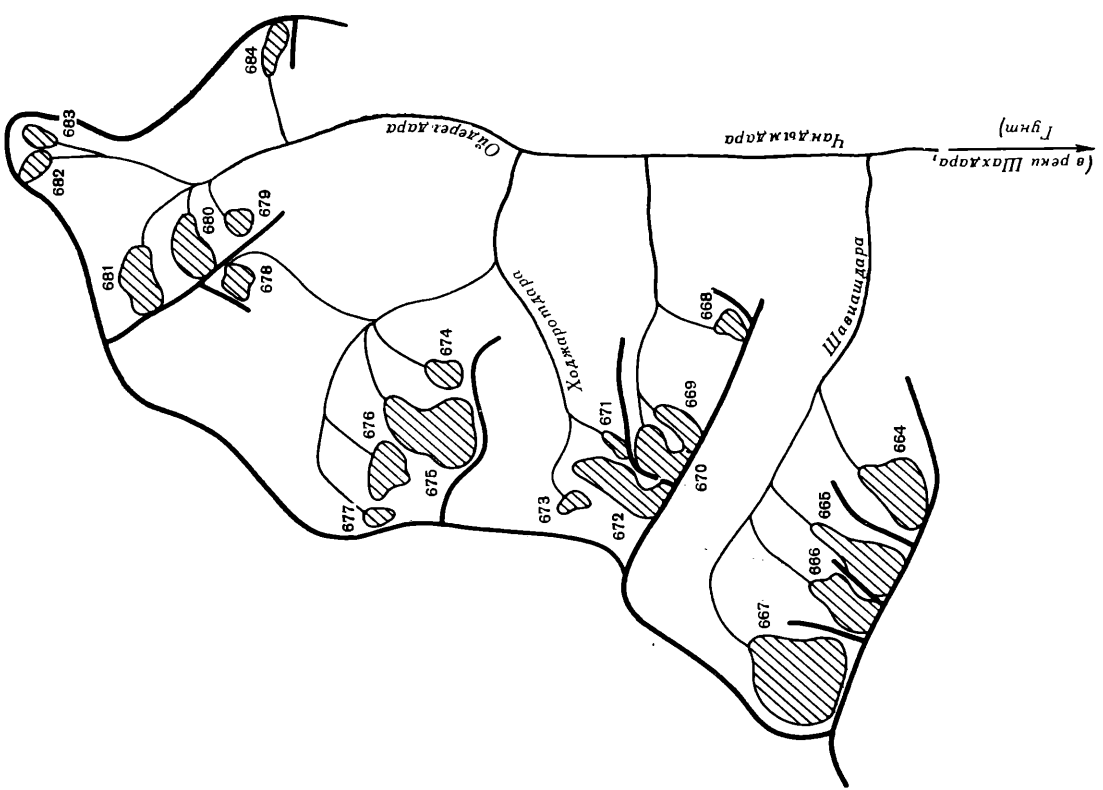


Рис. 43. Схема расположения ледников в бассейне верховьев р. Чандым-
дара.
Усл. обозначения см. на рис. 16.

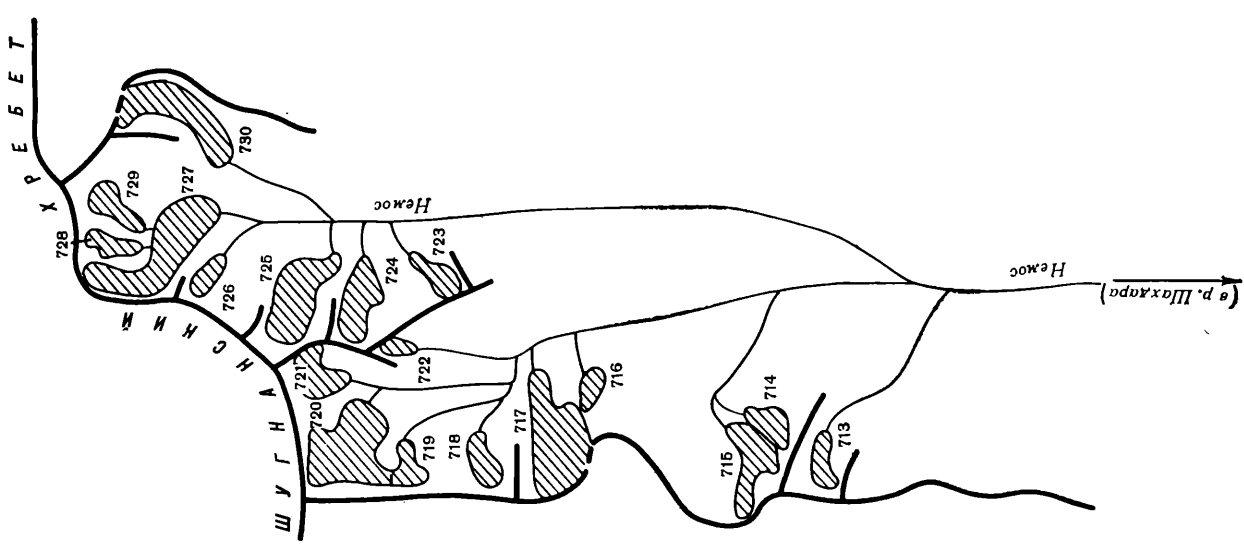


Рис. 45. Схема расположения ледниковых озер в бассейне р. Немда.
Усл. обозначения см. на рис. 16.

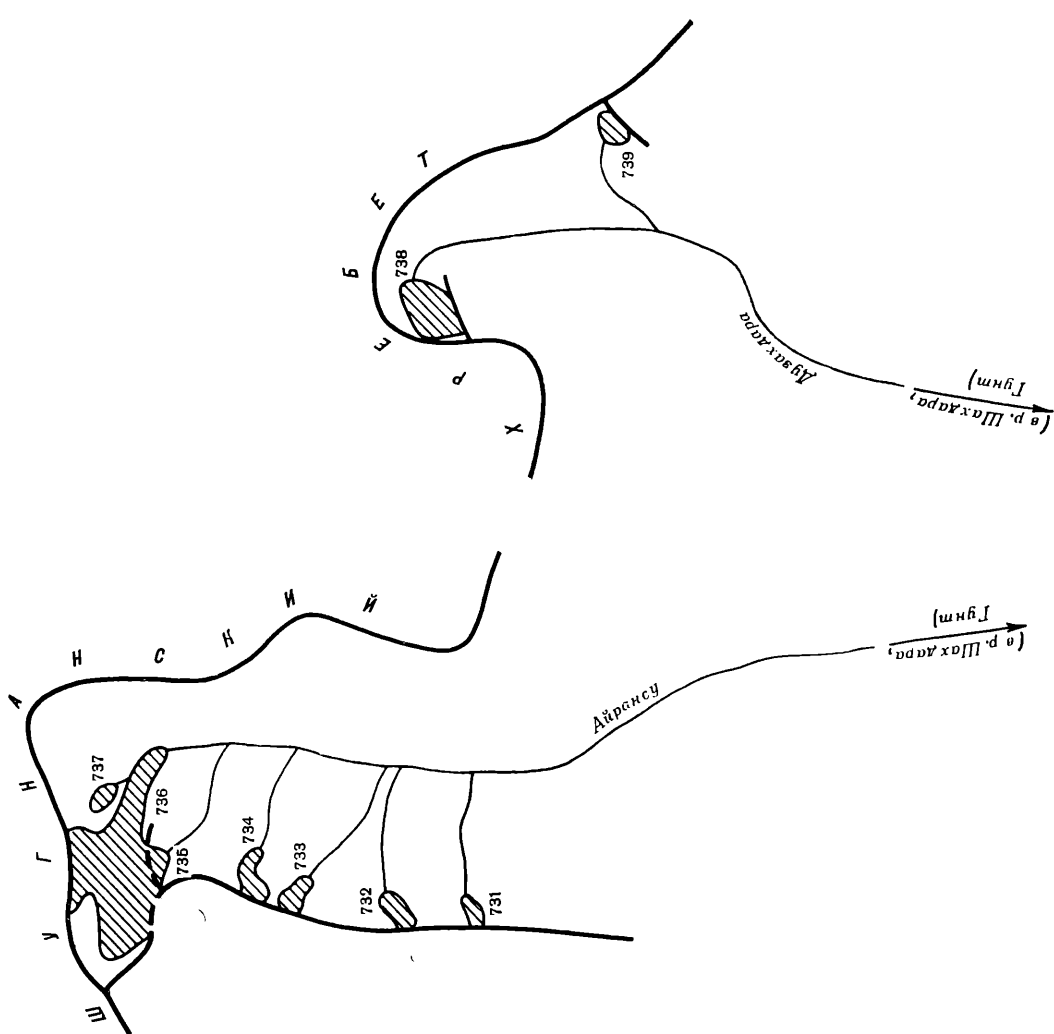


Рис. 46. Схема расположения ледниковых озер в бассейнах рек Айрнсу и Дузакхдары.
Усл. обозначения см. на рис. 16.

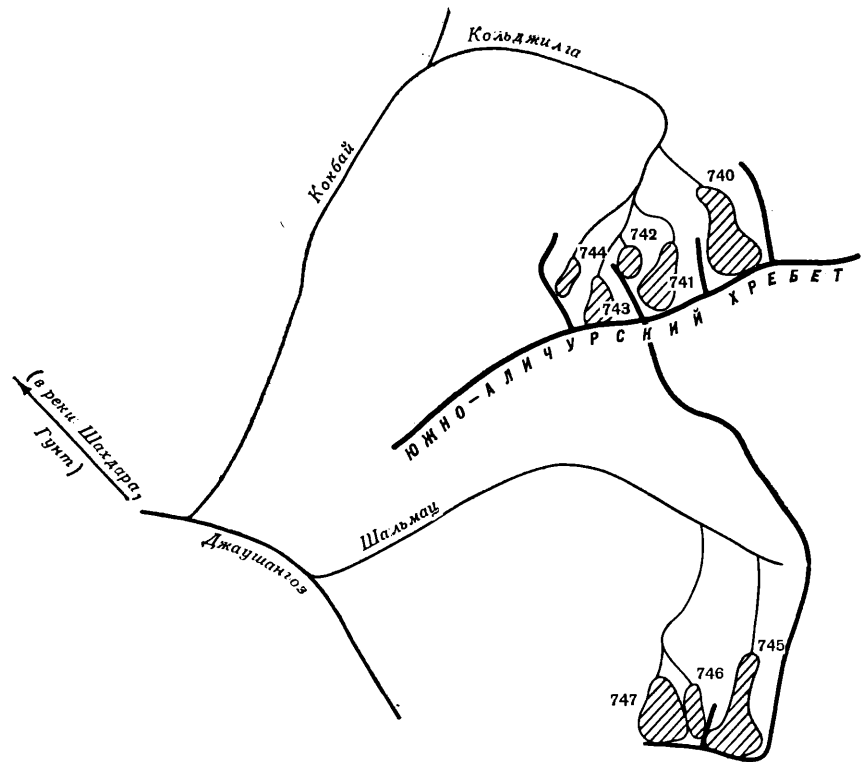


Рис. 47. Схема расположения ледников в бассейнах рек Кокбай и Шальмаз.

Усл. обозначения см. на рис. 16.

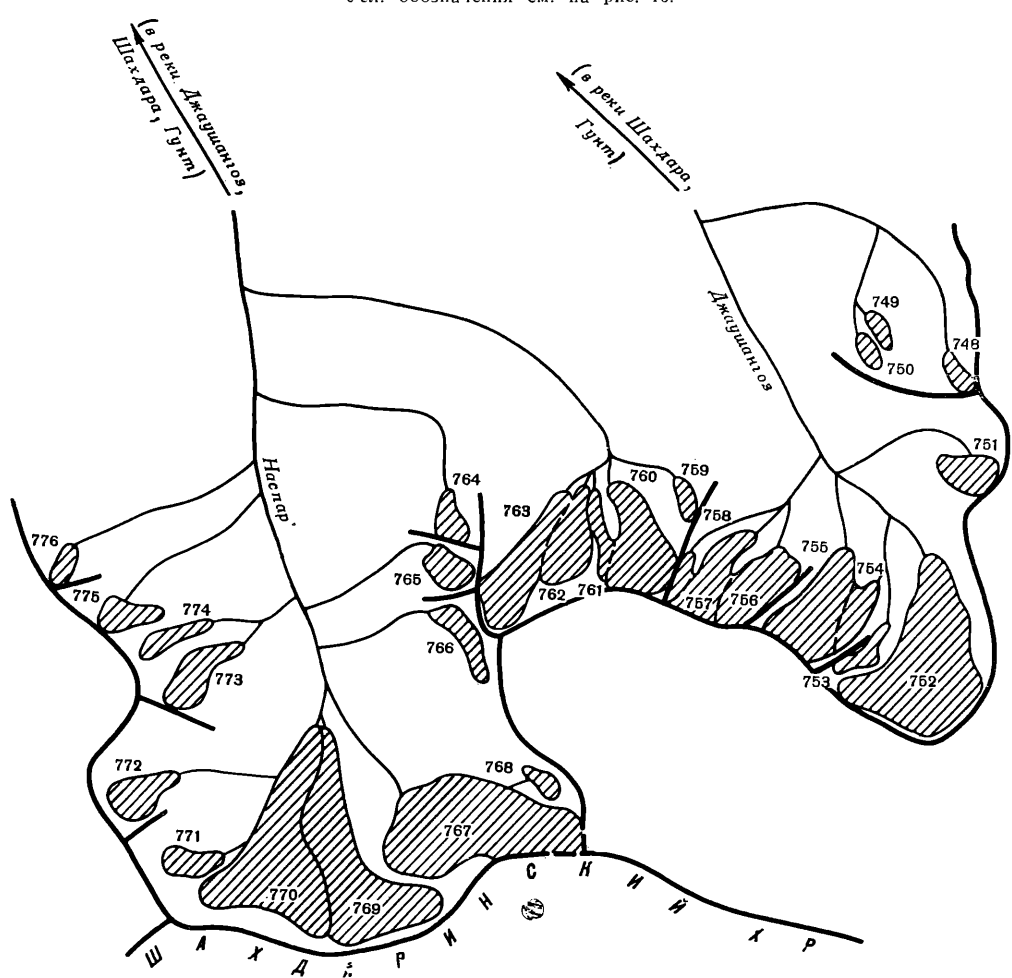


Рис. 48. Схема расположения ледников в бассейнах верховьев р. Джашангоз и р. Наспар.

Усл. обозначения см. рис. 16.

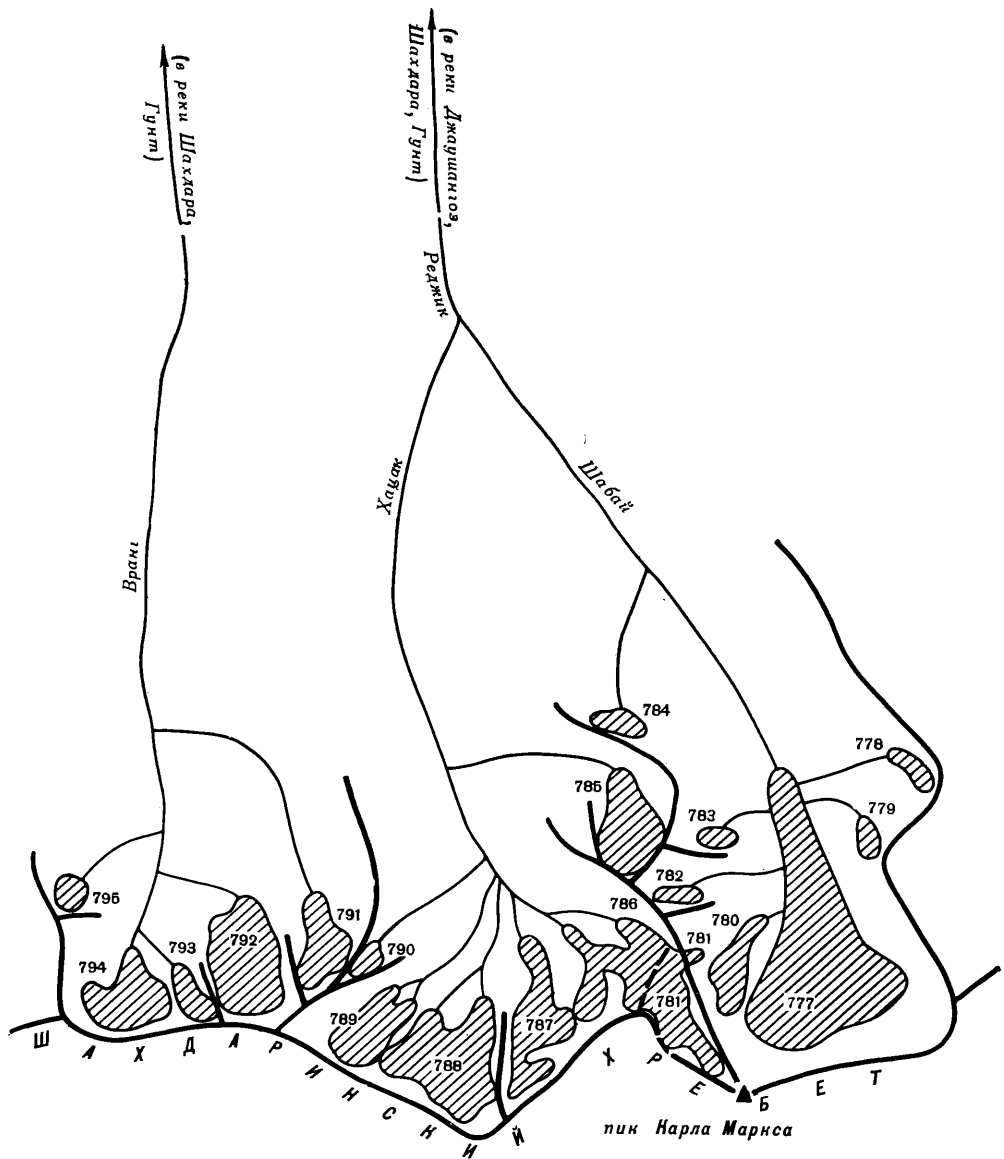


Рис. 49. Схема расположения ледниковых бассейнов рек Реджиг и Вранг.
Усл. обозначения см. на рис. 16.

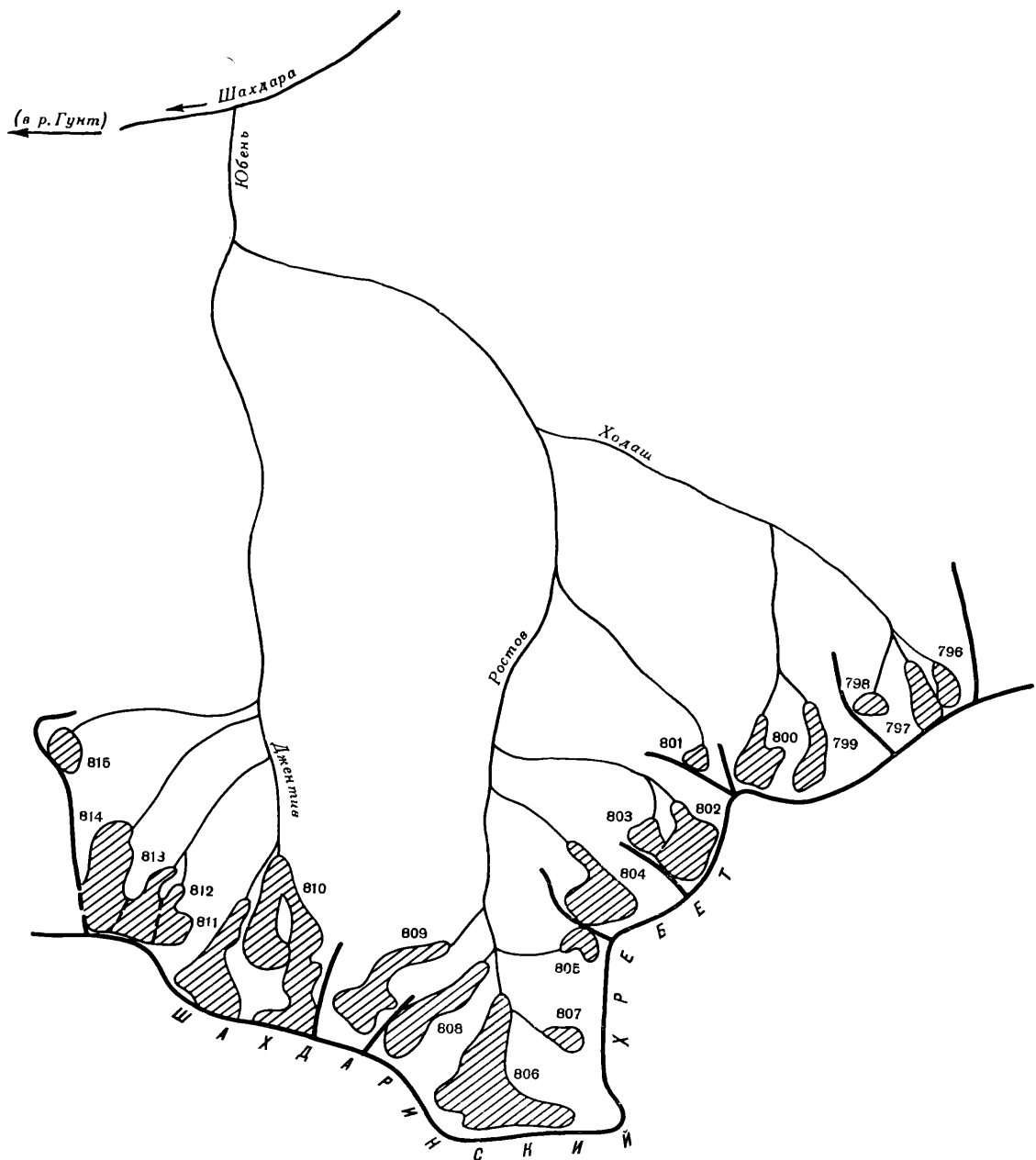


Рис. 50. Схема расположения ледников в бассейне р. Юбень.

Усл. обозначения см. на рис. 16.

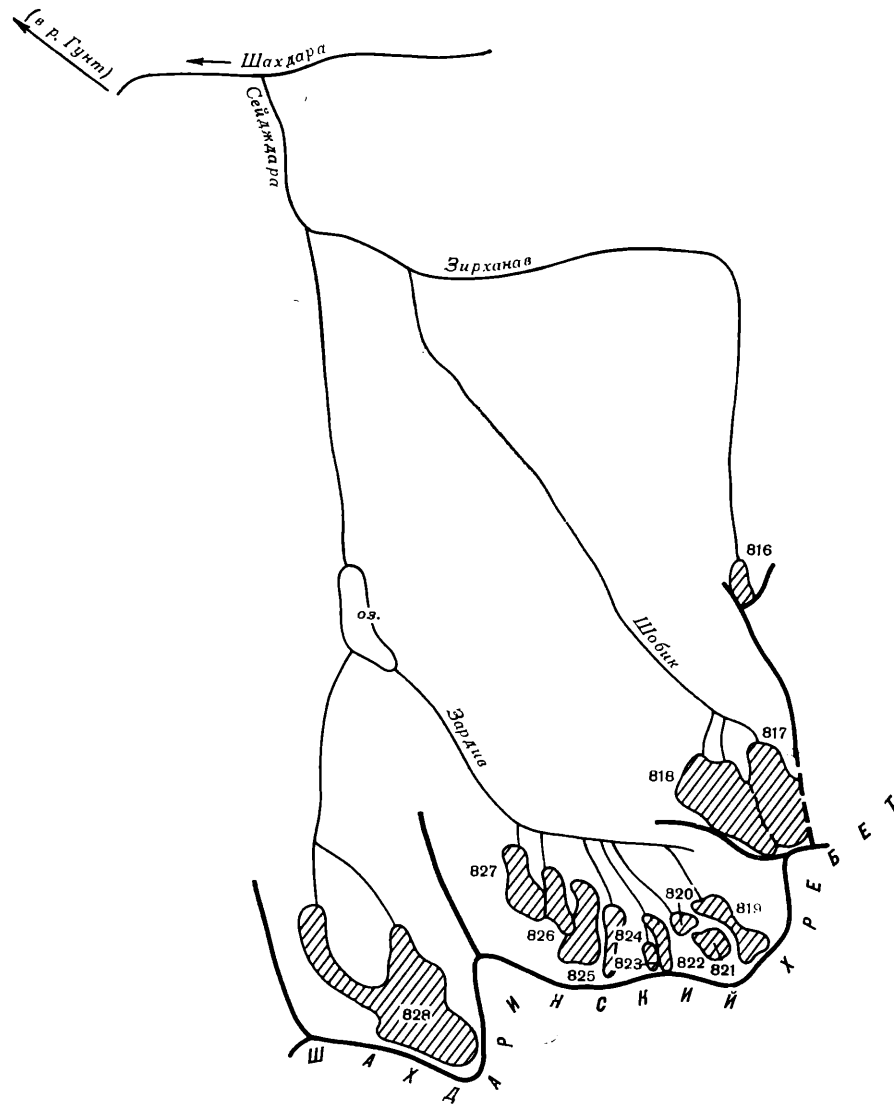


Рис. 51. Схема расположения ледников в бассейне р. Сейдждара.

Усл. обозначения см. на рис. 16.

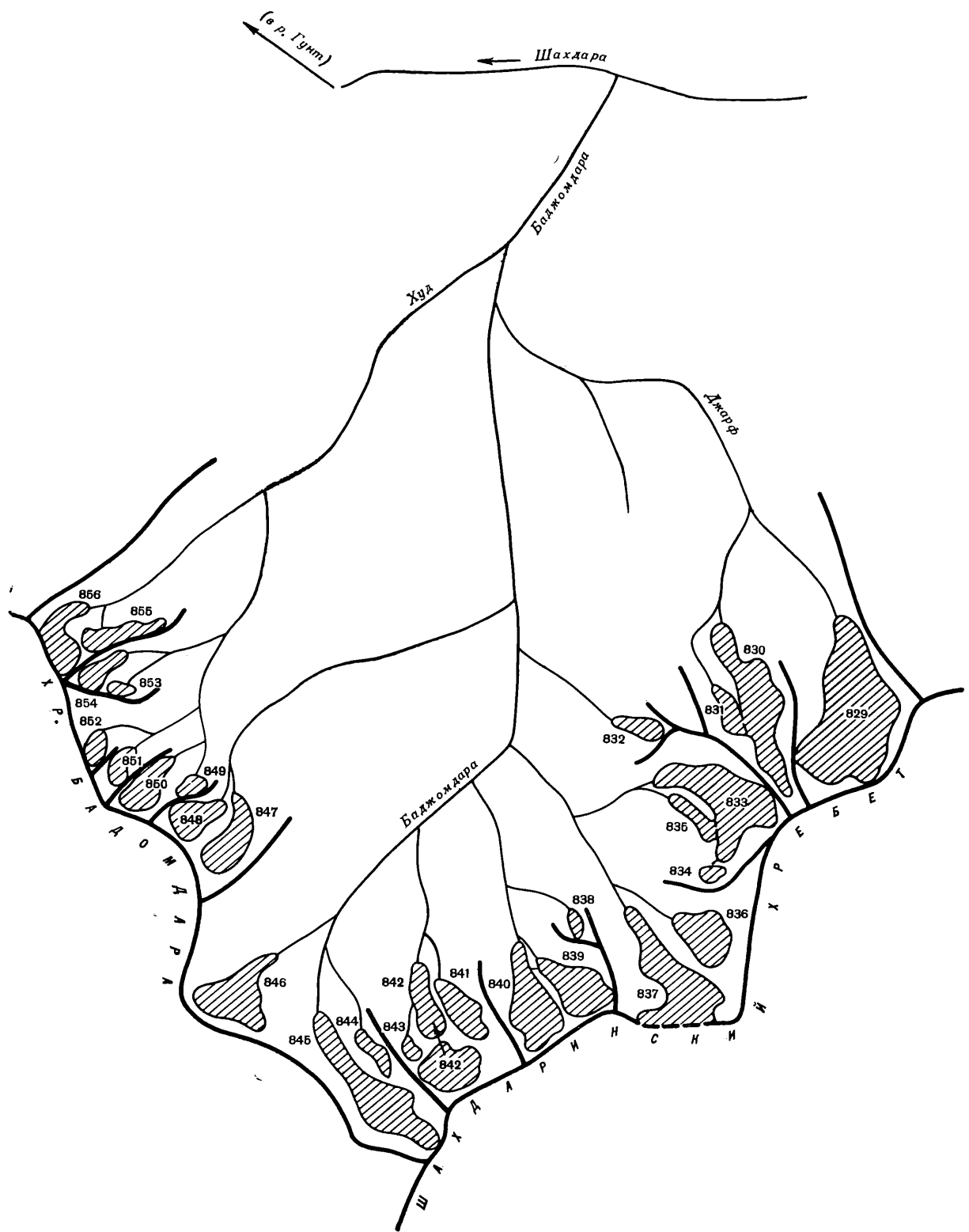


Рис. 52. Схема расположения ледников в бассейне р. Баджомдара.
Усл. обозначения см. на рис. 16.

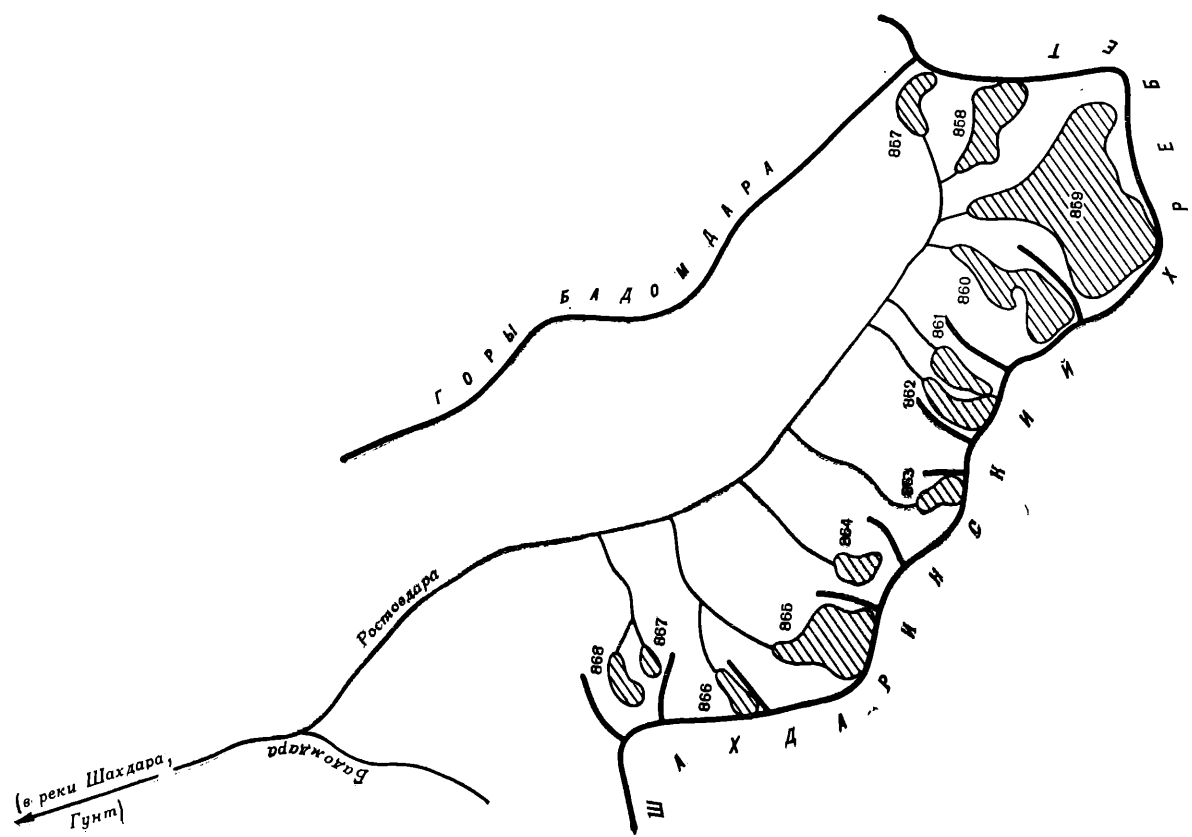


Рис. 53. Схема расположения ледников в бассейне р. Ростовдара.

Усл. обозначения см. на рис. 16.

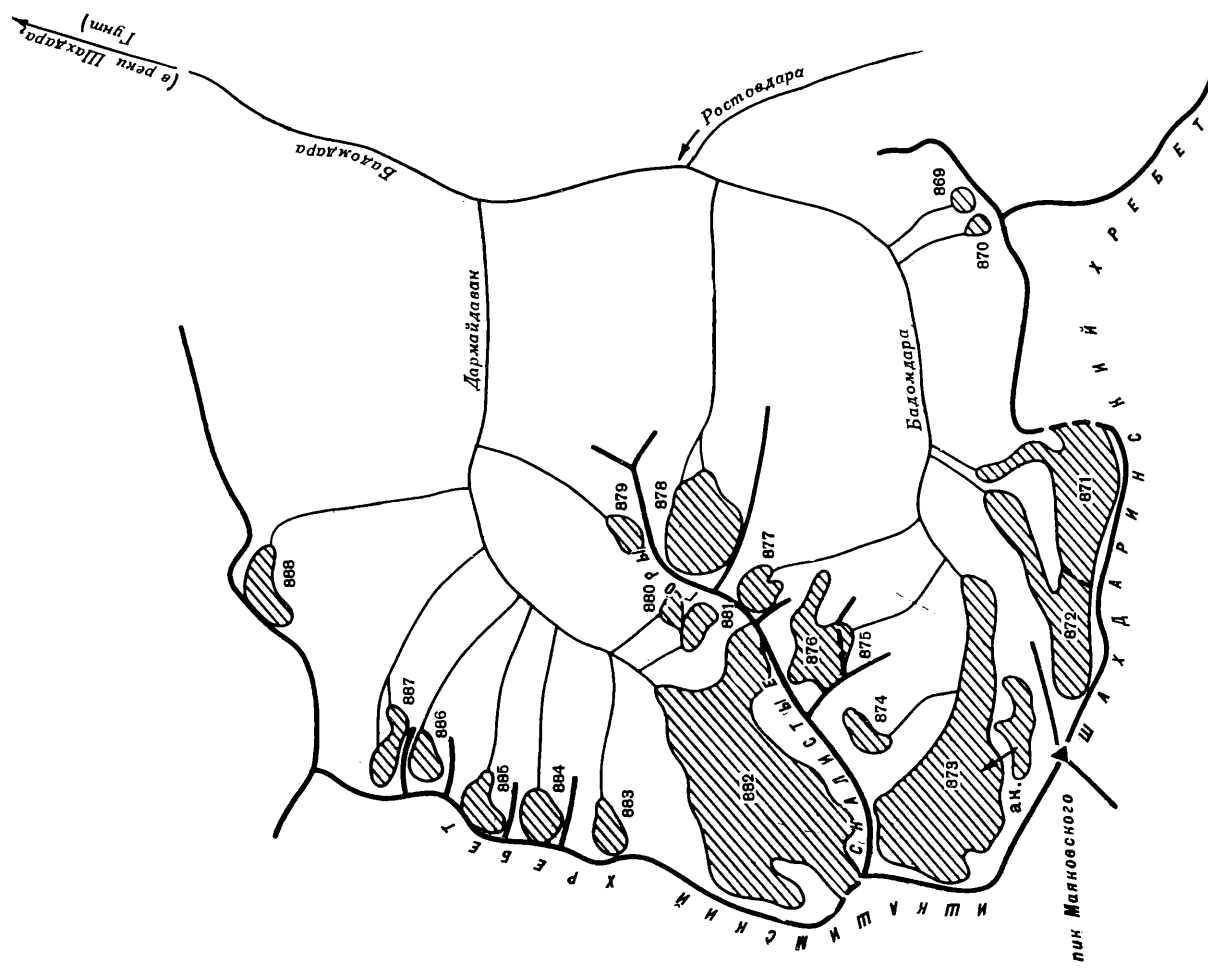


Рис. 54. Схема расположения ледников в бассейнах верховьев и левых притоков р. Бадомдара.

Усл. обозначения см. на рис. 16.

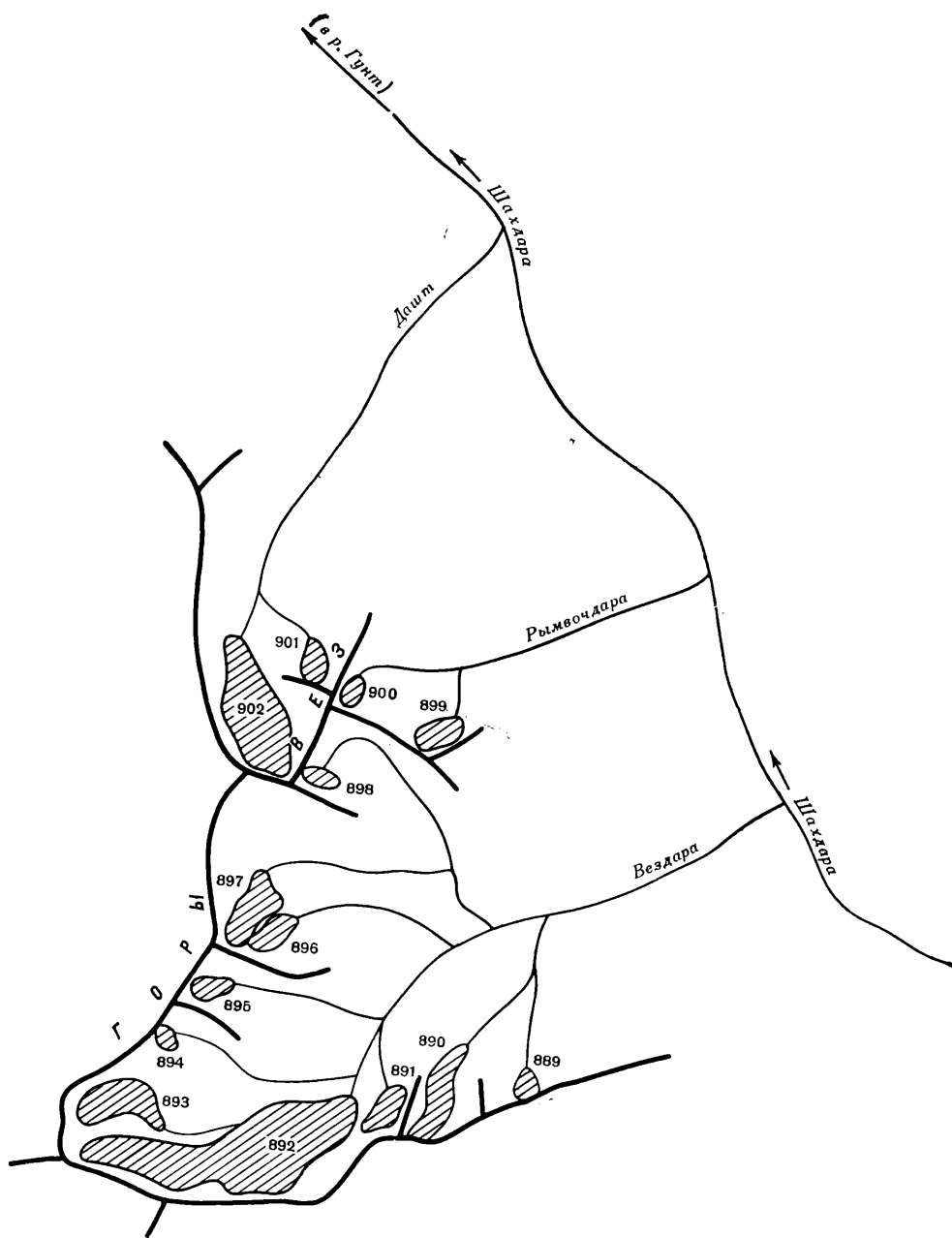


Рис. 55. Схема расположения ледников в бассейнах рек Вездара, Рымвочдара, Даشت.

Усл. обозначения см. на рис. 16.

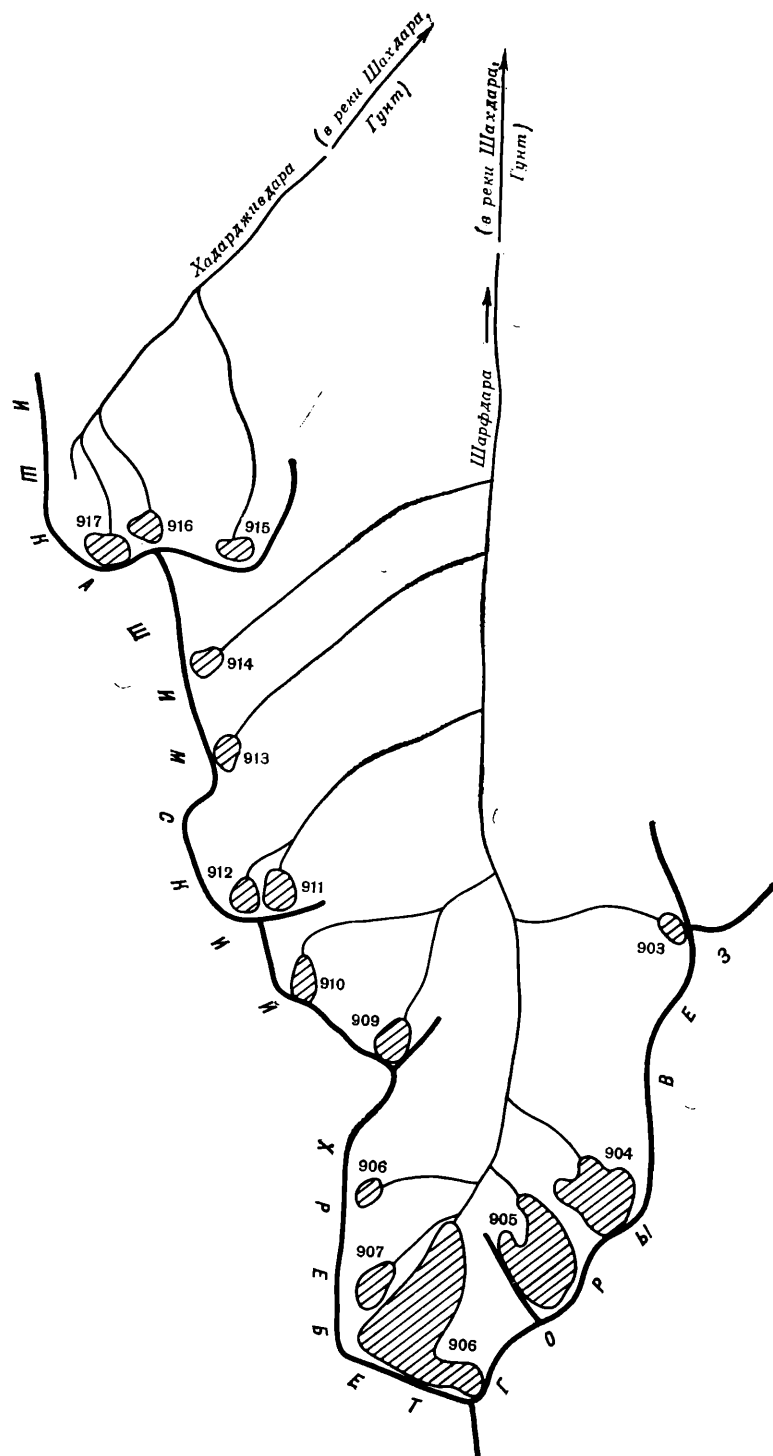


Рис. 56. Схема расположения ледников в бассейнах рек Шарфдара и Хадардживдара.

Усл. обозначения см. на рис. 16.

**ОСНОВНЫЕ ТАБЛИЦЫ
КАТАЛОГА ЛЕДНИКОВ**

ОСНОВНЫЕ СВЕДЕНИЯ

№ по схеме	Название	Название реки, вытекающей из ледника	Морфологический типа	Общая экспозиция	Наибольшая длина, км		Площадь, км ²	
					всего ледника	в том числе открытой части	всего ледника	в том числе открытой части
1	2	3	4	5	6	7	8	9

ПРАВЫЕ НИЖНИЕ

Бассейны правых притоков р. Гунта

Юго-восточный склон

1	№ 1	пр. р. Барсенъдара	кар.	В	0,9	0,9	0,1	0,1
2*	№ 2	пр. р. Барсенъдара	кар.-дол.	СВ	1,2	0,9	0,2	0,2
3*	№ 3	пр. р. Барсенъдара	кар.-дол.	СВ	1,0	1,0	0,2	0,2
4	№ 4	пр. р. Барсенъдара	кар.	СВ	0,6	0,6	0,1	0,1
5*	№ 5	Дашттангдара	прискл.	СВ	0,5	0,5	0,2	0,2
6	№ 6	пр. р. Дашттангдара	кар.-дол.	В	0,7	0,7	0,1	0,1
7*	№ 7	пр. р. Заворакдара	асимм. дол.	СВ	1,6	1,6	0,2	0,2
8*	№ 8	пр. р. Заворакдара	асимм. дол.	В	1,9	1,9	0,5	0,4
9	№ 9	пр. р. Заворакдара	кар.-дол.	ЮВ	1,3	1,3	0,4	0,4
10*	№ 10	пр. р. Мундара	кар.-дол.	В	1,2	0,9	0,2	0,2
11*	№ 11	пр. р. Мундара	асимм. дол.	ЮВ	2,4	1,6	0,8	0,7
12	№ 12	пр. р. Мундара	асимм. дол.	З	1,0	0,7	0,2	0,2
13	№ 13	Дебастадара	кар.-дол., часть сл. дол.	СВ, ЮВ	1,5	1,3	0,3	0,3
14	№ 14	Дебастадара	дол., часть сл. дол.	ЮВ	2,4	2,4	0,8	0,8

Сложный долинный ледник № 13, 14 имеет наибольшую длину 2,4 км, общую площадь 1,1 км² и площадь области

15	№ 15	пр. р. Выбистдара (зап.)	кар.-дол.	С	1,4	1,4	0,5	0,5
16	№ 16	пр. р. Выбистдара (зап.)	асимм. кар.	СВ	1,2	1,2	0,4	0,4
17*	№ 17	пр. р. Выбистдара	кар.	В	0,9	0,9	0,2	0,2
18	№ 18	пр. р. Выбистдара (зап.)	кар.	В	0,8	0,8	0,2	0,2
19*	№ 19	Выбистдара (зап.)	прискл.	ЮВ	1,1	0,9	0,2	0,2
20*	№ 20	Выбистдара (зап.)	сл. дол.	Ю	1,4	1,4	0,5	0,5
21	№ 21	пр. р. Выбистдара (вост.)	сл. дол.	ЮВ	2,3	1,4	0,8	0,7
22*	№ 22	пр. р. Выбистдара (вост.)	дол.	СЗ, ЮЗ	1,9	1,5	0,6	0,5

22 ледника

7,7

Кроме того, в бассейне правых нижних притоков р. Гунта ниже устья р. Ружакдара имеется 8 ледников размерами менее

Итого 30 ледников

8,3

Бассейн р. Ружак

Юго-восточные склоны

23*	№ 23	пр. р. Ружакдара	склон.	С	1,1	1,0	0,3	0,3
24*	№ 24	пр. р. Ружакдара	кар.-дол.	С	1,6	1,5	0,5	0,5
25*	№ 25	пр. р. Ружакдара	сл. дол.	СВ	1,9	1,6	0,6	0,6
26	№ 26	Ружакдара	дол.	СВ	2,0	1,5	0,9	0,8
27	№ 27	пр. р. Ружакдара	кар.-дол.	В	1,5	1,5	0,4	0,4
28	№ 28	пр. р. Ружакдара	кар.	СЗ	0,9	0,9	0,1	0,1

6 ледников

2,8

Кроме того, в бассейне р. Ружакдара имеется 6 ледников размерами менее 0,1 км² каждый, общей площадью 0,4 км²

Итого 12 ледников

3,2

Бассейн р. Штам

Южный склон

29*	№ 29	пр. р. Штамдара	кар.	СВ	0,9	0,9	0,3	0,3
30*	№ 30	пр. р. Штамдара	асимм. кар.	СВ	1,0	1,0	0,2	0,2

ТАБЛИЦА 1

О ЛЕДНИКАХ

Высота, м			Фирновая линия		Площадь области аблации, км ²		Объем льда, км ³	Ссылки на последующие таблицы (иллюстрации) № таблиц и иллюстраций порядковые № сведений в таблицах
нижней точки конца ледника	нижней точки открытой части ледника	высшей точки ледника	высота, м	способ определения и год	общая	в том числе открытой части		
10	11	12	13	14	15	16	17	18

ПРИТОКИ Р. ГУНТА

ниже устья р. Ружакдара (р. Гунт)

Рушанского хребта

4250	4250	4700	4400	АФС 1947	—	—		
4400	4420	4800	4480	АФС 1947	0,1	0,1		
4400	4400	4760	4480	АФС 1947	—	—		
4520	4520	4700	4560	АФС 1947	—	—		
4120	4120	4500	4400	АФС 1947	—	—		
4400	4400	4800	4550	АФС 1947	—	—		
4480	4520	4900	4600	АФС 1947	—	—		
4460	4600	5000	4700	АФС 1947	0,3	0,2		
4600	4600	5100	4800	АФС 1947	0,3	0,3		
4360	4400	4800	4650	АФС 1947	0,2	0,2		
4400	4520	4850	4700	АФС 1947	0,5	0,4		
4400	4480	4900	4650	АФС 1947	0,1	0,1		
4350	4450	4950	4600	АФС 1947	0,2	0,2		
4300	4300	5050	4750	АФС 1947	0,6	0,6		

абляции 0,8 км²

4120	4120	4650	4400	АФС 1947	0,1	0,1		
4150	4150	4800	4400	АФС 1947	0,1	0,1		
4450	4450	5000	4600	АФС 1947	0,1	0,1		
4400	4400	4800	4600	АФС 1947	0,1	0,1		
4550	4600	4900	4700	АФС 1947	0,1	0,1		
4560	4560	5000	4750	АФС 1947	0,1	0,1		
3920	4200	4950	4500	АФС 1947	0,5	0,4		
4300	4450	4850	4600	АФС 1947	0,3	0,2		

0,1 км² каждый, общей площадью 0,6 км²

дара (р. Гунт)

Рушанского хребта

4100	4150	4650	4400	АФС 1947	0,2	0,2		
4100	4160	4600	4400	АФС 1947	0,3	0,3		
4080	4200	4850	4400	АФС 1947	0,3	0,3		
4300	4300	4900	4500	АФС 1947	0,5	0,4		
4450	4450	4950	4650	АФС 1947	0,3	0,3		
4400	4400	4900	4600	АФС 1947	—	—		

Рис. 13

дара (р. Гунт)

Рушанского хребта

4150	4150	4550	4450	АФС 1947	0,2	0,2		
4250	4250	4750	4500	АФС 1947	0,1	0,1		

№ по схеме	Название	Название реки, вытекающей из ледника	Морфологический тип	Общая экспозиция	Наибольшая длина, км		Площадь, км ²	
					всего ледника	в том числе открытой части	всего ледника	в том числе открытой части
1	2	3	4	5	6	7	8	9
31*	№ 31	пр. р. Штамдара	асимм. кар.	СВ	0,9	0,9	0,2	0,2
32	№ 32	пр. р. Штамдара	кар.-дол.	СВ	1,0	1,0	0,2	0,2
33	№ 33	Штамдара	асимм. дол.	ЮВ	1,7	1,7	0,6	0,6
34	№ 34	пр. р. Штамдара	дол.	Ю	1,6	1,6	0,3	0,3
35*	№ 35	пр. р. Штамдара	дол.	ЮЗ	3,4	3,0	1,5	1,5
36*	№ 36	пр. р. Штамдара	дол.	З	2,4	1,6	0,7	0,5
37*	№ 37	пр. р. Штамдара	асимм. дол.	СЗ	1,8	0,6	0,4	0,1

9 ледников

Кроме того, в бассейне р. Штамдара имеется 5 ледников размерами менее 0,1 км² каждый, общей площадью 0,4 км²
Итого 14 ледников

4,4

4,8

Бассейн р. Звор Южный склон

38	№ 38	пр. р. Звордара	кар.-дол.	В	0,8	0,5	0,2	0,2
39	№ 39	пр. р. Звордара	вис. дол.	В	0,9	0,9	0,2	0,2
40	№ 40	пр. р. Звордара	сл. дол.	ЮВ	2,4	1,9	0,8	0,8
41	№ 41	пр. р. Звордара	дол.	Ю	1,7	1,7	0,3	0,3
42	№ 42	пр. р. Звордара	кар.	Ю	0,6	0,6	0,1	0,1
43*	№ 43	пр. р. Звордара	дол.	ЮВ	2,5	2,2	1,4	1,2
44*	№ 44	пр. р. Звордара	сл. дол.	ЮВ	1,8	1,6	0,5	0,5
45	№ 45	пр. р. Звордара	кар.-дол.	Ю	0,9	0,7	0,1	0,1
46	№ 46	пр. р. Звордара	асимм. дол.	Ю	3,0	2,6	1,0	1,0
47*	№ 47	пр. р. Звордара	кар.-дол.	Ю	1,9	1,2	1,2	0,7
48*	№ 48	пр. р. Звордара	дол., часть сл. дол.	ЮЗ	3,6	3,6	1,2	1,2
49*	№ 49	пр. р. Звордара	дол., часть сл. дол.	ЮЗ	4,6	4,6	0,7	0,7
50	№ 50		асимм. дол., часть сл. дол.	ЮЗ	2,0	1,4	1,1	0,9

Сложный долинный ледник № 48, 49, 50 имеет наибольшую длину 4,6 км, общую площадь 3,0 км² (в том числе 0,2 км²)

51	№ 51	пр. р. Звордара	асимм. дол.	СЗ	1,2	0,4	0,4	0,2
52	№ 52	пр. р. Звордара	кар.-дол.	СЗ	1,2	1,2	0,4	0,4
53*	№ 53	пр. р. Звордара	дол.	С, З	2,3	0,4	0,8	0,4

16 ледников

10,4

Кроме того, в бассейне р. Звордара имеется 3 ледника размерами менее 0,1 км² каждый, общей площадью 0,1 км²

Итого 19 ледников

10,5

Бассейны правых притоков р. Гунта между Южный склон

54	№ 54	пр. р. Гунта	кар.-дол.	С, З	1,3	1,3	0,3	0,3
55	№ 55	пр. р. Гунта	кар.	Ю	0,5	0,5	0,1	0,1

2 ледника

0,4

Кроме того, в бассейнах правых притоков р. Гунта между устьями рек Звордара и Патхур имеется 2 ледника
Итого 4 ледника

0,5

Всего в бассейнах правых нижних притоков р. Гунта имеется 79 ледников общей площадью 27,3 км², в том числе 55 ледников менее 0,1 км² каждый, общей площадью 1,6 км².

ПРАВЫЕ СРЕДНИЕ БАССЕЙНЫ

Бассейн верховьев

Южный склон

56*	№ 56	пр. р. Патхур	дол.	В	1,6	1,6	0,4	0,4
57*	№ 57	пр. р. Патхур	дол.	СВ	3,0	2,8	1,2	1,2

Высота, м			Фирновая линия		Площадь области аблации, км ²		Объем льда, км ³	Ссылки на последующие таблицы (иллюстрации) № таблиц и иллюстраций порядковые № сведений в таблицах
нижней точки конца ледника	нижней точки открытой части ледника	высшей точки ледника	высота, м	способ определения и год	общая	в том числе открытой части		
10	11	12	13	14	15	16	17	18
4300	4300	4650	4450	АФС 1947	0,1	0,1		
4200	4280	4800	4400	АФС 1947	—	—		
4480	4480	5000	4700	АФС 1947	0,3	0,3		
4480	4480	4850	4650	АФС 1947	—	—		
4300	4380	5100	4550	АФС 1947	0,4	0,4		
4270	4420	5200	4550	АФС 1947	0,4	0,2		
4200	4500	5100	4550	АФС 1947	0,3	—		

дара (р. Гунт)

Рушанского хребта

4200	4350	4650	4400	АФС 1947	0,1	—		
4230	4230	4650	4400	АФС 1947	0,1	0,1		
4000	4120	5150	4400	АФС 1947	0,2	0,2		
4140	4140	5100	4400	АФС 1947	—	—		
4500	4500	4900	4550	АФС 1947	—	—		
4180	4250	5250	4550	АФС 1947	0,7	0,5		
4340	4420	5300	4550	АФС 1947	0,2	0,2		
4400	4480	4800	4550	АФС 1947	—	—		
4200	4340	5100	4500	АФС 1947	0,2	0,2		
4440	4530	4850	4600	АФС 1947	0,7	0,2		
4340	4340	5050	4700	АФС 1947	0,4	0,4		
4240	4620	5100	4750	АФС 1947	0,4	0,4		
4380	4500	4950	4700	АФС 1947	0,6	0,4		

закрыто мореной) и площадь области аблации 1,4 км²

4350	4500	4750	4650	АФС 1947	0,2	—		
4540	4540	4950	4650	АФС 1947	0,1	0,1		
4080	4360	4650	4550	АФС 1947	0,6	—		

рис. 10

устьями рек Звордара и Патхур (р. Гунт)

Рушанского хребта

4520	4520	4900	4600	АФС 1947	0,1	0,1		
4580	4580	4800	4650	АФС 1947	—	—		

размерами менее 0,1 км² каждый, общей площадью 0,1 км²размерами 0,1 км² и более каждый, общей площадью 25,7 км² (из них 2,3 км² покрыто мореной) и 24 ледника размерами**ПРИТОКИ р. ГУНТА**

р. ПАТХУР

р. Патхур (р. Гунт)

Рушанского хребта

4300	4300	4800	4550	АФС 1947	0,2	0,2		
4260	4300	5000	4600	АФС 1947	0,6	0,6		

№ по схеме	Название	Название реки, вытекающей из ледника	Морфологический тип	Общая экспозиция	Наибольшая длина, км		Площадь, км ²	
					всего ледника	в том числе открытой части	всего ледника	в том числе открытой части
1	2	3	4	5	6	7	8	9
58*	№ 58	пр. р. Патхур	асимм. дол., часть сл. дол.	ЮВ, В	3,4	3,1	2,4	2,3
59	№ 59		дол., часть сл. дол.	ЮЗ	1,2	1,2	0,3	0,3
Сложный долинный ледник № 58, 59 имеет наибольшую длину 3,4 км, общую площадь 2,7 км ² (в том числе 0,1 км ² за								
60	№ 60	пр. р. Патхур	вис.	В	1,6	1,6	0,3	0,3
61	№ 61	пр. р. Патхур	дол.	СВ	3,4	3,4	2,2	2,2
62*	№ 62	пр. р. Патхур	дол., часть, сл. дол.	В	4,7	4,7	2,5	2,5
63*	№ 63	пр. р. Патхур	дол., часть сл. дол.	ЮВ	4,7	3,9	2,6	2,5
64*	№ 64	пр. р. Патхур	дол., часть сл. дол.	В, ЮВ	4,1	3,7	1,4	1,3
65*	№ 65	пр. р. Патхур	кар.-дол. часть сл. дол.	З, ЮВ	2,0	1,2	0,3	0,3
Сложный долинный ледник № 62—65 имеет наибольшую длину 4,7 км, общую площадь 6,8 км ² (в том числе 0,2 км ²								
66*	Штеклозар	Патхур	дендр., осн. поток	ЮЗ	10,9	7,9	6,4	5,6
67*	№ 67		дол., часть дендр.	ЮВ, ЮЗ	4,2	3,4	1,6	1,5
68*	№ 68		сл. дол., часть	ЮЗ	2,3	1,1	1,2	0,9
69*	№ 69		дендр.	В, ЮЗ	6,2	5,6	1,5	1,4
70*	№ 70	Патхур	дол., часть дендр.	З, ЮЗ	10,4	7,2	5,1	4,3
71*	№ 71	Патхур	дол., часть дендр.	С, ЮЗ	6,4	4,0	2,5	2,0
Дендритовый ледник Штеклозар № 66—71 имеет наибольшую длину 10,9 км, общую площадь 18,3 км ² (в том числе								
72*	№ 72		дол.	СВ, Ю	3,4	3,4	1,3	1,2
73*	№ 73		склон.	С	1,1	1,1	0,2	0,2
74*	№ 74		вис.	С	0,5	0,5	0,1	0,1
75	№ 75	пр. р. Патхур	дол.	С, С3	2,7	2,7	0,6	0,6
76	№ 76	пр. р. Патхур	вис.	С3	0,4	0,4	0,2	0,2
21 ледник								
Кроме того, в бассейне верховьев р. Патхур имеется 10 ледников размерами менее 0,1 км ² каждый, общей площадью 34,7								
Итого 31 ледник								
Бассейн р. Чапдара								
Южный склон								
77	№ 77	пр. р. Чапдара	дол.	В	2,0	0,6	0,4	0,1
78*	№ 78	пр. р. Чапдара	склон.	СВ	1,1	1,1	0,2	0,2
79*	№ 79	пр. р. Чапдара	склон.	СВ	1,2	1,2	0,2	0,2
80	№ 80	пр. р. Чапдара	кар.-дол.	СВ	1,6	1,4	0,4	0,3
81	№ 81	пр. р. Чапдара	дол.	ЮВ	0,9	0,3	0,1	—
82	№ 82	пр. р. Чапдара	дол.	ЮВ	3,3	3,3	1,8	1,8
83*	Чапдара	пр. р. Чапдара	дол., часть сл. дол.	В, Ю	4,8	4,8	4,7	4,7
84*	Чапдара	Чапдара	котл., часть сл. дол.	Ю, ЮЗ	5,0	5,0	3,3	3,3
Сложный долинный ледник Чапдара (№ 83, 84) имеет наибольшую площадь 5,0 км, общую площадь 8,0 км ² , пло-								
85	№ 85	пр. р. Чапдара	асимм. дол.	ЮВ	1,4	1,4	0,3	0,3
86	№ 86	пр. р. Чапдара	кар.-дол.	С3, ЮЗ	1,9	1,9	1,1	1,1
87	№ 87	пр. р. Чапдара	асимм. дол.	С3	2,1	2,1	1,3	1,1
88	№ 88	пр. р. Чапдара	дол.	В, ЮВ	2,9	2,9	0,9	0,9
89*	№ 89		вис.	В	0,7	0,7	0,1	0,1
90*	№ 90	пр. р. Чапдара	склон.	ЮЗ	1,2	1,2	0,6	0,6

Высота, м			Фирновая линия		Площадь области абляции, км ²		Объем льда, км ³	Ссылки на последующие таблицы (илюстрации)
нижней точки конца ледника	нижней точки открытой части ледника	высшей точки ледника	высота, м	способ определения и год	общая	в том числе открытой части		
10	11	12	13	14	15	16	17	18
4400	4500	5000	4750	АФС 1947	1,6	1,5		
4630	4630	5150	4750	АФС 1947	0,1	0,1		
крыто мореной), площадь области абляции 1,7 км ²								
4250	4250	5150	4650	АФС 1947	0,1	0,1		
4180	4180	5200	4650	АФС 1947	1,0	1,0		
4130	4130	5100	4650	АФС 1947	1,0	1,0		
4160	4240	5150	4700	АФС 1947	0,8	0,7		
4260	4400	5200	4800	АФС 1947	0,6	0,5		
4260	4450	4900	4750	АФС 1947	0,2	0,2		
покрыто мореной), площадь области абляции 2,6 км ²								
4200	4480	5500	4900	АФС 1947	3,5	2,7		Рис. 3
4360	4550	5440	4850	АФС 1947	0,8	0,7		
4440	4660	4950	4800	АФС 1947	0,6	0,3		
4420	4460	5050	4850	АФС 1947	0,7	0,6		Рис. 3
4180	4500	5200	4850	АФС 1947	4,0	3,2		Рис. 3
4180	4420	5200	4750	АФС 1947	1,2	0,7		Рис. 3
2,2 км ² покрыто мореной), площадь области абляции 10,8 км ² .								
4280	4280	5150	4850	АФС 1947	0,8	0,7		
4600	4600	4950	4750	АФС 1947	0,1	0,1		
4550	4550	4850	4750	АФС 1947	—	—		
4330	4330	4950	4750	АФС 1947	0,3	0,3		
4470	4470	4750	4600	АФС 1947	0,1	0,1		
18,3								
0,4 км ² .								
(реки Патхур, Гунт)								
Рушанского хребта								
4100	4420	4700	4550	АФС 1947	0,3	—		
4240	4240	4900	4500	АФС 1947	0,1	0,1		
4270	4270	4900	4500	АФС 1947	0,1	0,1		
4400	4420	4800	4600	АФС 1947	0,3	0,2		
4540	4720	4900	4850	АФС 1947	0,1	—		
4700	4700	5250	4950	АФС 1947	0,8	0,8		
4380	4380	5350	4850	АФС 1947	3,8	3,8		
4580	4580	5250	4900	АФС 1947	1,9	1,9		
щадь области абляции 5,7 км ²								
4520	4520	5050	4850	АФС 1947	0,2	0,2		
4600	4600	5100	4950	АФС 1947	0,7	0,7		
4480	4480	5300	4800	АФС 1947	0,4	0,2		
4480	4480	5100	4850	АФС 1947	0,5	0,5		
4820	4820	5350	4950	АФС 1947	—	—		
4540	4540	4900	4700	АФС 1947	0,2	0,2		

№ по схеме	Название	Название реки, вытекающей из ледника	Морфологический тип	Общая экспозиция	Наибольшая длина, км		Площадь, км ²	
					всего ледника	в том числе открытой части	всего ледника	в том числе открытой части
1	2	3	4	5	6	7	8	9
91	№ 91	пр. р. Чапдара	дол.	C3	1,9	1,9	1,3	1,3
92*	№ 92		кар.	ЮЗ	0,8	0,8	1,2	1,2
93	№ 93	пр. р. Чапдара	асимм.	C3	1,2	1,1	0,2	0,2
94	№ 94	пр. р. Чапдара	кар. вис.	C3	0,7	0,7	0,1	0,1
18 ледников							18,2	

Кроме того, в бассейне р. Чалдара имеется 4 ледника размерами менее 0,1 км² каждый, общей площадью 0,2 км².

Итого 22 ледника

Всего в бассейне р. Патхур имеется 53 ледника общей площадью 53,1 км², в том числе 39 ледников размерами 0,1 км² и более каждый, общей площадью 52,5 км² (из них 3,7 км² покрыто мореной) и 14 ледников размерами менее 0,1 км² каждый, общей площадью 0,6 км².

Бассейн р. Шадзуд

Южный склон

95	№ 95	пр. р. Шадзуддара	присклон.	СВ	0,8	0,7	0,4	0,3
96*	№ 96		кар.-дол.	Ю	1,0	1,0	0,1	0,1
97	№ 97	пр. р. Шадзуддара	кар.-дол.	С, В	1,5	1,5	0,4	0,4
98*	№ 98	пр. р. Шадзуддара	кар.	ЮВ	0,8	0,8	0,1	0,1
99	№ 99	пр. р. Шадзуддара	кар.-дол.	С	0,9	0,5	0,1	—
100	№ 100	пр. р. Шадзуддара	кар.-дол.	С	1,3	1,3	0,5	0,5
101	№ 101	пр. р. Шадзуддара	кар.-дол.	С	1,0	1,0	0,2	0,2
102	№ 102	пр. р. Шадзуддара	кар.-дол.	С	0,6	0,6	0,1	0,1
103	№ 103	пр. р. Шадзуддара	кар.-дол.	СВ	1,2	1,2	0,3	0,3
104	№ 104	Шадзуддара	дол., часть сл. дол.	ЮВ	6,0	4,6	4,1	3,4
105	№ 105	Шадзуддара	часть	СВ	3,2	3,2	1,4	1,4
106	№ 106	Шадзуддара	дол., сл. дол.	Ю, В	3,3	3,3	2,1	2,1

Сложный долинный ледник № 104—106 имеет наибольшую длину 6,0 км, общую площадь 7,6 км² (в том числе 0,7 км²

107	№ 107	пр. р. Шадзуддара	дол.	ЮВ	4,5	3,7	2,6	1,8
108*	№ 108	пр. р. Шадзуддара	сл.-дол.	Ю	2,7	2,3	1,8	1,7
109	№ 109	пр. р. Шадзуддара	кар.-дол.	С3, ЮЗ	1,4	1,4	0,3	0,3
110	№ 110	пр. р. Шадзуддара	асимм.	3	1,7	1,7	0,4	0,4
111	№ 111	пр. р. Шадзуддара	присклон.	С3	1,0	1,0	0,2	0,2
112	№ 112	пр. р. Шадзуддара	асимм.	С3	1,6	1,6	0,6	0,6

18 ледников 15,7

Кроме того, в бассейне р. Шадзуддара имеется 5 ледников размерами менее 0,1 км² каждый, общей площадью 0,3 км²

Итого 23 ледника

Бассейн р. Султарс

Южный склон юго-восточного

113*	№ 113	Султарсдара	дол., часть сл. дол.	СВ, ЮВ	3,0	2,6	0,8	0,7
114*	№ 114	Султарсдара	дол., часть сл. дол.	СВ, ЮВ	2,0	2,5	0,3	0,2

Сложный долинный ледник № 113, 114 имеет наибольшую длину 3,0 км, общую площадь 1,1 км² (в том числе 0,2 км² 1,1

Бассейн р. Сафедобдара

Южный склон

115	№ 115	пр. р. Сафедобдара	вис.	С	0,5	0,5	0,1	0,1
116	№ 116	пр. р. Сафедобдара	вис.	С	0,6	0,6	0,1	0,1
117*	№ 117	пр. р. Сафедобдара	дол.	С	1,6	0,8	0,2	0,1
118*	№ 118	пр. р. Сафедобдара	вис.	С	0,5	0,5	0,1	0,1
119*	№ 119	пр. р. Сафедобдара	кар.-дол.	СВ	1,0	0,9	0,3	0,3
120	№ 120	пр. р. Сафедобдара	кар.-дол.	С, В	2,2	1,9	1,2	1,1
			часть сл. дол.					

Высота, м			Фирновая линия		Площадь области аблации, км ²		Объем льда, км ³	Ссылки на последующие таблицы (иллюстрации) № таблиц и иллюстраций порядковые № сведений в таблицах
найменшей точки конца ледника	найменшей точки открытой части ледника	высшей точки ледника	высота, м	способ определения и год	общая	в том числе открытой части		
10	11	12	13	14	15	16	17	18
4450	4450	5200	4700	АФС 1947	0,6	0,6		
4680	4680	4900	4750	АФС 1947	0,1	0,1		
4350	4480	4950	4750	АФС 1947	0,1	0,1		
4460	4460	4750	4700	АФС 1947	—	—		

дара (р. Гунт)

Рушанского хребта

4520	4580	4900	4650	АФС 1947	0,2	0,1		
4760	4760	4920	4800	АФС 1947	—	—		
4280	4280	4850	4600	АФС 1947	0,1	0,1		
4480	4480	4850	4600	АФС 1947	—	—		
4280	4300	4700	4600	АФС 1947	0,1	—		
4320	4320	4750	4550	АФС 1947	0,2	0,2		
4280	4280	4850	4600	АФС 1947	0,1	0,1		
4420	4420	4850	4650	АФС 1947	—	—		
4500	4500	4870	4650	АФС 1947	0,2	0,2		
4460	4540	5400	4750	АФС 1947	2,4	1,7		
4460	4480	5100	4750	АФС 1947	0,8	0,8		
4460	4530	5100	4750	АФС 1947	1,5	1,5		

закрыто мореной), площадь области аблации 4,7 км²

4420	4580	5250	4800	АФС 1947	1,6	0,8		
4530	4580	5000	4800	АФС 1947	0,9	0,8		
4750	4750	5000	4800	АФС 1947	—	—		
4480	4480	5200	4750	АФС 1947	0,1	0,1		
4600	4600	5100	4750	АФС 1947	—	—		
4400	4400	5000	4700	АФС 1947	0,2	0,2		

дара (р. Гунт)

отрога Рушанского хребта

4420	4480	5300	4900	АФС 1947	0,4	0,3		
4420	4520	5000	4850	АФС 1947	0,2	0,1		

закрыто мореной), площадь области аблации 0,6 км²

0,6

(реки Айрансу, Гунт)

Рушанского хребта

4400	4400	4850	4600	АФС 1947	—	—		
4500	4500	4900	4650	АФС 1947	—	—		
4120	4300	4950	4600	АФС 1947	0,2	0,1		
4480	4480	4900	4600	АФС 1947	—	—		
4350	4400	4950	4600	АФС 1947	0,1	0,1		
4420	4480	5200	4800	АФС 1947	0,3	0,2		

№ по схеме	Название	Название реки, вытекающей из ледника	Морфологический тип	Общая экспозиция	Наибольшая длина, км		Площадь, км ²	
					всего ледника	в том числе открытой части	всего ледника	в том числе открытой части
1	2	3	4	5	6	7	8	9
121	№ 121	пр. р. Сафедбара	дол., часть сл. дол.	СВ, В	3,6	2,9	1,1	1,0
Сложный долинный ледник № 120, 121 имеет наибольшую длину 3,6 км, общую площадь 2,3 км ² (в том числе 0,2 км ²)								
122*	№ 122	пр. р. Сафедбара	дол.	СВ, ЮВ	3,9	3,9	1,3	1,3
123*	№ 123	пр. р. Сафедбара	кар.	В	1,1	1,1	0,2	0,2
124*	№ 124	пр. р. Сафедбара	асимм. кар.	С	1,0	0,6	0,2	0,1
125*	№ 125	пр. р. Сафедбара	вис.	С	1,1	1,1	0,6	0,6
126*	№ 126	пр. р. Сафедбара	склон.	С	3,2	3,2	3,5	3,5
127*	№ 127		кар.-дол.	В	2,3	2,3	1,0	1,0
128*	№ 128		асимм. кар.	В	2,0	2,0	0,8	0,8
129*	Сафедоб	Сафедбара	сл. дол., осн. поток	В, ЮВ	12,2	11,4	14,9	14,2
130*	№ 130		дол., часть сл. дол.	СВ, ЮВ	4,4	3,6	1,7	1,7
131	№ 131		дол., часть сл. дол.	СВ, ЮВ	3,0	3,0	0,6	0,6
132	№ 132		дол., часть сл. дол.	В	3,0	2,6	0,9	0,9
133	№ 133		дол., часть сл. дол.	В, ЮВ	4,6	3,1	1,3	0,9
Сложный долинный ледник Сафедоб (№ 129—133) имеет наибольшую длину 12,2 км, общую площадь 19,4 км ² (в								
134*	№ 134		кар.	СВ	0,9	0,7	0,1	0,1
135*	№ 135		кар.	В	0,6	0,6	0,1	0,1
136*	№ 136		сл. дол.	ЮВ	4,3	3,3	4,4	4,2
137*	№ 137		вис.дол.	ЮЗ	1,1	1,1	0,2	0,2
138*	№ 138		дол.	ЮЗ	5,0	5,0	4,0	4,0
139*	№ 139		асимм. дол.	ЮЗ	1,6	1,6	0,4	0,4
140	№ 140	пр. р. Сафедбара	асимм. дол.	Ю, З	0,9	0,6	0,2	0,2
141*	№ 141	пр. р. Сафедбара	дол.	ЮЗ	3,1	3,1	1,1	1,1
142*	№ 142	пр. р. Сафедбара	дол.	СЗ, ЮЗ	4,5	3,4	2,1	1,7
143	№ 143	пр. р. Сафедбара	дол.	В, Ю	3,2	3,2	1,0	1,0
144*	№ 144	пр. р. Сафедбара	дол., часть сл. дол.	ЮВ	4,8	4,0	2,5	2,3
145*	№ 145	пр. р. Сафедбара	дол., часть сл. дол.	ЮВ, Ю	5,6	4,6	2,4	2,3

Сложный долинный ледник № 144, 145 имеет наибольшую длину 5,6 км, общую площадь 4,9 км² (в том числе 0,3 км²)
31 ледник 48,6

Кроме того, в бассейне р. Сафедбара имеется 7 ледников размерами менее 0,1 км² каждый, общей площадью 0,5 км²
Итого 38 ледников 49,1

БАССЕЙН

Бассейны правых нижних притоков р. Южный склон								
146	№ 146	пр. р. Андеравдж	кар.	Ю	0,8	0,8	0,2	0,2
147*	№ 147	пр. р. Андеравдж	кар.	В	1,2	1,2	0,2	0,2
148*	№ 148	пр. р. Андеравдж	дол.	СВ, Ю	2,1	2,1	0,4	0,4
149	№ 149	пр. р. Андеравдж	кар.-дол.	С	1,5	1,1	0,3	0,2

4 ледника

Бассейн р. Уар* (реки Северо-восточный)

150*	№ 150	пр. р. Уар	асимм. дол.	СВ	2,9	2,9	1,4	1,4
151*	№ 151	пр. р. Уар	асимм. дол.	СВ	3,0	3,0	2,0	2,0
152*	№ 152	пр. р. Уар	асимм. дол.	СВ	1,7	1,7	0,2	0,2
153*	№ 153	пр. р. Уар	асимм. дол.	СВ	1,9	1,9	0,8	0,8

Высота, м			Фирновая линия		Площадь области абляции, км ²		Объем льда, км ³	Ссылки на последующие таблицы (иллюстрации)
найменшей точки конца ледника	найменшей точки открытой части ледника	высшей точки ледника	высота, м	способ определения и год	общая	в том числе открытой части		
10	11	12	13	14	15	16	17	18
4420	4500	5450	4900	АФС 1947	0,7	0,6		

закрыто мореной), площадь области абляции 1,0 км²

4600	4600	5400	4900	АФС 1947	0,7	0,7		
4880	4880	5200	4950	АФС 1947	0,1	0,1		
4500	4650	5000	4800	АФС 1947	0,1	—		
4520	4520	5100	4750	АФС 1947	—	—		
4400	4400	5400	4750	АФС 1947	0,7	0,7		
4700	4700	5100	4850	АФС 1947	0,5	0,5		
4680	4680	5150	4850	АФС 1947	0,2	0,2		
4270	4310	5500	4950	АФС 1947	8,1	7,4		рис. 62
4300	4320	5250	4850	АФС 1947	1,0	1,0		
4320	4340	5000	4800	АФС 1947	0,3	0,3		
4320	4350	4950	4850	АФС 1947	0,6	0,6		
4520	4680	5200	4850	АФС 1947	0,8	0,4		

том числе 1,1 км² закрыто мореной), площадь области абляции 10,8 км²

4440	4600	5000	4800	АФС 1947	—	—		
4700	4700	4900	4800	АФС 1947	—	—		
4560	4560	5300	4850	АФС 1947	1,5	1,3		
4780	4780	5100	4850	АФС 1947	—	—		
4540	4540	5150	4850	АФС 1947	1,7	1,7		
4700	4700	5100	4850	АФС 1947	0,1	0,1		
4850	4880	5050	4950	АФС 1947	0,1	—		
4800	4800	5550	5000	АФС 1947	0,8	0,8		
4200	4340	5200	4900	АФС 1947	1,0	0,6		
4620	4620	5400	4950	АФС 1947	0,4	0,4		
4400	4440	5500	4950	АФС 1947	1,0	0,8		
4480	4500	5400	4950	АФС 1947	1,0	0,9		

закрыто мореной), площадь области абляции 2,0 км²

р. АНДЕРАВДЖ

Андеравдж (реки Андеравдж, Гунт)

гор Уар

4880	4890	5100	4950	АФС 1947, 1966	0,1	0,1		
4600	4600	5250	4900	АФС 1947, 1966	0,1	0,1		
4550	4550	5300	4950	АФС 1947, 1966	0,2	0,2		
4500	4560	4950	4800	АФС 1947, 1966	0,2	0,1		

0,6

Андеравдж, Гунт)

склон гор Уар

4660	4700	5300	4900	АФС 1947, 1966	0,6	0,6		
4580	4580	5300	4850	АФС 1947, 1966	0,5	0,5		
4500	4580	5000	4850	АФС 1947, 1966	0,1	0,1		
4600	4600	5300	4800	АФС 1947, 1966	0,2	0,2		

рис. 59

№ по схеме	Название	Название реки, вытекающей из ледника	Морфологический тип	Общая экспозиция	Наибольшая длина, км		Площадь, км ²	
					всего ледника	в том числе открытой части	всего ледника	в том числе открытой части
1	2	3	4	5	6	7	8	9
154*	№ 154	пр. р. Уар	сл. дол.	СВ	2,8	2,8	1,2	1,2
155*	№ 155	пр. р. Уар	дол.	В	2,5	2,5	0,9	0,9
6 ледников								
Бассейн р. Бартанги								
Южный склон								
156	№ 156	пр. р. Бартанги	кар.	СВ	0,8	0,8	0,1	0,1
157	№ 157	пр. р. Бартанги	кар.	СВ	0,8	0,8	0,2	0,2
158*	№ 158	пр. р. Бартанги	кар.	В	1,2	1,2	0,2	0,2
159*	№ 159	пр. р. Бартанги	дол.	СВ	2,4	2,4	1,1	1,1
160*	№ 160	пр. р. Бартанги	асимм. дол.	СВ	3,0	3,0	1,0	1,0
161*	№ 161	пр. р. Бартанги	присклон.	С	2,3	2,3	1,3	1,3
162*	Уар	Бартанги	сл. дол.	В	9,2	8,9	18,4	18,2
163*	№ 163		дол.	ЮВ, Ю	1,4	1,4	0,3	0,3
164*	№ 164	пр. р. Бартанги	асимм. кар.	СВ	1,2	1,2	0,4	0,4
165*	№ 165	пр. р. Бартанги	асимм. дол.	СВ	2,7	2,7	1,6	1,6
166	№ 166	пр. р. Бартанги	кар.	С	0,8	0,8	0,1	0,1
167*	№ 167	пр. р. Бартанги	асимм. дол.	СВ	3,6	3,5	3,0	2,9
168*	№ 168	пр. р. Бартанги	дол.	СВ	4,1	3,9	2,2	2,2
169*	№ 169		кар.-дол.	В	1,5	1,5	0,4	0,4
170*	№ 170	пр. р. Бартанги	дол.	ЮВ	1,4	1,4	0,4	0,4
171*	№ 171	пр. р. Бартанги	склон.	СВ	1,4	1,4	0,4	0,3
172*	№ 172	пр. р. Бартанги	кар.-вис.	СЗ	0,6	0,6	0,1	0,1
173*	№ 173	пр. р. Бартанги	склон.	З	0,5	0,5	0,1	0,1
174*	№ 174	пр. р. Бартанги	кар.-дол.	З	1,1	1,1	0,4	0,4
175*	№ 175	пр. р. Бартанги	кар.	СВ	0,6	0,6	0,1	0,1
176*	№ 176	пр. р. Бартанги	кар.	В	0,6	0,6	0,1	0,1
177*	№ 177	пр. р. Бартанги	асимм. дол.	СВ	2,5	2,5	1,6	1,6
178*	№ 178	пр. р. Бартанги	асимм. дол.	СВ	2,9	2,7	1,7	1,7
179*	№ 179	пр. р. Бартанги	склон.	ЮВ	0,4	0,4	0,1	0,1
180*	№ 180	пр. р. Бартанги	кар.	В	1,0	0,9	0,2	0,2
181*	№ 181	пр. р. Каук	склон.	СЗ	0,6	0,6	0,1	0,1
182*	№ 182	пр. р. Каук	кар.-дол.	ЮЗ	0,8	0,8	0,1	0,1
183*	№ 183	пр. р. Каук	склон.	ЮЗ	0,6	0,6	0,1	0,1
184*	№ 184	пр. р. Каук	кар.	СЗ	0,6	0,6	0,1	0,1
185*	№ 185	Каук	дол.	С	1,3	1,3	0,3	0,3

30 ледников

Кроме того, в бассейне р. Бартанги имеется 13 ледников размерами менее 0,1 км² каждый, общей площадью 0,9 км²

Итого 43 ледника

36,2

37,1

Всего в бассейне р. Андеравдж имеется 53 ледника общей площадью 44,7 км², в том числе 40 ледников размерами 0,1 км² каждый, общей площадью 0,9 км².

Всего в бассейнах правых средних притоков р. Гунта имеется 169 ледников общей площадью 164,0 км², в том числе 130 размерами менее 0,1 км² каждый, общей площадью 2,3 км².

ПРАВЫЕ ВЕРХНИЕ

Бассейн р. Лян
Южный склон

№	№	пр. р. Лянгар	склон.	СВ	0,6	0,6	0,2	0,2
186	№ 186	пр. р. Лянгар	вис.	СВ	0,7	0,7	0,2	0,2
187*	№ 187	пр. р. Лянгар	дол.	СВ	1,1	1,1	0,2	0,2
188*	№ 188	пр. р. Лянгар	кар.	СВ	1,0	1,0	0,4	0,4
189	№ 189	пр. р. Лянгар	кар.	СВ	1,1	1,1	0,4	0,4
190	№ 190	пр. р. Лянгар	кар.	СВ	0,8	0,8	0,2	0,2
191	№ 191	пр. р. Лянгар	склон.	В	1,5	1,5	0,4	0,4
192	№ 192	пр. р. Лянгар	склон.	СВ	1,5	1,5	0,4	0,4
193	№ 193	пр. р. Лянгар	склон.	СВ	1,5	1,5	0,9	0,9
194	№ 194	пр. р. Чапдара	склон.	СВ	0,8	0,8	0,1	0,1
195	№ 195	пр. р. Чапдара	сл. дол.	СВ	2,6	2,4	1,3	1,3
196*	№ 196		кар.-дол.	СВ	1,0	1,0	0,2	0,2
197	№ 197	пр. р. Чапдара	дол.	СВ	3,0	2,5	2,2	1,9
198	№ 198	пр. р. Чапдара	кар.-дол.	СВ	1,2	1,2	0,3	0,3
199*	№ 199	пр. р. Мал. Чапдара	склон.	С	1,1	1,1	0,9	0,9
200	№ 200	пр. р. Мал. Чапдара	склон.	С	0,8	0,8	1,4	1,4

Высота, м			Фирновая линия		Площадь области аблации, км ²		Объем льда, км ³	Ссылки на последующие таблицы и иллюстрации № таблиц и иллюстраций порядковые № сведений в таблицах
нижней точки конца ледника	нижней точки открытой части ледника	высшей точки ледника	высота, м	способ определения и год	общая	в том числе открытой части		
10	11	12	13	14	15	16	17	18
4380	4380	5250	4900	АФС 1947, 1966	0,6	0,6		
4540	4540	5400	4950	АФС 1947, 1966	0,6	0,6		
					2,6			
(реки Андеравдж, Гунт)								
Рушанского хребта								
4600	4600	4950	4800	АФС 1947, 1966	—	—		
4820	4820	5100	4900	АФС 1947, 1966	—	—		
4880	4880	5280	4900	АФС 1947, 1966	—	—		
4550	4550	5280	4800	АФС 1947, 1966	0,4	0,4		
4600	4600	5250	4900	АФС 1947, 1966	0,2	0,2		
4580	4580	5350	4950	АФС 1947, 1966	0,5	0,5		
4620	4640	5500	4900	АФС 1947, 1966	9,6	9,4		
4800	4800	5400	4980	АФС 1947, 1966	0,2	0,2		
4680	4680	5100	4900	АФС 1947, 1966	0,2	0,2		
4720	4720	5200	4900	АФС 1947, 1966	0,7	0,7		
4580	4580	4900	4750	АФС 1947, 1966	—	—		
4580	4600	5400	4800	АФС 1947, 1966	1,1	0,1		
4580	4600	5450	4850	АФС 1947, 1966	1,4	1,4		
4780	4780	5200	4900	АФС 1947	0,1	0,1		
4700	4700	5200	4900	АФС 1947	0,1	0,1		
4750	4750	4950	4850	АФС 1947	0,1	0,1		
4850	4850	5200						
5000	5000	5150						
4800	4800	5250						
4700	4700	4950						
4900	4900	5150						
4600	4600	5450						
4520	4580	5400						
4680	4680	4950						
4680	4700	5100						
4880	4880	5200						
4960	4960	5100						
5000	5000	5150						
4880	4880	5100						
4780	4780	5200						

км² и более каждый, общей площадью 43,8 км² (из них 0,4 км² покрыто мореной) и 13 ледников размерами менее 0,1 км² ка-
ледников размерами 0,1 км² и более каждый, общей площадью 161,7 км² (из них 8,3 км² покрыто мореной) и 39 ледников

ПРИТОКИ р. ГУНТА

Гар (р. Гунт)

Рушанского хребта

4620	4620	4820	4700	АФС 1947, 1966	—	—		
4540	4540	4900	4700	АФС 1947, 1966	0,1	0,1		
4500	4500	4950	4700	АФС 1947, 1966	0,1	0,1		
4640	4640	5000	4800	АФС 1947, 1966	0,3	0,3		
4620	4620	4950	4750	АФС 1947, 1966	0,2	0,2		
4750	4750	5150	4900	АФС 1947, 1966	0,1	0,1		
4620	4620	4850	4800	АФС 1947, 1966	0,3	0,3		
4640	4640	5200	4850	АФС 1947, 1966	0,3	0,3		
4620	4620	4950	4850	АФС 1947, 1966	0,3	0,3		
4450	4470	5100	4800	АФС 1947, 1966	—	—		
4750	4750	5100	4800	АФС 1947, 1966	0,6	0,6		
4480	4550	5400	4800	АФС 1947, 1966	0,1	0,1		
4650	4650	4950	4800	АФС 1947, 1966	1,0	0,7		
4680	4680	5300	4900	АФС 1947, 1966	0,1	0,1		
4680	4680	5200	4900	АФС 1947, 1966	0,4	0,4		

рис. 14

№ по схеме	Название	Название реки, вытекающей из ледника	Морфологический тип	Общая экспозиция	Наибольшая длина, км		Площадь, км ²	
					всего ледника	в том числе открытой части	всего ледника	в том числе открытой части
1	2	3	4	5	6	7	8	9
201*	№ 201	Мал. Чапдара	склон.	C	0,8	0,8	0,3	0,3
202*	№ 202	пр. р. Лянгар	склон.	CB	0,9	0,9	0,1	0,1
203*	№ 203	пр. р. Лянгар	склон.	CB	1,1	1,1	0,2	0,2
204	№ 204		кар.	CB	1,6	1,6	0,7	0,7
205	№ 205	пр. р. Лянгар	асимм. дол.	3	1,0	0,7	0,2	0,2
206*	№ 206	пр. р. Лянгар	склон.	C	0,4	0,4	0,1	0,1
207	№ 207	пр. р. Лянгар	склон.	C	0,5	0,5	0,1	0,1
208	№ 208	пр. р. Лянгар	склон.	C	0,7	0,7	0,3	0,3
23 ледника							11,3	

Кроме того, в бассейне р. Лянгар имеется 14 ледников размерами менее 0,1 км² каждый, общей площадью 1,0 км²
Итого 37 ледников 12,3

Бассейн р. Мал. Марджанай Восточный склон гор Марджанай, южный								
209	№ 209	пр. р. Мал. Марджанай	склон.	C	0,8	0,8	0,2	0,2
210*	№ 210	пр. р. Мал. Марджанай	склон.	CB	1,0	1,0	0,2	0,2
211*	№ 211	пр. р. Мал. Марджанай	склон.	CB	0,8	0,8	0,2	0,2
212*	№ 212	пр. р. Мал. Марджанай	склон.	CB	0,5	0,5	0,1	0,1
213	№ 213	пр. р. Карадара	склон.	C	0,6	0,6	0,1	0,1
214	№ 214	пр. р. Карадара	склон.	C	0,7	0,7	0,2	0,2
215*	№ 215	пр. р. Карадара	склон.	C	0,8	0,8	0,1	0,1
216*	№ 216	пр. р. Карадара	кар.-дол.	CB	1,6	1,6	0,6	0,6
217*	№ 217	Карадара	сл. дол.	B, ЮВ	3,1	3,1	2,2	2,2
218	№ 218	пр. р. Карадара	кар.	3	0,6	0,6	0,1	0,1
219	№ 219	пр. р. Мал. Марджанай	кар.	C	0,7	0,7	0,2	0,2
220	№ 220	пр. р. Мал. Марджанай	кар.	CB	0,8	0,8	0,1	0,1
221*	№ 221	пр. р. Мал. Марджанай	кар.-дол.	CB	1,8	1,8	0,8	0,8
222*	№ 222		кар.	CB	1,7	1,7	0,6	0,6
14 ледников							5,7	

Кроме того, в бассейне р. Мал. Марджанай имеется 5 ледников размерами менее 0,1 км² каждый, общей площадью 6,0
Итого 19 ледников

Бассейн р. Карадемур*								
							Южный склон Северо-	
223	№ 223	пр. р. Кокбелес	кар.-дол.	CB, ЮВ	1,5	1,5	0,4	0,4
224	№ 224	пр. р. Кокбелес	кар.	CB	1,2	1,2	0,3	0,3
225*	№ 225	пр. р. Зурцерцек	дол.	CB	1,6	1,6	0,3	0,3
226*	№ 226	пр. р. Зурцерцек	дол., часть сл. дол.	CB, ЮВ	1,8	1,8	0,5	0,5
227*	№ 227	пр. р. Зурцерцек	дол., часть сл. дол.	CB, ЮВ	2,7	1,9	0,8	0,7
228*	№ 228	пр. р. Зурцерцек	дол., часть сл. дол.	B, ЮВ	3,4	2,6	1,0	0,9

Сложный долинный ледник № 226—228 имеет наибольшую длину 3,4 км, общую площадь 2,3 км² (в том числе 0,2 км²)

229	№ 229	пр. р. Зурцерцек	дол.	ЮВ	2,5	2,5	0,7	0,7
230	№ 230	пр. р. Зурцерцек	склон.	C	0,6	0,6	0,6	0,6
231	№ 231	пр. р. Зурцерцек	склон.	CB	0,7	0,7	0,2	0,2
232	№ 232	пр. р. Зурцерцек	склон.	C	0,3	0,3	0,1	0,1
10 ледников							4,9	

Кроме того, в бассейне р. Карадемур имеется 5 ледников размерами менее 0,1 км² каждый, общей площадью 0,3 км²
Итого 15 ледников 5,2

Высота, м			Фирновая линия		Площадь области аблации, км ²		Ссылки на последующие таблицы (илюстрации)	№ таблиц и иллюстраций
низшей точки конца ледника	низшей точки открытой части ледника	высшей точки ледника	высота, м	способ определения и год	общая	в том числе открытой части		
10	11	12	13	14	15	16	17	18
4700	4700	5100	4900	АФС 1947, 1966	0,2	0,2		
4700	4700	5150	4950	АФС 1947, 1966	—	—		
4650	4650	5200	4900	АФС 1947, 1966	0,1	0,1		
4700	4700	5200	4950	АФС 1947, 1966	0,3	0,3		
4550	4600	4800	4650	АФС 1947, 1966	0,1	0,1		
4720	4720	4900	4850	АФС 1947, 1966	—	—		
4850	4850	5100	4950	АФС 1947, 1966	—	—		
4700	4700	5050	4900	АФС 1947, 1966	0,2	0,2		
					5,5			

(оз. Яшилькуль, р. Гунт)

склон Северо-Аличурского хребта*

4620	4620	4950	4800	АФС 1947, 1966	0,1	0,1		
4580	4580	5150	4850	АФС 1947, 1966	0,1	0,1		
4740	4740	5100	4900	АФС 1947, 1966	—	—		
4840	4840	5050	4950	АФС 1947, 1966	—	—		
4780	4780	5000	4900	АФС 1947, 1966	—	—		
4780	4780	5100	4950	АФС 1947, 1966	0,1	0,1		
4720	4720	5300	5000	АФС 1947, 1966	—	—		
4760	4780	5350	5050	АФС 1947, 1966	0,3	0,3		
4700	4700	5500	5100	АФС 1947, 1966	1,0	1,0		
4900	4900	5100	5000	АФС 1947, 1966	—	—		
4680	4680	4950	4850	АФС 1947, 1966	0,1	0,1		
4720	4720	4950	4850	АФС 1947, 1966	—	—		
4740	4740	5250	5000	АФС 1947, 1966	0,6	0,6		
4840	4840	5250	5050	АФС 1947, 1966	0,4	0,4		
					2,7			

0,3 км²

(оз. Яшилькуль, р. Гунт)

Аличурского хребта

4940	4940	5150	5000	АФС 1947, 1966	0,1	0,1		
4960	4960	5250	5000	АФС 1947, 1966	0,1	0,1		
4650	4650	5150	4950	АФС 1947, 1966	0,1	0,1		
4700	4700	5180	4950	АФС 1947, 1966	0,2	0,2		
4680	4760	5250	4900	АФС 1947, 1966	0,2	0,1		
4680	4800	5400	4950	АФС 1947, 1966	0,2	0,1		

закрыто мореной), площадь области аблации 0,6 км²

4840	4840	5650	4950	АФС 1947, 1966	0,6	0,6		
4800	4800	5100	4900	АФС 1947, 1966	0,2	0,2		
4800	4800	5000	4900	АФС 1947, 1966	0,1	0,1		
4720	4720	4950	4850	АФС 1947, 1966	—	—		
					1,8			

№ по схеме	Название	Название реки, вытекающей из ледника	Морфологический тип	Общая экспозиция	Наибольшая длина, км		Площадь, км ²	
					всего ледника	в том числе открытой части	всего ледника	в том числе открытой части
1	2	3	4	5	6	7	8	9

Бассейн р. Бахналджилга

Южный склон Северо-

233	№ 233	пр. р. Ашуджилга	склон.	C	0,7	0,7	0,1	0,1
234	№ 234	Ашуджилга	склон.	CB	1,1	1,1	0,8	0,8
235	№ 235	пр. р. Бахналджилга	склон.	CB	0,7	0,7	0,3	0,3
236	№ 236	пр. р. Сереташ	склон.	C	0,7	0,7	0,2	0,2
237	№ 237	пр. р. Сереташ	дол.	C	1,7	1,7	0,8	0,8
238	№ 238	пр. р. Сереташ	кар.-дол.	C	1,7	1,7	0,9	0,9
239	№ 239	пр. р. Сереташ	склон.	C	0,7	0,7	0,2	0,2
240	№ 240	пр. р. Сереташ	склон.	C	0,9	0,9	0,2	0,2
241	№ 241	пр. р. Сереташ	кар.-дол.	Ю	1,0	1,0	0,2	0,2
242	№ 242	пр. р. Чулактекеашу	кар.-дол.	B	1,0	1,0	0,3	0,3
243	№ 243	пр. р. Чулактекеашу	дол.	B	1,2	1,2	0,4	0,4
244	№ 244	пр. р. Чулактекеашу	дол.	CB	2,2	2,2	0,7	0,7
245	№ 245	пр. р. Чулактекеашу	склон.	C3	1,5	1,5	0,7	0,7

13 ледников

5,8

Кроме того, в бассейне р. Бахналджилга имеется 3 ледника размерами менее 0,1 км² каждый, общей площадью 0,2 км²

Итого 16 ледников

6,0

Бассейн р. Чулактеке

Южный склон Северо-

246	№ 246	пр. р. Чулактеке	склон.	C	0,9	0,9	0,2	0,2
247	№ 247	пр. р. Чулактеке	склон.	C	0,7	0,7	0,2	0,2
248	№ 248	пр. р. Чулактеке	дол.	C	2,2	2,2	0,8	0,8
249	№ 249	пр. р. Чулактекеашу	склон.	C	0,6	0,6	0,1	0,1
250	№ 250	Чулактекеашу	склон.	C	0,7	0,7	0,3	0,3
251	№ 251	Чулактекеашу	дол.	ЮЗ	1,4	1,4	0,3	0,3
252*	№ 252	пр. р. Чулактекеашу	дол.	C3	1,3	1,3	0,4	0,4

7 ледниковых

2,3

Кроме того, в бассейнах р. Чулактеке имеется 2 ледника размерами менее 0,1 км² каждый, общей площадью 0,1 км²

Итого 9 ледников

2,4

Бассейны правых притоков р. Аличур выше устья

Южные склоны Северо-

253*	№ 253	пр. р. Кулаккесте	дол.	CB	1,0	1,0	0,1	0,1
254	№ 254	пр. р. Акджилга	кар.	3	0,7	0,7	0,1	0,1
255	№ 255	пр. р. Базардары	склон.	C	0,5	0,5	0,1	0,1

3 ледника

0,3

Кроме того, в бассейнах правых притоков р. Аличур выше устья р. Чулактеке имеется 11 ледников размерами менее

Итого 14 ледников

1,2

Всего в бассейнах правых верхних притоков р. Гунта имеется 110 ледников общей площадью 33,1 км², в том числе 70 ледников размерами менее 0,1 км² каждый, общей площадью 2,8 км²

ЛЕВЫЕ ВЕРХНИЕ

БАССЕЙН

Бассейн р. Ирису (реки
Северный склон Южно-

256	№ 256	пр. р. Ирису	склон.	C	0,7	0,7	0,3	0,3
257	№ 257	пр. р. Ирису	склон.	C	0,9	0,9	0,3	0,3
258	№ 258	Ирису	склон.	CB	1,4	1,4	0,4	0,4
259	№ 259	пр. р. Кульджилга	кар.-дол.	C	1,3	1,3	0,3	0,3
260	№ 260	пр. р. Кульджилга	склон.	C3	0,7	0,7	0,1	0,1
261	№ 261	Кульджилга	кар.-дол.	C	1,7	1,6	0,7	0,6
262	№ 262	пр. р. Кульджилга	склон.	C	0,8	0,8	0,1	0,1

7 ледников

2,2

Кроме того, в бассейне р. Ирису имеется 2 ледника размерами менее 0,1 км² каждый, общей площадью 0,1 км²

Итого 9 ледников

2,3

Высота, м			Фирновая линия		Площадь области аблации, км ²		Объем льда, км ³	Ссылки на последующие таблицы (иллюстрации) № таблиц и иллюстраций порядковые № сведений в таблицах
низшей точки конца ледника	низшей точки открытой части ледника	высший точки ледника	высота, м	способ определения и год	общая	в том числе открытой части		
10	11	12	13	14	15	16	17	18

(реки Аличур, Гунт)

Аличурского хребта

4900	4900	5100	5000	АФС 1947, 1966	—	—		
4900	4900	5200	5050	АФС 1947, 1966	0,1	0,1		
4900	4900	5250	5050	АФС 1947, 1966	0,1	0,1		
4900	4900	5200	5050	АФС 1947	—	—		
4800	4800	5250	5050	АФС 1947	0,2	0,2		
4700	4700	5150	4900	АФС 1947	0,2	0,2		
4750	4750	5050	4950	АФС 1947	0,1	0,1		
4930	4930	5150	5050	АФС 1947	0,1	0,1		
4980	4980	5400	5150	АФС 1947	0,1	0,1		
4800	4800	5400	5100	АФС 1947	0,2	0,2		
4840	4840	5250	5000	АФС 1947	0,1	0,1		
4900	4900	5400	5100	АФС 1947	0,4	0,4		
4740	4740	5250	5000	АФС 1947	0,4	0,4		

2,0

(реки Аличур, Гунт)

Аличурского хребта

4700	4700	5050	4900	АФС 1947	0,1	0,1		
4800	4800	5100	4950	АФС 1947	—	—		
4760	4760	5300	5000	АФС 1947	0,3	0,3		
4780	4780	5200	5000	АФС 1947	—	—		
4820	4820	5250	5050	АФС 1947	0,1	0,1		
5000	5000	5350	5150	АФС 1947	0,1	0,1		
4900	4900	5400	5000	АФС 1947	0,2	0,2		

0,8

р. Чулактеке (реки Аличур, Гунт)

Аличурского хребта

4940	4940	5400	5100	АФС 1947	—	—		
5100	5100	5300	5100	АФС 1947	—	—		
4800	4800	4900	4850	АФС 1947	—	—		

0,1 км² каждый, общей площадью 0,9 км²ников размерами 0,1 км² и более каждый, общей площадью 30,3 км² (из них 0,5 км² покрыто мореной) и 40 ледников

ПРИТОКИ р. ГУНТ

р. ГУРУМДЫ*

Гурумды, Аличур, Гунт)

Аличурского хребта

4940	4940	5160	5050	АФС 1947	0,1	0,1		
5150	5150	5400	5100	АФС 1947	0,2	0,2		
4950	4950	5300	5100	АФС 1947	0,2	0,2		
4880	4880	5350	5100	АФС 1947	0,2	0,2		
4850	4850	5300	5100	АФС 1947	—	—		
4870	4880	5350	5100	АФС 1947	0,5	0,4		
5070	5070	5350	5150	АФС 1947	—	—		

1,2

№ по схеме	Название	Название реки, вытекающей из ледника	Морфологический тип	Общая экспозиция	Наибольшая длина, км		Площадь, км ²	
					всего ледника	в том числе открытой части	всего ледника	в том числе открытой части
1	2	3	4	5	6	7	8	9

Бассейн верховьев р. Гурумы

Северный склон Южно-

263	№ 263	пр. р. Гурумы	дол.	C	1,0	1,0	0,2	0,2
264	№ 264	пр. р. Гурумы	кар.-дол.	C3	1,3	1,3	0,5	0,5
265	№ 265	Гурумдч	кар.-дол.	C	1,9	1,9	1,1	1,1
266*	№ 266	Гурумы	склон.	C	1,1	0,8	0,8	0,7
267	№ 267	пр. р. Гурумы	кар.	CB	0,7	0,7	0,2	0,2
268	№ 268	пр. р. Гурумы	склон.	CB	0,8	0,8	0,2	0,2

6 ледников

Кроме того, в бассейне верховьев р. Гурумы имеется 2 ледника размерами менее 0,1 км² каждый, общей площадью 3,0

Итого 8 ледников

Бассейн р. Канчибер (реки

Северный склон Южно-

269	№ 269	пр. р. Канчибер	кар.-дол.	C	0,9	0,9	0,3	0,3
270	№ 270	пр. р. Канчибер	кар.	C	0,5	0,5	0,1	0,1
271*	№ 271	пр. р. Канчибер	кар.	C	0,8	0,8	0,2	0,2
272*	№ 272	пр. р. Канчибер	склон.	C	0,7	0,7	0,1	0,1
273*	№ 273	пр. р. Канчибер	склон.	C	0,6	0,6	0,1	0,1
274*	№ 274	пр. р. Канчибер	склон.	C	0,7	0,7	0,2	0,2
275*	№ 275	пр. р. Канчибер	дол.	C	1,3	1,3	0,7	0,7
276*	№ 276	пр. р. Канчибер	кар.	C	0,3	0,3	0,1	0,1
277	№ 277	пр. р. Канчибер	кар.	C	0,6	0,6	0,1	0,1
278	№ 278	пр. р. Канчибер	склон.	C	0,4	0,4	0,1	0,1
279	№ 279	Белайрык	дол.	C3	0,9	0,9	0,2	0,2
280	№ 280	Белайрык	склон.	C	0,8	0,8	0,3	0,3
281	№ 281	пр. р. Белайрык	кар.	C	0,5	0,5	0,1	0,1
282	№ 282	пр. р. Белайрык	склон.	C	0,8	0,8	0,2	0,2

14 ледников

Кроме того, в бассейне р. Канчибер имеется 6 ледников размерами менее 0,1 км² каждый, общей площадью 0,4 км²

Итого 20 ледников

Бассейн р. Ортоучкол (реки

Северный склон Южно-

283	№ 283	пр. р. Ортоучкол	склон.	C	0,5	0,5	0,3	0,3
284	№ 284	Ортоучкол	склон.	C	1,4	1,4	0,6	0,6
285	№ 285	Ортоучкол	склон.	C	1,2	1,2	0,5	0,5
286	№ 286	пр. р. Ортоучкол	склон.	C	0,7	0,7	0,3	0,3
287	№ 287	пр. р. Ортоучкол	склон.	CB	0,5	0,5	0,1	0,1
288	№ 288	Сырт	склон.	C	1,2	1,2	0,6	0,6

6 ледников

Кроме того, в бассейне р. Ортоучкол имеется 3 ледника размерами менее 0,1 км² каждый, общей площадью 0,2 км²

Итого 10 ледников

Бассейн р. Колучкол (реки

Северный склон Южно-

289	№ 289	пр. р. Кылычсурды	склон.	C3	0,6	0,6	0,3	0,3
290*	№ 290	Кылычсурды	дол.	C3	1,0	1,0	0,4	0,4
291	№ 291	Кылычсурды	кар.	C	0,7	0,7	0,2	0,2
292	№ 292	пр. р. Кылычсурды	склон.	CB	0,3	0,3	0,1	0,1
293	№ 293	пр. р. Колучкол	кар.	C	0,7	0,7	0,2	0,2
294	№ 294	пр. р. Колучкол	склон.	C	0,6	0,6	0,1	0,1
295	№ 295	пр. р. Колучкол	склон.	C3	1,2	1,2	0,6	0,6
296*	№ 296	пр. р. Колучкол	склон.	C	1,6	1,6	1,2	1,2
297*	№ 297		вис.	CB	0,9	0,9	0,3	0,3
298	№ 298	пр. р. Колучкол	дол.	C	0,7	0,7	0,3	0,3
299	№ 299	пр. р. Колучкол	склон.	C	0,4	0,4	0,2	0,2
300	№ 300	пр. р. Колучкол	кар.	C	0,7	0,7	0,1	0,1
301*	№ 301	пр. р. Колучкол	склон.	CB	0,6	0,6	0,1	0,1
302	№ 302	пр. р. Колучкол	кар.	CB	0,4	0,4	0,1	0,1
303	№ 303	пр. р. Чонкарад-жилга	кар.	CB	0,8	0,8	0,2	0,2
304	№ 304	пр. р. Чонкарад-жилга	кар.	C	0,6	0,6	0,1	0,1

Высота, м			Фирновая линия		Площадь области аблации, км ²		Объем льда, км ³	Ссылки на последующие таблицы (илюстрации) № таблиц и иллюстраций порядковые № сведений в таблицах
нижней точки конца ледника	нижней точки открытой части ледника	высшей точки ледника	высота, м	способ определения и год	общая	в том числе открытой части		
10	11	12	13	14	15	16	17	18

(реки Гурумды, Аличур, Гунт)

Аличурского хребта

4920	4920	5350	5150	АФС 1947	0,1	0,1		
4960	4960	5450	5150	АФС 1947	0,1	0,1		
4680	4680	5480	5100	АФС 1947	0,5	0,5		
4800	4820	5180	5000	АФС 1947	0,4	0,3		
5000	5000	5280	5050	АФС 1947	0,1	0,1		
4880	4880	5250	5000	АФС 1947	0,1	0,1		

0,1 км²**Гурумды, Аличур, Гунт)**

Аличурского хребта

4900	4900	5200	5000	АФС 1947	0,1	0,1		
5000	5000	5200	5050	АФС 1947	—	—		
4900	4900	5200	4950	АФС 1947	—	—		
4820	4820	5100	4950	АФС 1947	—	—		
4860	4860	5150	4950	АФС 1947	—	—		
4760	4760	5050	4900	АФС 1947	0,1	0,1		
4760	4760	5150	5000	АФС 1947	0,3	0,3		
5000	5000	5080	5050	АФС 1947	—	—		
4840	4840	5040	4950	АФС 1947	—	—		
5020	5020	5250	5050	АФС 1947	—	—		
4800	4800	5140	4900	АФС 1947	0,1	0,1		
4780	4780	5120	4950	АФС 1947	—	—		
4800	4800	5100	4900	АФС 1947	—	—		
4930	4930	5250	4950	АФС 1947	—	—		

Гурумды, Аличур, Гунт)

Аличурского хребта

4750	4750	5070	5000	АФС 1947	0,1	0,1		
4800	4800	5250	5000	АФС 1947	0,1	0,1		
4840	4840	5250	5000	АФС 1947	0,2	0,2		
4800	4800	5200	4950	АФС 1947	0,1	0,1		
5000	5000	5200	5050	АФС 1947	—	—		
4880	4880	5400	5000	АФС 1947	0,1	0,1		

0,6

Гурумды, Аличур, Гунт)

Аличурского хребта

4950	4950	5280	5100	АФС 1947	0,2	0,2		
4880	4880	5300	5050	АФС 1947	0,2	0,2		
4760	4760	5100	4950	АФС 1947	0,1	0,1		
4950	4950	5100	5000	АФС 1947	—	—		
4880	4880	5250	5000	АФС 1947	—	—		
4940	4940	5200	5000	АФС 1947	—	—		
4880	4880	5350	5000	АФС 1947	0,1	0,1		
4680	4680	5400	5050	АФС 1947	0,2	0,2		
5050	5050	5350	—	АФС 1947	—	—		
4850	4850	5250	5000	АФС 1947	0,1	0,1		
4800	4800	5200	5000	АФС 1947	0,1	0,1		
4920	4920	5150	5000	АФС 1947	—	—		
5000	5000	5100	—	АФС 1947	—	—		
4750	4750	5000	4950	АФС 1947	—	—		
4860	4860	5150	4950	АФС 1947	0,1	0,1		
4950	4950	5200	5000	АФС 1947	—	—		

№ по схеме	Название	Название реки, вытекающей из ледника	Морфологический тип	Общая экспозиция	Наибольшая длина, км		Площадь, км ²	
					всего ледника	в том числе открытой части	всего ледника	в том числе открытой части
1	2	3	4	5	6	7	8	9
305	№ 305	пр. р. Чонкараджилга	кар.	C	0,5	0,5	0,1	0,1
306	№ 306	пр. р. Чонкараджилга	кар.	B	0,7	0,7	0,1	0,1
307	№ 307	пр. р. Колучкол	склон.	CB	0,4	0,4	0,2	0,2
308*	№ 308	пр. р. Колучкол	вис.	CB	0,5	0,5	0,1	0,1
309*	№ 309	пр. р. Колучкол	кар.-дол.	CB	0,6	0,6	0,2	0,2
310	№ 310	пр. р. Чокман	склон.	C	1,0	1,0	0,4	0,4
311	№ 311	Чокман	склон.	CB	1,1	1,1	0,4	0,4
312	№ 312	Караджилга	склон.	C	0,5	0,5	0,2	0,2

24 ледника

Кроме того, в бассейне р. Колучкол имеется 21 ледник размерами менее 0,1 км² каждый, общей площадью 1,8 км²

Итого 45 ледников

Всего в бассейне р. Гурумды имеется 91 ледник общей площадью 19,2 км², в том числе 57 ледников размерами 0,1 км² и каждый, общей площадью 2,6 км²

Бассейн р. Башгумбез

Северный склон Южно-

313	№ 313	пр. р. Башгумбез	склон.	CB	0,4	0,4	0,1	0,1
314	№ 314	пр. р. Башгумбез	кар.-дол.	C3	0,8	0,8	0,2	0,2
315	№ 315	пр. р. Башгумбез	склон.	C	0,8	0,8	0,5	0,5
316*	№ 316	пр. р. Башгумбез	кар.	C3	1,4	1,4	0,3	0,3
317*	№ 317	пр. р. Башгумбез	склон.	C	0,8	0,8	0,4	0,4
318	№ 318	пр. р. Башгумбез	кар.	C3	0,8	0,8	0,2	0,2
319	№ 319	пр. р. Башгумбез	склон.	C	0,7	0,7	0,2	0,2
320	№ 320	пр. р. Башгумбез	склон.	B	1,0	1,0	0,3	0,3
321	№ 321	пр. р. Башгумбез	кар.-дол.	CB	0,8	0,8	0,2	0,2
322	№ 322	пр. р. Кульайрык	склон.	C	0,7	0,7	0,5	0,5
323	№ 323	пр. р. Кульайрык	склон.	CB	0,7	0,7	0,6	0,6
324	№ 324	Кульайрык	кар.-дол.	CB	1,0	1,0	0,6	0,6
325	№ 325	пр. р. Башгумбез	склон.	CB	1,0	1,0	0,4	0,4
326	№ 326	пр. р. Тюльпар	кар.-дол.	C	0,6	0,6	0,1	0,1
327	№ 327	пр. р. Тюльпар	вис.	C	0,6	0,6	0,2	0,2
328	№ 328	пр. р. Тюльпар	склон.	CB	1,2	1,2	0,5	0,5
329	№ 329	пр. р. Тюльпар	склон.	B	0,8	0,8	0,2	0,2
330	№ 330	пр. р. Тюльпар	кар.-дол.	CB	1,2	1,2	0,3	0,3
331	№ 331	пр. р. Тюльпар	вис.	C	0,6	0,6	0,1	0,1
332	№ 332	пр. р. Тюльпар	вис.	C	0,5	0,5	0,1	0,1
333	№ 333	пр. р. Тюльпар	кар.-дол.	C	1,0	1,0	0,4	0,4
334	№ 334	пр. р. Тюльпар	склон.	B	0,9	0,9	0,3	0,3
335	№ 335	Кошташ	склон.	C	0,5	0,5	0,2	0,2
336	№ 336	Глычсуурды	кар.-дол.	C	1,0	1,0	0,3	0,3

24 ледника

Кроме того, в бассейне р. Башгумбез имеется 13 ледников размерами менее 0,1 км² каждый, общей площадью 0,9 км²

Итого 37 ледников

Бассейны левых притоков р. Аличур между устьями рек

Северный склон отрога Южно-

337	№ 337	Кулькорумды	асимм. дол.	CB	1,4	1,4	0,3	0,3
338	№ 338	пр. р. Кулькорумды	склон.	C	0,9	0,9	0,3	0,3
339	№ 339	Мукуркорумды	склон.	C	0,6	0,6	0,2	0,2
340	№ 340	Мукуркорумды	склон.	C	0,9	0,9	0,3	0,3
341	№ 341	Зоркорумды	дол.	CB	2,7	2,7	1,3	1,3
342	№ 342	пр. р. Зоркорумды	склон.	CB	0,5	0,5	0,1	0,1

6 ледников

Кроме того, в бассейнах левых притоков р. Аличур между устьями рек Башгумбез и Шегембет имеется 3 ледника размерами 2,7

Итого 9 ледников

Бассейн р. Шегембет

Северный склон Южно-

343*	№ 343	Мукуршегембет	дол.	CB	2,1	2,1	0,9	0,9
344*	№ 344	пр. р. Мукуршегембет	склон.	CB	1,1	1,1	0,6	0,6

Высота, м			Фирновая линия		Площадь области аблации, км ²		Объем льда, км ³	Ссылки на последующие таблицы (иллюстрации) № таблиц и иллюстраций порядковые № сведений в таблицах
нижней точки конца ледника	нижней точки открытой части ледника	высшей точки ледника	высота, м	способ определения и год	общая	в том числе открытой части		
10	11	12	13	14	15	16	17	18
4950	4950	5200	5000	АФС 1947	—	—		
5040	5040	5300	5050	АФС 1947	—	—		
4840	4840	5250	5000	АФС 1947	0,1	0,1		
5120	5120	5300		АФС 1947	—	—		
5000	5000	5350	5050	АФС 1947	—	—		
4820	4820	5400	5100	АФС 1947	0,1	0,1		
4950	4950	5250	5050	АФС 1947	—	—		
4960	4960	5200	5000	АФС 1947	—	—		
						1,3		

более каждый, общей площадью 16,6 км² (из них 0,2 км² покрыто мореной) и 34 ледника размерами менее 0,1 км²

(реки Аличур, Гунт)

Аличурского хребта

4860	4860	5200	5000	АФС 1947	—	—		
4800	4800	5200	5000	АФС 1947	—	—		
4940	4940	5400	5100	АФС 1947	0,2	0,2		
4960	4960	5250	5000	АФС 1947	—	—		
4950	4950	5250	5000	АФС 1947	—	—		
4920	4920	5250	5000	АФС 1947	—	—		
4820	4820	5200	5000	АФС 1947	—	—		
4920	4920	5250	5050	АФС 1947	—	—		
4760	4760	5000	4950	АФС 1947	—	—		
4700	4700	5200	4950	АФС 1947	0,1	0,1		
4920	4920	5250	5000	АФС 1947	0,1	0,1		
4880	4880	5300	5050	АФС 1947	0,1	0,1		
4800	4800	5350	5050	АФС 1947	0,1	0,1		
4800	4800	5200	5000	АФС 1947	—	—		
4800	4800	5200	5000	АФС 1947	—	—		
5120	5120	5350	5150	АФС 1947	—	—		
5060	5060	5400	5150	АФС 1947	—	—		
4660	4660	5200	4950	АФС 1947	—	—		
4700	4700	5200	5000	АФС 1947	—	—		
4740	4740	5200	5000	АФС 1947	0,1	0,1		
4860	4860	5300	5050	АФС 1947	0,1	0,1		
5100	5100	5350	5150	АФС 1966	0,1	0,1		
4950	4950	5300	5100	АФС 1966	0,1	0,1		
						0,9		

Башгумбез и Шегембет (реки Аличур, Гунт)

Аличурского хребта

4800	4800	5350	5100	АФС 1966	0,1	0,1		
4750	4750	5200	5050	АФС 1966	0,1	0,1		
5080	5080	5250	5100	АФС 1966	—	—		
5100	5100	5300	5150	АФС 1966	0,1	0,1		
4840	4840	5250	5050	АФС 1966	0,5	0,5		
4980	4980	5100	5050	АФС 1966	—	—		
						0,8		

рами менее 0,1 км² каждый, общей площадью 0,2 км²

(реки Аличур, Гунт)

Аличурского хребта

4800	4800	5300	5050	АФС 1966	0,2	0,2		
4900	4900	5300	5000	АФС 1966	0,2	0,2		

№ по схеме	Название	Название реки, вытекающей из ледника	Морфологический тип	Общая экспозиция	Наибольшая длина, км		Площадь, км ²	
					всего ледника	в том числе открытой части	всего ледника	в том числе открытой части
1	2	3	4	5	6	7	8	9
345	№ 345	пр. р. Мукуршегембет	склон.	C	0,5	0,5	0,2	0,2
346	№ 346	пр. р. Шегембет	склон.	З	0,6	0,6	0,2	0,2
347	№ 347	пр. р. Шегембет	кар.	В	0,7	0,7	0,1	0,1
348	№ 348	пр. р. Шегембет	склон.	С	0,8	0,8	0,2	0,2
349	№ 349	пр. р. Шегембет	склон.	С3	1,6	1,6	0,8	0,8
350	№ 350	пр. р. Шегембет	склон.	С	0,6	0,6	0,2	0,2
351	№ 351	пр. р. Шегембет	склон.	СВ	0,5	0,5	0,2	0,2
352	№ 352	пр. р. Шегембет	склон.	СВ	0,7	0,7	0,2	0,2
353	№ 353	пр. р. Шегембет	вис.	СВ	0,6	0,6	0,1	0,1
354	№ 354	пр. р. Шегембет	склон.	СВ	1,3	1,3	0,9	0,9
355	№ 355	пр. р. Шегембет	склон.	СВ	0,9	0,9	0,6	0,6
13 ледников							5,2	
Кроме того, в бассейне р. Шегембет имеется 6 ледников размерами менее 0,1 км ² каждый, общей площадью 0,4 км ²								
19 ледников							5,6	
Бассейн р. Тамды								
Северный склон Южно-								
356	№ 356	пр. р. Тамды	склон.	C	0,6	0,6	0,3	0,3
357	№ 357	пр. р. Тамды	склон.	C	0,6	0,6	0,2	0,2
358	№ 358	пр. р. Тамды	склон.	C	0,8	0,8	0,1	0,1
359	№ 359	пр. р. Тамды	склон.	C	0,4	0,4	0,1	0,1
360	№ 360	пр. р. Тамды	склон.	C	0,5	0,5	0,1	0,1
5 ледников							0,8	
Кроме того, в бассейне р. Тамды имеется 3 ледника размерами менее 0,1 км ² каждый, общей площадью 0,2 км ²								
8 ледников							1,0	
Всего в бассейнах левых верхних притоков р. Гунта имеется 164 ледника, общей площадью 36,6 км ² , в том числе 105 ледников размерами менее 0,1 км ² каждый, общей площадью 4,3 км ²								

ЛЕВЫЕ СРЕДНИЕ

Бассейн р. Курук-Тагарката (озера Булункуль, Северный склон Южно-								
361	№ 361	Курук-Тагарката	склон.	C	0,4	0,4	0,1	0,1
1 ледник							0,1	
Бассейн р. Гурумды (в р. Иссыкбулак, озера Северный склон Южно-Аличурского хребта,								
362*	№ 362	пр. р. Гурумды	склон.	C	0,5	0,5	0,2	0,2
363*	№ 363	Гурумды	склон.	C	2,5	2,5	2,6	2,6
364	№ 364	пр. р. Гурумды	склон.	C	1,0	1,0	0,1	0,1
3 ледника							2,9	

Кроме того, в бассейне р. Гурумды имеется 12 ледников размерами менее 0,1 км² каждый, общей площадью 1,0 км²
Итого 15 ледников

Бассейн р. Козамбессай

Бассейн р. Козамбессай (Северный склон)								
365	№ 365	Козамбессай	склон.	C	0,2	0,2	0,1	0,1
1 ледник							0,1	

Бассейн р. Бол. Бакчигир

Бассейн р. Бол. Бакчигир (Северный склон)								
366	№ 366	пр. р. Бол. Бакчигир	кар.-дол.	C	0,6	0,6	0,2	0,2
367	№ 367	пр. р. Бол. Бакчигир	кар.-дол.	C	1,4	1,4	0,7	0,7
368	№ 368	пр. р. Бол. Бакчигир	вис.	СВ	1,2	1,2	0,3	0,3

Высота, м			Фирновая линия			Площадь области аблации, км ²		Ссылки на последующие таблицы (илюстрации) № таблиц и иллюстраций порядковые № сведений в таблицах
нижней точки конца ледника	нижней точки открытой части ледника	высшей точки ледника	высота, м	способ определения и год	общая	в том числе открытой части		
10	11	12	13	14	15	16	17	18
4800	4800	5050	4950	АФС 1966	—	—		
5100	5100	5400	5150	АФС 1947	—	—		
4900	4900	5200	5050	АФС 1947	—	—		
4800	4800	5200	5050	АФС 1947	—	—		
4900	4900	5400	5050	АФС 1947	0,1	0,1		
4900	4900	5150	5000	АФС 1947	0,1	0,1		
4900	4900	5200	5050	АФС 1947	0,1	0,1		
4920	4920	5180	5050	АФС 1947	—	—		
4800	4800	5200	5000	АФС 1947	—	—		
4860	4860	5350	5100	АФС 1947	0,2	0,2		
4820	4820	5300	5100	АФС 1947	0,1	0,1		
					1,0			

(оз. Сасыккуль)

Аличурского хребта

5050	5050	5250	5100	АФС 1947	0,1	0,1		
4960	4960	5250	5050	АФС 1947	0,1	0,1		
4850	4850	5150	5000	АФС 1947	—	—		
4880	4880	5100	5000	АФС 1947	—	—		
4980	4980	5200	5050	АФС 1947	—	—		
					0,2			

ников размерами 0,1 км² и более каждый, общей площадью 32,3 км² (из них 0,2 км² покрыто мореной) и 59 ледников

ПРИТОКИ р. ГУНТА

Яшилькуль, р. Гунт)

Аличурского хребта

4840	4840	5000	4900	АФС 1947	—	—		
------	------	------	------	----------	---	---	--	--

Булункуль, Яшилькуль, р. Гунт)

южный отрог гор Бакчигир

4850	4850	5000	4950	АФС 1947	0,1	0,1		
4700	4700	5600	5000	АФС 1947	0,6	0,6		
4700	4700	5180	4950	АФС 1947	—	—		

0,7

(оз. Яшилькуль, р. Гунт)

гор Бакчигир

4880	4880	5100	4950	АФС 1947	—	—		
------	------	------	------	----------	---	---	--	--

(оз. Яшилькуль, р. Гунт)

гор Бакчигир

4880	4880	5150	4950	АФС 1947	—	—		
4700	4700	5150	4900	АФС 1947	0,2	0,2		
4860	4860	5300	4950	АФС 1947	0,1	0,1		

№ по схеме	Название	Название реки, вытекающей из ледника	Морфологический тип	Общая экспозиция	Наибольшая длина, км		Площадь, км ²	
					всего ледника	в том числе открытой части	всего ледника	в том числе открытой части
1	2	3	4	5	6	7	8	9
369*	Бакчигир	Бол. Бакчигир	дол.	СВ	5,6	5,5	8,4	8,3
370*	№ 370		вис.	С	0,6	0,6	0,1	0,1
371*	№ 371		вис.	С	0,6	0,6	0,1	0,1
372*	№ 372		кар.-дол.	В	1,7	1,7	0,8	0,8
373*	№ 373		кар.-дол.	ЮВ	1,7	1,7	0,6	0,6
374	№ 374	пр. р. Бол. Бак- чигир	склон.	СВ	1,4	1,4	0,7	0,7
375	№ 375	пр. р. Бол. Бак- чигир	кар.-дол.	СВ	1,4	1,4	0,7	0,7
376	№ 376	пр. р. Бол. Бак- чигир	склон.	СВ	0,6	0,6	0,2	0,2
11 ледников							12,8	

Кроме того, в бассейне р. Бол. Бакчигир имеется 4 ледника размерами менее 0,1 км² каждый, общей площадью 0,3 км²
Итого 15 ледников 13,1

Бассейн р. Урта-Бакчигир II

Северный склон

377	№ 377	пр. р. Урта-Бак- чигир II	вис.	С3	0,5	0,5	0,1	0,1
378*	Урта- Бакчигир II	Урта-Бакчигир II	дол.	СВ	7,0	7,0	11,7	11,7
2 ледника								11,8

Бассейн р. Урта-Бакчигир I

Северный склон

379	№ 379	пр. р. Урта-Бак- чигир I	кар.-дол.	С	1,5	1,5	1,1	1,1
380*	Урта-Бак- чигир I	Урта-Бакчи- гир I	дол.	С	5,0	3,8	6,7	5,8
381	№ 381	пр. р. Урта-Бак- чигир I	вис.	СВ	0,6	0,6	0,1	0,1
382	№ 382	пр. р. Урта-Бак- чигир I	кар.-дол.	СВ	1,4	1,4	0,7	0,7
4 ледника								8,6

Бассейны левых притоков р. Гунта между устьями рек

Северный склон

383	№ 383	пр. р. Гунта	присклон.	С	0,2	0,2	0,1	0,1
384	№ 384	пр. р. Гунта	кар.	С	0,6	0,6	0,2	0,2
385*	№ 385	Актайляк сев.	дол.	С	3,9	3,8	2,1	2,1
386*	№ 386	пр. р. Актайляк сев.	дол.	С	1,1	1,1	0,2	0,2
387	№ 387	пр. р. Актайляк сев.	дол.	СВ	2,0	2,0	0,3	0,3
388	№ 388	пр. р. Актайляк сев.	склон.	С	1,2	1,2	0,4	0,4
389	№ 389	пр. р. Актайляк сев.	вис.	С	0,6	0,6	0,2	0,2
390	№ 390	пр. р. Актайляк сев.	дол.	С	1,6	1,6	0,6	0,6
391*	№ 391	пр. р. Актайляк сев.	вис.	С	0,8	0,8	0,3	0,3
392	№ 392	пр. р. Актайляк сев.	кар.-дол.	СВ	1,8	1,8	1,0	1,0
393	№ 393	пр. р. Гунта	вис.	С3	0,8	0,8	0,3	0,3
394	№ 394	пр. р. Гунта	дол.	С	1,8	1,8	1,6	1,6
395	№ 395	пр. р. Гунта	вис.	С	0,8	0,8	0,2	0,2
396	№ 396	пр. р. Гунта	вис.	С	0,8	0,8	0,2	0,2
397	№ 397	пр. р. Гунта	вис.	С	0,3	0,3	0,1	0,1
15 ледников								7,8

Кроме того, в бассейнах левых притоков р. Гунта между устьями рек Урта-Бакчигир I и Токузбулак имеется 8 ледников
Итого 23 ледника 8,3

Высота, м			Фирновая линия		Площадь области аблации, км ²		Объем льда, км ³	Ссылки на последующие таблицы (иллюстрации) № таблиц и иллюстраций поярковые № сведений в таблицах
нижней точки конца ледника	нижней точки открытой части ледника	высшей точки ледника	высота, м	способ определения и год	общая	в том числе открытой части		
10	11	12	13	14	15	16	17	18
4480	4500	5350	4950	наз.-виз. 1972, 1973	3,5	3,4		IV/7; V/14
4950	4950	5250	5000	АФС 1947	—	—		
4950	4950	5250	5000	АФС 1947	—	—		
4840	4840	5500	5100	АФС 1947	0,3	0,3		
5050	5050	5300	5150	АФС 1947	0,2	0,2		
4900	4900	5350	5100	АФС 1947	0,2	0,2		
4960	4960	5450	5150	АФС 1947	0,2	0,2		
4850	4850	5300	5150	АФС 1947	0,1	0,1		
					4,8			

(оз. Яшилькуль, р. Гунт)

гор. Бакчигир

4650	4650	5200	4950	АФС 1947	—	—		
4380	4380	5600	5000	АФС 1947	4,5	4,5		
					4,5	—		

(оз. Яшилькуль, р. Гунт)

гор. Бакчигир

4580	4580	5100	4900	АФС 1947	0,6	0,6		
4380	4520	5750	4900	АФС 1947	4,8	3,9		
4950	4950	5400	—	АФС 1947	—	—		
4750	4750	5150	4950	АФС 1947	0,3	0,3		
					5,7			

Урта-Бакчигир I и Токузбулак

хр. Бачор

4600	4600	4850	4800	АФС 1947	—	—		
4600	4600	4900	4850	АФС 1947	0,1	0,1		
4560	4580	5550	4850	АФС 1947	1,3	1,3		
4680	4680	5150	4900	АФС 1947	0,1	0,1		
4540	4540	5500	4900	АФС 1947	0,2	0,2		
4700	4700	5450	4950	АФС 1947	0,2	0,2		
4800	4800	5450	5000	АФС 1947	0,1	0,1		
4450	4450	4950	4900	АФС 1947	0,4	0,4		
4700	4700	5300	5000	АФС 1947	0,1	0,1		
4620	4620	5050	4950	АФС 1947	0,8	0,8		
4400	4400	5180	4900	АФС 1947	0,2	0,2		
4320	4320	5080	4900	АФС 1947	0,7	0,7		
4450	4450	5150	4950	АФС 1947	0,1	0,1		
4500	4500	5200	4950	АФС 1947	0,1	0,1		
4750	4750	5100	4900	АФС 1947	—	—		

4,4

размерами менее 0,1 км² каждый, общей площадью 0,5 км²

№ по схеме	Название	Название реки, вытекающей из ледника	Морфологический тип	Общая экспозиция	Наибольшая длина, км		Площадь, км ²	
					всего ледника	в том числе открытой части	всего ледника	в том числе открытой части
1	2	3	4	5	6	7	8	9

БАССЕН р. ТОКУЗ

Бассейн р. Актайляк южн.

Южный склон хр. Багор, запа-

398	№ 398	пр. р. Актайляк южн.	дол.	ЮВ	0,7	0,7	0,1	0,1
399*	№ 399	пр. р. Актайляк южн.	кар.-дол.	3	1,3	1,3	0,5	0,5
400*	№ 400	пр. р. Актайляк южн.	склон.	C3	0,9	0,9	0,3	0,3
401*	№ 401	пр. р. Актайляк южн.	асимм. дол.	3	2,0	2,0	1,1	1,1
402*	№ 402	пр. р. Актайляк южн.	асимм. дол.	3	1,6	1,6	1,0	1,0
403*	№ 403	пр. р. Актайляк южн.	вис.	C3	0,8	0,8	0,1	0,1
404*	№ 404	пр. р. Актайляк южи.	склон.	C	0,4	0,4	0,2	0,2
405*	№ 405	пр. р. Актайляк южн.	дол.	3	2,6	2,6	1,7	1,7
406*	№ 406	пр. р. Актайляк южн.	дол.	C3	1,8	1,8	1,8	1,8
407*	№ 407	пр. р. Актайляк южн.	дол.	C3	1,4	1,4	0,5	0,5
408*	№ 408	пр. р. Актайляк южн.	дол.	C	1,4	1,4	0,6	0,6
409*	№ 409	пр. р. Актайляк южн.	кар.-дол.	C	1,6	1,6	0,9	0,9
410*	№ 410	пр. р. Актайляк южн.	кар.-дол.	CB	1,1	1,1	0,5	0,5
411*	№ 411	пр. р. Актайляк южн.	кар.	C	0,6	0,6	0,2	0,2
412*	№ 412	пр. р. Актайляк южн.	дол.	C	1,5	1,5	0,8	0,8
413*	№ 413	пр. р. Актайляк южн.	кар.	C	0,8	0,8	0,2	0,2
414*	№ 414	пр. р. Актайляк южн.	кар.-дол.	C	1,0	1,0	0,4	0,4
415	№ 415	пр. р. Актайляк южн.	вис.	C	0,6	0,6	0,2	0,2

18 ледников

11,1

Кроме того, в бассейне р. Актайляк южн. имеется 6 ледников размерами менее 0,1 км² каждый, общей площадью 0,4 км²

11,5

Итого 24 ледника

Бассейны правых притоков р. Токузбулак между устьями рек

Юго-западный склон

416	№ 416	Гармчашма	склон.	C	0,8	0,8	0,5	0,5
417	№ 417	пр. р. Гармчашма	склон.	C3	0,8	0,8	0,2	0,2
418	№ 418	пр. р. Гармчашма	дол.	C3	1,0	1,0	0,3	0,3
419	№ 419	пр. р. Гармчашма	дол.	C	1,4	1,4	0,8	0,8
420	№ 420	пр. р. Гармчашма	кар.-дол.	C	0,6	0,6	0,2	0,2
421	№ 421	пр. р. Гармчашма	кар.-дол.	C	0,7	0,7	0,2	0,2
422	№ 422	пр. р. Токузбулак	вис.	3	0,8	0,8	0,2	0,2
423*	№ 423	пр. р. Аксай	кар.	CB	1,2	1,2	0,5	0,5
424*	№ 424	пр. р. Аксай	кар.-дол.	ЮВ	1,7	1,7	0,8	0,8
425*	№ 425	пр. р. Аксай	кар.	3	0,2	0,2	0,1	0,1
426*	№ 426	Аксай	дол.	CB, ЮВ	3,0	3,0	1,6	1,6
427*	№ 427		кар.-дол.	B	1,2	1,2	0,3	0,3
428*	№ 428		кар.-дол.	ЮВ	1,1	1,1	0,4	0,4
429	№ 429	пр. р. Аксай	дол.	CB	2,0	2,0	0,7	0,7
430	№ 430	пр. р. Аксай	кар.	C3	0,6	0,6	0,1	0,1
431*	№ 431	пр. р. Аксай	дол.	C3	1,4	1,4	0,8	0,8
432*	№ 432	пр. р. Аксай	кар.	C3	0,6	0,6	0,2	0,2
433*	№ 433	пр. р. Аксай	склон.	C	1,4	1,4	1,1	1,1
434*	№ 434	пр. р. Аксай	склон.	C	1,0	1,0	0,3	0,3
435*	№ 435	пр. р. Аксай	кар.	C	0,7	0,7	0,2	0,2
436	№ 436	пр. р. Токузбулак	склон.	3	0,7	0,7	0,1	0,1

21 ледник

9,6

Кроме того, в бассейнах правых притоков р. Токузбулак между устьями рек Актайляк южн. и Упалысай имеется 5 ледников

9,9

Высота, м			Фирновая линия		Площадь области аблации, км ²		Объем льда, км ³	Ссылки на последующие таблицы (илюстрации)
найменшей точки конца ледника	найменшей точки открытой части ледника	высшей точки ледника	высота, м	способ определения и год	общая	в том числе открытой части		
10	11	12	13	14	15	16	17	18

БУЛАК (р. ГУНТ)

(реки Токузбулак, Гунт)

Параллельные и северный склоны хр. Бакчигир

4780	4780	5050	4950	АФС 1947	0,1	0,1		
4720	4720	5040	4900	АФС 1947	0,2	0,2		
4560	4560	4950	4850	АФС 1947	0,1	0,1		
4650	4650	5150	4900	АФС 1947	0,6	0,6		
4800	4800	5250	4950	АФС 1947	0,3	0,3		
4840	4840	5350	4950	АФС 1947	—	—		
4750	4750	5000	4900	АФС 1947	0,1	0,1		
4780	4780	5580	4950	АФС 1947	0,7	0,7		
4720	4720	5300	4950	АФС 1947	0,6	0,6		
4680	4680	5200	4900	АФС 1947	0,2	0,2		
4680	4680	5150	4900	АФС 1947	0,2	0,2		
4700	4700	5200	4900	АФС 1947	0,3	0,3		
4640	4640	5150	4900	АФС 1947	0,2	0,2		
4680	4680	4950	4900	АФС 1947	0,1	0,1		
4700	4700	5200	4900	АФС 1947	0,2	0,2		
4780	4780	5050	4900	АФС 1947	0,1	0,1		
4700	4700	5200	4900	АФС 1947	0,1	0,1		
4900	4900	5150	4950	АФС 1947	—	—		

4,1

Актайляк южн. и Упалысай (реки Токузбулак, Гунт)

гор. Бакчигир

4580	4580	5100	4900	АФС 1947	0,3	0,3		
4600	4600	5100	4900	АФС 1947	0,1	0,1		
4650	4650	5150	4900	АФС 1947	0,1	0,1		
4680	4680	5150	4900	АФС 1947	0,2	0,2		
4550	4550	5000	4850	АФС 1947	0,1	0,1		
4580	4580	5000	4850	АФС 1947	0,1	0,1		
4700	4700	5000	4850	АФС 1947	0,1	0,1		
4720	4720	5100	4850	АФС 1947	0,1	0,1		
4880	4880	5200	4950	АФС 1947	0,2	0,2		
5020	5020	5150	5050	АФС 1947	—	—		
4600	4680	5350	5000	АФС 1947	1,1	1,1		
4950	4950	5150	5000	АФС 1947	0,1	0,1		
4980	4980	5250	5000	АФС 1947	0,2	0,2		
4700	4700	5300	4950	АФС 1947	0,2	0,2		
4700	4700	5000	4900	АФС 1947	—	—		
4500	4500	5200	4850	АФС 1947	0,3	0,3		
4500	4500	4900	4850	АФС 1947	0,1	0,1		
4500	4500	5300	4900	АФС 1947	0,5	0,5		
4500	4500	5200	4900	АФС 1947	0,1	0,1		
4620	4620	5050	4900	АФС 1947	0,1	0,1		
4500	4500	4950	4850	АФС 1947	—	—		

4,0

ников размерами менее 0,1 км² каждый, общей площадью 0,3 км²

№ по схеме	Название	Название реки, вытекающей из ледника	Морфологический тип	Общая экспозиция	Наибольшая длина, км		Площадь, км ²	
					всего ледника	в том числе открытой части	всего ледника	в том числе открытой части
1	2	3	4	5	6	7	8	9

Бассейн р. Упалысай

Южный склон хр. Бакчигир,

437	№ 437	пр. р. Упалысай	кар.	C	0,6	0,6	0,2	0,2
438	№ 438	пр. р. Упалысай	кар.	CB	0,5	0,5	0,2	0,2
439	№ 439	пр. р. Упалысай	склон.	B	0,8	0,8	0,3	0,3
440	№ 440	пр. р. Упалысай	вис.-кар.	B	0,8	0,8	0,2	0,2
441	№ 441	пр. р. Упалысай	вис.-дол.	B	1,6	1,6	0,7	0,7
442	№ 442	пр. р. Упалысай	вис.	C3	0,7	0,7	0,1	0,1
443	№ 443	пр. р. Упалысай	склон.	C3	0,9	0,9	0,2	0,2
444	№ 444	пр. р. Упалысай	вис.	C	0,7	0,7	0,2	0,2
445	№ 445	пр. р. Упалысай	дол.	C	3,4	3,2	2,7	2,7
446*	№ 446	пр. р. Упалысай	вис.-кар.	B	1,2	1,2	0,3	0,3
447	№ 447	пр. р. Упалысай	кар.-вис.	B	0,9	0,9	0,2	0,2
448*	№ 448	пр. р. Упалысай	склон.	B	1,1	1,1	0,3	0,3
449*	№ 449	Упалысай	кар.	C	0,4	0,4	0,1	0,1
450*	№ 450	пр. р. Упалысай	склон.	C	0,4	0,4	0,2	0,2
451*	№ 451	пр. р. Упалысай	кар.-дол.	C	1,0	1,0	0,6	0,6
452*	№ 452	пр. р. Упалысай	дол.	C	1,2	1,2	0,5	0,5
453*	№ 453	пр. р. Упалысай	склон.	CB	0,8	0,8	0,2	0,2
454	№ 454	пр. р. Упалысай	склон.	C	0,8	0,8	0,2	0,2
455	№ 455	пр. р. Упалысай	склон.	C	0,8	0,8	0,5	0,5
456	№ 456	пр. р. Упалысай	склон.	C	0,4	0,4	0,2	0,2

20 ледников

8,1

Кроме того, в бассейне р. Упалысай имеется 10 ледников размерами менее 0,1 км² каждый, общей площадью 0,7 км²

Итого 30 ледников

8,8

Бассейны левых притоков р. Токузбулак выше устья

Северный склон Южно-

457	№ 457	пр. р. Гурумды зап.	дол.	C	2,0	2,0	1,2	1,2
458*	№ 458	Гурумды зап.	присклон.	C	1,0	1,0	0,2	0,2
459*	№ 459	Гурумды зап.	дол.	C	3,4	3,2	2,9	2,8
460	№ 460	пр. р. Киоражкуль	склон.	C	1,6	1,6	1,3	1,3
461	№ 461	пр. р. Киоражкуль	дол.	C	1,8	1,8	0,9	0,9
462*	№ 462	пр. р. Киоражкуль	дол.	C3	1,6	1,5	0,6	0,6
463	№ 463	Киоражкуль	дол.	C	2,6	2,6	2,2	2,2

7 ледников

9,3

Кроме того, в бассейнах левых притоков р. Токузбулак выше устья р. Токузбулак южн. имеется 2 ледника размерами ме-

Итого 9 ледников

9,4

Бассейн р. Токузбулак южн.

Северный склон Южно-

464	№ 464	пр. р. Мионаджкуль	склон.	C3	0,8	0,8	0,2	0,2
465	№ 465	Мионаджкуль	дол.	C	2,6	2,6	2,3	2,3
466	№ 466	пр. р. Мионаджкуль	кар.-дол.	CB	1,2	1,2	0,4	0,4
467	№ 467	пр. р. Мионаджкуль	кар.	C	0,6	0,6	0,2	0,2
468	№ 468	Кокджаражкуль	дол.	C	1,4	1,4	0,5	0,5
469*	№ 469	пр. р. Кокджа-	дол.	C	1,2	1,1	0,4	0,4
470	№ 470	ручкуль	дол.	C	1,6	1,6	0,9	0,9
471*	№ 471	пр. р. Кокджа-	кар.-дол.	C	0,7	0,7	0,1	0,1
472	№ 472	ручкуль	кар.	C	0,5	0,5	0,1	0,1
473*	№ 473	пр. р. Кокджа-	дол.	C	2,0	1,8	1,3	1,3

10 ледников

6,4

Кроме того, в бассейне р. Токузбулак южн. имеется 4 ледника размерами менее 0,1 км² каждый, общей площадью 0,3 км²

Итого 14 ледников

6,7

Бассейны левых притоков р. Токузбулак ниже устья

Северный склон

474	№ 474	пр. р. Токузбулак	кар.	C	0,7	0,7	0,2	0,2
475	№ 475	пр. р. Токузбулак	склон.	C	0,8	0,8	0,4	0,4

Высота, м			Фирновая линия		Площадь области аблации, км ²		Ссылки на последующие таблицы (иллюстрации)	
нижней точки конца ледника	нижней точки открытой части ледника	высшей точки ледника	высота, м	способ определения и год	общая	в том числе открытой части	Объем льда, км ³	№ таблиц и иллюстраций
10	11	12	13	14	15	16	17	18

р. Токузбулак южн. (реки Токузбулак, Гунт)

западный склон его отрога

4800	4800	5000	4900	АФС 1947	0,1	0,1		
4820	4820	5050	4950	АФС 1947	0,1	0,1		
4850	4850	5250	4950	АФС 1947	0,1	0,1		
4820	4820	5000	4900	АФС 1947	0,1	0,1		
4980	4980	5150	5050	АФС 1947	0,1	0,1		
4580	4580	5250	4900	АФС 1947	—	—		
4500	4500	5250	4900	АФС 1947	0,1	0,1		
4640	4640	5000	4850	АФС 1947	—	—		
4700	4700	5250	4900	АФС 1947	0,6	0,6		
4950	4950	5200	5000	АФС 1947	0,1	0,1		
4980	4980	5200	5000	АФС 1947	—	—		
4780	4780	5250	4900	АФС 1947	0,1	0,1		
4840	4840	5100	4900	АФС 1947	—	—		
4840	4840	5050	4900	АФС 1947	—	—		
4760	4760	5120	4900	АФС 1947	0,2	0,2		
4700	4700	5150	4900	АФС 1947	0,2	0,2		
4780	4780	5200	4900	АФС 1947	0,1	0,1		
4820	4820	5000	4900	АФС 1947	0,1	0,1		
4680	4680	5000	4900	АФС 1947	0,3	0,3		
4700	4700	4850	4800	АФС 1947	0,1	0,1		

2,4

р. Токузбулак южн. реки Токузбулак, Гунт)

Аличурского хребта

4640	4640	5450	5000	АФС 1947	0,4	0,4		
4700	4720	5250	4950	АФС 1947	0,1	0,1		
4600	4640	5450	4950	АФС 1947	1,1	1,0		
4750	4750	5350	4950	АФС 1947	0,3	0,3		
4750	4750	5200	4950	АФС 1947	0,3	0,3		
4650	4670	5450	4900	АФС 1947	0,3	0,3		
4640	4700	5200	5000	АФС 1947	0,8	0,8		

3,3

нее 0,1 км² каждый, общей площадью 0,1 км²**(реки Токузбулак, Гунт)**

Аличурского хребта

4840	4840	5200	5000	АФС 1947	0,1	0,1		
4780	4780	5350	5000	АФС 1947	0,8	0,8		
4780	4780	5150	4900	АФС 1947	0,1	0,1		
4800	4800	5100	4950	АФС 1947	0,1	0,1		
4620	4620	5200	4950	АФС 1947	0,2	0,2		
4640	4660	5250	4950	АФС 1947	0,2	0,2		
4600	4600	5350	5000	АФС 1947	0,4	0,4		
4700	4700	5300	5000	АФС 1947	—	—		
4720	4720	4970	4900	АФС 1947	—	—		
4540	4600	5300	4950	АФС 1947	0,3	0,3		

5,6

р. Токузбулак южн. (реки Токузбулак, Гунт)

Шугнанского хребта

4700	4700	5050	4900	АФС 1947	0,1	0,1		
4680	4680	4950	4850	АФС 1947	0,2	0,2		

№ по схеме	Название	Название реки, вытекающей из ледника	Морфологический тип	Общая экспозиция	Наибольшая длина, км		Площадь, км ²	
					всего ледника	в том числе открытой части	всего ледника	в том числе открытой части
1	2	3	4	5	6	7	8	9
476	№ 476	пр. р. Токузбулак	склон.	C	0,8	0,8	0,6	0,6
477	№ 477	пр. р. Токузбулак	склон.	CB	0,6	0,6	0,2	0,2
478	№ 478	пр. р. Токузбулак	склон.	CB	0,8	0,8	0,2	0,2
479	№ 479	пр. р. Токузбулак	присклон.	C	0,6	0,6	0,4	0,4
480*	№ 480		кар.-дол.	CB	1,0	1,0	0,2	0,2
481	№ 481	пр. р. Токузбулак	склон.	B	0,6	0,6	0,2	0,2
482	№ 482	пр. р. Дузахдара	склон.	C	1,2	1,2	0,5	0,5
483	№ 483	пр. р. Дузахдара	кар.	C	0,7	0,7	0,2	0,2
484	№ 484	пр. р. Дузахдара	склон.	C	1,0	1,0	0,5	0,5
485	№ 485	пр. р. Дузахдара	склон.	C	0,6	0,6	0,6	0,6
486	№ 486	пр. р. Дузахдара	вис.	C3	0,7	0,7	0,2	0,2
487	№ 487	пр. р. Дузахдара	вис.	C3	0,6	0,6	0,2	0,2
488	№ 488	пр. р. Кулиндара	кар.	C	0,6	0,6	0,2	0,2
489	№ 489	пр. р. Кулиндара	кар.	C	0,5	0,5	0,1	0,1
490	№ 490	пр. р. Кулиндара	склон.	C	0,6	0,6	0,3	0,3
491	№ 491	пр. р. Кулиндара	склон.	C	0,4	0,4	0,3	0,3
492	№ 492	пр. р. Дузахдара	кар.-дол.	C	0,9	0,9	0,3	0,3

19 ледников

Кроме того, в бассейнах левых притоков р. Токузбулак ниже устья р. Токузбулак южн. имеется 12 ледников размерами

Итого 31 ледник

6,8

Всего в бассейне р. Токузбулак имеется 84 ледника общей площадью 31,7 км², в том числе 56 ледников размерами 0,1 км² каждый, общей площадью 2,1 км²

Всего в бассейнах левых средних притоков р. Гунта имеется 185 ледников общей площадью 99,0 км², в том числе 132 ледниками менее 0,1 км² каждый, общей площадью 4,6 км²

ЛЕВЫЕ НИЖНИЕ

Бассейн р. Варшидз

Северный склон

493	№ 493	пр. р. Айрансу	кар.	C	0,8	0,8	0,3	0,3
494*	№ 494	пр. р. Айрансу	вис.	CB	0,6	0,6	0,1	0,1
495*	№ 495	Айрансу	дол.	CB	2,0	2,0	1,3	1,3
496	№ 496	пр. р. Варшидздара	склон.	C	0,4	0,4	0,2	0,2
497	№ 497	пр. р. Варшидздара	дол.	C	1,5	1,5	0,9	0,9
498	№ 498	пр. р. Варшидздара	вис.	CB	0,5	0,5	0,1	0,1
499	№ 499	пр. р. Варшидздара	вис.	C	0,4	0,4	0,1	0,1
500	Варшидз	Варшидздара	сл. дол.	CB, C	6,0	5,8	7,5	7,2
501*	№ 501		вис.	C3	0,7	0,7	0,3	0,3
502*	№ 502		склон.	C	0,6	0,6	0,2	0,2
503*	№ 503		вис.	C	0,6	0,6	0,4	0,4

11 ледников

11,4

Кроме того, в бассейне р. Варшидздара имеется 5 ледников размерами менее 0,1 км² каждый, общей площадью 0,3 км²

Итого 16 ледников

11,7

Бассейны левых притоков р. Гунта между устьями

Северный склон

504	№ 504	пр. р. Гунта	дол.	C	1,0	0,8	0,2	0,2
505	№ 505	пр. р. Гунта	дол.	C	1,6	1,6	0,8	0,8
506	Рор	Пишдара	дол.	C	4,4	4,0	3,0	2,9
507	№ 507	пр. р. Гунта	склон.	C	1,0	1,0	0,1	0,1

4 ледника

4,1

Кроме того, в бассейнах левых притоков р. Гунта между устьями рек Варшидздара и Акмамаддара имеется 1 ледник пло-

Итого 5 ледников

4,2

Бассейн р. Акмама

Северный склон

508	№ 508	пр. р. Акмамаддара	дол.	C, C3	3,6	2,6	1,3	1,0
509	№ 509	пр. р. Акмамаддара	склон.	C3	0,6	0,6	0,2	0,2
510*	№ 510	Акмамаддара	сл. дол., основной поток	C	6,8	5,4	4,2	3,2
511*	№ 511		дол., часть сл. дол.,	C3	1,8	1,8	1,0	1,0

Продолжение таблицы 1

Высота, м			Фирновая линия		Площадь области аблации, км ²		Объем льда, км ³	Ссылки на последующие таблицы (иллюстраций)
найменее высокой точки конца ледника	найменее высокой точки открытой части ледника	высочайшей точки ледника	высота, м	способ определения и год	общая	в том числе открытой части		
10	11	12	13	14	15	16	17	18
4620	4620	5000	4850	АФС 1947	0,2	0,2		
4800	4800	5000	4900	АФС 1947	0,1	0,1		
4500	4500	5000	4850	АФС 1947	0,1	0,1		
4600	4600	5000	4850	АФС 1947	0,2	0,2		
4760	4760	5000	4850	АФС 1947	0,1	0,1		
4860	4860	5100	4900	АФС 1947	—	—		
4740	4740	5100	4900	АФС 1947	0,2	0,2		
4720	4720	5050	4900	АФС 1947	0,1	0,1		
4780	4780	5150	4900	АФС 1947	0,2	0,2		
4600	4600	5050	4800	АФС 1947	0,2	0,2		
4800	4800	5150	4900	АФС 1947	0,1	0,1		
4700	4700	5150	4900	АФС 1947	0,1	0,1		
4820	4820	4950	4900	АФС 1947	0,1	0,1		
4780	4780	5000	4900	АФС 1947	—	—		
4650	4650	4950	4850	АФС 1947	0,1	0,1		
4620	4620	4950	4850	АФС 1947	0,1	0,1		
4700	4700	5150	4900	АФС 1947	0,2	0,2		

менее 0,1 км² каждый, общей площадью 1,0 км²

и более каждый, общей площадью 29,6 км² (из них 0,1 км² покрыто мореной) и 28 ледников размерами менее 0,1 км² и более каждый, общей площадью 94,4 км² (из них 1,1 км² покрыто мореной) и 53 ледника раз-

ПРИТОКИ р. ГУНТА

дара (р. Гунт)

Шугнанского хребта

4850	4850	5250	4950	AФС 1947	0,1	0,1
4800	4800	5240	4900	AФС 1947	—	—
4780	4780	5240	4900	AФС 1947	0,4	0,4
4920	4920	5100	4950	AФС 1947	0,1	0,1
4600	4600	5150	4900	AФС 1947	0,4	0,4
4900	4900	5150	4950	AФС 1947	—	—
4980	4980	5200	5000	AФС 1947	—	—
4380	4400	5600	4900	AФС 1947	2,5	2,2
4820	4820	5100	4900	AФС 1947	0,1	0,1
4800	4800	5050	4900	AФС 1947	0,1	0,1
4800	4800	5150	4900	AФС 1947	0,1	0,1

рек Варшидзара и Акмамадзара (р. Гунт)

Шугнанского хребта

4340	4420	4900	4850	AФС 1947	0,1	0,1	
4400	4400	5000	4850	AФС 1947	0,4	0,4	
4540	4560	5400	4850	AФС 1947	1,5	1,4	
4900	4900	5200	4950	AФС 1947	—	—	
					2,0		

щадью 0,06 км²

дара (р. Гунт)

Шугнанского хребта

3780	4100	5450	4900	АФС 1947	0,7	0,4	
4800	4800	5300	4950	АФС 1947	0,1	0,1	
3780	4200	5500	4850	АФС 1947	2,6	1,6	
4360	4360	5500	4850	АФС 1947	0,2	0,2	

№ по схеме	Название	Название реки, вытекающей из ледника	Морфологический тип	Общая экспозиция	Наибольшая длина, км		Площадь, км ²	
					всего ледника	в том числе открытой части	всего ледника	в том числе открытой части
1	2	3	4	5	6	7	8	9

512*	№ 512		дол., часть сл. дол.	СВ	1,8	0,8	0,6	0,5
Сложный долинный ледник № 510—512 имеет наибольшую длину 6,8 км, общую площадь 5,8 км ² (в том числе 1,1 км ²								
513*	№ 513		кар.-дол.	СЗ	0,8	0,5	0,3	0,2
514*	№ 514		кар.-дол.	СЗ	1,5	0,7	0,8	0,6
515*	№ 515		кар.-дол.	ЮВ	1,1	1,1	0,3	0,3
516	№ 516	пр. р. Акмамаддара	склон.	С	0,3	0,3	0,2	0,2
517	№ 517	пр. р. Акмамаддара	кар.	СВ	0,7	0,7	0,1	0,1
10 ледников								

Кроме того, в бассейне р. Акмамаддара имеется 2 ледника размерами менее 0,1 км² каждый, общей площадью 0,1 км²

Итого 12 ледников

Бассейны левых притоков р. Гунта между устьями Северный склон отрога

518	№ 518	пр. р. Гунта	кар.-дол.	С	1,1	1,1	0,5	0,5
519	№ 519	пр. р. Гунта	сл. дол., основной поток	С	3,4	2,8	1,3	1,1
520	№ 520	пр. р. Гунта	дол., часть сл. дол.	С	2,7	2,6	0,7	0,7

Сложный долинный ледник № 519, 520 имеет наибольшую длину 3,4 км, общую площадь 2,0 км² (в том числе 0,2 км²

521	№ 521	Чартымдара	дол., часть сл. дол.	С	2,0	1,3	1,8	1,6
522	№ 522	Чартымдара	дол., часть сл. дол.	С	2,0	1,4	1,2	1,0

Сложный долинный ледник № 521, 522 имеет наибольшую длину 2,0 км, общую площадь 3,0 км² (в том числе 0,4 км²

523*	№ 523		кар.-дол.	С	1,2	1,2	0,5	0,5
524	№ 524		кар.-вис.	ЮВ	0,9	0,9	0,2	0,2
525	№ 525		кар.	ЮВ	0,8	0,8	0,2	0,2
526	№ 526	пр. р. Чартымдара	склон.	СВ	0,6	0,6	0,2	0,2
527*	№ 527	пр. р. Чартымдара	склон.	СВ	0,9	0,7	0,3	0,3
528	№ 528	Вирдара	дол.	С	2,0	2,0	1,6	1,6
529	№ 529	Вирдара	дол.	С	2,1	2,1	1,2	1,2
530	№ 530	пр. р. Вирдара	кар.	С	0,6	0,6	0,1	0,1
531	№ 531	пр. р. Гунта	кар.-дол.	С	1,0	0,7	0,2	0,2
532	№ 532	Немацдара	дол.	С	2,6	2,6	1,3	1,3
533	№ 533	пр. р. Немацдара	дол.	С	0,6	0,6	0,2	0,2
534	№ 534	пр. р. Немацдара	дол.	С	1,4	1,4	0,6	0,6
535	№ 535	Водждара	дол.	С	2,6	1,4	1,0	0,8
536	№ 536	пр. р. Водждара	дол.	С	3,4	3,1	2,2	2,1
537*	№ 537	пр. р. Водждара	сл. дол.	С	2,0	1,5	0,9	0,8
538*	№ 538	пр. р. Гунта	дол.	С	3,4	1,8	0,8	0,5
539	№ 539	пр. р. Гунта	кар.-дол.	С	0,4	0,4	0,1	0,1
540	№ 540	пр. р. Гунта	дол.	С	2,3	1,8	0,8	0,7
541	№ 541	Тарджийндара	кар.-дол.	С	1,1	1,1	0,5	0,5

24 ледника

18,4

Кроме того, в бассейнах левых притоков р. Гунта между устьями рек Акмамаддара и Ривакдара имеется 8 ледников размерами

Итого 32 ледника

18,8

БАССЕЙН

Бассейн верховьев р. Ривакдара выше

№	№	пр. р. Водждара	дол.	ЮВ	1,9	1,7	Северный склон Шугнанского	
							СВ	0,3
542	№ 542	пр. р. Водждара	кар.	СВ	1,6	1,0	0,3	0,2
543	№ 543	пр. р. Водждара	кар.-дол.	С	0,5	0,5	0,2	0,2
544	№ 544	пр. р. Водждара	кар.	С	3	1,3	0,3	0,3
545	№ 545	Водждара	кар.-дол.	С	0,5	0,5	0,2	0,2
546	№ 546	пр. р. Водждара	кар.-дол.	С	0,5	0,5	0,1	0,1
547	№ 547	пр. р. Водждара	склон.	С	0,5	0,5	0,2	0,2
548	№ 548	пр. р. Ривакдара	кар.	ЮЗ	0,7	0,7	0,2	0,2
549	№ 549	пр. р. Ривакдара	кар.-дол.	СЗ, Ю	2,1	2,1	0,7	0,7
550	№ 550	пр. р. Ривакдара	склон.	СЗ	0,8	0,8	0,5	0,5

Высота, м			Фирновая линия		Площадь области аблации, км ²		Объем льда, км ³	Ссылки на последующие таблицы (илюстрации) № таблиц и иллюстраций поясковые № сведений в таблицах
нижней точки конца ледника	нижней точки открытой части ледника	высшей точки ледника	высота, м	способ определения и год	общая	в том числе открытой части		
10	11	12	13	14	15	16	17	18
4300	4400	5000	4850	АФС 1947	0,3	0,2		
закрыто мореной) и площадь области аблации 3,1 км ²								
4580	4750	5300	4850	АФС 1947	0,2	0,1		
4420	4800	5250	4900	АФС 1947	0,3	0,1		
4700	4700	5200	4850	АФС 1947	0,1	0,1		
4600	4600	5300	4850	АФС 1947	0,1	0,1		
4600	4600	5000	4850	АФС 1947	—	—		
4,6								

рек Акмамаддара и Ривакдара (р. Гунт)

Шугнанского хребта

4500	4500	5000	4800	АФС 1947	0,2	0,2		
4260	4380	5200	4850	АФС 1947	0,7	0,5		
4320	4380	5300	4850	АФС 1947	0,3	0,3		
закрыто мореной) и площадь области аблации 1,0 км ²								

4400	4500	5100	4750	АФС 1947	1,0	0,8		
4400	4480	5050	4750	АФС 1947	0,8	0,6		

закрыто мореной и площадь области аблации 1,8 км²

4550	4550	4900	4750	АФС 1947	0,2	0,2		
4700	4700	5050	4750	АФС 1947	—	—		
4720	4720	5050	4750	АФС 1947	—	—		
4700	4700	5000	4850	АФС 1947	0,1	0,1		
4500	4600	4900	4800	АФС 1947	0,2	0,2		
4520	4520	5000	4800	АФС 1947	0,7	0,7		
4520	4540	5050	4800	АФС 1947	0,5	0,5		
4450	4450	4800	4750	АФС 1947	—	—		
3980	4100	4900	4800	АФС 1947	0,1	0,1		
4060	4100	5200	4850	АФС 1947	0,9	0,9		
4160	4200	4850	4800	АФС 1947	0,1	0,1		
4160	4180	4900	4750	АФС 1947	0,2	0,2		
4200	4200	5050	4800	АФС 1947	0,5	0,3		
4000	4040	5100	4850	АФС 1947	1,0	0,9		
4040	4100	4900	4800	АФС 1947	0,6	0,5		
3420	4000	5200	4800	АФС 1947	0,6	0,3		
4500	4500	4900	4750	АФС 1947	—	—		
4000	4180	5160	4800	АФС 1947	0,5	0,4		
4500	4500	4950	4750	АФС 1947	0,1	0,1		

9,2

менее 0,1 км² каждый, общей площадью 0,4 км²**р. РИВАКДАРА**

устья р. Ханахандара (р. Гунт)

хребта, южный склон его отрога

4420	4480	4920	4700	АФС 1947	0,3	0,3		
4600	4600	4860	4650	АФС 1947	—	—		
4440	4560	4920	4700	АФС 1947	0,2	0,1		
4600	4600	4800	4650	АФС 1947	0,1	0,1		
4680	4680	5060	4750	АФС 1947	0,1	0,1		
4500	4500	4820	4650	АФС 1947	—	—		
4880	4880	5100	4950	АФС 1947	0,1	0,1		
4800	4800	5240	4900	АФС 1947	0,2	0,2		
4760	4760	5280	4900	АФС 1947	0,2	0,2		

№ по схеме	Название	Название реки, вытекающей из ледника	Морфологический тип	Общая экспозиция	Наибольшая длина, км		Площадь, км ²	
					всего ледника	в том числе открытой части	всего ледника	в том числе открытой части
1	2	3	4	5	6	7	8	9
551	№ 551	пр. р. Ривакдара	асимм. дол.	3	2,2	1,4	0,8	0,5
552	№ 552	пр. р. Ривакдара	кар.	3	0,7	0,7	0,1	0,1
553	№ 553	Ривакдара	сл. дол.	C	3,6	2,6	4,8	4,2
554*	№ 554		дол.	3	1,5	1,5	0,7	0,7
555	№ 555	пр. р. Ривакдара	кар.	CB	0,7	0,7	0,2	0,2
556	№ 556	пр. р. Ривакдара	кар.-дол.	C	1,0	1,0	0,2	0,2
557	№ 557	пр. р. Ривакдара	дол.	C3	2,7	2,7	2,0	2,0
558*	№ 558		кар.	C3	0,8	0,8	0,1	0,1
559	№ 559	пр. р. Ривакдара	дол.	C	2,3	2,0	0,7	0,6
560	№ 560	пр. р. Ривакдара	дол.	C	2,4	2,4	1,4	1,4
561	№ 561	пр. р. Ривакдара	дол.	C	2,5	2,3	2,4	2,4
562	№ 562	пр. р. Ривакдара	дол.	C	2,4	2,1	1,1	1,0
563*	№ 563		кар.-дол.	C	1,3	1,3	0,4	0,4
564	№ 564	пр. р. Ривакдара	дол.	C	2,2	2,2	1,0	1,0
565	№ 565	пр. р. Ривакдара	дол.	C	2,5	1,9	2,7	2,4
566*	№ 566		кар.	C	1,0	1,0	0,4	0,4
567	№ 567	пр. р. Ривакдара	вис.	C	0,3	0,3	0,1	0,1

26 ледников

22,4

Кроме того, в бассейне верховьев р. Ривакдара выше устья р. Ханахандара имеется 11 ледников размерами менее 0,1 км²

Итого 37 ледников

22,8

Бассейны левых притоков р. Ривакдара от Северные склоны Шугнанского

568	№ 568	Ханахандара	дол.	C	2,6	2,4	1,6	1,4
569	№ 569	пр. р. Ханахандара	склон.	CB	0,8	0,8	0,5	0,5
570	№ 570	пр. р. Ханахандара	вис.	C	0,6	0,6	0,1	0,1
571	№ 571	пр. р. Ханахандара	кар.	CB	0,6	0,6	0,2	0,2
572	№ 572	пр. р. Ханахандара	склон.	C	0,7	0,7	0,2	0,2
573	№ 573	пр. р. Ханахандара	дол.	C	1,4	1,4	0,7	0,7
574	№ 574	пр. р. Ривакдара	вис.	C	0,6	0,6	0,1	0,1
575*	№ 575	пр. р. Ривакдара	сл. дол.	C	2,0	1,5	2,2	1,7
576	№ 576	пр. р. Зиргоздара	склон.	C3	0,4	0,4	0,1	0,1
577	№ 577	Зиргоздара	дол.	C3	3,1	2,8	2,5	2,3
578	№ 578	пр. р. Зиргоздара	склон.	CB	0,6	0,6	0,2	0,2
579	№ 579	пр. р. Зиргоздара	склон	C	0,5	0,5	0,2	0,2
580	№ 580	пр. р. Зиргоздара	вис.	C	0,4	0,4	0,2	0,2
581	№ 581	пр. р. Зиргоздара	кар.-дол.	C3	0,9	0,9	0,2	0,2
582	№ 582	пр. р. Зиргоздара	прискл.	C3	0,4	0,4	0,1	0,1
583*	№ 583	пр. р. Зиргоздара	склон.	C	1,0	1,0	1,8	1,7
584	№ 584	пр. р. Зиргоздара	склон.	C3	0,4	0,4	0,2	0,2
585	№ 585	пр. р. Зиргоздара	склон.	CB	0,4	0,4	0,1	0,1
586	№ 586	пр. р. Зиргоздара	кар.-дол.	C	1,0	1,0	0,3	0,3
587	№ 587	пр. р. Зиргоздара	дол.	C	1,4	1,2	0,5	0,4
588*	№ 588	пр. р. Зиргоздара	сл. дол.	CB	2,3	1,7	1,8	1,3
589*	№ 589		кар.-дол.	CB	1,2	1,2	0,3	0,3
590	№ 590	пр. р. Зиргоздара	асимм.	C, CB	1,9	1,4	1,0	0,6
			дол.					
591*	№ 591		кар.	CB	0,6	0,6	0,2	0,2
592*	№ 592	пр. р. Зиргоздара	дол.	C	1,2	1,2	0,4	0,4
593*	№ 593	пр. р. Зиргоздара	дол.	C	1,6	1,4	0,7	0,6
594	№ 594	пр. р. Зиргоздара	кар.	CB	0,6	0,6	0,2	0,2
595	№ 595	пр. р. Тагликхас	вис.	C	0,4	0,4	0,3	0,3
596		Тагликхас	склон.	C	0,8	0,8	1,2	1,2
597	№ 597	пр. р. Тагликхас	склон.	C	0,6	0,6	0,4	0,4
598	№ 598	пр. р. Тагликхас	склон.	CB	0,6	0,6	0,2	0,2
599	№ 599	пр. р. Тагликхас	склон.	C	0,4	0,4	0,1	0,1
600	№ 600	пр. р. Тагликхас	кар.	B	0,5	0,5	0,1	0,1
601	№ 601	Биджандара	кар.-дол.	C	1,2	0,6	0,4	0,3
602	№ 602	пр. р. Биджандара	кар.	C	0,6	0,6	0,1	0,1
603	№ 603	пр. р. Биджандара	вис.	CB	0,4	0,4	0,1	0,1
604	№ 604	пр. р. Ривакдара	вис.	C	0,4	0,4	0,1	0,1
605	№ 605	пр. р. Ривакдара	прискл.	C	0,4	0,4	0,1	0,1

38 ледников

19,7

Кроме того, в бассейнах левых притоков р. Ривакдара от устья р. Ханахандара и ниже имеется 16 ледников размерами

Итого 54 ледника

20,4

Всего в бассейне р. Ривакдара имеется 91 ледник общей площадью 43,2 км², в том числе 64 ледника размерами 0,1 км² дый, общей площадью 1,1 км².

Высота, м			Фирновая линия		Площадь области аблации, км ²		Объем льда, км ³	Ссылки на последующие таблицы (иллюстрации) № таблиц и иллюстраций поярковые № сведений в таблицах
найменшей точки конца ледника	найменшей точки открытой части ледника	высшей точки ледника	высота, м	способ определения и год	общая	в том числе открытой части		
10	11	12	13	14	15	16	17	18
4520	4600	5120	4900	АФС 1947	0,5	0,2		
4920	4920	5060	4950	АФС 1947	—	—		
4340	4480	5140	4700	АФС 1947	1,9	1,3		
4860	4860	5220	4900	АФС 1947	0,1	0,1		
4600	4600	4960	4750	АФС 1947	0,1	0,1		
4400	4400	4920	4700	АФС 1947	0,1	0,1		
4560	4560	5200	4750	АФС 1947	0,7	0,7		
4820	4820	5020	4850	АФС 1947	—	—		
4480	4520	5120	4750	АФС 1947	0,4	0,3		
4580	4580	5140	4800	АФС 1947	0,6	0,6		
4460	4500	5260	4750	АФС 1947	0,7	0,7		
4460	4540	5220	4750	АФС 1947	0,5	0,4		
4620	4620	5040	4750	АФС 1947	0,1	0,1		
4600	4600	5140	4750	АФС 1947	0,3	0,3		
4360	4400	5300	4700	АФС 1947	1,3	1,0		
4540	4540	4920	4700	АФС 1947	0,2	0,2		
4460	4460	4800	4600	АФС 1947	—	—		

8,7

каждый, общей площадью 0,4 км²

Устье р. Ханахандара и ниже (реки Ривакдара, Гунт)

хребта и его отрогов

4400	4440	5160	4700	АФС 1947	0,9	0,7		
4540	4540	4840	4650	АФС 1947	0,3	0,3		
4480	4480	4780	4600	АФС 1947	—	—		
4580	4580	4840	4650	АФС 1947	0,1	0,1		
4520	4520	4860	4650	АФС 1947	—	—		
4500	4500	5040	4650	АФС 1947	0,3	0,3		
4580	4580	4900	4650	АФС 1947	—	—		
4320	4460	5100	4800	АФС 1947	1,1	0,6		
4700	4700	4940	4750	АФС 1947	—	—		
4560	4600	5240	4750	АФС 1947	0,8	0,6		
4560	4560	4900	4600	АФС 1947	0,1	0,1		
4540	4540	4820	4600	АФС 1947	0,1	0,1		
4520	4520	4760	4600	АФС 1947	0,1	0,1		
4700	4700	4920	4750	АФС 1947	—	—		
4580	4580	4700	4650	АФС 1947	0,1	0,1		
4520	4520	5040	4700	АФС 1947	0,5	0,4		
4480	4480	4680	4600	АФС 1947	0,1	0,1		
4380	4380	4640	4550	АФС 1947	—	—		
4380	4380	4800	4550	АФС 1947	0,1	0,1		
4200	4300	4880	4550	АФС 1947	0,3	0,2		
4160	4420	4920	4600	АФС 1947	1,0	0,5		
4560	4560	4980	4650	АФС 1947	0,1	0,1		
4160	4260	4880	4550	АФС 1947	0,6	0,2		
4520	4520	4800	4600	АФС 1947	0,1	0,1		
4160	4160	4820	4500	АФС 1947	0,2	0,2		
4120	4160	4900	4500	АФС 1947	0,4	0,3		
4480	4480	4700	4550	АФС 1947	0,1	0,1		
4440	4440	4680	4550	АФС 1947	0,1	0,1		
4340	4340	4840	4600	АФС 1947	0,6	0,6		
4360	4360	4770	4550	АФС 1947	0,2	0,2		
4340	4340	4620	4500	АФС 1947	0,1	0,1		
4460	4460	4600	4500	АФС 1947	—	—		
4520	4520	4740	4600	АФС 1947	—	—		
3900	4200	4520	4400	АФС 1947	0,2	0,1		
4340	4340	4600	4400	АФС 1947	—	—		
4380	4380	4620	4400	АФС 1947	—	—		
4200	4200	4580	4400	АФС 1947	—	—		
4060	4060	4340	4300	АФС 1947	0,1	0,1		

8,7

менее 0,1 км² каждый, общей площадью 0,7 км².и более каждый, общей площадью 42,1 км² (из них 3,7 км² покрыто мореной) и 27 ледников размерами менее 0,1 км² каж-

№ по схеме	Название	Название реки, вытекающей из ледника	Морфологический тип	Общая экспозиция	Наибольшая длина, км		Площадь, км ²	
					всего ледника	в том числе открытой части	всего ледника	в том числе открытой части
1	2	3	4	5	6	7	8	9

Бассейн р. Шашвоз								
Северный склон отрога								
606	№ 606	Шашвоздара	вис.	C3	0,4	0,4	0,2	0,2
607*	№ 607	пр. р. Шашвоздара	вис.	C	0,2	0,2	0,1	0,1
2 ледника							0,3	

Бассейн р. Шорип								
Северо-западный склон								
608	№ 608	пр. р. Колхозабад	кар.	C	0,6	0,6	0,2	0,2
609	№ 609	Колхозабад	дол.	C3	1,8	1,2	1,2	0,8
610*	№ 610		кар.-дол.	C3	1,0	1,0	0,2	0,2
611*	№ 611		кар.	C	0,5	0,5	0,1	0,1
612	№ 612	пр. р. Юпень	склон.	C	0,6	0,6	0,3	0,3
613	№ 613	пр. р. Юпень	склон.	C	1,1	1,0	0,6	0,6
614	№ 614	пр. р. Юпень	дол.	C	1,2	1,0	0,6	0,5
615	№ 615	пр. р. Юпень	дол.	C	1,6	1,2	1,0	0,8
616*	№ 616	пр. р. Шорипдара	дол.	C	1,4	1,3	0,5	0,5
617*	№ 617	пр. р. Шорипдара	дол.	C	1,4	1,3	0,5	0,5
618	№ 618	Шорипдара	дол.	C	1,9	1,5	1,6	1,4
619	№ 619	пр. р. Шорипдара	кар.	C	0,3	0,3	0,2	0,2
620	№ 620	пр. р. Шорипдара	кар.-вис.	C3	0,6	0,6	0,2	0,2
621	№ 621	пр. р. Шорипдара	кар.	C3	0,7	0,7	0,2	0,2
622*	№ 622	пр. р. Шорипдара	дол.	C	1,9	1,7	2,1	2,0
623*	№ 623	пр. р. Шорипдара	кар.-дол.	C	1,0	0,8	0,6	0,5
624	№ 624	пр. р. Шорипдара	кар.-вис.	C	0,6	0,6	0,1	0,1
625	№ 625	пр. р. Шорипдара	склон.	C	0,8	0,8	0,3	0,3
18 ледников							10,5	

Кроме того, в бассейне р. Шорипдара имеется 13 ледников размерами менее 0,1 км² каждый, общей площадью 0,6 км².

Итого 31 ледник

11,1

Бассейн р. Багыв								
Северный склон								
626	№ 626	пр. р. Багывдара	склон.	C3	0,6	0,6	0,2	0,2
627	№ 627	пр. р. Урмочдара	склон.	C	0,6	0,6	0,3	0,3
628	№ 628	пр. р. Урмочдара	склон.	C	0,7	0,7	0,5	0,5
629	№ 629	пр. р. Урмочдара	склон.	C	0,7	0,7	0,2	0,2
630	№ 630	пр. р. Урмочдара	склон.	C	0,9	0,9	0,5	0,5
631	№ 631	пр. р. Урмочдара	склон.	C	0,4	0,4	0,1	0,1
632	№ 632	пр. р. Урмочдара	дол.	C	1,9	1,7	1,8	1,7
633	№ 633	пр. р. Урмочдара	склон.	C3	0,6	0,6	0,3	0,3
634	№ 634	пр. р. Урмочдара	кар.-дол.	C	0,8	0,6	0,3	0,2
635	№ 635	пр. р. Урмочдара	кар.	C3	0,6	0,6	0,1	0,1
636	№ 636	пр. р. Урмочдара	кар.-дол.	CB	0,8	0,5	0,2	0,1
637	№ 637	пр. р. Урмочдара	кар.	CB	0,5	0,5	0,1	0,1
12 ледников							4,6	

Кроме того, в бассейне р. Багывдара имеется 3 ледника размерами менее 0,1 км² каждый, общей площадью 0,1 км².

Итого 15 ледников

4,7

Всего в бассейнах левых нижних притоков р. Гунта имеется 204 ледника общей площадью 103,1 км², в том числе 145 ледников размерами менее 0,1 км² каждый, общей площадью 2,7 км².

ПРАВЫЕ ПРИ								
Бассейн р. Тавдымдара								
Южный склон								
638*	№ 638	Тавдымдара	кар.	C	0,9	0,9	0,2	0,2
639	№ 639	пр. р. Тавдымдара	кар.-вис.	C	0,5	0,5	0,1	0,1
2 ледника							0,3	

Кроме того, в бассейне р. Тавдымдара имеется 2 ледника размерами менее 0,1 км² каждый, общей площадью 0,1 км².

Итого 4 ледника

0,4

Высота, м			Фирновая линия		Площадь области аблации, км ²		Ссылки на последующие таблицы (иллюстрации)	
низшей точки конца ледника	низшей точки открытой части ледника	высшей точки ледника	высота, м	способ определения и год	общая	в том числе открытой части		
10	11	12	13	14	15	16	17	18

дара (р. Гунт)

Шугнанского хребта

4340	4340	4900	4400	АФС 1947 АФС 1947	0,1	0,1		
4500	4500	4760			—	0,1		

дара (р. Гунт)

Шугнанского хребта

4540	4540	4700	4600	АФС 1947	0,1	0,1		
4400	4520	4900	4650	АФС 1947	0,7	0,3		
4580	4580	4840	4650	АФС 1947	—	—		
4520	4520	4720	4600	АФС 1947	—	—		
4600	4600	4860	4650	АФС 1947	0,1	0,1		
4520	4560	4920	4650	АФС 1947	0,2	0,2		
4520	4560	4880	4650	АФС 1947	0,3	0,2		
4320	4440	4940	4600	АФС 1947	0,5	0,3		
4520	4540	5100	4600	АФС 1947	0,2	0,2		
4500	4520	5200	4600	АФС 1947	0,2	0,2		
4320	4400	5040	4600	АФС 1947	0,6	0,4		
4440	4440	4680	4600	АФС 1947	0,2	0,2		
4560	4560	4860	4600	АФС 1947	—	—		
4560	4560	4840	4600	АФС 1947	—	—		
4300	4320	5000	4600	АФС 1947	1,1	1,0		
4340	4400	4820	4550	АФС 1947	0,3	0,2		
4540	4540	4820	4600	АФС 1947	—	—		
4400	4400	4840	4550	АФС 1947	0,1	0,1		

4,6

дара (р. Гунт)

Шугнанского хребта

4540	4540	4760	4600	АФС 1947	0,1	0,1		
4480	4480	4760	4600	АФС 1947	0,1	0,1		
4440	4440	4900	4600	АФС 1947	0,2	0,2		
4540	4540	4920	4600	АФС 1947	—	—		
4380	4380	4880	4600	АФС 1947	0,2	0,2		
4540	4540	4740	4600	АФС 1947	—	—		
4400	4440	5020	4600	АФС 1947	0,6	0,5		
4520	4520	4840	4600	АФС 1947	0,1	0,1		
4400	4480	4700	4550	АФС 1947	0,2	0,1		
4420	4420	4600	4500	АФС 1947	—	—		
4400	4460	4800	4600	АФС 1947	0,1	—		
4480	4480	4680	4550	АФС 1947	—	—		

1,6

ников размерами 0,1 км² и более каждый, общей площадью 100,4 км² (из них 8,6 км² покрыто мореной) и 59 ледников**р. Шахдара**

ТОКИ р. ШАХДАРА

(реки Шахдара, Гунт)

Шугнанского хребта

4650	4650	4900	4750	АФС 1947	0,1	0,1		
4600	4600	4840	4750	АФС 1947	—	0,1		

0,1

№ по схеме	Название	Название реки, вытекающей из ледника	Морфологический тип	Общая экспозиция	Наибольшая длина, км		Площадь, км ²	
					всего ледника	в том числе открытой части	всего ледника	в том числе открытой части
1	2	3	4	5	6	7	8	9

Бассейн р. Анджандара

Южный склон

640	№ 640	пр. р. Видондара	кар.-вис.	C	0,7	0,7	0,2	0,2
641	№ 641	Видондара	вис.	C	0,5	0,5	0,1	0,1
642	№ 642	пр. р. Видондара	вис.	C	0,4	0,4	0,1	0,1
643	№ 643	пр. р. Видондара	кар.	C	0,5	0,5	0,1	0,1
644	№ 644	пр. р. Видондара	склон.	C	1,3	1,3	0,5	0,5

5 ледников

Кроме того, в бассейне р. Анджандара имеется 3 ледника размерами менее 0,1 км² каждый, общей площадью 0,2 км²

Итого 8 ледников

Бассейн р. Заночдара

Северо-восточный

645	№ 645	пр. р. Заночдара	склон.	C	0,4	0,4	0,1	0,1
646*	№ 646	пр. р. Заночдара	кар.	C	0,5	0,5	0,1	0,1
647*	№ 647	пр. р. Заночдара	кар.	CB	0,5	0,5	0,1	0,1

3 ледника

Кроме того, в бассейне р. Заночдара имеется 2 ледника размерами менее 0,1 км² каждый, общей площадью 0,1 км²

Итого 5 ледников

Бассейн р. Чандымдара

Южный склон

648	№ 648	пр. р. Чандымдара	вис.	C	0,5	0,5	0,1	0,1
649	№ 649	пр. р. Чандымдара	склон.	C	0,6	0,6	0,2	0,2
650*	№ 650	пр. р. Чандымдара	кар.	C	0,8	0,8	0,2	0,2
651*	№ 651	пр. р. Чандымдара	склон.	C	1,2	1,2	0,8	0,8
652*	№ 652	пр. р. Чандымдара	склон.	C, CB	1,8	1,8	1,4	1,4
653*	№ 653	пр. р. Чандымдара	кар.	CB	0,8	0,8	0,2	0,2
654*	№ 654	пр. р. Чандымдара	кар.	C	0,5	0,5	0,1	0,1
655	№ 655	пр. р. Чандымдара	склон.	C	1,0	1,0	0,5	0,5
656	№ 656	пр. р. Чандымдара	присклон.	C	0,4	0,4	0,2	0,2
657	№ 657	пр. р. Хцумецдара	вис.	C	0,3	0,3	0,1	0,1
658	№ 658	пр. р. Хцумецдара	кар.-дол.	C	0,8	0,8	0,3	0,3
659	№ 659	пр. р. Хцумецдара	кар.-дол.	CB	0,9	0,9	0,4	0,4
660	№ 660	пр. р. Хцумецдара	вис.	C	0,3	0,3	0,1	0,1
661	№ 661	пр. р. Хцумецдара	кар.-вис.	C	0,5	0,5	0,1	0,1
662*	№ 662	пр. р. Хцумецдара	склон.	C	0,9	0,9	0,3	0,3
663*	№ 663	пр. р. Хцумецдара	присклон.	C	0,6	0,6	0,3	0,3
664	№ 664	пр. р. Шавиашдара	кар.-дол.	C	1,4	1,4	0,7	0,7
665	№ 665	пр. р. Шавиашдара	дол.	C	1,7	1,7	0,7	0,7
666	№ 666	пр. р. Шавиашдара	кар.-дол.	C	1,3	1,3	0,6	0,6
667	№ 667	Шавиашдара	склон.	C	1,7	1,7	1,7	1,7
668	№ 668	пр. р. Чандымдара	вис.	C	0,5	0,5	0,1	0,1
669*	№ 669	пр. р. Чандымдара	вис.	C	0,9	0,9	0,2	0,2
670*	№ 670	пр. р. Чандымдара	склон.	C	1,1	1,1	0,5	0,5
671	№ 671	пр. р. Хаджаротдара	склон.	CB	0,6	0,6	0,1	0,1
672*	№ 672	пр. р. Хаджаротдара	склон.	C	1,6	1,6	0,6	0,6
673*	№ 673	пр. р. Хаджаротдара	присклон.	CB	0,4	0,4	0,1	0,1
674	№ 674	пр. р. Хаджаротдара	вис.	CB	0,6	0,6	0,2	0,2
675*	№ 675	пр. р. Хаджаротдара	кар.-дол.	C	1,6	1,6	1,0	1,0
676*	№ 676	пр. р. Хаджаротдара	присклон.	C	0,7	0,7	0,3	0,3
677	№ 677	пр. р. Хаджаротдара	присклон.	C	0,5	0,5	0,1	0,1
678	№ 678	пр. р. Хаджаротдара	склон.	CB	0,6	0,6	0,1	0,1
679	№ 679	пр. р. Ойдерегдара	вис.	CB	0,5	0,5	0,1	0,1
680	№ 680	пр. р. Ойдерегдара	кар.-дол.	CB	1,2	1,2	0,3	0,3
681	№ 681	Ойдерегдара	кар.-дол.	CB	1,2	1,2	0,4	0,4
682	№ 682	пр. р. Ойдерегдара	кар.-вис.	ЮВ	0,6	0,6	0,1	0,1
683	№ 683	пр. р. Ойдерегдара	кар.-вис.	ЮЗ	0,6	0,6	0,1	0,1
684	№ 684	пр. р. Ойдерегдара	склон.	C3	0,8	0,8	0,2	0,2

37 ледников

Кроме того, в бассейне р. Чандымдара имеется 21 ледник размерами менее 0,1 км² каждый, общей площадью 1,0 км²

Итого 58 ледников

Высота, м			Фирновая линия		Площадь области аблации, км ²		Объем льда, км ³	Ссылки на последующие таблицы (иллюстрации)
нижней точки конца ледника	нижней точки открытой части ледника	высшей точки ледника	высота, м	способ определения и год	общая	в том числе открытой части		
10	11	12	13	14	15	16	17	18

(реки Шахдара, Гунт)

склон гор Рошткала

4520	4520	4700	4650	АФС 1947	0,1	0,1		
4590	4590	4680	4650	АФС 1947	—	—		
4680	4680	4820	4750	АФС 1947	—	—		
4450	4450	4700	4600	АФС 1947	—	—		
4460	4460	5200	4600	АФС 1947	0,1	0,1		
					0,2			

(реки Шахдара, Гунт)

Шугнанского хребта

4680	4680	4920	4750	АФС 1947	—	—		
4700	4700	4920	4750	АФС 1947	—	—		
4700	4700	4880	4750	АФС 1947	—	—		

(реки Шахдара, Гунт)

Шугнанского хребта

4600	4600	4880	4800	АФС 1947	—	—		
4600	4600	4900	4800	АФС 1947	0,1	0,1		
4500	4500	4860	4700	АФС 1947	0,1	0,1		
4480	4480	4940	4700	АФС 1947	0,3	0,3		
4540	4540	4960	4700	АФС 1947	0,5	0,5		
4550	4550	4780	4700	АФС 1947	0,1	0,1		
4480	4480	4720	4650	АФС 1947	—	—		
4500	4500	4920	4700	АФС 1947	0,3	0,2		
4640	4640	4820	4700	АФС 1947	0,1	0,1		
4600	4600	4800	4750	АФС 1947	—	—		
4580	4580	5000	4750	АФС 1947	0,2	0,2		
4580	4580	4960	4750	АФС 1947	0,2	0,2		
4620	4620	4800	4700	АФС 1947	—	—		
4640	4640	4820	4700	АФС 1947	—	—		
4560	4560	4880	4700	АФС 1947	0,1	0,1		
4600	4600	4800	4700	АФС 1947	0,2	0,2		
4440	4440	5000	4700	АФС 1947	0,3	0,3		
4450	4450	5120	4700	АФС 1947	0,2	0,2		
4600	4600	5080	4750	АФС 1947	0,2	0,2		
4580	4580	5100	4800	АФС 1947	0,9	0,9		
4700	4700	4980	4850	АФС 1947	—	—		
4680	4680	5100	4850	АФС 1947	0,1	0,1		
4700	4700	5100	4850	АФС 1947	0,2	0,2		
4580	4580	4840	4800	АФС 1947	—	—		
4520	4520	5100	4800	АФС 1947	0,2	0,2		
4560	4560	4700	4650	АФС 1947	—	—		
4680	4680	5000	4850	АФС 1947	0,1	0,1		
4480	4480	5150	4700	АФС 1947	0,4	0,4		
4580	4580	4740	4650	АФС 1947	0,1	0,1		
4640	4640	4760	4650	АФС 1947	—	—		
4800	4800	5020	4850	АФС 1947	—	—		
4650	4650	4800	4750	АФС 1947	—	—		
4610	4610	5160	4750	АФС 1947	0,1	0,1		
4720	4720	5200	4800	АФС 1947	0,1	0,1		
4900	4900	5080	5000	АФС 1947	—	—		
5000	5000	5120	5050	АФС 1947	—	—		
4800	4800	5120	4850	АФС 1947	—	—		

рис. 4

рис. 4

рис. 9

рис. 9

5,1

№ по схеме	Название	Название реки, вытекающей из ледника	Морфологический тип	Общая экспозиция	Наибольшая длина, км		Площадь, км ²	
					всего ледника	в том числе открытой части	всего ледника	в том числе открытой части
1	2	3	4	5	6	7	8	9

Бассейн р. Друмдара

Южный склон

685	№ 685	пр. р. Друмдара	склон.	СВ	0,5	0,5	0,1	0,1
686	№ 686	пр. р. Друмдара	вис.	С	0,5	0,5	0,1	0,1
687	№ 687	пр. р. Друмдара	склон.	СВ	0,6	0,6	0,2	0,2
688	№ 688	пр. р. Друмдара	присклон.	СВ	0,6	0,6	0,2	0,2
689	№ 689	пр. р. Друмдара	присклон.	СВ	0,9	0,9	1,0	1,0
690*	№ 690	пр. р. Друмдара	асимм. дол.	ЮВ	1,8	1,8	0,5	0,5
691	№ 691	пр. р. Друмдара	кар.	ЮЗ	0,7	0,7	0,2	0,2
692	№ 692	пр. р. Друмдара	склон.	СВ	0,6	0,6	0,1	0,1
693	№ 693	пр. р. Друмдара	склон.	СВ	0,6	0,6	0,1	0,1
694	№ 694	пр. р. Друмдара	дол.	В, Ю	1,5	1,5	0,6	0,6
695	№ 695	пр. р. Друмдара	склон.	ЮВ	0,6	0,6	0,4	0,4
696	№ 696	пр. р. Друмдара	вис.	ЮВ	0,6	0,6	0,1	0,1
697	№ 697	пр. р. Друмдара	вис.	ЮЗ	0,6	0,6	0,1	0,1
698	№ 698	пр. р. Друмдара	вис. дол.	В	1,3	1,3	0,3	0,3
699	№ 699	пр. р. Друмдара	кар.-вис.	В	0,7	0,7	0,2	0,2
700*	№ 700	пр. р. Друмдара	присклон.	ЮЗ	0,5	0,5	0,1	0,1
701*	№ 701	пр. р. Друмдара	вис.	ЮЗ	0,8	0,8	0,2	0,2
702	№ 702	пр. р. Друмдара	дол.	ЮЗ	1,4	1,4	0,5	0,5
703*	№ 703	Друмдара	дол.	Ю	3,2	3,2	2,2	2,2
704*	№ 704	пр. р. Друмдара	дол.	Ю	1,3	1,3	0,7	0,7
705	№ 705	пр. р. Друмдара	вис.	З	0,4	0,4	0,1	0,1
706	№ 706	пр. р. Друмдара	вис.	З	0,7	0,7	0,1	0,1
707	№ 707	пр. р. Друмдара	склон.	СЗ	0,8	0,8	0,6	0,6
708*	№ 708	пр. р. Друмдара	вис.	ЮЗ	1,0	1,0	0,3	0,3
709	№ 709	пр. р. Друмдара	склон.	С	0,8	0,8	0,6	0,6
710*	№ 710	пр. р. Друмдара	склон.	З	0,7	0,7	0,2	0,2
711	№ 711	пр. р. Друмдара	дол.	С	1,1	1,1	0,5	0,5
712	№ 712	пр. р. Друмдара	склон.	СЗ	0,9	0,9	0,2	0,2

28 ледников

Кроме того, в бассейне р. Друмдара имеется 17 ледников размерами менее 0,1 км² каждый, общей площадью 0,6 км²

Итого 45 ледников

11,1

Бассейн р. Немос

Южный склон

713	№ 713	пр. р. Немос	дол.	В	0,9	0,9	0,2	0,2
714	№ 714	пр. р. Немос	кар.-вис.	С	1,0	1,0	0,3	0,3
715	№ 715	пр. р. Немос	асимм.	дол.	С	1,7	1,7	0,5
716	№ 716	пр. р. Немос	присклон.	СВ	0,7	0,6	0,2	0,2
717*	№ 717	пр. р. Немос	дол.	СВ	2,2	2,0	1,2	1,1
718*	№ 718	пр. р. Немос	кар.-дол.	СВ	0,9	0,9	0,3	0,3
719	№ 719	пр. р. Немос	присклон.	В	0,7	0,7	0,2	0,2
720*	№ 720	пр. р. Немос	дол.	ЮВ	1,6	1,6	1,2	1,2
721	№ 721	пр. р. Немос	склон.	Ю	1,0	1,0	0,4	0,4
722	№ 722	пр. р. Немос	склон.	Ю	0,7	0,7	0,1	0,1
723	№ 723	пр. р. Немос	вис.	СВ	1,0	1,0	0,3	0,3
724	№ 724	пр. р. Немос	асимм.	В	1,4	1,4	0,5	0,5
			дол.					
725	№ 725	пр. р. Немос	дол.	В	1,9	1,9	0,8	0,8
726	№ 726	пр. р. Немос	склон.	ЮВ	0,8	0,8	0,1	0,1
727	№ 727	Немос	дол.	Ю, ЮВ	3,0	3,0	1,1	1,1
728*	№ 728		дол.	Ю	0,9	0,9	0,2	0,2
729*	№ 729		дол.	ЮЗ	1,2	1,2	0,3	0,3
730*	№ 730	Немос	дол.	Ю, ЮЗ	2,4	2,4	1,0	1,0

18 ледников

8,9

Кроме того, в бассейне р. Немос имеется 4 ледника размерами менее 0,1 км² каждый, общей площадью 0,2 км²

Итого 22 ледника

9,1

Бассейн р. Айрансу

Южный склон

731	№ 731	пр. р. Айрансу	вис.	СВ	0,5	0,5	0,1	0,1
732	№ 732	пр. р. Айрансу	кар.	СВ	0,6	0,6	0,2	0,2
733	№ 733	пр. р. Айрансу	кар.	ЮВ	0,6	0,6	0,1	0,1
734	№ 734	пр. р. Айрансу	кар.-дол.	В	1,0	1,0	0,2	0,2

Высота, м			Фирновая линия		Площадь области аблации, км ²		Объем льда, км ³	Ссылки на последующие таблицы (илюстрации) № таблиц и иллюстраций порядковые № сведений в таблицах
нижней точки конца ледника	нижней точки открытой части ледника	высшей точки ледника	высота, м	способ определения и год	общая	в том числе открытой части		
10	11	12	13	14	15	16	17	18

(реки Шахдара, Гунт)

Шугнанского хребта

4840	4840	5100	4900	АФС 1947	—	—		
4700	4700	4880	4850	АФС 1947	—	—		
4720	4720	5220	4900	АФС 1947	0,1	0,1		
4700	4700	5100	4900	АФС 1947	0,1	0,1		
4740	4740	5020	4900	АФС 1947	0,5	0,5		
4840	4700	5120	5000	АФС 1947	0,2	0,2		
5080	5080	5380	5200	АФС 1947	—	—		
4900	4900	5150	5000	АФС 1947	—	—		
4960	4960	5160	5000	АФС 1947	—	—		
4880	4880	5360	5000	АФС 1947	0,4	0,4		
5100	5100	5250	5150	АФС 1947	0,1	0,1		
4960	4960	5200	(5050)	АФС 1947	—	—		
5000	5000	5180	(5050)	АФС 1947	—	—		
4660	4660	5360	4950	АФС 1947	0,1	0,1		
4780	4780	5200	4950	АФС 1947	—	—		
4980	4980	5080	5050	АФС 1947	—	—		
5120	5120	5380	—	АФС 1947	—	—		
4950	4950	5460	5050	АФС 1947	0,2	0,2		
4880	4880	5300	5050	АФС 1947	1,2	1,2		
5000	5000	5340	5050	АФС 1947	0,1	0,1		
5060	5060	5160	5100	АФС 1947	—	—		
4960	4960	5320	5100	АФС 1947	—	—		
4660	4660	5100	4900	АФС 1947	0,2	0,2		
5080	5080	5400	—	АФС 1947	—	—		
4740	4740	5080	4900	АФС 1947	0,2	0,2		
4960	4960	5150	5050	АФС 1947	0,1	0,1		
4840	4840	5100	4950	АФС 1947	0,2	0,2		
5020	5020	5060	5050	АФС 1947	—	—		

3,7

(реки Шахдара, Гунт)

Шугнанского хребта

4740	4740	5100	4900	АФС 1947	0,1	0,1		
4580	4580	5150	4900	АФС 1947	0,1	0,1		
4520	4520	5140	4900	АФС 1947	0,3	0,3		
4700	4720	4860	4800	АФС 1947	0,2	0,2		
4620	4680	5400	4950	АФС 1947	0,5	0,4		
4760	4760	5200	4950	АФС 1947	0,1	0,1		
4900	4900	5180	5050	АФС 1947	0,1	0,1		
4880	4880	5280	5050	АФС 1947	0,6	0,6		
5040	5040	5220	(5100)	АФС 1947	0,2	0,2		
5040	5040	5320	(5100)	АФС 1947	—	—		
4740	4740	5250	4900	АФС 1947	0,1	0,1		
4760	4760	5200	4900	АФС 1947	0,2	0,2		
4720	4720	5140	4900	АФС 1947	0,4	0,4		
4880	4880	5300	4950	АФС 1947	—	—		
4760	4760	5360	5100	АФС 1947	0,6	0,6		
5020	5020	5320	5100	АФС 1947	0,1	0,1		
4940	4940	5300	5050	АФС 1947	0,1	0,1		
4800	4800	5660	5100	АФС 1947	0,6	0,6		

4,3

(реки Шахдара, Гунт)

Шугнанского хребта

4840	4840	5000	4900	АФС 1947	—	—		
4760	4760	5650	4900	АФС 1947	0,1	0,1		
4860	4860	5120	5000	АФС 1947	—	—		
4740	4740	5120	4950	АФС 1947	0,1	0,1		

№ по схеме	Название	Название реки, вытекающей из ледника	Морфологический тип	Общая экспозиция	Наибольшая длина, км		Площадь, км ²	
					всего ледника	в том числе открытой части	всего ледника	в том числе открытой части
1	2	3	4	5	6	7	8	9

735*	№ 735	пр. р. Айрансу	вис. (перем.)	Ю	0,2	0,2	0,1	0,1
736*	№ 736	пр. р. Айрансу	сл. дол.	В	3,8	3,5	2,1	2,0
737*	№ 737		присклон.	ЮВ	0,3	0,3	0,1	0,1

7 ледников

Кроме того, в бассейне р. Айрансу имеется 3 ледника размерами менее 0,1 км² каждый, общей площадью 0,1 км²

Итого 10 ледников

Бассейн р. Дузахдара

Южный склон

738	№ 738	Дузахдара	склон.	СВ	1,3	1,3	0,5	0,5
739	№ 739	пр. р. Дузахдара	вис.	СЗ	0,3	0,3	0,1	0,1

2 ледника

Кроме того, в бассейне р. Дузахдара имеется 1 ледник площадью 0,05 км²

Итого 3 ледника

0,7

Всего в бассейнах правых притоков р. Шахдара имеется 155 ледников общей площадью 40,4 км², в том числе 102 ледника размером менее 0,1 км² каждый, общей площадью 2,4 км²

ЛЕВЫЕ ПРИТОКИ

Бассейн р. Кольджилга (реки Кокбай, Северный склон Южно-

740	№ 740	Кольджилга	кар.-дол.	С	1,6	1,6	0,6	0,6
741	№ 741	пр. р. Кольджилга	кар.-дол.	С	1,2	1,2	0,4	0,4
742	№ 742	пр. р. Кольджилга	кар.	С	0,6	0,6	0,1	0,1
743	№ 743	пр. р. Кольджилга	кар.	С	0,7	0,7	0,2	0,2
744	№ 744	пр. р. Кольджилга	кар.	С	0,7	0,7	0,1	0,1

5 ледников

Кроме того, в бассейне р. Кольджилга имеется 2 ледника размерами менее 0,1 км² каждый, общей площадью 0,1 км²

Итого 7 ледников

1,5

Бассейн р. Шальмац (реки Северный склон отрога

745	№ 745	Шальмац	дол.	С	1,7	1,4	0,7	0,6
746	№ 746	пр. р. Шальмац	вис.	С	0,9	0,9	0,2	0,2
747	№ 747	пр. р. Шальмац	кар.-вис.	С	1,1	1,1	0,6	0,6

3 ледника

1,5

Бассейн верховьев р. Джашангоз Северный склон отрога

748	№ 748	пр. р. Джашангоз	вис.	С3	0,5	0,5	0,1	0,1
749	№ 749	пр. р. Джашангоз	кар.	С	0,6	0,6	0,1	0,1
750	№ 750	пр. р. Джашангоз	кар.	С	0,5	0,5	0,2	0,2
751	№ 751	пр. р. Джашангоз	кар.	С	0,7	0,7	0,5	0,5
752	№ 752	Джаушангоз	дол.	С	3,4	3,1	3,3	3,2
753	№ 753	пр. р. Джашангоз	кар.-дол.	СВ	1,2	1,2	0,2	0,2
754*	№ 754	пр. р. Джашангоз	дол.	С	1,2	1,2	0,3	0,3
755*	№ 755	пр. р. Джашангоз	дол.	С	2,0	1,7	1,1	1,0
756*	№ 756	пр. р. Джашангоз	склон.	С	1,7	1,6	0,9	0,9
757*	№ 757	пр. р. Джашангоз	дол.	С	1,7	1,6	0,9	0,9
758*	№ 758	пр. р. Джашангоз	склон.	С	0,8	0,8	0,1	0,1

11 ледников

7,7

Бассейн р. Наспар (реки Северный склон Шахдаринского

759	№ 759	пр. р. Наспар	кар.	С3	0,8	0,8	0,2	0,2
760*	№ 760	пр. р. Наспар	сл. дол.	С	2,1	1,9	1,2	1,2
761*	№ 761	пр. р. Наспар	дол.	С	1,5	1,4	0,2	0,2
762*	№ 762	пр. р. Наспар	кар.-дол.	С	1,8	1,6	0,7	0,7
763*	№ 763	пр. р. Наспар	дол.	СВ	2,7	2,5	1,1	1,1
764	№ 764	пр. р. Наспар	кар.-дол.	С	0,9	0,9	0,2	0,2

Высота, м			Фирновая линия		Площадь области аблации, км ²		Ссылки на последующие таблицы (иллюстрации)	
найменшей точки конца ледника	найменшей точки открытой части ледника	высшей точки ледника	высота, м	способ определения и год	общая	в том числе открытой части	Объем льда, км ³	№ таблиц и иллюстраций
10	11	12	13	14	15	16	17	18
5020	5020	5260	5100	АФС 1947	—	—		
4680 4900	4740 4900	5650 5040	4950 5000	АФС 1947 АФС 1947	0,7 0,1	0,6 0,1		
					1,0			

(реки Шахдара, Гунт)

Шугнанского хребта

4780	4780	5160	5050	АФС 1947	0,2	0,2		
4840	4840	4960	4900	АФС 1947	—	—		
					0,2			

мерами 0,1 км² и более каждый, общей площадью38,0 км² (из них 0,2 км² покрыто мореной) и 53 ледника размерами

р. ШАХДАРА

Джаушангоз, Шахдара, Гунт)*

Аличурского хребта

4760	4760	5320	4950	АФС 1947	0,2	0,2		
4700	4700	5130	4900	АФС 1947	0,2	0,2		
4680	4680	4900	4850	АФС 1947	—	—		
4740	4740	4980	4900	АФС 1947	0,1	0,1		
4840	4840	4980	4900	АФС 1947	—	—		
					0,5			

Джаушангоз, Шахдара, Гунт)

Шахдаринского хребта

(4720)	4760	5240	4900	АФС 1947	0,3	0,2		
4760	4760	5320	4900	АФС 1947	0,1	0,1		
4640	4640	5260	4900	АФС 1947	0,3	0,3		
					0,7			

(реки Шахдара, Гунт)

Шахдаринского хребта

4760	4760	5100	4900	АФС 1947	—	—		
4800	4800	5120	4900	АФС 1947	—	—		
4840	4840	5120	4900	АФС 1947	0,1	0,1		
4700	4700	5000	4800	АФС 1947	0,2	0,2		
4600	4640	5460	4800	АФС 1947	0,6	0,5		
4840	4840	5300	4900	АФС 1947	—	—		
4520	4560	5250	4800	АФС 1947	0,1	0,1		
4500	4520	5400	4750	АФС 1947	0,4	0,3		
4580	4620	5280	4800	АФС 1947	0,4	0,4		
4600	4640	5280	4800	АФС 1947	0,4	0,4		
4760	4760	5200	4800	АФС 1947	—	—		
					2,2			

Джаушангоз, Шахдара, Гунт)

хребта и его отрога

4640	4640	5040	4700	АФС 1947	—	—		
4480	4520	5250	4750	АФС 1947	0,4	0,4		
4480	4520	5100	4700	АФС 1947	0,1	0,1		
4480	4540	4840	4700	АФС 1947	0,4	0,4		
4480	4540	5200	4750	АФС 1947	0,3	0,3		
4700	4720	5160	4800	АФС 1947	0,1	0,1		

№ по схеме	Название	Название реки, вытекающей из ледника	Морфологический тип	Общая экспозиция	Наибольшая длина, км		Площадь, км ²	
					всего ледника	в том числе открытой части	всего ледника	в том числе открытой части
1	2	3	4	5	6	7	8	9
765	№ 765	пр. р. Наспар	кар.	C	0,8	0,8	0,4	0,4
766	№ 766	пр. р. Наспар	вис. дол.	C3	1,7	1,7	0,4	0,4
767*	№ 767	пр. р. Наспар	склон.	C3	3,0	3,0	3,2	3,0
768*	№ 768		кар.-вис.	3	0,3	0,3	0,1	0,1
769	Наспар	Наспар	дол., часть	C	4,0	3,4	2,6	2,4
770*	Наспар	Наспар	дол., часть сл. дол.	C	3,2	2,4	2,5	1,9

Сложный долинный ледник Наспар (№ 769—700) имеет наибольшую длину 4,0 км, общую площадь 5,1 км² (в том

771*	№ 771		кар.-дол.	CB	1,0	1,0	0,3	0,3
772*	№ 772		кар.-дол.	CB	1,1	1,1	0,6	0,6
773	№ 773	пр. р. Наспар	дол.	CB	1,6	1,2	0,6	0,4
774	№ 774	пр. р. Наспар	кар.-дол.	CB	1,3	1,0	0,3	0,3
775	№ 775	пр. р. Наспар	склон.	CB	0,7	0,7	0,4	0,4
776	№ 776	пр. р. Наспар	склон.	CB	0,7	0,7	0,1	0,1

18 ледников

Кроме того, в бассейне р. Наспар имеется 9 ледников размерами менее 0,1 км² каждый, общей площадью 0,5 км²

Итого 27 ледников

Бассейн р. Реджиг (реки Северный склон)

777*	Карла Маркса	Шабай	дол.	C	4,7	4,7	4,9	4,6
778*	№ 778		кар.-дол.	C3	1,0	1,0	0,2	0,2
779*	№ 779		кар.	C3	0,7	0,7	0,2	0,2
780*	№ 780		дол.	C	1,9	1,9	0,6	0,6
781*	№ 781		вис.-дол., перем.	CB	1,2	1,2	0,9	0,9
782*	№ 782		вис.	CB	0,3	0,3	0,1	0,1
783*	№ 783		вис.	CB	0,4	0,4	0,2	0,2
784	№ 784	пр. р. Шабай	вис.	C	0,4	0,4	0,2	0,2
785	№ 785	пр. р. Хацак	склон.	C	1,8	1,8	1,1	1,1
786*	№ 786	пр. р. Хацак	сл.-дол., перем.	C3	1,8	1,8	1,3	1,3
787*	№ 787	Хацак	дол.	C	1,7	1,7	1,0	1,0
788*	№ 788	Хацак	дол.	C	2,1	2,1	2,0	2,0
789*	№ 789	пр. р. Хацак	дол.	C	1,6	1,6	0,8	0,8
790	№ 790	пр. р. Хацак	кар.	C	0,6	0,6	0,2	0,2

14 ледников

Кроме того, в бассейне р. Реджиг имеется 2 ледника размерами менее 0,1 км² каждый, общей площадью 0,1 км²

Итого 16 ледников

Бассейн р. Вранг

Северный склон

791	№ 791	пр. р. Вранг	дол.	C	1,6	1,6	0,7	0,7
792	№ 792	Вранг	склон.	C	2,0	2,0	1,6	1,6
793	№ 793	пр. р. Вранг	склон.	C	1,1	1,1	0,4	0,4
794	№ 794	Вранг	дол.	C	1,5	1,5	1,0	1,0
795	№ 795	пр. р. Вранг	склон.	CB	0,6	0,6	0,2	0,2

5 ледников

3,9

Кроме того, в бассейне р. Вранг имеется 7 ледников размерами менее 0,1 км² каждый, общей площадью 0,3 км²

Итого 12 ледников

4,2

Бассейн р. Юбень

Северный склон

796	№ 796	пр. р. Ходаш	склон.	C	0,9	0,9	0,2	0,2
797*	№ 797	Ходаш	склон.	C	1,2	1,2	0,4	0,4
798	№ 798	пр. р. Ходаш	кар.	C	0,4	0,4	0,1	0,1
799	№ 799	пр. р. Ходаш	дол.	C	1,7	1,5	0,4	0,3
800*	№ 800	пр. р. Ходаш	дол.	C	1,2	1,2	0,6	0,6
801	№ 801	пр. р. Ростов	вис.	C	0,4	0,4	0,1	0,1
802*	№ 802	пр. р. Ростов	кар.-дол.	C3	1,5	1,5	0,8	0,8
803*	№ 803	пр. р. Ростов	склон.	C	0,6	0,6	0,2	0,2

Высота, м			Фирновая линия		Площадь области аблации, км ²		Объем льда, км ³	Ссылки на последующие таблицы (иллюстрации)
найменшей точки конца ледника	найменшей точки открытой части ледника	высшей точки ледника	высота, м	способ определения и год	общая	в том числе открытой части		
10	11	12	13	14	15	16	17	18
4700	4700	5160	4800	АФС 1947	0,1	0,1		
4600	4600	5400	4800	АФС 1947	0,1	0,1		
4520	4520	5680	4800	АФС 1947	1,1	0,9		
5040	5040	5380	—	АФС 1947	—	—		
4040	4120	5440	4700	АФС 1947	1,1	0,9		
4040	4180	5200	4600	АФС 1947	1,6 6,1	1,0		

числе 0,8 км² закрыто мореной) и площадь области аблации 2,7 км²

4520	4520	4800	4600	АФС 1947	0,1	0,1		
4720	4720	5280	4800	АФС 1947	0,1	0,1		
4400	4480	5100	4800	АФС 1947	0,4	0,2		
4600	4640	5000	4750	АФС 1947	0,1	0,1		
4740	4740	5260	4800	АФС 1947	0,1	0,1		
4780	4780	4940	4800	АФС 1947	—	—		

Джаушангоз, Шахдара, Гунт)

Шахдаринского хребта

4250	4250	5280	4650	АФС 1947	2,5	2,2		
4850	4850	5100	4900	АФС 1947	0,1	0,1		
4720	4720	4980	4800	АФС 1947	0,1	0,1		
4480	4480	5100	4650	АФС 1947	0,3	0,3		
4760	4760	6320	4850	АФС 1947	0,1	0,1		
4960	4960	5260	—	АФС 1947	—	—		
4780	4780	4980	4800	АФС 1947	—	—		
4820	4820	5080	4850	АФС 1947	—	—		
4640	4640	5340	4850	АФС 1947	0,3	0,3		
4680	4680	5600	4900	АФС 1947	0,6	0,6		
4500	4500	5840	4900	АФС 1947	0,5	0,5		
4580	4580	5500	4900	АФС 1947	0,8	0,8		
4720	4720	5260	4900	АФС 1947	0,2	0,2		
4840	4840	5120	4900	АФС 1947	0,1	0,1		

рис. 5,58

5,6

(реки Шахдара, Гунт)

Шахдаринского хребта

4700	4700	5320	4950	а.-виз. 1973	0,2	0,2		
4740	4740	5400	4950	а.-виз. 1973	0,7	0,7		
4860	4860	5240	4950	а.-виз. 1973	0,1	0,1		
4700	4700	5060	4900	а.-виз. 1973	0,4	0,4		
4800	4800	5040	4900	а.-виз. 1973	0,1	0,1		

1,5

(реки Шахдара, Гунт)

Шахдаринского хребта

4600	4600	5050	4850	АФС 1947	0,1	0,1		
4520	4520	5200	4850	АФС 1947	0,2	0,2		
4600	4600	4860	4800	АФС 1947	0,1	0,1		
4540	4600	5080	4850	АФС 1947	0,2	0,1		
4600	4600	5280	4900	АФС 1947	0,2	0,2		
4780	4780	5120	4850	АФС 1947	—	—		
4660	4660	5320	4900	АФС 1947	0,3	0,3		
4700	4700	5080	4900	АФС 1947	0,1	0,1		

№ по схеме	Название	Название реки, вытекающей из ледника	Морфологический тип	Общая экспозиция	Наибольшая длина, км		Площадь, км ²	
					всего ледника	в том числе открытой части	всего ледника	в том числе открытой части
1	2	3	4	5	6	7	8	9
804*	№ 804	пр. р. Ростов	асимм. дол.	C, C3	1,7	1,5	0,7	0,7
805*	№ 805	пр. р. Ростов	кар.	3	0,8	0,8	0,2	0,2
806	№ 806	Ростов	дол.	C	3,3	3,3	2,0	1,9
807*	№ 807		кар.	C3	0,8	0,8	0,1	0,1
808*	№ 808	пр. р. Ростов	дол.	CB	2,4	2,4	0,7	0,6
809*	№ 809	пр. р. Ростов	дол.	CB	2,5	2,3	0,9	0,7
810*	№ 810	Джентив	сл. дол.	C	3,6	3,6	1,7	1,6
811*	№ 811	пр. р. Джентив	дол.	C	2,5	2,5	0,9	0,9
812*	№ 812	пр. р. Джентив	склон.	C	1,0	1,0	0,4	0,4
813*	№ 813	пр. р. Джентив	дол.	C	1,5	1,5	0,5	0,5
814*	№ 814	пр. р. Джентив	склон.	C	2,2	2,2	1,1	1,1
815	№ 815	пр. р. Джентив	склон.	C	0,9	0,9	0,3	0,3

20 ледников

Кроме того, в бассейне р. Юбень имеется 12 ледников размерами менее 0,1 км² каждый, общей площадью 0,5 км²

Итого 32 ледника

12,8

Бассейн р. Сейджара

Северный склон

816	№ 816	Зирханав	вис.	C	0,8	0,8	0,1	0,1
817*	№ 817	Шобик	дол.	C	1,8	1,8	0,8	0,8
818*	№ 818	Шобик	склон.	C	1,8	1,8	1,2	1,2
819*	№ 819	Зардив	прискл.	C3	1,2	1,2	0,3	0,3
820*	№ 820	пр. р. Зардив	прискл.	C3	0,4	0,4	0,1	0,1
821*	№ 821		кар.-вис.	C3	0,6	0,6	0,2	0,2
822*	№ 822	пр. р. Зардив	вис. дол.	C	1,0	1,0	0,2	0,2
823*	№ 823		вис.	C	0,4	0,4	0,1	0,1
824*	№ 824	пр. р. Зардив	прискл.	C	1,3	1,1	0,2	0,1
825*	№ 825	пр. р. Зардив	вис. дол.	C	1,5	1,5	0,4	0,4
826*	№ 826	пр. р. Зардив	прискл.	C	1,0	0,6	0,3	0,2
827*	№ 827	пр. р. Зардив	прискл.	C	1,2	0,6	0,5	0,3
828*	№ 828	пр. р. Зардив	дол.	C3	4,0	4,0	2,5	2,4

13 ледников

6,9

Кроме того, в бассейне р. Сейджара имеется 5 ледников размерами менее 0,1 км² каждый, общей площадью 0,3 км²

Итого 18 ледников

7,2

Бассейн р. Баджомдара

Северный склон Шахдаринского хребта,

829*	№ 829	Джарф	дол.	C	3,6	3,6	3,7	3,4
830*	№ 830	пр. р. Джарф	дол.	C	3,9	3,8	1,8	1,6
831	№ 831	пр. р. Джарф	склон.	C	1,2	1,2	0,3	0,3
832*	№ 832	пр. р. Баджом-дара	кар.-дол.	C3	(1,1)	(1,1)	(0,3)	(0,3)
833*	№ 833	пр. р. Баджом-дара	дол.	C3	(3,0)	(2,7)	(1,8)	(1,7)
834*	№ 834		вис.	C	(0,3)	(0,3)	(0,1)	(0,1)
835*	№ 835	пр. р. Баджом-дара	дол.	C3	(1,4)	(1,4)	(0,4)	(0,4)
836*	№ 836	пр. р. Баджом-дара	(склон.)	(C3)	(1,4)	(1,4)	(0,8)	(0,8)
837*	№ 837	пр. р. Баджом-дара	дол.	C3	(2,8)	(2,5)	(1,7)	(1,6)
838	№ 838	пр. р. Баджом-дара	склон.	C	0,6	0,6	0,1	0,1
839*	№ 839	пр. р. Баджом-дара	дол.	C	1,8	1,8	0,9	0,9
840*	№ 840	пр. р. Баджом-дара	дол.	C	2,2	2,1	1,2	1,1
841	№ 841	пр. р. Баджом-дара	кар.-дол.	C3	1,6	1,6	0,5	0,5
842*	№ 842	пр. р. Баджом-дара	дол.	C	2,8	2,1	1,6	1,3
843*	№ 843		вис.	C	0,5	0,5	0,1	0,1
844	№ 844	пр. р. Баджом-дара	прискл.	C	0,8	0,8	0,2	0,2
845	№ 845	пр. р. Баджом-дара	дол.	C3	3,7	3,7	1,7	1,7
846*	№ 846	пр. р. Баджом-дара	дол.	CB	1,9	1,9	1,1	1,1

Высота, м			Фирновая линия		Площадь области аблации, км ²		Ссылки на последующие таблицы (иллюстрации)	№ таблиц и иллюстраций
найшней точки конца ледника	найшней точки открытой части ледника	высшей точки ледника	высота, м	способ определения и год	общая	в том числе открытой части		
10	11	12	13	14	15	16	17	18
4380	4400	5460	4900	АФС 1947	0,3	0,3		
5150	5150	5480	—	АФС 1947	—	—		
4500	4500	5420	4800	АФС 1947	0,6	0,5		
4900	4900	5420	4950	АФС 1947	—	—		
4280	4280	5420	4800	АФС 1947	0,4	0,3		
4380	4400	5520	4800	АФС 1947	0,5	0,3		
4280	4320	5860	4800	АФС 1947	0,8	0,7		
4460	4460	5620	4850	АФС 1947	0,4	0,4		
4780	4780	5280	4900	АФС 1947	0,1	0,1		
4720	4720	5280	4900	АФС 1947	0,1	0,1		
4660	4660	5280	4900	АФС 1947	0,5	0,5		
4800	4800	5220	4900	АФС 1947	—	—		
					4,9			

(реки Шахдара, Гунт)

Шахдаринского хребта

4740	4740	5080	4850	АФС 1947	—	—		
4640	4640	5300	4900	АФС 1947	0,3	0,3		
4680	4680	5280	4900	АФС 1947	0,4	0,4		
4700	4700	5620	4950	а.-виз. 1973	0,1	0,1		
4680	4680	4920	4850	а.-виз. 1973	0,1	0,1		
4920	4920	5300	4950	а.-виз. 1973	—	—		
4640	4640	5360	4950	а.-виз. 1973	0,1	0,1		
5000	5000	5420	—	а.-виз. 1973	—	—		
4480	4480	5480	4650	а.-виз. 1973	0,1	—		
4200	4200	5320	4850	а.-виз. 1973	0,2	0,2		
4120	4200	4620	4500	а.-виз. 1973	0,2	0,1		
4060	4220	4580	4500	а.-виз. 1973	0,4	0,2		
4420	4420	5880	4950	а.-виз. 1973	0,7	0,6		
					2,6			

(реки Шахдара, Гунт)

восточный склон хр. Бадомдара

4440	4440	5360	4950	а.-виз. 1973	2,1	1,8		
4520	4560	5480	5000	а.-виз. 1973	1,0	0,8		
4880	4880	5160	5000	а.-виз. 1973	0,2	0,2		
(4560)	(4560)	5120	4950	а.-виз. 1973	(0,2)	(0,2)		
(4640)	(4700)	(5700)	(4950)	а.-виз. 1973	(0,9)	(0,8)		
(5800)	(5800)	(6100)	—	а.-виз. 1973	—	—		
(4700)	(4700)	(5400)	(4900)	а.-виз. 1973	(0,2)	(0,2)		
(4600)	(4600)	(5300)	(4950)	а.-виз. 1973	(0,4)	(0,4)		
(4300)	(4400)	(5500)	(4900)	а.-виз. 1973	(0,9)	(0,8)		
4900	4900	5080	4950	а.-виз. 1973	—	—		
4560	4580	5380	4900	а.-виз. 1973	0,3	0,3		
4320	4340	5400	4950	а.-виз. 1973	0,7	0,6		
4460	4460	5060	4900	а.-виз. 1973	0,4	0,4		
4380	4560	5860	4900	а.-виз. 1973	0,6	0,3		
5020	5020	5220	—	а.-виз. 1973	—	—		
4980	4980	5180	5050	а.-виз. 1973	0,1	0,1		
4680	4680	5800	5050	а.-виз. 1973	0,6	0,6		
4560	4560	5460	5000	а.-виз. 1973	0,5	0,5		

рис. 11
рис. 11

рис. 63
рис. 63

рис. 12

№ по схеме	Название	Название реки, вытекающей из ледника	Морфологический тип	Общая экспозиция	Наибольшая длина, км		Площадь, км ²	
					всего ледника	в том числе открытой части	всего ледника	в том числе открытой части
1	2	3	4	5	6	7	8	9
847	№ 847	пр. р. Баджом- дара	кар.-дол.	C	1,8	1,8	0,9	0,9
848	№ 848	пр. р. Баджом- дара	кар.-дол.	CB	1,2	1,2	0,6	0,6
849	№ 849	пр. р. Худ	склон.	C3	0,4	0,4	0,2	0,2
850	№ 850	Худ	кар.-дол.	C	1,4	1,4	0,6	0,6
851	№ 851	пр. р. Худ	кар.	C	0,9	0,9	0,2	0,2
852	№ 852	пр. р. Худ	склон.	C	0,8	0,8	0,2	0,2
853	№ 853	пр. р. Худ	вис.	C	0,4	0,4	0,1	0,1
854	№ 854	пр. р. Худ	кар.-дол.	C	1,1	1,1	0,3	0,3
855	№ 855	пр. р. Худ	вис.	C3	0,5	0,5	0,4	0,4
856	№ 856	пр. р. Худ	дол.	C	1,8	1,8	0,6	0,6
28 ледников							22,4	

Кроме того, в бассейне р. Баджомдара имеется 12 ледников размерами менее 0,1 км² каждый, общей площадью 0,5 км²
Итого 40 ледников 22,9

БАССЕЙН

Бассейн р. Ростовдара (реки Северный склон

857	№ 857	пр. р. Ростов- дара	кар.	3	1,2	1,0	0,3	0,3
858	№ 858	пр. р. Ростов- дара	вис. кар.	C3	1,8	1,8	0,6	0,6
859*	№ 859	Ростовдара	сл. дол.	C	3,3	3,3	3,5	3,0
860*	№ 860	пр. р. Ростов- дара	дол.	CB	2,2	2,1	1,0	1,0
861*	№ 861	пр. р. Ростов- дара	прискл.	CB	1,2	1,2	0,3	0,3
862*	№ 862	пр. р. Ростов- дара	кар.-дол.	CB	1,4	1,4	0,4	0,4
863	№ 863	пр. р. Ростов- дара	кар.	C	0,7	0,7	0,2	0,2
864	№ 864	пр. р. Ростов- дара	прискл.	C	0,7	0,7	0,2	0,2
865*	№ 865	пр. р. Ростов- дара	кар.-дол.	C	1,9	1,8	1,0	1,0
866	№ 866	пр. р. Ростов- дара	склон.	C	0,8	0,8	0,2	0,2
867	№ 867	пр. р. Ростов- дара	вис.	CB	0,5	0,5	0,1	0,1
868*	№ 868	пр. р. Ростов- дара	кар.-дол.	CB	1,0	0,8	0,2	0,1
12 ледников							8,0	

Кроме того, в бассейне р. Ростовдара имеется 7 ледников размерами менее 0,1 км² каждый, общей площадью 0,3 км²
Итого 19 ледников 8,3

Бассейн верховьев р. Бадомдара Северный склон Шахдаринского хребта,

869	№ 869	пр. р. Бадомдара	вис.	C	0,4	0,4	0,1	0,1
870	№ 870	пр. р. Бадомдара	вис.	C	0,4	0,4	0,1	0,1
871*	№ 871	пр. р. Бадомдара	дол.	C	3,7	3,6	2,0	1,9
872*	№ 872	пр. р. Бадомдара	дол.	CB	3,8	3,8	1,6	1,4
873*	№ 873	Бадомдара	сл. дол.	B	6,0	5,6	4,4	4,0
874	№ 874		кар.	ЮЗ	0,8	0,8	0,2	0,2
875*	№ 875	пр. р. Бадомдара	вис., при- гребн.	Ю	0,2	0,2	0,1	0,1
876*	№ 876	пр. р. Бадомдара	кар.-дол.	CB, В	2,2	2,2	0,7	0,7
877*	№ 877	пр. р. Бадомдара	вис. кар.	Ю	0,7	0,7	0,2	0,2
878	№ 878	пр. р. Бадомдара	склон.	CB	1,7	1,7	1,4	1,4
10 ледников							10,8	

Кроме того, в бассейне верховьев р. Бадомдара имеется 3 ледника размерами менее 0,1 км² каждый, общей площадью
Итого 13 ледников 10,9

Высота, м			Фирновая линия		Площадь области аблации, км ²		Объем льда, км ³	Ссылки на последующие таблицы (иллюстрации) № таблиц и иллюстраций порядковые № сведений в таблицах
нижней точки конца ледника	нижней точки открытой части ледника	высшей точки ледника	высота, м	способ определения и год	общая	в том числе открытой части		
10	11	12	13	14	15	16	17	18
4700	4700	5240	4900	а.-виз. 1973	0,4	0,4		
4720	4720	5160	4950	а.-виз. 1973	0,2	0,2		
4760	4760	4900	4850	а.-виз. 1973	0,1	0,1		
4720	4720	5180	4950	а.-виз. 1973	0,3	0,3		
4680	4680	5060	4900	а.-виз. 1973	0,2	0,2		
4780	4780	5100	4900	а.-виз. 1973	0,1	0,1		
4920	4920	5120	4950	а.-виз. 1973	—	—		
4620	4620	5180	4950	а.-виз. 1973	0,2	0,2		
4580	4580	5060	4900	а.-виз. 1973	0,2	0,2		
4580	4580	5380	4900	а.-виз. 1973	0,3	0,3		
					11,1			

р. БАДОМДАРА

Бадомдара, Шахдара, Гунт)

Шахдаринского хребта

4920	4960	5580	5000	а.-виз. 1973	0,1	0,1		
4740	4740	5640	5000	а.-виз. 1973	0,1	0,1		
4560	4560	5770	4950	а.-виз. 1973	1,7	1,2		
4520	4540	5480	4800	а.-виз. 1973	0,4	0,4		
4560	4560	5300	4800	а.-виз. 1973	0,1	0,1		
4580	4580	5280	4800	а.-виз. 1973	0,2	0,2		
4680	4680	5000	4800	а.-виз. 1973	0,1	0,1		
4640	4640	5020	4850	а.-виз. 1973	0,1	0,1		
4460	4480	5220	4900	а.-виз. 1973	0,4	0,4		
4560	4560	5180	4850	а.-виз. 1973	0,1	0,1		
4680	4680	4960	4800	а.-виз. 1973	—	—		
4520	4600	4880	4800	а.-виз. 1973	0,1	—		
					3,4			

(реки Шахдара, Гунт)

юго-восточный склон Скалистых гор

4660	4660	4940	4800	АФС 1947	—	—		
4700	4700	4980	4800	АФС 1947	—	—		
4220	4220	5300	4950	АФС 1947	0,6	0,5		
4300	4300	5750	4950	АФС 1947	0,7	0,5		
4300	4340	5300	4950	АФС 1947	2,4	2,0		
4880	4880	5080	5000	АФС 1947	0,1	0,1		
5150	5150	5300	—	АФС 1947	—	—		
4780	4780	5420	5000	АФС 1947	0,3	0,3		
5000	5000	5220	5050	АФС 1947	—	—		
4600	4600	5260	4900	АФС 1947	0,6	0,6		

рис. 6
IV/5; V/10; рис. 60,1 км²

№ по схеме	Название	Название реки, вытекающей из ледника	Морфологический тип	Общая экспозиция	Наибольшая длина, км		Площадь, км ²	
					всего ледника	в том числе открытой части	всего ледника	в том числе открытой части
1	2	3	4	5	6	7	8	9

Бассейн р. Дармайдаван (реки

Северо-западный склон Скалистых гор,

879	№ 879	пр. р. Дармайдаван	кар.-вис.	C	0,8	0,8	0,1	0,1
880	№ 880	пр. р. Дармайдаван	кар.-вис.	CЗ	0,4	0,4	0,1	0,1
881	№ 881	пр. р. Дармайдаван	кар.-вис.	CЗ	0,8	0,8	0,2	0,2
882*	№ 882	Дармайдаван	сл. дол.	C, CB	4,6	3,2	6,4	4,8
883	№ 883	пр. р. Дармайдаван	склон.	CB	0,9	0,9	0,3	0,3
884	№ 884	пр. р. Дармайдаван	кар.	CB	0,8	0,8	0,3	0,3
885	№ 885	пр. р. Дармайдаван	кар.—дол.	B	1,1	1,1	0,3	0,3
886	№ 886	пр. р. Дармайдаван	кар.	CB	0,8	0,8	0,2	0,2
887	№ 887	пр. р. Дармайдаван	кар.—вис.	CB	0,7	0,7	0,2	0,2
888	№ 888	пр. р. Дармайдаван	кар.—дол.	B	1,3	1,3	0,4	0,4

10 ледников

8,5

Кроме того, в бассейне р. Дармайдаван имеется 9 ледников размерами менее 0,1 км² каждый, общей площадью 0,3 км²

Итого 19 ледников

8,8

Всего в бассейне р. Бадомдара имеется 51 ледник общей площадью 28,0 км², в том числе 32 ледника размерами 0,1 км² каждый, общей площадью 0,7 км²

Бассейн р. Вездара

Северный склон Ишкашимского

889	№ 889	пр. р. Вездара	вис.	C	0,5	0,5	0,1	0,1
890	№ 890	пр. р. Вездара	дол.	C	1,9	1,7	0,6	0,5
891	№ 891	пр. р. Вездара	кар.—вис.	C	0,7	0,7	0,3	0,3
892*	№ 892	Вездара	сл. дол.	CB	3,7	2,8	3,0	2,3
893*	№ 893		дол.	CB, B	1,7	1,7	0,7	0,7
894	№ 894	пр. р. Вездара	вис.	CB	0,3	0,3	0,1	0,1
895	№ 895	пр. р. Вездара	кар.	CB	0,6	0,6	0,2	0,2
896	№ 896	пр. р. Вездара	склон.	CB	1,0	1,0	0,3	0,3
897	№ 897	пр. р. Вездара	склон.	CB	1,4	1,2	0,5	0,5
898	№ 898	пр. р. Вездара	вис.	C	0,2	0,2	0,1	0,1

10 ледников

5,9

Кроме того, в бассейне р. Вездара имеется 3 ледника размерами менее 0,1 км² каждый, общей площадью 0,1 км²

Итого 13 ледников

6,0

Бассейн р. Рымвочдара (реки

Северный склон

899	№ 899	пр. р. Рымвочдара	вис.	C	0,7	0,7	0,3	0,3
900	№ 900	Рымвочдара	кар.	C	0,4	0,4	0,1	0,1

2 ледника

0,4

Кроме того, в бассейне р. Рымвочдара имеется 2 ледника размерами менее 0,1 км² каждый, общей площадью 0,1 км²

Итого 4 ледника

0,5

Бассейн р. Даشت (реки

Северо-западный

901	№ 901	пр. р. Даشت	кар.	C	0,7	0,7	0,2	0,2
902*	№ 902	Даشت	дол.	C	2,6	2,4	1,4	1,2

2 ледника

1,6

Кроме того, в бассейне р. Даشت имеется 3 ледника размерами менее 0,1 км² каждый, общей площадью 0,1 км²

Итого 5 ледников

1,7

Высота, м			Фирновая линия		Площадь области аблации, км ²		Объем льда, км ³	Ссылки на последующие таблицы и иллюстрации № таблиц и иллюстраций порядковые № сведений в таблицах
нижней точки конца ледника	нижней точки открытой части ледника	высшей точки ледника	высота, м	способ определения и год	общая	в том числе открытой части		
10	11	12	13	14	15	16	17	18

Бадомдара, Шахдара, Гунт)

восточный склон Ишкашимского хребта

4620	4620	4960	4800	а.-виз. 1973	—	—		
4650	4650	5040	4800	а.-виз. 1973	—	—		
4700	4700	5040	4800	а.-виз. 1973	0,1	0,1		
4220	4420	5200	4650	а.-виз. 1973	4,0	2,4		
4620	4620	5080	4800	а.-виз. 1973	0,2	0,2		
4680	4680	4920	4800	а.-виз. 1973	0,2	0,2		
4640	4640	4960	4750	а.-виз. 1973	0,1	0,1		
4680	4680	4920	4750	а.-виз. 1973	0,1	0,1		
4580	4580	4820	4700	а.-виз. 1973	0,1	0,1		
4740	4740	5100	4800	АФС 1947	0,1	0,1		
					4,9			

и более каждый, общей площадью 27,3 км² (из них 2,9 км² покрыто мореной) и 19 ледников размерами менее 0,1 км² каж-**(реки Шахдара, Гунт)**

хребта, восточный склон гор Без

4700	4700	4900	4800	АФС 1947	—	—		
4440	4480	5040	4650	АФС 1947	0,3	0,2		
4700	4700	5160	4750	АФС 1947	—	—		
4240	4340	5200	4600	а.-виз. 1973	1,7	1,0		
4680	4680	5060	4800	а.-виз. 1973	0,4	0,4		
4820	4820	5000	4850	АФС 1947	—	—		
4660	4660	4920	4800	АФС 1947	—	—		
4480	4480	5000	4700	АФС 1947	0,2	0,2		
4420	4440	5040	4700	АФС 1947	0,3	0,3		
4780	4780	4900	4800	АФС 1947	—	—		
					2,9			

Шахдара, Гунт)

гор Без

4580	4580	4900	4700	АФС 1947	0,1	0,1		
4560	4560	4680	4600	АФС 1947	—	—		
					0,1			

Шахдара, Гунт)

склон гор Без

4440	4440	4780	4600	АФС 1947	—	—		
4280	4320	5060	4600	АФС 1947	0,7	0,5		
					0,7			

№ по схеме	Название	Название реки, вытекающей из ледника	Морфологический тип	Общая экспозиция	Наибольшая длина, км		Площадь, км ²	
					всего ледника	в том числе открытой части	всего ледника	в том числе открытой части
1	2	3	4	5	6	7	8	9

Бассейн р. Шарфдара (реки

Северо-восточный склон Ишкакшимского

903	№ 903	пр. р. Шарфдара	кар.-вис.	C3	0,5	0,5	0,1	0,1
904*	№ 904	пр. р. Шарфдара	склон.	C3	1,3	1,3	0,8	0,8
905*	№ 905	пр. р. Шарфдара	склон.	C3	1,9	1,9	1,1	1,1
906*	№ 906	Шарфдара	дол.	C	1,9	1,6	2,3	1,9
907*	№ 907	пр. р. Шарфдара	прискл.	C	0,7	0,7	0,2	0,2
908	№ 908	пр. р. Шарфдара	кар.	CB	0,6	0,6	0,1	0,1
909	№ 909	пр. р. Шарфдара	склон.	C	0,7	0,7	0,2	0,2
910	№ 910	пр. р. Шарфдара	склон.	C	0,7	0,7	0,2	0,2
911	№ 911	пр. р. Шарфдара	кар.	C	0,6	0,6	0,2	0,2
912	№ 912	пр. р. Шарфдара	кар.	C	0,5	0,5	0,1	0,1
913	№ 913	пр. р. Шарфдара	кар.	CB	0,5	0,5	0,1	0,1
914	№ 914	пр. р. Шарфдара	склон.	CB	0,5	0,5	0,2	0,2

12 ледников

5,6

Кроме того, в бассейне р. Шарфдара имеется 26 ледников размерами менее 0,1 км² каждый, общей площадью 1,1 км²

Итого 38 ледников

6,7

Бассейн р. Ходардживдара (реки

Восточный склон

915*	№ 915	пр. р. Ходар- дживдара	прискл.	C	0,3	0,3	0,1	0,1
916*	№ 916	пр. р. Ходар- дживдара	склон.	C	0,5	0,5	0,2	0,2
917	№ 917	пр. р. Ходар- дживдара	склон.	C	0,4	0,4	0,2	0,2

3 ледника

0,5

Кроме того, в бассейне р. Ходардживдара имеется 3 ледника размерами менее 0,1 км² каждый, общей площадью 0,1 км²

Итого 6 ледников

0,6

Всего в бассейне левых притоков р. Шахдара имеется 283 ледника общей площадью 130,7 км², в том числе 178 ледников размерами менее 0,1 км² каждый, общей площадью 4,5 км²

Всего в бассейне р. Шахдара имеется 437 ледников общей площадью 171,1 км², в том числе 279 ледников размерами 0,1 км² каждый, общей площадью 6,9 км²

Всего в бассейне р. Гунта имеется 1349 ледников общей площадью 634,2 км², в том числе 917 ледников размерами 0,1 км² каждый, общей площадью 25,2 км²

Высота, м			Фирновая линия		Площадь области аблации, км ²		Ссылки на последующие таблицы и иллюстрации	
нижней точки конца ледника	нижней точки открытой части ледника	высшей точки ледника	высота, м	способ определения и год	общая	в том числе открытой части	Объем льда, км ³	№ таблиц и иллюстраций
10	11	12	13	14	15	16	17	18

Шахдара, Гунт)

хребта, западный склон гор Вез

4540	4540	4820	4600	АФС 1947	—	—		
4420	4420	5120	4700	АФС 1947	0,3	0,3		
4380	4380	5100	4700	АФС 1947	0,5	0,5		
4420	4460	5120	4700	АФС 1947	1,3	0,9		
4540	4540	4740	4700	АФС 1947	0,2	0,2		
4620	4620	4780	4700	АФС 1947	—	—		
4520	4520	4840	4700	АФС 1947	0,1	0,1		
4520	4520	4760	4650	АФС 1947	0,1	0,1		
4380	4380	4650	4600	АФС 1947	0,1	0,1		
4440	4440	4700	4600	АФС 1947	—	—		
4440	4440	4660	4600	АФС 1947	—	—		
4480	4480	4680	4600	АФС 1947	0,1	0,1		

Шахдара, Гунт)

Ишкашимского хребта

4400	4400	4580	4550	АФС 1947	0,1	0,1		
4380	4380	4700	4550	АФС 1947	0,2	0,2		
4420	4420	4600	4550	АФС 1947	0,1	0,1		

размерами 0,1 км² и более каждый, общей площадью 126,2 км² (из них 8,3 км² покрыто мореной) и 105 ледников размерами 0,1 км² и более каждый, общей площадью 164,2 км² (из них 8,5 км² покрыто мореной) и 158 ледников размерами менее 0,1 км² каждого, общей площадью 609,0 км² (из них 29,5 км² покрыто мореной) и 432 ледника размерами менее 0,1 км²

Пояснения к таблице I

№ ледника	Название	№ графы	Пояснение	
			1	2
2, 3	№ 2, 3	4, 8, 9		Ледники имеют преимущественно лавинное питание с северных склонов. Площадь, покрытая мореной, менее 0,1 км ²
5, 7, 8	№ 5, 7, 8	4, 8, 9		Ледники существуют за счет лавин, сходящих с северных склонов на дно долины и образующих лавинные конуса. Сливаясь между собой, они заполняют долину и образуют асимметричные долинные ледники. Поверхности ледников слабо заморенены
8	№ 8	4, 11, 13		Ледник туркестанского типа, граница моренного чехла почти совпадает с положением границы питания
10, 11	№ 10, 11	4, 8, 9		Концы языков ледников покрыты чехлом конечной морены. Концы ледников соединяются боковыми частями
17	№ 17	3		Ледник расположен в бассейне ледника № 16
19, 20	№ 19, 20	4		Ледники соединяются боковыми частями
22	№ 22	4, 8, 9		Область питания ледника состоит из двух небольших камер. По правому борту долины протягивается мощный вал боковой морены
23—25	№ 23—25	8, 9, 15, 16		Языки ледников закрыты мощным моренным чехлом, площадь которого на каждом леднике менее 0,1 км ²
25	№ 25	4		Ледник состоит из двух небольших потоков, сливающихся в нижней части. Правый поток дает сток в бассейн ледника № 24
29—31	№ 29—31	4, 13		Ледники существуют исключительно за счет лавин, сходящих в основном с северного склона. Языки ледников широкие (как у присклоновых). Фирновая линия совпадает с границей лавинного питания
35, 36	№ 35, 36	4		Ледники соединяются друг с другом в верховьях
36	№ 36	4, 8		Ледник получает основное питание в виде лавин и обвалов фирна исключительно с левого склона. Большие фирновые поля, нависающие над ледником, включены в его общую площадь. На аэрофотоснимке видны следы наступления ледника в прошлом
37	№ 37	4, 8, 9		Ледник в прошлом наступал. На аэрофотоснимке хорошо виден контур его старого языка, доходившего до долины р. Штамдара (4020 м) и имевший четыре лопасти. В настоящее время ледник отступил от отметки 4200 м, его поверхность почти полностью покрыта толстым чехлом морены; здесь развит термокарст. Питание лавинное и обвалами фирна с левого склона
43	№ 43	4		Ледник в прошлом наступал и выходил в долину р. Звордара до высотной отметки 3800 м
44	№ 44	3, 4		Ледник состоит из двух потоков льда и расположен в бассейне ледника № 43
47	№ 47	4		Ледник образовался от слияния четырех лавинных конусов, разделенных между собой моренными валами. Валы начинаются почти от самых верховых ледника и сливаются в нижней части в сплошной моренный чехол. В верховьях ледник соединяется с ледником № 48
48, 49	№ 48, 49	4, 10		Ледники расположены в узких глубоких долинах. Предположительно, что ледник № 49 наступил, его язык, зажатый с двух сторон ледниками № 48 и 50, спускается вниз по долине до высотной отметки 4240 м
53	№ 53	4		Ледники соединяются в верховьях
56—58	№ 56—58	4		Морфологически выраженной области питания у ледника нет. На крутых склонах, обрамляющих ледник, имеются висячие фирновые поля, за счет обвалов с которых и существует ледник, полностью погребенный мореной. Фирновая линия почти полностью совпадает с верхней границей моренного покрытия. Самый конец ледника пассивен, изъеден термокарстом, разрушен
62—65	№ 62—65	4		Ледники питаются лавинами преимущественно с северного склона
62	№ 62	4		Сложный долинный ледник состоит из четырех потоков
63	№ 63	4		Ледник имеет двухкамерную область питания. Большую роль в его питании играют лавины, сходящие с северного склона
66—71	Штеклозар	4, 8, 9		Ледник имеет двухкамерную область питания. При впадении в ледник № 62 язык раздваивается, обтекая нунатак, и образует два языка, один из которых (короткий) упирается в борт ледника № 62, другой протягивается вдоль языка ледника № 62. Кроме этих двух языков, имеется еще один язык, обтекающий другой (левый) нунатак и сливающийся с ледником № 64. Поверхности ледников № 62—64 сильно разрушены, большие по протяженности участки представляют ледопады
67	№ 67	4		Дендритовый ледник состоит из шести потоков. Ледники № 66, 70, 71 самые мощные из них. Области питания морфологически четко выражены, они окаймлены высокими, крутыми склонами, с которых постоянно сходят лавины (особенно со склонов северной экспозиции), внося существенную долю в питание ледников. Поверхность ледников неровная, бугристая, на дне понижений имеются озера. По леднику протягиваются валы срединных морен. Внизу, соединяясь друг с другом, они превращаются в сплошной чехол, полностью покрывающий язык ледника. Конец языка пассивен, изъеден термокарстом. Ниже конца языка имеются участки мертвого льда площадью 1,5 км ²
68	№ 68	4, 8, 9		Через понижение в боковом хребте имеется участок перетекания льда к леднику № 72
72	№ 72	3		Ледник состоит из трех небольших потоков. Соединяясь, они образуют общий, сильно заморененный язык. В бассейне ледника имеется три ледника общей площадью 0,2 км ²
72—74	№ 72—74	4		Ниже конца ледника имеется участок мертвого льда площадью 0,3 км ²
78, 79	№ 78, 79			Ледники расположены в бассейне ледника Штеклозар
				Ледники соединяются в верховьях

Пояснения к таблице I

№ ледника 1	Название 2	№ графы 3	Пояснение 4
83, 84	Чапдара	4	<p>Этот сложный долинный ледник имеет бугристую поверхность, состоящую из холмов и понижений, на дне которых находятся озера. У конца языка ледника № 83 имеется озеро</p> <p>В верховьях ледника № 84 через понижение в гребне имеется участок перетекания льда к леднику № 104</p>
89	№ 89	3	Ледник расположен в бассейне ледника № 88
90, 98	№ 90, 98	4	Ледники соединяются в верховьях
92	№ 92	3	Ледник расположен в бассейне ледника № 91
96	№ 96	3	Ледник расположен в бассейне ледника № 95
108	№ 108	4	Ледник состоит из трех потоков
113, 114	№ 113, 114	4	Ледники имеют общую нижнюю часть, закрытую мореной
117, 118	№ 117, 118	4, 8, 9	Ледники туркестанского типа. Их область питания представлена лавинными конусами в самой верхней части долины. Поверхность ледника закрыта чехлом морены
123	№ 123	3	Ледник № 118 подпитывает обвалами фирна ледник № 117, находящийся в его бассейне. Ледники соединяются в верховьях
124	№ 124	4	Ледник расположен в бассейне ледника № 122
125, 126	№ 125, 126	4	Ледники туркестанского типа. Область питания расположена на очень крутом склоне
126, 122	№ 126, 122	4	Ледники соединяются в верховьях своими боковыми частями
127, 128	№ 127, 128	3, 4	Ледники расположены в бассейне ледника № 126. Язык ледника № 127 имеет две лопасти, правая из которых доходит до края ледника № 126
129	Сафедоб	4	Область питания ледника расположена в трех крупных карах. Поверхность ледника в верхней и средней частях неровная (бугристо-ячеистый, чешуйчатый рельеф, на дне понижений имеются озерца). Язык ледника в основном ровный чистый. Правая часть конца языка пассивна и разрушена термокарстом. Нижнюю часть ледника подпитывают лавины, сходящие с северного склона
130	№ 130	4	Ледник состоит из двух потоков
134—136, 138	№ 134—136, 138	3	Ледники расположены в бассейне ледника Сафедоб
137	№ 137	3	Ледник расположен в бассейне ледника № 136
139	№ 139	3	Ледник расположен в бассейне ледника № 138
141, 162	№ 141, 162	4	Ледники соединяются в верховьях
142, 144, 145	№ 142, 144, 145	4	Области питания ледников некомпактны и сильно разрушены, большую долю питания поставляют фирновые висячие поля, расположенные на крутых склонах, обрамляющих ледник. Ледники имеют пространства мертвого льда общей площадью 0,3 км ²
144	№ 144	4	В верховьях ледника в его бассейне имеется ледничок площадью 0,3 км ² , соединенный с областью питания основного ледника
147, 148	№ 147, 148	4	Ледники имеют общий участок мертвого льда площадью 0,1 км ²
150—155	№ 150—155	4	Области питания ледников расположены на северных крутых склонах, обрамляющих ледники. На леднике прослеживается граница лавинного питания
150 р. Уар	№ 150	4	У конца ледника имеется участок мертвого льда площадью 0,2 км ²
			Река Уар берет начало из-под конца правой меньшей лопасти ледника № 162, дающего основной сток в оз. Зарошкуль
158, 159	№ 158, 159	4	Ледники соединяются в верховьях
159, 160	№ 159, 160	4	Ледники получают питание исключительно с северных склонов
161	№ 161	4	Ледник имеет три языка, средний — самый низкий и длинный
162	Уар	4	Ледник состоит из двух крупных потоков. Соединяясь, они образуют широкий ровный чистый язык, конец которого раздваивается. Левая, большая лопасть дает сток в оз. Зарошкуль, правая, меньшая, пассивна, ее конец заморенен. Она дает начало р. Уар
163	№ 163	3	Ледник расположен в бассейне ледника № 162
164	№ 164	3	У конца ледника находится озеро
162—173	№ 162—173	3	Ледники расположены в бассейне оз. Зарошкуль, из которого вытекает р. Бартанги
167, 170, 171	№ 167, 170, 171	4	Ледники в верховьях соединяются с ледниками, расположенными на северном склоне Рушанского хребта
169	№ 169	3	Конец языка ледника доходит до левого борта ледника № 168
177, 178	№ 177, 178	4	Области питания ледников расположены исключительно на крутых северных склонах
180	№ 180	4	Ледник расположен на дне кара у основания лавинных конусов. Кроме того, между лавинными лотками имеется висячее фирновое поле, питающее ледник обвалами снега и льда
172—185	№ 172—185	13—16	На АФС эти ледники покрыты снегом. Положение фирмовой линии определить не представляется возможным
187, 188	№ 187, 188	4	Ледники соединяются в верховьях
196	№ 196	3	Ледник расположен в бассейне ледника № 195
199—201	№ 199—201	3, 4	Ледники последовательно соединены друг с другом боковыми частями, образуя единый склоновый ледник с широким многолопастным языком. Ледники расположены в бассейне оз. Чапдара
202, 203	№ 202, 203	4	Ледники соединяются в верховьях
206, 212	№ 206, 212	4	» » » »

Пояснения к таблице I

№ ледника 1	Название 2	№ графы 3	Пояснение 4
210, 211 215, 216 217	№ 210, 211 № 215, 216 № 217	4 4 4	» » » Ледник состоит из двух потоков. Через понижение в гребне, обрамляющем с севера левый поток, ледник в своих верховьях соединяется с ледником, расположенным на северном склоне Рушанского хребта
221, 222 р. Карадемур	№ 221, 222	4	Ледники соединяются своими боковыми частями В верховьях река имеет название Кокбелес. Ниже до впадения в нее р. Шайтан она называется Зурцерек. Далее вниз по течению река принимает название Карадемур. В самых низовьях она называется Бол. Мардженай
225 226—228	№ 225 № 226—228	4 4	Язык ледника своей боковой частью соприкасается с ледником № 226 Этот сложный долинный ледник состоит из трех обособленных потоков, которые соединяются в своих нижних частях
228 252, 253 р. Гурумды	№ 228 № 252, 253	4 4	На леднике имеется участок перетекания льда к леднику № 229 Ледники соединяются в верховьях В верховьях р. Аличур выше впадения р. Башгумбез называется Гурумды
266	№ 266	4	Конец языка ледника имеет две лопасти, из которых правая доходит до края ледника № 265
271—276	№ 271—276		Ниже концов ледников имеются остатки крупного ледника в этом цирке в прошлом — бугристая поверхность, разъеденная термокарстом, много озер
275 290	№ 275 № 290	3 4	У конца ледника имеется озеро Ледник возрожденного типа, существует исключительно за счет лавин и обвалов фирна, расположен у подножья крутого склона. У конца ледника имеется вал конечной морены
296	№ 296	4	Ледник имеет широкий трехлопастной язык. Правая лопасть висит на склоне, левая опускается к его подножию
297	№ 297	3, 8, 15	Весь ледник находится в области аккумуляции и расположен в бассейне ледника № 296
296, 297 297, 301, 308	№ 296, 297 № 297, 301, 308	4 8, 15	Ледники соединяются в верховьях Ледники находятся в области аккумуляции
308, 309 316, 317 343, 344 362 363	№ 308, 309 № 316, 317 № 343, 344 № 362 № 363	4 4 4 3 4	Ледники соединяются боковыми частями Ледники соединяются в верховьях Ледники соединяются боковыми частями в верховьях У конца ледника имеется озеро Ледник имеет два языка: один — узкий, другой, более характерный для ледников склонового типа, — широкий, короткий
369, 378, 380	№ 369, 378, 380	4	Ледники окаймлены крутыми склонами, по которым сходят лавины. Кроме того, на склонах имеются висячие фирновые поля, продуцирующие обвалы фирна и льда, составляющие значительную долю питания ледников
370—373 380	№ 370—373 № 380	3 8, 9, 15, 16	Ледники расположены в бассейне ледника № 369 По нижней части ледника протягиваются продольные валы морены. Они почти полностью закрывают поверхность конца ледника. Ледник имеет три небольших притока, площади которых включены в общую площадь ледника
385	№ 385	4	В конце ледника имеется участок малоактивного льда площадью 0,3 км ² , имеющего непосредственную связь с заморененным концом активной части языка
386	№ 386	4	Ледник расположен параллельно леднику № 385 таким образом, что его верхняя часть соприкасается с этим ледником, а конец отделен от последнего моренной грядой
391 399—406	№ 391 № 399—406	3 4	Ледник расположен в бассейне ледника № 390 Поверхности ледников неровные, имеют бугристо-яченый рельеф. На дне ячеек находятся озера
405—414	№ 405—414	4	Области питания ледников расположены исключительно на северных склонах, обрамляющих их. Большую роль в питании ледников играют лавины.
411, 412 425 427, 428 423—428	№ 411, 412 № 425 № 427, 428 № 423—428	4 8, 15 3 4	Ледники сократились в своих размерах. Протяженность их в недалеком прошлом была в 2—3 раза больше. Долина, в которую они некогда выходили, загромождена моренными валами
431, 432 433—435	№ 431, 432 № 433—435	4 4	Ледники соединяются своими боковыми частями Ледники расположены в бассейне ледника № 426 Ледники расположены в бассейне ледника № 426 В долинах, верховья которых заняты этими ледниками, распространены каменные глетчеры
446 448—453 458	№ 446 № 448—453 № 458	3 3 4	Ледники соединяются в верховьях Ледники последовательно соединяются в верховьях, имеется участок перетекания льда от ледника № 433 к леднику № 434
459	№ 459	4	Ледник расположен в бассейне ледника № 445 Ледники расположены в бассейне оз. Аккуль Ледник расположен у подножья склона и своей нижней боковой частью соприкасается с ледником № 457 Область питания ледника состоит из двух равновеликих камер, расположенных на крутых склонах

Пояснения к таблице I

№ ледника	Название	№ графы	Пояснение	
			1	2
1	2	3	4	
462, 469, 473	№ 462, 469, 473	9, 11, 15		Площадь ледников, покрытая мореной менее 0,1 км ²
471	№ 471	3		Ледник расположен в бассейне ледника № 470
480	№ 480	3		Ледник расположен в бассейне ледника № 479
494, 495	№ 494, 495	4		Ледники соединяются в верховых боковыми частями
501, 502	№ 501, 502	3		Ледники расположены в бассейне озера, которое в свою очередь находится в бассейне ледника Варшидз
503	№ 503	3		Ледник расположен в бассейне ледника Варшидз
510	№ 510	4		Выше области питания ледника имеются участки фирна, висящие на круглых склонах, обрамляющих ледник. Их площадь включена в общую площадь ледника
511, 512	№ 511, 512	10		Высоты низших точек концов ледников определены при слиянии их с основным потоком (ледник № 510)
513—515	№ 513—515	3		Ледники расположены в бассейне сложного долинного ледника № 510—512
523—525	№ 523—525	3		Ледники расположены в бассейне ледника № 522
527	№ 527	4		Язык ледника имеет подковообразную форму
537	№ 537	4		Сложный долинный ледник состоит из двух потоков льда
538	№ 538	4		Судя по сильно разбитой поверхности ледника и низкому положению его конца, можно предположить, что ледник недавно испытал подвижку
554	№ 554	3, 4, 15		Ледник находится в бассейне ледника № 553 и расположен в высокоподнятой ложбине между двумя параллельными хребтами. Поверхность его почти целиком занята областью аккумуляции, имеет ячеистый рельеф с мелкими озерами
558, 563, 566	№ 558, 563, 566	3		Ледник № 558 расположен в бассейне ледника № 557, ледник № 563 — в бассейне ледника № 562, ледник № 566 — в бассейне ледника № 565
575	№ 575	4		Ледник составляют три потока льда. Участки их соединения и общий конец ледника закрыты мореной
583	№ 583	4, 11, 12		Ледник занимает тыловой склон долины, сильно вытянут в ширину. В его правой части к области питания примыкает пологое пригребневое фирновое поле. Ледник имеет два коротких языка, окаймленных узкой полосой морены
588, 589	№ 588, 589	3, 4, 9		Ледник № 588 образован двумя потоками. Конец ледника уходит под морену значительной мощности. В бассейне ледника находится ледник № 589
591	№ 591	3		Ледник принадлежит бассейну ледника № 590
592, 593	№ 592, 593	4		Ледники соединяются в верховых
607	№ 607	13, 15		Ледник высоко расположен, не имеет области аблации. Расход его льда осуществляется обвалами
610, 611	№ 610, 611	3		Ледники находятся в бассейне ледника № 609
616, 617	№ 616, 617	4		Ледники соединены боковыми частями
622, 623	№ 622, 623	4		Языки ледников на небольшом участке соединяются боковыми частями
638, 646,	№ 638, 646,	4		Эти каровые ледники закрывают всю северную подветренную стенку кара, спускаясь от гребня до дна его. Нередко на крутом верхнем участке ледников видны большие пятна льда, а ниже, в перегибе склона — полосы фирна.
647, 650,	№ 647, 650,			
653, 654	№ 653, 654			
651, 652	№ 651, 652	4		В верховых ледники соединены боковыми частями. Есть участок перетекания льда от ледника № 652 к леднику № 651
662, 663	№ 662, 663	4		В боковой части ледники соединены друг с другом
669, 670, 672	№ 669, 670, 672	4		В своих верховых на небольших участках ледники последовательно соединены друг с другом
672	№ 672	4, 13		Ледник начинается от гребня. Правый край его в виде фестончатого языка спускается по склону. В левой части ледника его язык получает дополнительное питание от лавин, сходящих со склона пика Шавиаш. Фирновая линия снижается от 4900 до 4600 м (у левого края).
673	№ 673	4		Ледник имеет исключительно лавинное питание
675, 676	№ 675, 676	4, 8		Ниже концов ледников в моренах сохранились участки мертвого льда
690	№ 690	4		Ледник располагается вдоль подножья склона и близок по типу к присклоновому, но имеет заметный уклон по направлению главной долины и четко определенный вытянутый язык. На левом краю ледника виден короткий язычок, перетекающий через понижение в скальном уступе
700, 701	№ 700, 701	4, 10		Ледник № 700 не имеет фирновой области, питается лавинами с правого склона и с висящего над ним высокого фирнового поля ледника № 701, расположенного целиком в области аккумуляции
703	№ 703	4		Длинный и широкий язык ледника, спускаясь по долине, преодолевает несколько пологих уступов. На вогнутых участках ледника видны полосы нестаявшего снега
703, 704	№ 703, 704	4		В своих верховых на небольшом участке ледники соединены друг с другом
708	№ 708	3, 13—16		Ледник находится в бассейне ледника № 707, расположен целиком в области аккумуляции. В верховых соединяется с ледником № 717
710	№ 710	4		Область питания ледника пологая, занимает верхнюю часть склона. Его язык относительно круглый
717, 718	№ 717, 718	4		В своих верховых ледники соединены друг с другом
720	№ 720	4		Открытый, широкий ледник. Его область питания занимает нижнюю часть склона восточной экспозиции. Здесь в правой части ледник на небольшом участке соединен с ледником № 719
728, 729	№ 728, 729	3		Ледники находятся в бассейне ледника № 727

Пояснения к таблице I

№ ледника	Название	№ графы	Пояснение	
			1	2
			3	4
730, 736 735	№ 730, 736 № 735	4 4		Верховья ледников соединены друг с другом на двух участках Ледник переметный с ледником № 736. Общая часть ледников — ровный пригребневой участок фирновой области
736	№ 736	4		Ледник состоит из двух потоков. Более мощный из них — левый, его область питания занимает два широких цирка. Правый поток круто спускается со склона юго-восточного отрога Шугнанского хребта. Поверхность ледника в основном чистая, лишь самий конец его закрыт мореной. В левой береговой и конечной морене, по-видимому, сохранился мертвый лед
737	№ 737 р. Джашангоз	3		Ледник расположен в бассейне ледника № 736. Площадь области аккумуляции менее 0,1 км ² Река Шахдара в верхнем течении (выше впадения правого притока Дузахдара) носит название Джашангоз
754, 755	№ 754, 755	4		В своих верховьях ледники соединены друг с другом. Язык ледника № 754 раздваивается. Его левая ветвь спускается к языку ледника № 755 и соединяется с ним, а правая кончается на высоте 4640 м
755 756, 757, 758	№ 755 № 756, 757, 758	4 4		В верховьях соединен с ледником южного склона (бассейн р. Памир) В своих верховьях ледники последовательно соединены друг с другом
760, 761 761—763 767	№ 760, 761 № 761—763 № 767	4 4 9, 16		Верховья ледников соединены друг с другом Языки ледников соединяются между собой на дне общего цирка На правом краю ледника находится широкий вал боковой морены, закрывающий участок малоактивного льда. В верховьях ледник соединяется с двумя ледниками южного и восточного склонов Шахдаринского хребта
768	№ 768	3, 13—16		Ледник находится в бассейне ледника № 767. Всю его поверхность занимает область аккумуляции
770	Наспар	4, 13		Ледник расположен под стенами пика Энгельса. В питании ледника большое участие принимают лавины
771, 772 777	№ 771, 772 Карла Маркса	3 4, 9, 11		Ледники находятся в бассейне ледника Наспар У конца языка ледника справа находится участок мертвого льда площадью 0,1 км ² . Правый край языка закрыт широкой полосой морены
778—783 781, 786	№ 778—783 № 781, 786	3 4, 15, 16		Ледники расположены в бассейне ледника Карла Маркса В своих верховьях ледники соединяются и образуют переметную систему. Площадь области абляции ледника № 781 занимает менее 0,1 км ² . Ледник № 781 соединяется также с ледником Нишгар южного склона Шахдаринского хребта.
782 786	№ 782 № 786	13—16 4, 9, 10		Ледник целиком находится в области аккумуляции Ледник состоит из двух потоков. Главный поток имеет два языка — основной левый и более короткий и широкий правый, высота конца которого 4800 м. В верховьях на коротком участке ледник соединяется с ледником № 787
786—789 787	№ 786—789 № 787	9 4, 8		Ниже концов ледников имеются небольшие участки мертвого льда На крутом скалистом склоне над ледником находится висячее фирновое поле, которое соединяется с ледником узкой ложбиной и включено в площадь ледника
788	№ 788	4, 10		Ледник имеет два языка: правый — основной и более низкий, левый, широкий, кончается на высоте 4640 м
789	№ 789	4, 10		Язык ледника раздвоен. Обе его части кончаются примерно на одной высоте
797	№ 797	4		В верховьях ледник соединяется с ледником южного склона Шахдаринского хребта
800	№ 800	4, 10		Ледник имеет два языка. Основной из них — левый. Правый, короткий и широкий язык кончается на высоте 4680 м
802, 803 804	№ 802, 803 № 804	4 4		В своих верховьях ледники соединяются друг с другом Широкое фирновое поле ледника расположено на крутом северном склоне. В левой и правой его части от нижней границы фирна спускаются два языка, которые сливаются на дне долины, образуя язык северо-западного направления
805 807 808—811	№ 805 № 807 № 808—811	13—16 3 4		Ледник расположен целиком в области аккумуляции Ледник находится в бассейне ледника № 806 Фирновые области ледников, разбитые трещинами, расположены на крутых склонах. Большое участие в питании ледников принимают лавины и обвалы фирна
810	№ 810	4, 12		Ледник состоит из двух потоков. Над правым из них на скалах висит крупное фирновое поле, соединенное с ледником узкой перемычкой
812—814, 817—818	№ 812—814, 817—818	4		Ледники последовательно соединены боковыми частями. Закрывают малорасчененный склон. Долинные ледники среди них близки к типу склоновых и отличаются лишь более вытянутым языком
814 819—827	№ 814 № 819—827	4, 10 4, 10—13		Язык ледника раздвоен. Основной, левый, язык кончается в озере Крутой левый борт цирка Зардив занят висящими на стенах, разбитыми трещинами ледниками, которые иногда спускаются к днищу в виде узких потоков. У подножья склона образовались присклоновые ледники с короткими языками, питающиеся лавинами
819, 824	№ 819, 824	8, 12		Выше присклоновых ледников на стенах находятся висячие фирновые поля, на небольшом участке соединенные с первыми и включенные в площадь ледников
821 823	№ 821 № 823	3 13—16		Ледник расположен в бассейне ледника № 820 Ледник находится целиком в области аккумуляции, в бассейне ледника № 822

Пояснения к таблице I

№ ледника	Название	№ графы	Пояснение			
			1	2	3	4
828	№ 828	4, 10				Верховья ледника крутые, фирновая область разбита трещинами. Ледник имеет два языка: левый, узкий и длинный, левый край которого близ конца закрыт мореной, и правый, короткий и широкий, оканчивающийся на высоте 4800 м
829	№ 829	4, 8—10, 15, 16				В нижней части фирновой области ледника находится длинный узкий нунатак, от которого вниз по леднику тянется полоса срединной морены, делящей язык на две части. Основная — правая часть, левая — короче и коччается на высоте 4560 м. Развиты боковые морены
830	№ 830	4, 8—10, 15, 16				В центре верхней части языка ледника находится скальный нунатак. Срединная морена разделяет язык на две части: основная — левая окаймлена моренами, правая кончается на высоте 4780 м
833, 835	№ 833, 835	4				Б своих верховьях на небольшом участке ледники соединены друг с другом
834	№ 834	3, 13, 15				Ледник расположен в бассейне ледника № 833, спускается от вершины 6105 м и находится целиком в области аккумуляции
833—837	№ 833—837	6—16				Данные о ледниках определены приближенно, так как при составлении каталога на этот район отсутствовала аэрофотосъемка, а на имеющихся у авторов фотоснимках видны только фрагменты ледников
839, 840	№ 839—840	4, 10				Ледники близки по типу к склоновым с короткими языками. Концы ледников на очень небольшом участке под боковыми моренами, возможно, соединяются
842	№ 842	4, 10, 12				Ледник «возрожденного» типа. Крутой тыловой склон занят крупным фирновым полем, круто спускающимся от гребня, разбитым трещинами. Нижний край его на высоте 5150 м дает постоянные обвалы льда, питающие лежащий на дне цирка язык ледника, большая часть которого закрыта мореной. Язык отделен от фирнового поля скальной ступенью высотой более 100 м. Дополнительное питание языку приносят лавины
843	№ 843	3				Ледник расположен в бассейне ледника № 842
846	№ 846	4, 9				Правая часть языка ледника закрыта боковой мореной площадью менее 0,1 км ²
859	№ 859	4, 9, 11, 13				Ледник состоит из двух потоков: правый — относительно небольшой; левый, главный поток имеет открытый выположенный язык, окаймленный широкими валами морены. В верховьях ледника крутой тыловой склон почти сплошь закрыт фирмом. Фирновая граница находится в верхней части пологого участка
860	№ 860	4				Верховья и язык ледника разделены скальной ступенью, в правой части которой круто спускается узкий поток льда
861, 862	№ 861, 862	4				Б своих верховьях на небольшом участке ледники соединены друг с другом
865	№ 865	4, 9				Верховья ледника несколько расположены по сравнению с его крутой средней частью. Внизу, на дне цирка располагается короткий пологий язык
868	№ 868	9, 15, 16				Язык ледника почти полностью погребен мореной. Площадь области аккумуляции менее 0,1 км ² . Питание лавинное
871, 872	№ 871, 872	4, 9, 11				Фирновые области ледников составляют единое плоское поле, занимающее высокоподнятую поверхность выравнивания. В восточной своей части это поле питает короткий ледник в верховьях р. Дарайдарша (бассейн р. Пянджа). На языках ледников развиты боковые морены
873	№ 873	4, 8, 13				Справа над ледником на стенах пика Маяковского (пик Трехглавый) висят неровные фирмовые поля, дающие обвалы и лавины и включенные в область питания ледника. Граница питания опускается вдоль правого края ледника, окаймляя подножья обвальных конусов
875, 876	№ 875, 876	4				В своих верховьях ледники соединяются друг с другом
877	№ 877	4, 13				Ледник имеет два небольших, круто висящих языка, обращенных на юг и свободных от снега
882	№ 882	4, 9				Ледник образован четырьмя потоками льда, три из них занимают главный цикл и имеют широкие пологие языки, разделенные срединными моренами. В нижней части ледник принимает справа короткий висячий приток. Правый край ледника на всем его протяжении получает дополнительное лавинное питание с крутого склона северо-западной экспозиции. Здесь же большая площадь языка закрыта мореной
892	№ 892	4				Ледник состоит из двух основных потоков. Язык правого потока получает дополнительное лавинное питание с крутого склона над ледником. У конца ледника есть мертвый лед
893	№ 893	3				Ледник находится в бассейне ледника № 892
902	№ 902	4, 9				Язык ледника разделен пополам продольным нунатаком. Ниже конца ледника под мореной находится мертвый лед, развит термокарст
904	№ 904	4, 10				Ледник имеет два языка. Правый язык основной. Левый, узкий язык кончается в озере на высоте 4580 м
905	№ 905	4, 10				Язык ледника обтекает скалистый выступ и разделяется на две части. Основной язык — правый, у конца его находится небольшое озеро. Левый, узкий язык кончается на высоте 4480 м
906	№ 906	4, 10				Ниже конца языка и слева от него под мореной мертвые льды. Здесь много мелких озер
907, 915, 916	№ 907, 915, 916	15				Площадь области аккумуляции на каждом леднике менее 0,1 км ²

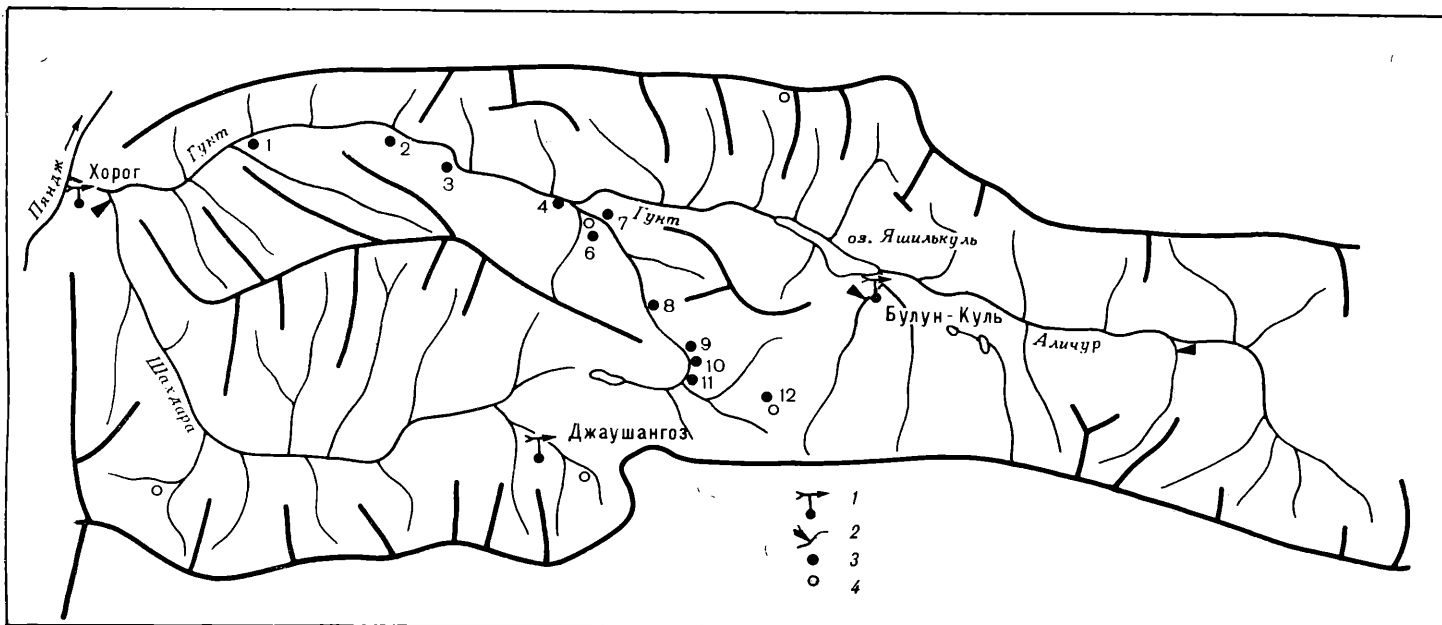


Рис. 57. Схема расположения гидрометеорологических станций, постов и суммарных осадкомеров в районе ледников
1 — действующая метеорологическая станция, 2 — гидрологический пост, 3 — снегомерный пункт, 4 — суммарный осадкомер.

ТАБЛИЦА II
СПИСОК ГИДРОМЕТЕОРОЛОГИЧЕСКИХ СТАНЦИЙ И ПОСТОВ В РАЙОНЕ ЛЕДНИКОВ

№ п/п	Название реки в бассейне которой рас- положена станция	Название стан- ции или поста	В чьем ведении находится	Абсолютная высота, м	Площадь водосбо- ра гидрологиче- ских постов, км ²	Период наблюдений, годы							Дополнительные
						7	8	9	10	11	12	13	
1	2	3	4	5	6	1937— 1976	1937— 1976	1937— 1976	1937— 1976	1890— 1976	1890— 1976	1890— 1976	
1	Гунт (левый берег)	гмст Хорог	УГМС ТаджССР	2080	13700	1937— 1976	1937— 1976	1937— 1976	1937— 1976	1890— 1976	1890— 1976	1890— 1976	
2	Шоридара (р. Гунт)	гп Шоридара	УГМС ТаджССР	2360	189	1948— 1976	1950— 1976						
3	Шахдара	гп Хабост	УГМС ТаджССР	2100	4180	1938— 1976	1938— 1976			1952— 1962— 1976			
4	Шахдара	мст Джашангоз	УГМС ТаджССР	3410						1934— 1976	1934— 1976		
5	оз. Яшилькуль	мст Булункуль	УГМС ТаджССР	3740						1950— 1976	1950— 1976	1950— 1976	
6	Гунт (Аличур)	гп Аличур	УГМС ТаджССР	3960	2800	1961— 1976	1962— 1976	1962— 1976	1962— 1976	1950— 1976	1950— 1976		
7	оз. Яшилькуль	гп Яшилькуль	УГМС ТаджССР	3734	5280	1938— 1976							

ТАБЛИЦА III

СПИСОК СУММАРНЫХ ОСАДКОМЕРОВ И СНЕГОМЕРНЫХ ПУНКТОВ В РАЙОНЕ ЛЕДНИКОВ

№ п/п	Название бассейна и номер осадкомера или снегопункта	Местоположение	Absо- лютная высота, м	Экспозиция склона	Период наблюдений, годы
			4		
1	2	3			
1	Шахдара (бассейн р. Гунта), ос 33	У слияния рек Бадомдара и Ростов-дара	3300	гориз.	1956—1976
2	Токузбулак (бассейн р. Гунта), ос 36	У подножья пер. Койтезек, 587-й км тракта Ош—Хорог	3960	гориз.	1957—1977
3	Токузбулак (бассейн р. Гунта), ос 37	В 0,7 км выше устья реки Дузахдара	3180	гориз.	1957—1977
4	Лянгар (бассейн р. Гунта), ос 46	В 4,5 км ниже пер. Лянгар-Кутал	4360	гориз.	1958—1976
5	Бакчигир (бассейн р. Гунта), ос 91	В 0,5 км ниже конца ледника Большой Бакчигир	4460	гориз.	1966—1976
6	Джаушангоз (бассейн р. Гунта), ос 100	На левом берегу р. Джашангоз против устья р. Кок-Бай	3700	гориз.	1967—1976
7	Гунт, сп 1	Кишлак Водж, 678-й км тракта Ош—Хорог	2700	СВ	1957—1976
8	Гунт, сп 2	В 7 км ниже кишл. Вир, в створе 671-го км тракта Ош—Хорог	2770	гориз.	1957—1976
9	Гунт, сп 4	У верхней окраины кишл. Чартым, 653-й км тракта Ош—Хорог	2980	гориз.	1957—1976
10	Гунт, сп 5	Выше кишл. Пиш, 637-й км тракта Ош—Хорог	3080	гориз.	1957—1976
11	Токузбулак (бассейн р. Гунта), сп 6	В 0,7 км выше левого притока Дузахдара	3180	гориз.	1957—1976
12	Токузбулак (бассейн р. Гунта), сп 7	В кишл. Мордж	3280	гориз.	1957—1976
13	Токузбулак (бассейн р. Гунта), сп 8	В 1 км выше притока Гармчашма	3460	гориз.	1957—1976
14	Токузбулак (бассейн р. Гунта), сп 9	В 1 км ниже кишл. Джиланды	3540	гориз.	1957—1976
15	Токузбулак (бассейн р. Гунта), сп 10	В 0,6 км ниже правого притока Аксай (Дузахдара)	3640	гориз.	1957—1976
16	Токузбулак (бассейн р. Гунта), сп 11	На 593-м км тракта Ош—Хорог	3760	гориз.	1957—1976
17	Токузбулак (бассейн р. Гунта), сп 12	У подножья пер. Койтезек, 587-й км тракта Ош—Хорог	3960	ЮЗ	1957—1976

ТАБЛИЦА IV

ЭКСПЕДИЦИОННЫЕ И СТАЦИОНАРНЫЕ ИССЛЕДОВАНИЯ ЛЕДНИКОВ

№ п/п	Номер и название ледников по схеме	Время проведения работ	Характеристика (состав) provеденных исследований	Организация, производив- шая работы	№ источ- ника по табл. V
1	2	3	4	5	6
1	Бассейн р. Шахдара	1904	Первые пересечения Шахдаринского хребта в западной и восточной его частях. Составлена первая карта высокогорной зоны хребта	РГО, Б. А. Федченко	18
2	Бассейн р. Гунта в целом, верховья р. Патхур	1932, 1933	Геологическая съемка и поиски полезных ископаемых, полуинструментальная съемка. Уточнение орографии высокогорной зоны. Первые сведения о ледниках районов пиков Патхур, Карла Маркса, Энгельса, в том числе о леднике Марковского	Таджикско-Памирская экспедиция АН СССР	9, 12
3	Район оледенения в целом	1945—1948	Четырехлетние работы по топографической съемке Памира (в том числе в бассейне р. Гунта), в результате которых составлена крупномасштабная карта Памира без «белых пятен»	Высокогорная топографическая экспедиция	17
4	Бассейны рек Патхур, Шабай, Хацак	1946	Первые альпинистские восхождения на пики Патхур и Карла Маркса. Подробное описание древовидного ледника Марковского в верховьях р. Патхур. Сведения о ледниках Шахдаринского хр. в районе пиков Карла Маркса и Энгельса. Составлены орографические схемы районов восхождения	Всесоюзный комитет по физкультуре и спорту при СМ СССР	1, 2, 9
5	Бассейн р. Бадомдара, № 873	1947	Первое альпинистское восхождение на пик Маяковского. Уточнение орографии, составление схемы оледенения района. Описание поверхности ледника. Отмечено повсеместное распространение кальгаспор на ледниках Шахдаринского хребта	Всесоюзный комитет по физкультуре и спорту при СМ СССР. ЦС ДСО «Наука»	9, 10
6	Оледенение южного склона Рушанского хребта	1949, 1950	Характеристика современного оледенения района. Описание основных морфологических типов ледников. Распределение ледников в зависимости от экспозиции склонов. Отмечено отступание ледников	Всесоюзный геологический трест	6
7	Бакчигир (№ 369)	1972, 1973	Полустационарные наблюдения в фирновой области ледника. Изучение строения снежно-фирновой толщи (шурфы, площадная снегомерная съемка), а также наблюдения за метеоусловиями, таянием и испарением снега и льда	ИГАН	14

СПИСОК РАБОТ, СОДЕРЖАЩИХ СВЕДЕНИЯ О ЛЕДНИКАХ

№ п/п	Номер и название ледника по схеме	Автор и наименование работы	Место издания работы	Краткая аннотация
1	2	3	4	5
1	Оледенение бассейнов рек Патхур, Шабай, Хацак	Абалацов Е. М. На Юго-Западном Памире	Побежденные вершины. Ежегодник советского альпинизма. Год 1948. М., Географгиз, 1948	Описание восхождений на пики Патхур и Карла Маркса. Данные об орографии и ледниках
2	Оледенение бассейнов рек Патхур, Шабай, Хацак	Абалацов Е. М. Экспедиция альпинистов в высокогорные районы Юго-Западного Памира в 1946 г.	Вопросы географии, 1947, вып. 4	Описание рельефа и характера оледенения районов восхождений
3	Район оледенения в целом	Агаханянц О. Е. Основные проблемы физической географии Памира. ч. 1	Душанбе: Изд. АН ТаджССР, 1965	Физико-географическое описание. Подробная характеристика климата района, режима рек
4	Район оледенения в целом	Атлас Таджикской ССР	Душанбе—Москва: Изд. ГУГК при СМ СССР, 1968	Карты природных условий, в том числе современного и древнего оледенения
5	Район оледенения в целом	Бабушкин Л. Н., Когаи Н. А. Описание физико-географических округов и районов Таджикской ССР	Труды Ташкентского госуниверситета, 1967, вып. 307	Физико-географический очерк, в том числе данные об следенении
6	Оледенение Рушанского хребта	Бархатов Б. П. Рельеф и современное оледенение Язгулем-Рушанского района	Изв. ВГО, 1950, т. 82, вып. 3	Характер размещения ледников на южном склоне Рушанского хребта. Морфологические типы ледников
7	Район оледенения в целом	Забирков Р. Д. Новые данные о современном и древнем оледенении Памира	Вестник МГУ, 1953, № 6	Размеры оледенения главных хребтов района. Даны границы между Западным и Восточным Памиром
8	Район оледенения в целом	Забирков Р. Д. Оледенение Памира	И.: Географгиз, 1955	Подробные сведения об оледенении, приложен каталог основных ледников района
9	Рушанский и Шахдаринский хребты	Затуловский Д. М. На ледниках и вершинах Средней Азии	И.: Географгиз, 1948	История географического изучения района, в том числе ледников. Результаты работ альпинистских экспедиций
10	Бассейн р. Бадомдара, № 873	Затуловский Д. М. В Шахдаринском хребте	Побежденные вершины. Ежегодник советского альпинизма. Год 1948. М.; Географгиз, 1948	Краткое описание северного склона хребта в районе п. Маяковского, сведения о ледниках
11	Бассейн р. Гунта в целом	Кеммерих А. О. Гидрография Памира и Памиро-Алая	М.: Мысль, 1978	Гидрологическая характеристика стока бассейна
12	Район оледенения в целом. Бассейн р. Патхур	Клунников С. И. Юго-западный Памир	Труды Тадж.-Памирск. экспед., 1937, вып. 99	Сведения об орографии района. Первые данные об оледенении верховьев р. Патхур (ледник Марковского)
13	Оледенение Шугнанского и Шахдаринского хребтов	Корженевский Н. Л. Каталог ледников Средней Азии	Ташкент, 1930	Сведения о первых упоминаниях о ледниках в бассейнах некоторых рек
14	Бакчигир (№ 369), район оледенения в целом	Котляков В. М., Лебедева И. М. Кающиеся снега и льды, механизм их образования и индикационное значение	Изв. АН СССР. Сер. геогр., 1975, № 3	Данные о метеоусловиях и радиационном балансе на леднике в августе 1972 г. Данные о таянии и испарении снега и льда
15	Бассейн р. Гунта в целом	Крыленко Н. В., Шербаков Д. И., Марков К. К. Пять лет по Памиру	М.—Л.: Изд. АН СССР, 1935	Описание маршрутов и итоги Таджикско-Памирских экспедиций. История оледенения Памира
16	Бассейн р. Шахдара	Попов В. И. Материалы по истории древнего оледенения Памира, Бадахшана и Дарваза	Труды Всесоюз. геол.-развед. объединения, 1932, вып. 242	Описание форм ледникового рельефа. Реконструкция древнего оледенения
17	Бассейн р. Гунта	Чистовский О. Г. В стране великих гор	М., Географгиз, 1959	Работы высокогорной топографической экспедиции 1945—1948 гг. История топографических съемок на Памире, в том числе ледников
18	Бассейн р. Шахдара	Федченко Б. А. Шугнан. Географические и ботанические результаты путешествия в 1901—1904 гг.	Труды СПб ботанич. сада, 1909, т. 30, вып. 1	Составлена первая карта высокогорья западной части Шахдаринского хребта

ДОПОЛНИТЕЛЬНЫЕ МАТЕРИАЛЫ

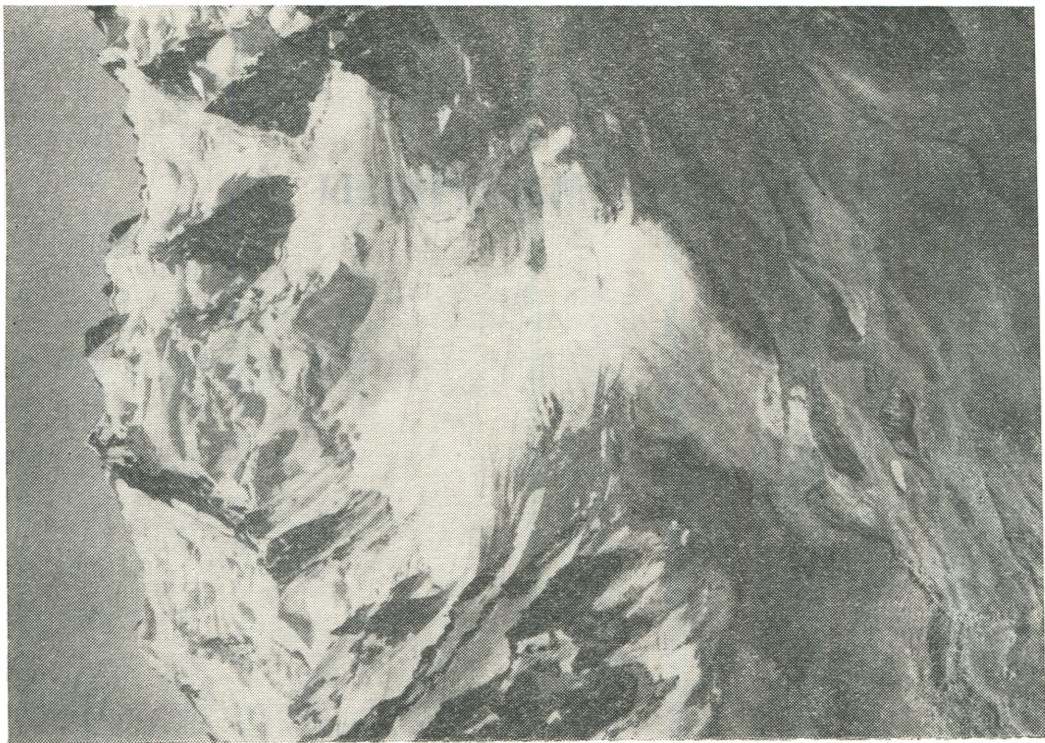


Рис. 59. Асимметричный долинный ледник № 150 на южном склоне Рушанского хребта.

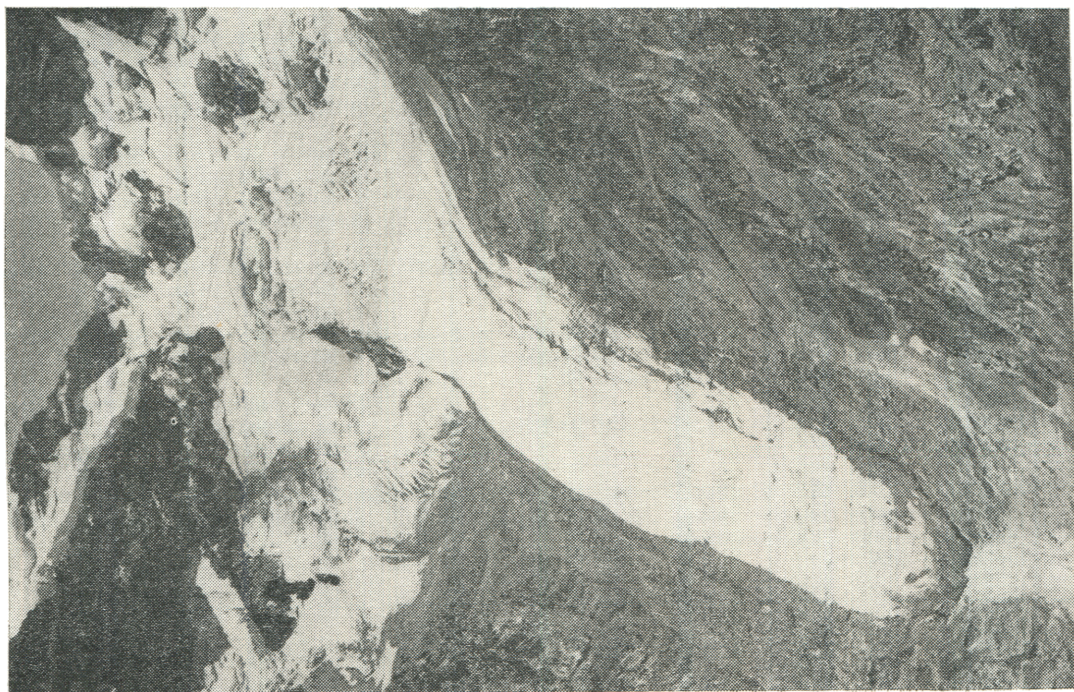


Рис. 58. Долинный ледник Карла Маркса (№ 777).



Рис. 61. Долинный ледник № 830 в бассейне р. Баджомдара.

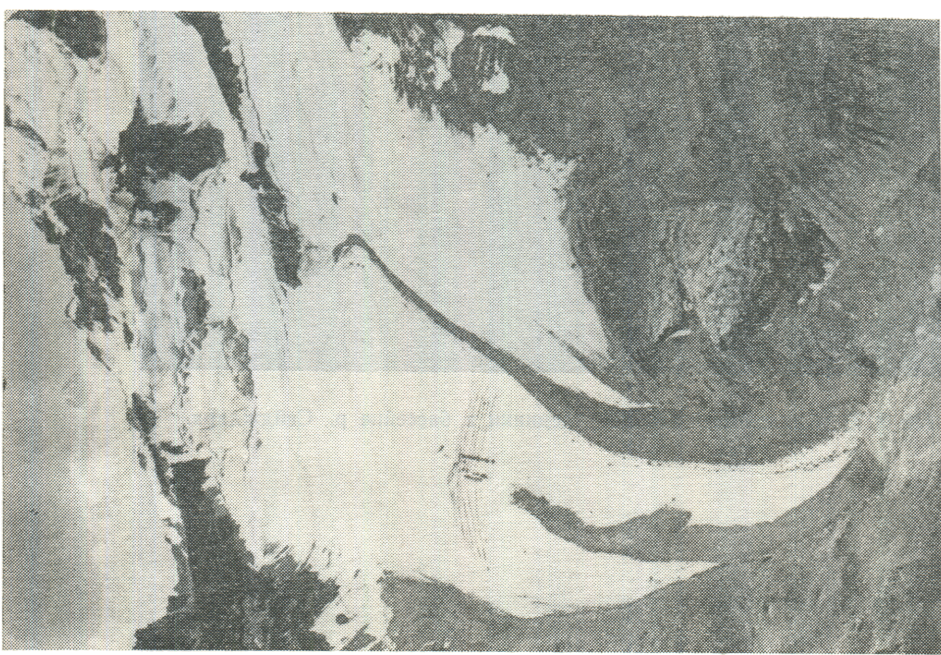


Рис. 60. Долинный ледник № 829 в бассейне р. Баджомдара.



Рис. 62. Язык сложного долинного ледника Сафедоб на южном склоне Рушанского хребта.

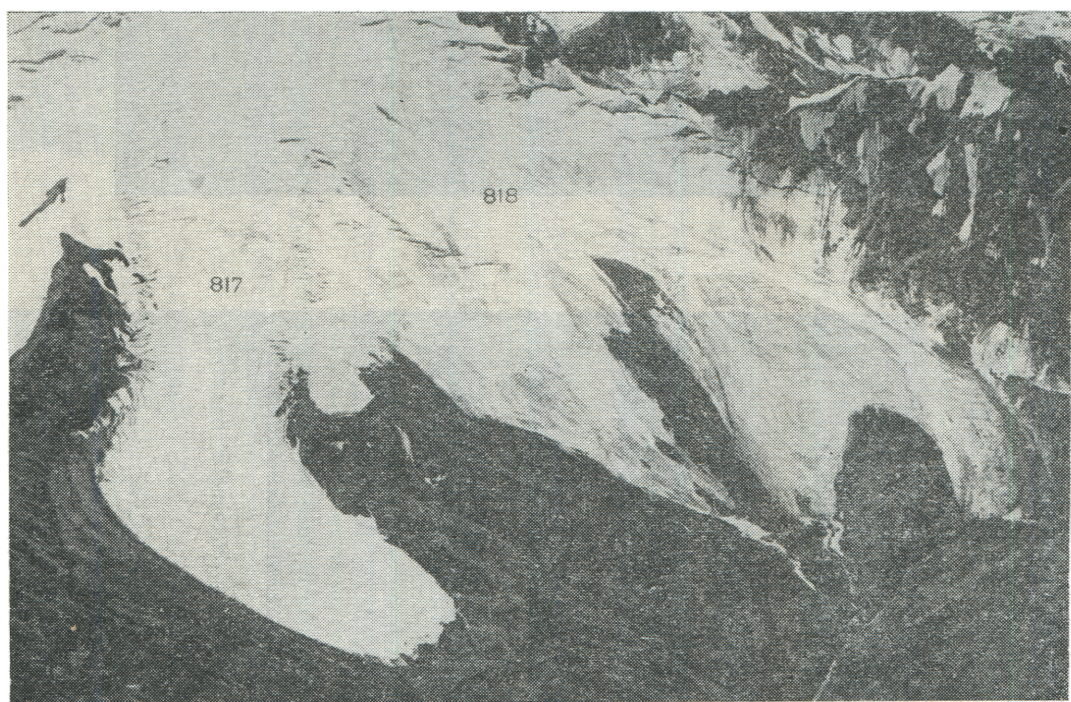


Рис. 63. Долинный (№ 817) и склоновый (№ 818) ледники в бассейне р. Сейдждара.

СОДЕРЖАНИЕ

Предисловие	3
Деление Каталога ледников СССР на тома, выпуски и части	6
Список томов, выпусков и частей Каталога ледников СССР	7
Список принятых сокращений	8
Характеристика географического положения, климатических условий, морфологии и режима ледников	10
Гидрологическая сеть, рельеф и распространение ледников	10
Климатические условия	14
Гидрологический режим	16
Основные характеристики оледенения	16
Основные таблицы Каталога ледников	
Таблица I. Основные сведения о ледниках	59
Пояснения к таблице I	112
Таблица II. Список гидрометеорологических станций и постов в районе ледников	118
Таблица III. Список суммарных осадкомеров и снегомерных пунктов в районе ледников	119
Таблица IV. Экспедиционные и стационарные исследования ледников	120
Таблица V. Список работ, содержащих сведения о ледниках	121
Дополнительные материалы	122

Каталог ледников, т. 14, вып. 3, ч. 15

Редактор И. С. Якорь

Техн. редактор Н. Ф. Грачева

Корректоры: Л. Б. Емельянова, Л. А. Сандлер

Сдано в набор 16.02.79. Подписано в печать 06.11.79. М-13238. Формат 60×90 $\frac{1}{3}$. Бум. тип. № 1.
Гарнитура литературная. Высокая печать. Печ. л. 16. Уч.-изд. л. 18,43. Тираж 300 экз.
Индекс ГЛ-56. Заказ № 92. Цена 1 р. 20 к.

Гидрометеоиздат, 199053, Ленинград, 2-я линия, д. 23.

Типография издательства «Волгоградская правда». г. Волгоград, Привокзальная площадь.
Дом печати.

????????????? ?????????? ??????????

xeenych@gmail.com

????????? Epson Perfection V33

????????? ???? 300 dpi tiff

????????? ???? ScanTailor